

بِسْمِ اللَّهِ الرَّحْمَنِ الرَّحِيمِ  
حَمْدُ اللَّهِ الْعَلِيِّ  
وَحْدَهُ شَرِيكٌ



دانشکده علوم زمین

گروه پترولوزی و زمین‌شناسی اقتصادی

شناسایی و اهمیت مواد منشا باقی‌مانده (کانیهای رستیتی) در پتروژنر توده‌های  
گرانیتوئیدی ازنا- الیگودرز

: نگارنده:

علی پاشاپور

استاد راهنما:

دکتر مریم شبیبی

پایان‌نامه جهت اخذ درجه کارشناسی ارشد

۹۴ بهمن

شماره:

تاریخ:

ویرایش:

با اسمه تعالی



دانشگاه ملی

مدیریت تحصیلات تکمیلی

فرم شماره (۶)

### فرم صورت جلسه دفاع از پایان نامه تحصیلی دوره کارشناسی ارشد

با تأییدات خداوند متعال و با استعانت از حضرت ولی عصر (عج) نتیجه ارزیابی جلسه دفاع از پایان نامه کارشناسی ارشد آقای علی پاشاپور به شماره دانشجویی ۹۰۳۵۹۴ رشته زمین‌شناسی گرایش پترولوزی "تحت عنوان شناسایی و اهمیت مواد منشا باقی‌مانده (کانیهای رستیتی) در پترونیز توده‌های گرانیتوئیدی ازنا-الیگودرز" که در تاریخ ۱۳۹۴/۱۱/۲۷ با حضور هیأت محترم داوران در دانشگاه صنعتی شاهروod برگزار گردید به شرح ذیل اعلام می‌گردد:

<input type="checkbox"/> مردود	<input checked="" type="checkbox"/> دفاع مجدد	قبول (با درجه: عالی) <b>امتیاز ۱۹</b>
--------------------------------	---	---------------------------------------

۱- عالی (۱۹ - ۲۰) ✓

۲- بسیار خوب (۱۸ - ۱۸/۹۹)

۳- خوب (۱۶ - ۱۷/۹۹)

۴- قابل قبول (۱۵/۹۹ - ۱۴)

۵- نمره کمتر از ۱۴ غیر قابل قبول

امضاء	مرتبه علمی	نام و نام خانوادگی	عضو هیأت داوران
	استادیار	دکتر مریم شبی	۱- استادرهنما
	استادیار	دکتر مسعود علیپوراصل	۲- نماینده شورای تحصیلات تکمیلی
	دانشیار	دکتر محمود صادقیان	۳- استاد ممتحن
	استادیار	دکتر مهدی رضائی	۴- استاد ممتحن

امضاء رئیس دانشکده: **میرلسری**

امضاء رئیس دانشکده: **میرلسری**

## تعهد نامه

اینچاپ علی پاشاپور دانشجوی دوره کارشناسی ارشد رشته پترولوزی دانشکده علوم زمین دانشگاه صنعتی شاهروド نویسنده پایان نامه شناسایی و اهمیت مواد منشا باقیمانده (کانیهای رسیتی) در پتروژن توده‌های گرانیتوئیدی ازنا-الیگودرز تحت راهنمایی دکتر مریم شبیری معهد می‌شوم.

- تحقیقات در این پایان نامه توسط اینچاپ انجام شده است و از صحت و اصالت برخوردار است.
- در استفاده از نتایج پژوهش‌های محققان دیگر به مرجع مورد استفاده استناد شده است.
- مطالب مندرج در پایان نامه تاکنون توسط خود یا فرد دیگری برای دریافت هیچ نوع مدرک یا امتیازی در هیچ جا ارائه نشده است.
- کلیه حقوق معنوی این اثر متعلق به دانشگاه صنعتی شاهروド می‌باشد و مقالات مستخرج با نام «دانشگاه صنعتی شاهروド» و یا «Shahrood University of Technology» به چاپ خواهد رسید.
- حقوق معنوی تمام افرادی که در به دست آمدن نتایج اصلی پایان نامه تأثیرگذار بوده اند در مقالات مستخرج از پایان نامه رعایت می‌گردد.
- در کلیه مراحل انجام این پایان نامه، در مواردی که از موجود زنده (یا باقیهای آنها) استفاده شده است ضوابط و اصول اخلاقی رعایت شده است.
- در کلیه مراحل انجام این پایان نامه، در مواردی که به حوزه اطلاعات شخصی افراد دسترسی یافته یا استفاده شده است اصل رازداری، ضوابط و اصول اخلاق انسانی رعایت شده است.

تاریخ ۱۷/۱۱/۹۶  
امضا دانشجو

### مالکیت نتایج و حق نشر

- کلیه حقوق معنوی این اثر و محصولات آن (مقالات مستخرج، کتاب، برنامه‌های رایانه‌ای، نرم افزارها و تجهیزات ساخته شده است) متعلق به دانشگاه صنعتی شاهروド می‌باشد. این مطلب باید به نحو مقتضی در تولیدات علمی مربوطه ذکر شود.
- استفاده از اطلاعات و نتایج موجود در پایان نامه بدون ذکر مرجع مجاز نمی‌باشد.

\* متن این صفحه نیز باید در ابتدای نسخه‌های تکثیر شده پایان نامه وجود داشته باشد.

ما حصل آموخته هایم را تقدیم می کنیم به:

آنان که مرآسمانی شان آرام بخش آلام زینی ام است

به استوارترین تکیه گاهیم، دستان پر مهر پدرم

به سبزترین لخاچ زندگیم، چشمان سبز مادرم

برادران و برادرزاده عزیزم

پاس خدای را که سخنواران، درستودن او بماند و شمارندگان، شمردن نعمت‌های او زاند و کوشیدگان، حق او را گزاردن می‌توانند.

از آنجایی که تجلیل از معلم، پاس از انسانی است که هدف و غایت آفرینش را تامین می‌کند و سلامت امانت‌هایی را که به دستش  
پرداخته اند، تضمین.

از پدر و مادر عزیزم... که نه می‌توانم موهاشان را که در راه عزت من سفید شد، سیاه کنم و نه برای دستهای پنهانشان که شره تلاش برای  
افخار من است، مردمی دارم. پس تو فیض که هر خطه سکر کزارشان باشم و ثانیه‌های عمرم را دعصای دست بودنشان بگذرانم.

از استاد فریخته و فرزانه سرکار خانم دکتر مریم شبی که در کمال سعد صدر، با حسن خلق و فروتنی، از پیچ‌گلی داین عرصه بر من دین  
تمودند و زحمت را همایی این رساله را بر عده کردند.

از آقای دکتر محمود صادقیان به خاطر در اختیار قراردادن مقطع نازک میکرو‌سکوپی توده‌های نفوذی گل زرد و درهای مبلغ به مژهور انجام  
مطالعات پتروکرافی مشکر می‌شود. از آقای دکتر حسن میرزا دنیز به خاطر فرامم آوردن شرایط لازم برای انجام آنالیزهای ژئوپیشی  
و پروب در انسکاوهای میامی و لئکنی آمریکا پاسکناری می‌شود. از زحمات آقایان، دکتر حسیب اسد قاسمی، دکتر محمدی رضائی که با  
صبر و خودله، ایجاد رایاری نمودند کمال مشکر و قدردانی را دارم.

و در نهایت مرتب پاس و قدردانی از زحمات دوستان عزیزم رضار، سید سعید ازانی، مجتبی قاسمی، خانم علی موسی و نعیمی دوستان و  
هم دانشکده‌ایهای محترم را دارم.

## چکیده

توده‌های گرانیتوئیدی الیگودرز با نامهای دره‌باغ و گل‌زرد و لوکوگرانیت ازنا در بخش غربی استان لرستان و در پهنه ساختاری سنندج-سیرجان رخنمون دارند. توده‌های نفوذی مزبور با سن ژوراسیک میانی در میان اسلینتها و فیلیتهای همدان نفوذ کرده‌اند. بر اساس مطالعات دقیق صحرایی، پتروگرافی و ژئوشیمیایی، این گرانیتها از نوع S و پرآلومین بوده و ترکیب آنها از گرانوودیوریت تا گرانیت و لوکوگرانیت تغییر می‌نماید. گرانوودیوریتها بخش اعظم توده‌های گرانیتوئیدی الیگودرز را تشکیل داده و از کانیهای اصلی پلازیوکلاز، کوارتز، آلکالی فلدسپار (ارتوز و میکروکلین) و بیوتیت تشکیل شده‌اند. بلورهای پلازیوکلاز با هسته‌های کلسیک ( $An_{84-91}$ ) و منطقه‌بندی پیچیده، مجموعه کانیایی بیوتیت‌دانه‌ریز<sup>±</sup>سیلیمانیت، زینوکریستهای آندالوزیت، گارنت خردشده با ترکیب نسبتاً یکنواخت  $Alm_{70}Py_{22}Gro_4Sp_{84}$  در مرکز، کردیریت و کانیهای زیرکن، مونازیت و آپاتیت مسروشی به صورت ادخال در بیوتیت شواهدی از کانیهای باقیمانده از ذوب سنگ منشا بوده و جزء کانیهای رستیتی محسوب می‌شوند. گرانیتها نسبت به گرانوودیوریتها دانه‌ریزتر بوده و رنگ روشنتری دارند. سنگهای لوکوگرانیتی که با رنگ سفید و نیوود کانیهای رستیتی از سایر سنگهای نفوذی متمایز می‌شوند در توده‌های نفوذی دره‌باغ و گل‌زرد بیشتر به صورت آپوفیز، دایک، رگه و رگچه، گرانوودیوریتها و گرانیتها را قطع کرده‌اند اما در ازنا به صورت یک استوک به درون سنگ‌های دگرگونی ناحیه‌ای تزریق شده است. شواهد ژئوشیمیایی نیز مانند مطالعات پتروگرافی حضور کانیهای رستیت را تایید می‌کند. تغییرات ترکیبی در ترکیبات مافیک، به دلیل درجات مختلف جدایش مذاب از رستیت در تعادل با ماجما حاصل گردیده اما در ترکیبات فلزیک‌تر، این تغییرات به واسطه تبلور تفریقی مذاب اولیه می‌باشد. با توجه به مجموعه کانیهای موجود در گرانیتوئیدهای الیگودرز، حضور انواع کانیهای رستیتی و همچنین دمای تشکیل گرانیتوئیدهای مزبور که بر اساس دمای اشباع از زیرکن به طور متوسط  $780^{\circ}C$  بدست آمده است می‌توان ادعا نمود که توده‌های گرانیتی مزبور از ذوب آبزدای بیوتیت بوجود آمده است. رنگهای تداخلی متوسط تا قوی بلورهای آندالوزیت و نتایج حاصل از تصاویر میکروسکوپ الکترونی BSE که فلدسپار پتاسیک و موسکوویت در قالب اشکال دروغین آندالوزیت را نشان می‌دهد حاکی از حضور سیالات آبگین موجود در مراحل نهایی انجامد ماجما می‌باشد. گارنت در توده‌های نفوذی الیگودرز نسبتاً خود شکل اما خرد شده بوده و از حاشیه و در امتداد شکستگی‌ها با کردیریت پنیتی شده و بیوتیت جایگزین شده است. گارنت موجود ترکیب شیمی نسبتاً یکسانی داشته و از آلماندن غنی می‌باشد. الگوی منطقه‌بندی این کانی کاهش # Mg و افزایش Mn از هسته به سمت حاشیه نشان می‌دهد گارنتهای موجود منشا رستیتی داشته و تحت تاثیر فرایند انتشار قهقهایی قرار گرفته‌اند. غنی‌شدنگی از عناصر LILE (نظیر Rb, Th, K و U) و آنومالی منفی Ba, Nb و Ti مشاهده شده در نمودارهای تغییرات عناصر این سنگها به سایر گرانیتهای نوع S و رسوبات پلیتی شباهت دارد. تهی شدنگی از Ti و Nb از ویژگیهای ماجمای تشکیل شده در یک محیط حاشیه فعال قاره‌ای است. گرانیتوئیدهای مزبور کالک‌آلکالی و پرآلومین بوده و شاخص گرانیتهای نوع S می‌باشد که به دلیل فروزانش ورقه اقیانوسی نووتیس به زیر ایران مرکزی بوجود آمده است. وجود دایکهای مافیک در داخل توده‌های نفوذی مزبور نشانه‌ای از استقرار ماجمایان مافیک ناشی از این زون فروزانش و عاملی برای تامین گرمای لازم برای ذوب سنگهای پوسته‌ای بوده است. بالا بودن غلظت عناصر رادیواکتیو در گرانیتهای مزبور به خصوص در لوکوگرانیت ازنا حاکی از آنست که ضخیم شدنگی پوسته و گرمای ناشی از واپاشی عناصر رادیواکتیو می‌تواند مکانیزیم دیگری برای بالا رفتن گرادیان زمین گرمایی و فرایند ذوب بخشی در نوار دگرگونی سنندج-سیرجان باشد. وجود ارتوبیپروکسن (هیپرستن) و سیلیمانیت رستیتی در این گرانوودیوریتها، نشان می‌دهد که این سنگها محصول آناتکسی پلیتها و پسامیتها در شرایط دما و فشاری رخساره گرانولیت می‌باشند.

كلمات کلیدی: الیگودرز، رستیت، گرانیت نوع S، آلماندن، هیپرستن

## لیست مقالات مستخرج از پایان نامه

- ۴ شواهد پتروگرافی و ژئوشیمیایی رستیت (کانی های باقی مانده از ذوب) در توده های گرانیتوئیدی الیگودرز (استان لرستان)، مجله بلورشناسی و کانی شناسی، مشهد
- ۴ تغییرات ترکیبی گارنت از منشا تا جایگیری در توده گرانیتی گل زرد (الیگودرز). بیست و سومین همایش بلورشناسی و کانی شناسی ایران، دانشگاه دامغان، بهمن ۹۴.
- ۴ شناسایی کانی های رستیت آناتکسی دره باغ و گل زرد، شمال الیگودرز. بیست و سومین همایش بلورشناسی و کانی شناسی ایران، دانشگاه دامغان، بهمن ۹۴.
- ۴ آندالوزیت قهقهایی در توده های گرانیتوئیدی گل زرد و دره باغ (الیگودرز). بیست و سومین همایش بلورشناسی و کانی شناسی ایران، دانشگاه دامغان، بهمن ۹۴.

## فهرست مطالب

خ.....	چکیده
ذ.....	فهرست مطالب
ش.....	فهرست شکلها

### فصل اول: کلیات

۲ .....	مقدمه
۲ .....	۱- موقعیت جغرافیایی
۲ .....	۲- راههای ارتباطی
۴ .....	۳- آب و هوا و ریخت شناسی
۴ .....	۴- تاریخچه مطالعات قبلی
۸ .....	۵- اهداف مطالعه
۹ .....	۶- روش تحقیق

### فصل دوم: زمین‌شناسی عمومی

۱۲ .....	مقدمه
۱۲ .....	۱- نوار کوهزایی سنندج- سیرجان
۱۴ .....	۱-۱- تاریخچه چینه‌نگاری سنندج- سیرجان
۱۵ .....	۲-۱- دگرگونی سنندج - سیرجان
۱۵ .....	۳-۱- زمین‌ساخت سنندج - سیرجان
۱۷ .....	۲- زمین‌شناسی عمومی منطقه مورد مطالعه
۱۷ .....	۱-۲- سنگ‌های میزبان
۱۹ .....	۲-۲- توده‌های گرانیتوئیدی الیگودرز و ازنا
۲۳ .....	۳-۲- آنکلاوها
۲۳ .....	۱-۳-۲- آنکلاوهاي متاپليتي و متاپساميتى
۲۵ .....	۱-۳-۲- آنکلاوهاي سوروميکاسه
۲۵ .....	۲-۳-۲- آنکلاو سيليسى
۲۷ .....	۳-۳-۲- زينوليتها و زينوكريستتها

۲۷	- رگه‌های آپلیتی، پگماتیتی و سیلیسی.	-۴-۲-۲
۳۰	- دایک‌های مافیک.	-۵-۲-۲
۳۱	- میگماتیتها	-۶-۲-۲
۳۲	نتیجه‌گیری	

### فصل سوم: پتروگرافی

۳۶	مقدمه	
۳۷	- سنگ‌های میزبان (شیل و ماسه‌سنگ‌های دگرگون شده).	-۱-۳
۳۹	- پتروگرافی توده‌های نفوذی	-۲-۳
۳۹	- گرانوڈیوریت‌ها	-۱-۲-۳
۶۱	- گرانیت‌ها	-۲-۱-۲-۳
۶۲	- لوکوگرانیت‌ها	-۳-۱-۲-۳
۶۴	- لوکوگرانیت ازنا	-۲-۲-۳
۶۵	- آنکلاوها	-۳-۳
۶۵	- آنکلاو سورومیکاسه	-۱-۳-۳
۶۸	- واحد میگماتیتی	-۴-۳
۷۰	نتیجه‌گیری	

### فصل چهارم: شیمی کانی

۷۴	مقدمه	
۷۴	- بیوتیت	-۱-۴
۷۶	- شیمی بیوتیت	-۱-۱-۴
۷۹	- پلاژیوکلاز	-۲-۴
۸۳	- گارنت	-۳-۴
۸۹	- ارتوبیروکسن	-۴-۴
۹۰	نتیجه‌گیری	

### فصل پنجم: ژئوشیمی

۹۴	..... مقدمه
۹۵	..... ۱- تصحیح داده‌های حاصل از تجزیه شیمیایی
۹۵	..... ۱-۱- تصحیح مربوط به حذف مواد فرار
۹۶	..... ۲- طبقه‌بندی نورماتیو
۹۶	..... ۲-۱- ردبه‌بندی اکانتر
۹۹	..... ۳- کاربرد داده‌های عناصر اصلی و کمیاب
۹۹	..... ۱-۱- نمودار $\text{Na}_2\text{O} + \text{K}_2\text{O}$ در مقابل $\text{SiO}_2$ ، میدلموست (۱۹۹۴)
۹۹	..... ۲-۳- نمودار دولاروش و همکاران (۱۹۸۰)
۱۰۱	..... ۳-۳- نمودارهای تغییرات
۱۰۲	..... ۱-۳-۳- تغییرات اکسیدهای عناصر اصلی در نمودارهای هارکر
۱۰۷	..... ۲-۳-۳- کاربرد عناصر جزئی در نمودارهای هارکر
۱۱۲	..... ۴-۳- نمودارهای عنکبوتی عناصر کمیاب
۱۱۸	..... ۴-۴- ویژگیهای ژئوشیمیایی
۱۱۸	..... ۱-۴- تعیین سری ماگمایی
۱۲۱	..... ۵- نمودارهای ژئوشیمیایی تفکیک کننده گرانیتها
۱۲۲	..... نتیجه‌گیری

## فصل ششم: منشا و جایگاه تکتونوماگمایی

۱۲۶	..... مقدمه
۱۲۶	..... ۱- منشا
۱۲۹	..... ۲- دمای اشباع از زیرکن
۱۳۲	..... ۳- بحث
۱۳۴	..... ۱-۳- مدل رستیت
۱۳۶	..... ۲-۳- ترکیب منشا، مذاب و رستیت
۱۳۷	..... ۳-۳- ترکیب منشا
۱۳۸	..... ۴-۳- ترکیب مذاب اولیه
۱۳۸	..... ۵- ترکیب رستیت اولیه

۱۳۸.....	۶-۳-۶- رستیت‌ها
۱۴۰.....	۶-۳-۷- تاریخچه مطالعات پیشین در مورد کانیهای بازمانده از ذوب (rstyt)
۱۴۲.....	۶-۳-۶- کاربرد مدل رستیت برای گرانیتوئیدهای الیگودرز
۱۴۲.....	۶-۳-۷- انواع رستیتهای شناخته شده در گرانیتوئیدهای الیگودرز
۱۴۳.....	۶-۳-۸- تاثیرات ژئوشیمیابی عدم اختلاط رستیتی در تکامل توده‌های نفوذی الیگودرز
۱۴۵.....	۶-۳-۹- نقش تبلور تفریقی
۱۴۵.....	۶-۴- جایگاه تکتونو‌ماگمایی
۱۴۶.....	۶-۴-۱- نمودار محیط تکتونیکی گورتون و شاندل (۲۰۰۰)
۱۴۷.....	۶-۴-۲- نمودار محیط تکتونیکی پیرس و همکاران (۱۹۸۴)
۱۴۹.....	۶-۴-۳- نمودار محیط تکتونیکی هریس و همکاران (۱۹۸۶)
۱۵۰.....	۶-۴-۵- پتروژنز
۱۵۱.....	۶-۵- الگوی تکتونوماگمایی جایگزینی

## فصل هفتم: نتیجه‌گیری و پیشنهادات

۱۵۶.....	نتیجه‌گیری
۱۶۲.....	پیشنهادات
۱۶۳.....	پیوست
۱۶۹.....	منابع

## فهرست شکلها

شکل ۱-۱) نقشه‌های نشان‌دهنده موقعیت جغرافیایی و راه‌های دسترسی به منطقه مورد مطالعه.....	۳
شکل ۱-۲) تصاویری از رخنمون توده‌های نفوذی الیگودرز (دره‌باغ و گل‌زرد) و لوکوگرانیت ازنا.....	۵
شکل ۱-۲) نقشه پهنه‌های ساختاری ایران موقعیت گرانیتوئیدهای الیگودرز با علامت ستاره مشخص شده است .....	۱۳
شکل ۲-۱) تصاویری از همبری توده‌های نفوذی الیگودرز با سنگهای میزبان.....	۱۶
شکل ۲-۲) نقشه زمین شناسی عمومی منطقه مورد مطالعه و توده‌های گرانیتوئیدی.....	۱۸
شکل ۲-۳) تصویر صحرایی از فیلیت‌های میزبان توده نفوذی دره‌باغ.....	۱۹
شکل ۲-۴) تصویر از هاله دگرگونی مجاورتی در سنگهای میزبان توده نفوذی دره‌باغ. د.....	۲۰
شکل ۲-۵) (الف) دورنمایی از مورفولوژی توده نفوذی گل‌زرد (دید به سمت جنوب). ....	۲۱
شکل ۲-۶) تصاویری از واحدهای مختلف سنگی توده‌های نفوذی الیگودرز.....	۲۲
شکل ۲-۷) تصاویری از توده نفوذی ازنا.....	۲۴
شکل ۲-۸) تصاویری از توده نفوذی ازنا.....	۲۶
شکل ۲-۹) تصاویری از انواع انکلاوهای موجود در گرانیتوئیدهای الیگودرز.....	۲۸
شکل ۲-۱۰) (الف) زینولیت‌هایی از سنگهای میزبان در داخل گرانودیوریتها.....	۲۹
شکل ۲-۱۱) تصاویر صحرایی از انواع رگه‌های موجود در توده‌های نفوذی الیگودرز و لوکوگرانیت ازنا.....	۳۱
شکل ۲-۱۲) تصاویری از رگه‌گرایزی و دایک‌های مافیک.....	۳۲
شکل ۲-۱۳) (الف و ب) شواهدی از میگماتیت‌زایی در شمال غربی توده گرانیتوئیدی دره‌باغ.....	۳۸
شکل ۲-۱۴) تصاویری از ویژگیهای میکروسکوپی سنگ‌های میزبان توده‌های نفوذی الیگودرز .....	۴۰
شکل ۲-۱۵) تصاویر میکروسکوپی نشان‌دهنده ویژگی‌های بافتی و کانی‌شناسی. ....	۴۱
شکل ۲-۱۶) تصاویر میکروسکوپی از تعدادی پلازیوکلازهای واحد گرانودیوریتی دارای ماهیت رستیتی احتمالی. ....	۴۲
شکل ۲-۱۷) پراکندگی کانی پلازیوکلاز رستیتی در توده‌های گرانیتوئیدی الیگودرز.....	۴۴
شکل ۲-۱۸) بلورهای کوارتز موجود در گرانودیوریتهای الیگودرز. ....	۴۶
شکل ۲-۱۹) تصاویر میکروسکوپی از آلکالی فلدسپار و انواع بیوتیتهای موجود در توده‌های گرانیتوئیدی الیگودرز. ....	۴۸
شکل ۲-۲۰) تصاویر میکروسکوپی از کانیهای فرعی واحد گرانودیوریتی .....	۵۰
شکل ۲-۲۱) تصاویر میکروسکوپی از آندالوزیتهای موجود در توده‌های نفوذی الیگودرز.....	۵۳
شکل ۲-۲۲) نقشه پراکندگی آندالوزیت در توده‌های نفوذی گل‌زرد و دره‌باغ.....	۵۶
شکل ۲-۲۳) تصاویر میکروسکوپی کردیریت و گارنت موجود در گرانودیوریتهای الیگودرز. ....	

..... شکل ۱۱-۳) نقشه ساده شده زمین‌شناسی پراکندگی کانی گارنت در توده‌های گرانیت‌وئیدی الیگودرز.	۵۷
..... شکل ۱۲) تصاویر میکروسکوپی از کانیهای فرعی گرانودیوریتها.	۵۸
..... شکل ۱۳) نقشه ساده شده زمین‌شناسی پراکندگی کانی سیلیمانیت در توده‌های گرانیت‌وئیدی الیگودرز.	۵۹
..... شکل ۱۴) تصاویر میکروسکوپی از کانیهای ثانویه توده‌های نفوذی الیگودرز.	۶۰
..... شکل ۱۵) تصاویر میکروسکوپی گرانیتها و لوکوگرانیتهای توده‌های نفوذی الیگودرز.	۶۲
..... شکل ۱۶) تصاویر صحرایی و میکروسکوپی از فرایند گریزنی شدن.	۶۴
..... شکل ۱۷) تصاویر میکروسکوپی از لوکوگرانیت ازنا.	۶۶
..... شکل ۱۸) تصاویر میکروسکوپی آنکلاوهای موجود در توده‌های گرانیت‌وئیدی الیگودرز.	۶۷
..... شکل ۱۹) تصاویر نشان‌دهنده حضور میگماتیت‌ها در حاشیه توده‌های گرانیت‌وئیدی الیگودرز.	۶۹
..... شکل ۲۰) نقشه منطقه‌بندی تغییرات ناهمسانگردی پذیرفتاری مغناطیسی.	۷۱
..... شکل ۲۱) نقشه پراکندگی کانیهای رستیتی در توده‌های نفوذی الیگودرز.	۷۲
..... شکل ۲۱-۴) تصاویر میکروسکوپی بیوتیتهای موجود در توده‌های نفوذ الیگودرز.	۷۵
..... شکل ۲-۴) شیمی بیوتیتهای موجود در توده‌های گرانیت‌وئیدی الیگودرز جهت تعیین سری ماگمایی.	۷۷
..... شکل ۴-۳) نمودارهای تعیین محیط تکتونیکی گرانیتها با استفاده از اکسیدهای عناصر اصلی در داخل بیوتیت.	۷۸
..... شکل ۴-۴) نمودار مثلثی $MgO$ , $TiO_2$ و $FeO^*$ برای طبقه‌بندی بیوتیتها.	۷۸
..... شکل ۴-۵) طبقه‌بندی میکاهای گرانیت‌وئیدهای الیگودرز با استفاده از ترکیب شیمیایی آنها.	۷۹
..... شکل ۴-۶) (الف) تصویری از پلازیوکلازهای مورد تجزیه در نور پلاریزه	۸۱
..... شکل ۴-۷) نمودار دیبر و همکاران (۱۹۹۲) برای تعیین ترکیب فلدسپار.	۸۱
..... شکل ۴-۸) ذوب‌بخشی پلازیوکلاز ( $An_{60}$ ) در سیستم $Qz-Ab-An-H_2O$ .	۸۲
..... شکل ۴-۹) تصاویر میکروسکوپی از گارنتهای موجود در توده نفوذی گل زرد.	۸۴
..... شکل ۴-۱۰) نمودار $CaO$ در مقابل $MnO$ برای مشخص کردن منشا گارنت در توده‌های نفوذی الیگودرز.	۸۵
..... شکل ۴-۱۱) الگوی منطقه‌بندی گارنت موجود در گرانودیوریتها (نقاط ۱ تا ۵۰).	۸۸
..... شکل ۴-۱۲) الگوی منطقه‌بندی گارنت موجود در گرانودیوریتها (نقاط ۵۱ تا ۱۰۹).	۸۹
..... شکل ۴-۱۳) (الف) تصویری از حضور پیروکسن در سنگهای گرانیت‌وئیدی الیگودرز.	۹۰
..... شکل ۴-۱۴) نمودار مثلثی $Ab-An-Or$ برای طبقه‌بندی گرانیت‌وئیدهای (اکانر، ۱۹۶۵).	۹۸
..... شکل ۵-۲) طبقه‌بندی شیمیایی سنگهای نفوذی بر طبق عناصر اصلی (میدلموست و همکاران، ۱۹۹۴).	۱۰۰
..... شکل ۵-۳) طبقه‌بندی شیمیایی سنگهای نفوذی دولاروش و همکاران (۱۹۸۰).	۱۰۱

۱۰۴ ..... شکل ۵-۴) نمودارهای هارکر عناصر اصلی.....

۱۱۰ ..... شکل ۵-۵) نمودارهای هارکر عناصر کمیاب.....

۱۱۴ ..... شکل ۵-۶) تغییرات فراوانی عناصر REE گرانیتوئیدهای الیگودرز نسبت به کندریت (باینتن، ۱۹۸۹). ....

۱۱۶ ..... شکل ۵-۷) نمودار عنکبوتی (چند عنصری) عناصر کمیاب گرانیتوئیدهای الیگودرز نسبت به گوشته اولیه.....

۱۱۷ ..... شکل ۵-۸) نمودار عنکبوتی (چند عنصری) عناصر کمیاب لوکوگرانیت ازنا نسبت به گوشته اولیه.....

۱۱۸ ..... شکل ۵-۹) نمودار عنکبوتی (چند عنصری) عناصر کمیاب گرانیتوئیدهای الیگودرز نسبت به پوسته بالایی.....

۱۱۹ ..... شکل ۵-۱۰) نمودار مثلثی AFM برای تفکیک سری تولئیتی از کالکآلکالن (ایروین-باراگار، ۱۹۷۱).....

۱۲۰ ..... شکل ۵-۱۱) نمودار  $K_2O$  در برابر  $SiO_2$  برای تفکیک سری تولئیتی، کالکآلکالن و شوشوئیتی.....

۱۲۱ ..... شکل ۵-۱۲) نمودار A/CNK در مقابل A/KN برای تمایز مagmaها پرآلومین، متآلومین و پرآلکالن.....

۱۲۳ ..... شکل ۵-۱۳) نمودارهای ژئوشیمی متمایز کننده گرانیتها نوع S و I.....

۱۲۷ ..... شکل ۶-۱) نمودار Rb/Sr در مقابل Rb/Ba برای تعیین منشا گرانیتوئیدهای به شدت پرآلومین.....

۱۲۸ ..... شکل ۶-۲) نمودار A-B از ویلاسکا و همکاران (۱۹۹۸). ....

۱۲۹ ..... شکل ۶-۳) نمودار لی و همکاران (۲۰۰۳) جهت تعیین منشا گرانیتوئیدهای الیگودرز.....

۱۳۷ ..... شکل ۶-۴) نمودار نشان دهنده ذوب بخشی یک سنگ منشا (S) برای تشکیل رستیت (R) و مذاب (L).....

۱۴۴ ..... شکل ۶-۵) ارتباط بین مقادیر Zr و درصد بیوتیت در گرانیتها.....

۱۴۶ ..... شکل ۶-۶) نمودار نسبت لگلاریتمی Th/Yb در مقابل Y/Ta برای تعیین جایگاه تکتونیکی سنگهای آذرین.....

۱۴۹ ..... شکل ۶-۷) نمودار تعیین موقعیت تکتونیکی گرانیتها که توسط پیرس و همکاران (۱۹۸۴).....

۱۵۰ ..... شکل ۶-۸) نمودار هریس و همکاران (۱۹۸۶) برای تعیین محیطهای تکتونیکی سنگهای گرانیتی.....

۱۵۳ ..... شکل ۶-۹) تصویر شماتیک از نحوه تشکیل توده‌های گرانیتوئیدی مورد مطالعه از طریق آناتکسی، پوسته.....

## فهرست جداول

جدول ۱-۳) علامت اختصاری مربوط به کانی‌ها (سیوولا و اشمید، ۲۰۰۷)	۳۶
جدول ۲-۳- طبقه‌بندی آندالوزیت از نظر ژنتیکی و منشا (کلارک و همکاران، ۲۰۰۵)	۵۱
جدول ۳-۳- طبقه‌بندی کردیریت از نظر ژنتیکی و منشا (کلارک، ۱۹۹۵)	۵۵
جدول ۴-۱) نتایج تجزیه نقطه‌ای (میکروپروب) بیوتیت‌های توده‌های نفوذی الیگودرز	۷۶
جدول ۴-۲) نتایج آنالیز نقطه‌ای (میکروپروب) پلاژیوکلازهای موجود در توده‌های نفوذی الیگودرز	۸۲
جدول ۴-۳) نتایج تجزیه نقطه‌ای عناصر اصلی در گارنت	۸۶
جدول ۴-۴) آنالیز عناصر اصلی و فرعی واحدهای مختلف توده‌های نفوذی الیگودرز	۹۷
جدول ۴-۵) نورم محاسبه شده برای توده‌های گرانیتوئیدی الیگودرز و لوکوگرانیت ازنا	۹۸
جدول ۵-۱) ضریب توزیع عناصر در کانیهای مختلف (رولینسون، ۱۹۹۳)	۱۱۱
جدول ۵-۲) ترکیب میانگین گرانیتوئیدهای الیگودرز، لوکوگرانیت ازنا، گرانیتهای نوع S	۱۱۳
جدول ۵-۳) خصوصیات گرانیتهای نوع S و I (چپل، ۲۰۱۰)	۱۲۲
جدول ۶-۱) دمای اشباع از زیرکن بر حسب درجه سانتی‌گراد برای گرانیتوئیدهای الیگودرز	۱۳۰
جدول ۶-۲) تولید کانیهای رستیتی در نبود سیال در انواع سنگهای مختلف (رودنیک، ۱۹۹۰)	۱۳۲

# فصل اول

کہات  
•

## مقدمه

در این تحقیق سنگهای گرانیتوئیدی ازنا-الیگودرز با سن ژوراسیک میانی واقع در استان لرستان مورد بررسی قرار می‌گیرد (شکل ۱-۱). در این بخش موقعیت جغرافیایی، راههای ارتباطی، آب و هوا و ژئومورفولوژی منطقه مورد بررسی قرار گرفته و در ادامه تاریخچه مطالعات قبلی انجام شده در منطقه و هدف از این تحقیق آورده شده است.

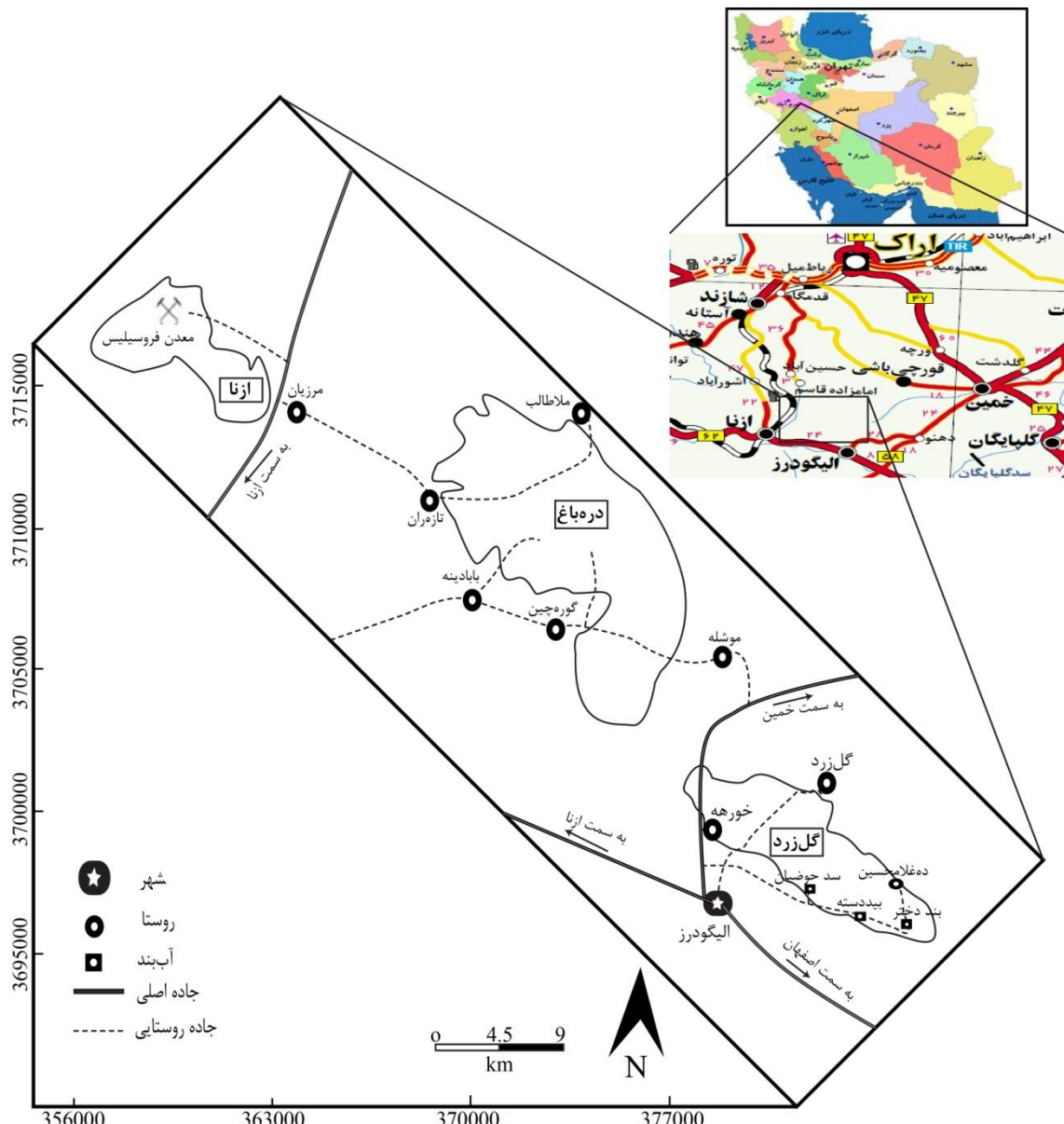
### ۱-۱- موقعیت جغرافیایی

توده‌های گرانیتوئیدی مورد مطالعه در استان لرستان در حد فاصل شهرهای ازنا تا الیگودرز در محدوده‌ای با مختصات جغرافیایی  $22^{\circ} 37' \text{ تا } 33^{\circ} 37'$  طول شرقی و  $48^{\circ} 26' \text{ تا } 49^{\circ} 48'$  عرض شمالی رخنمون دارند. این توده‌های نفوذی به نامهای الیگودرز (دره‌باغ یا ملاطالم و گل‌زرد یا خوره) و ازنا، دارای روند کلی شمال غربی-جنوب شرقی هستند و در زون ساختاری سندج-سیرجان واقع شده‌اند.

### ۱-۲- راههای ارتباطی

منطقه مورد مطالعه به علت آب و هوای مناسب، وجود روستاهای فراوان و راههای ارتباطی آنها دسترسی به آن آسان است. جاده ارتباطی بین اصفهان و خوزستان از قسمت جنوبی منطقه عبور می‌کند. جاده‌های آسفالتی الیگودرز- خمین، اصفهان- الیگودرز، اراک- ازنا و راههای روستایی از جمله جاده‌های هستند که به آسانی می‌توان به منطقه دسترسی پیدا کرد. راه دسترسی به توده گرانیتوئیدی شمال ازنا از جاده اصلی اراک- ازنا که در فاصله ۱۵ کیلومتری شهر ازنا و جاده فرعی معدن فروسلیس مومن‌آباد امکان‌پذیر است. برای رفتن به سمت توده دره‌باغ در فاصله ۱۵ کیلومتری جاده اصلی ازنا- اراک، جاده روستایی مرزیان و تازه‌ران و از خود شهر ازنا راه روستایی بابادینه،

گوره‌چین می‌توان استفاده کرد. جاده اصلی الیگودرز–خمین و الیگودرز–روستای گل‌زرد راه دسترسی به توده گرانیتیوئیدی گل‌زرد است (شکل ۱-۱).



شکل ۱-۱) نقشه‌های نشان‌دهنده موقعیت جغرافیایی و راههای دسترسی به منطقه مورد مطالعه (اقتباس از سایت اطلس جامع راههای ایران).

### ۳-۱- آب و هوا و ریخت‌شناسی

آب و هوای منطقه الیگودرز بدلیل کوهستانی بودن دارای زمستانهای سرد و طولانی و تابستانهای ملایم و کوتاه است که به موجب آن بارندگی در این منطقه زیاد بوده و چشمهای فراوان پرآب و فصلی وجود دارد. فعالیت ساکنین در این منطقه اغلب دامداری، کشاورزی و باحداری است. مهمترین محصول کشت شده گندم، جو، انگور، سیب، گردو و سیب‌زمینی است که آب مورد نیاز برای کاشت و داشت این محصولات از طریق چشمهای، آبراههای و رودخانهای کوچک تأمین می‌شود. در ناحیه ازنا-الیگودرز دشت‌های مسطح و ارتفاعات بلند را می‌توان مشاهده کرد که متأثر از زمین‌ساخت، لیتولوژی و آب و هوا است. به طور کلی توپوگرافی و ژئومورفولوژی منطقه تابعی از لیتولوژی می‌باشد بطوریکه شیست و اسلیت به دلیل فرسایش بیشتر مناطق پستی را بوجود آورده و توده‌های گرانیتی‌یدی قسمت‌های مرتفع را تشکیل می‌دهند. بلندترین ارتفاعات مربوط به توده‌های نفوذی دره‌باغ و گل‌زد است. پوشش گیاهی منطقه بدلیل بارش فراوان مناسب است. تصاویری از مورفولوژی منطقه مورد مطالعه در شکل (۲-۱) نشان داده شده است.

### ۴-۱- تاریخچه مطالعات قبلی

- تیله و همکاران (۱۹۶۸) اولین مطالعات زمین‌شناسی در این منطقه را انجام داده که تحت عنوان "گزارش زمین‌شناسی نواحی الیگودرز-ازنا-درود و شرق بروجرد" تهیه کرده و به پی‌جوبی مواد معدنی غیرفلزی پرداخته‌اند.

- سهیلی و همکاران (۱۳۷۱) نقشه زمین‌شناسی ۱:۱۰۰۰۰۰ الیگودرز را تهیه و در سازمان زمین‌شناسی کشور منتشر نمودند.



شکل ۱-۲) تصاویری از رخنمون توده‌های نفوذی الیگودرز (دره‌باغ و گل‌زرد) و لوکوگرانیت ازنا. (الف) دورنمایی از توده نفوذی دره‌باغ، شمال روستای تازه‌ران (دید به سمت جنوب‌غرب); (ب) دورنمایی از توده گرانیت‌وئیدی گل‌زرد، روستای گل‌زرد (دید به سمت جنوب؛ (ج) دورنمایی از توده لوکوگرانیتی ازنا (دید به سمت شمال شرق).

- ابراهیمی (۱۳۷۰) در پایان‌نامه کارشناسی ارشد خود با عنوان "زمین‌شناسی و پترولولوژی سنگهای

آذرین شمال الیگودرز" توده نفوذی را مطالعه کرده است.

- قاسمی (۱۳۷۱) در پایان‌نامه کارشناسی ارشد خود با عنوان "سنگهای دگرگونی و آذرین توده

بوئین-میاندشت (شمال شرق الیگودرز)" به مطالعه سنگهای آذرین این منطقه پرداخته است.

- صدیقی (۱۳۷۳) پایان نامه کارشناسی ارشد با عنوان "زمین‌شناسی و پترولوزی توده نفوذی شمال الیگودرز" با استفاده از ژئوشیمی عناصر اصلی منطقه گل‌زرد (خورهه) را مطالعه کرده است.
- شریفی (۱۳۷۶) در پایان نامه کارشناسی ارشد خود با عنوان "زمین‌شناسی و پترولوزی سنگهای دگرگونی و آذرین منطقه شمال گلپایگان" را بررسی نموده و این توده را جزء گرانیت‌وئیدهای تیپ S معرفی کرده است.
- فرهادی‌نژاد (۱۳۷۷) در پایان نامه کارشناسی ارشد خود با عنوان "زمین‌شناسی، کانی‌شناسی، ژنز کانسار سرب و روی گل‌زرد (شمال الیگودرز)" کانه‌زایی این منطقه را مورد مطالعه قرار داده است.
- مجل (۱۳۷۷) چند شکلی و توالی چین‌های کمپلکس ژان-درود-ازنا (زون سنندج-سیرجان) را بررسی کرده است.
- باقری (۱۳۸۰) پایان نامه کارشناسی ارشد خود با عنوان "مطالعه پترولوزی، ژئوشیمی و خاکهای کمیاب در توده‌های گرانیت‌وئیدی شمال، شمال شرق و شمال غرب الیگودرز با تأکید بر آنکلاوهای آن" را مطالعه کرده است.
- باقریان و خاکزاد (۱۳۸۰) پترولوزی و ژئوشیمی توده نفوذی دره‌باغ (ملاطالب) را بررسی و توده مذکور را از نوع گرانیت‌وئیدی تیپ S معرفی کرده است.
- درویشی و همکاران (۲۰۱۵) در مقاله خود با عنوان "ژئوشیمی، داده‌های ایزوتوپی Sr-Nd پتروزنس گرانیت‌وئیدهای مرزیان، زون سنندج-سیرجان، غرب ایران" را مورد مطالعه قرار داده است. ایشان در این مقاله گرانیت‌وئیدهای مرزیان را پرآلومین مشتق شده از یک منشا متاپلیتی معرفی نمود.
- صادقیان و شکاری (۱۳۹۴) در مقاله خود با عنوان "پتروزنس و خاستگاه زمین ساختی توده گرانیت‌وئیدی دره‌باغ (شمال باختر الیگودرز)" مورد مطالعه قرار داده است.

- رجاییه (۱۳۸۴) در پایان نامه کارشناسی ارشد خود پترولوزی و ژئوشیمی توده دهنو (شمال شرق الیگودرز) را مورد مطالعه و بررسی قرار داد و آن را از نوع کالک‌آلکالن که در محیط قوس آتشفسانی تشکیل می‌شوند معرفی نمود.

- اثنی عشری (۱۳۹۰) در قالب پایان نامه دکتری خود با عنوان "پترولوزی و ژئوشیمی گرانیتوئیدهای شمال و شمال غرب الیگودرز" را مورد بررسی قرار داد. همچنین سن سنجی به روش U-Pb برروی زیرکن‌های این منطقه انجام داده سن گرانودیوریتها را  $176 \pm 3.5$  میلیون سال و سن گرانیتها را نیز  $165 \pm 5$  میلیون سال (ژوراسیک میانی) بدست آورده است. ایشان در واحد گرانیتی به زیرکن‌های موروثی نیز اشاره کرده‌اند که دارای منطقه‌بندی نوسانی بوده و در داخل این توده‌ها وجود دارد. زیرکن‌های موروثی موجود سنین متفاوتی از ۱۷۰ میلیون سال تا ۲۵۰ میلیون سال (ژوراسیک تا تریاس) و تعدادی نیز تا سقف ۲۰۲۷ میلیون سال (پالئوپروتزوژوئیک) نشان می‌دهند.

- بدلو (۱۳۹۰) در قالب پایان نامه کارشناسی ارشد خود با عنوان "بررسی مکانیسم جایگیری توده گرانیتوئیدی گل‌زرد (شمال الیگودرز)" به وسیله روش AMS منطقه را مورد بررسی قرار داده و ساز و کار جایگیری این توده نفوذی را مرتبط با یک فضای کششی حاصل عملکرد یک زون برشی امتدادلغز راستبر معرفی کرده است.

- شکاری (۱۳۹۰) در پایان نامه کارشناسی ارشد خود با عنوان "بررسی مکانیسم جایگیری توده گرانیتوئیدی دره‌باغ (شمال غرب الیگودرز)" با استفاده از روش ناهمسانگردی قابلیت پذیرفتاری مغناطیسی (AMS) این توده را جز گرانیتوئیدهای پرآلومین و کالک‌آلکالن نوع S معرفی کرده است. بر اساس این مطالعه توده گرانیتوئیدی دره‌باغ به شکل یک سیل نسبتاً بزرگ و در پهنه برشی راستبر (مرتبط با یک رژیم ترافشارشی) جای گرفته است.

- باغبانی (۱۳۹۰) در قالب پایان نامه کارشناسی ارشد خود با عنوان "بررسی تفصیلی پترولوزی و ژئوشیمی توده‌های گرانیتوئیدی ازنا-الیگودرز" منطقه را مورد مطالعه قرار داده است. بر اساس این

مطالعه گرانیتوئیدهای مزبور حاصل فعالیتهای ماگمایی مرتبط با فرورانش ورقه اقیانوسی نئوتیس به زیر ورقه قاره‌ای ایران مرکزی می‌باشد.

## ۱-۵- اهداف مطالعه

تاکنون مطالعات زیادی بر روی مجموعه گرانیتی الیگودرز انجام شده است (برای مثال باقریان و خاکزاد، ۱۳۸۰؛ باقری، ۱۳۹۰؛ شکاری، ۱۳۹۰؛ بدلو، ۱۳۹۰؛ باغبانی، ۱۳۹۰؛ اثنی عشری، ۱۳۹۰). اثنی عشری گرانیتوئیدهای منطقه الیگودرز (توده‌های نفوذی دره‌باغ و گل‌زرد) را از یک منشا مشترک دانسته که فرایندهای هضم و تبلور بخشی (AFC) نقش اصلی را در سیر تحولی ماگمای اولیه داشتند. باغبانی (۱۳۹۰) نیز با اشاره به روندهای خطی نمودارهای تغییرات عناصر اصلی و کمیاب در نمودارهای هاکر، عامل تبلور تفریقی و ذوب‌بخشی را در تشکیل توده‌های گرانیتوئیدی مزبور دخیل دانسته و این مجموعه آذرین را حاصل فعالیتهای ماگمایی مرتبط با فرورانش پوسته اقیانوسی نئوتیس به زیر ورقه قاره‌ای ایران مرکزی معرفی کرده است. نگاهی جامع و موشکافانه به مجموع مطالعات پیشین نشان می‌دهد که اولاً همه محققین در مورد خاستگاه و ژنز سنگهای مزبور اتفاق نظر نداشته و ثانیاً در بیشتر این پژوهشها به حضور و نقش کانیهای رستیتی در پتروژنز توده‌های گرانیتوئیدی الیگودرز هیچ اشاره‌ای نشده است. در این پژوهش ابتدا کانیهای رستیتی با استفاده از شواهد پتروگرافی و ژئوشیمی شناسایی شده و سپس نقش آنها در پتروژنز این مجموعه گرانیتی مورد بررسی قرار می‌گیرد.

برخی از مهمترین اهداف این طرح پژوهشی شامل موارد زیر می‌باشد:

۱. شناسایی و تفکیک دقیق انواع کانیهای رستیتی از ماگمایی بر اساس مطالعات صحرایی، مشاهدات دقیق میکروسکوپی و به خصوص شیمی کانی؛

۲. مطالعات ژئوشیمیایی و بررسی سیر تحولات ماقمایی بر روی تعدادی از نمونه‌های سنگی

متنوع؛

۳. محاسبه دمای اشباع از زیرکن که روش خوبی برای برآورد دمای ماقم در هنگام تبلور زیرکن

می‌باشد و کاربرد آن راه مطمئنی برای تعیین مشارکت تفریق کانیهای رستیتی در سرنوشت

یک جایگاه گرانیتی می‌باشد.

۴. تلفیق نتایج حاصله در بازسازی فرایند صحیح پتروژنز، منشا و حتی الگوی جایگیری توده‌های

گرانیتوئیدی مزبور.

## ۱-۶- روش تحقیق

به منظور تحقق اهداف یاد شده مراحل و روش‌های زیر انجام شده است:

- شناخت مقدماتی منطقه مورد مطالعه از طریق گردآوری اطلاعات از پایان‌نامه‌ها، مقالات، گزارش‌های

منتشر شده، نقشه‌های زمین‌شناسی (۱/۱۰۰۰۰۰ ۱/۲۵۰۰۰۰ گلپایگان و الیگودرز)، تصاویر ماهواره‌ای

و مطالعه کارهای انجام شده مرتبط با موضوع در سایر نقاط جهان.

- مطالعات صحرایی و نمونه‌برداری از بخش‌های مختلف منطقه و تهیه نقشه زمین‌شناسی.

- تهیه بیش از ۴۰ مقطع نازک و ۲۰ مقطع نازک - صیقلی از واحدهای مختلف سنگی توده‌های

نفوذی مورد مطالعه (شامل گرانوودیوریت، گرانیت، لوکوگرانیت و انکلاوهای) و بررسی آنها از نظر

مطالعات پتروگرافی. در این راستا بیش از ۲۰۰ مقطع نازک نیز که قبلاً توسط بدلو (۱۳۹۰) و شکاری

(۱۳۹۰) برای توده‌های نفوذی الیگودرز (گل‌زرد و دره‌باغ) تهیه شده بود استفاده شده است.

- آماده‌سازی تعدادی از نمونه‌های برداشت شده جهت انجام تجزیه شیمیایی سنگ کل به روش‌های

ICP-OES و ICP-MS به منظور اندازه‌گیری عناصر اصلی و کمیاب در آزمایشگاه ژئوشیمی دانشگاه

میامی آمریکا.

- انتخاب تعدادی مقاطع نازک - صیقلی از گرانیت‌های و انجام تجزیه نقطه‌ای برخی از مهمترین کانیهای تشکیل دهنده آنها با استفاده از دستگاه الکترون میکروپرور مدل Cameca SX50 در آزمایشگاه ژئوشیمی دانشگاه کنتاکی امریکا. همچنین در این آزمایشگاه، به منظور شناسایی و بررسی تعییرات ترکیبی برخی از کانیهای با استفاده از آشکارساز مخصوص الکترونهای برگشتی تصاویر BSE (backscattered electron) نیز تهیه شده است.
- تجزیه و تحلیل داده‌های ژئوشیمیایی و تلفیق آنها با مشاهدات صحرایی و پتروگرافی.

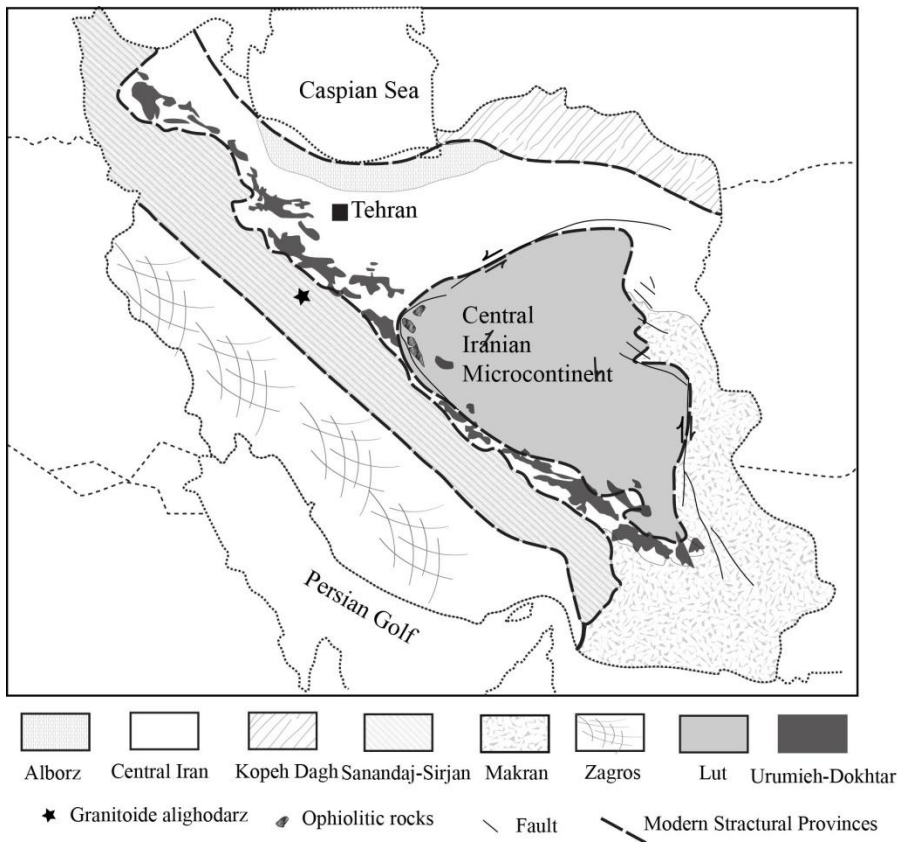
فصل دوم

زمین‌شناسی عمومی

توده‌های نفوذی الیگودرز (دره‌باغ و گل‌زرد) و لوكوگرانیت ازنا از نظر تقسیم‌بندی ساختاری جزئی از نوار کوهزاپی سندج - سیرجان محسوب می‌شود (آقانباتی، ۱۳۸۳). این پهنه یکی از اصلی‌ترین و مهمترین زون‌های ساختاری ایران است و فازهای ماگمایی و دگرگونی متعددی در آن رخ داده است. در این فصل ابتدا برخی از مهمترین ویژگیهای زمین‌شناسی این نوار ارائه خواهد شد و سپس مهمترین واحدهای سنگی رخنمون یافته در این منطقه معرفی و هر واحد به اجمال مورد بررسی قرار خواهد گرفت.

### ۲-۱- نوار کوهزاپی سندج - سیرجان

پهنه سندج - سیرجان به صورت نوار باریکی بین پهنه ایران مرکزی و راندگی اصلی زاگرس قرار دارد. و از سنگهای با دگرشکلی بالا، واقع بین شهرهای سیرجان و اسفندقه در جنوب شرق، و ارومیه و سندج در شمال غرب تشکیل شده است (محجل و فرگوسن، ۲۰۰۰). ویژگیهای سنگی و ساختاری این زون معرف یک گودی عمیق و یا کافت در سپر پرکامبرین ایران و عربستان است. به همین منظور ویژگیهای زمین‌ساختی آن با پهنه‌های مجاور تفاوت‌های آشکاری دارد. نوار سندج - سیرجان به طول تقریبی ۱۵۰۰ کیلومتر و عرض ۱۵۰ تا ۲۵۰ کیلومتر از دریاچه ارومیه آغاز و در یک راستای شمال غربی، جنوب شرقی تا گسل میناب در شمال بندرعباس ادامه می‌یابد (شکل ۱-۲). بر خلاف مرز جنوب غربی که با راندگی اصلی زاگرس مشخص است ارتباط شمال شرقی این زون با ایران مرکزی به دلیل پوشش گسترده سنگهای ترشیری - کواترنر، تغییرات جانبی رخساره‌ها و نیز دگرشکلی‌های پیچیده به خوبی مشخص نیست. فروافتادگی دریاچه ارومیه، توزلوگل، گاوخونی و جازموریان فصل مشترک تقریبی سندج - سیرجان با ایران مرکزی است (اشتوکلین، ۱۹۶۸). همخوانی روند و الگوی



شکل ۲-۱) نقشه پهنه‌های ساختاری ایران موقعیت گرانیت‌های الیگودرز با علامت ستاره مشخص شده است.  
برگرفته از قاسمی و تالبوت، ۲۰۰۶.

ساختاری سبب شده تا زمین‌شناسانی مانند، فرهودی (۱۹۸۷) و علوی (۱۹۹۴) سنندج-سیرجان را زیرپهنه‌ای از کوهزایی زاگرس بدانند. این پهنه جزء ناآرامترین و به عبارتی فعال‌ترین زون ساختمانی ایران است و تا سنوزوئیک فازهای دگرگونی و مagmaتیسم مهمی را پشت سرگذاشته است. پهنه سنندج-سیرجان را می‌توان از ناحیه گلپایگان به دو بخش شمالی و جنوبی تقسیم کرد: بخش شمالی که فازهای مهم کوهزایی سیمرین و کرتاسه پایانی را تحمل کرده و در آن توده‌های نفوذی متعددی نظیر الوند، بروجرد، اراک و ملایر تزریق شده است. بخش جنوبی که کوهزایی پرکامبرین و تریاس میانی، تغییر شکلها و دگرگونی‌های مهمی در آن حادث شده است. توده‌های نفوذی منفردی نظیر گرانیت‌های حاجی‌آباد، سیرجان، اقلید و توده‌های بازیک اسفندقه نتیجه عملکرد این فازهای کوهزایی است.

## ۲-۱-۱- تاریخچه چینه‌نگاری سنندج-سیرجان

در این زون پدیده‌های دگرگونی، ماقمایی و زمین‌ساخت پی‌درپی و هماهنگ با فازهای زمین‌ساختی شناخته شده در مقیاس جهانی دارای بیشترین مقدار است، به همین جهت این زون ناآرامترین و پویاترین پهنه زمین‌ساختی ایران است. درباره پی‌سنگ پرکامبرین این پهنه اطلاع روشی در دست نیست. در پاره‌ای از گزارشها پی‌سنگ مشکل از آمفیبولیت، گنیس و آمفیبولیت شیست است (آقانباتی، ۱۳۸۳).

تیله و همکاران (۱۹۶۸) بر این باورند که فاز کوهزایی هرسی‌نین با دگرگونی همراه بوده است. مجموعه پرمین زون سنندج - سیرجان کم و بیش با ایران مرکزی همانند است ولی سنگهای شیلی در این پهنه بیشترند و در برخی نقاط مانند حاجی‌آباد، اقلید، گلپایگان و مریوان با دیابازهای قلیایی و بازالت همراه است. به جز در موارد نادر، سنگهای پرمین را شیسته‌های تریاس بالایی-ژوراسیک پوشانده‌اند و شواهد موجود گویای این است که در میانه‌های تریاس حوالدی بس مهم روی داده که در نتیجه آن سنگ‌های زون سنندج - سیرجان دچار دگرگونی دیناموتomal شده‌اند که تارخسارة آمفیبولیت پیشرفت و در اعماق پایین‌تر به ذوب آناتکتیک رسیده است. از آغاز تریاس پسین تا کرتاسه پسین در اثر فرونشست زون سنندج - سیرجان رسوبات آواری و گاه کربناتی، همراه با سنگ‌های ماقمایی انباسته شده است. این توالی‌ها تحت تأثیر فاز کوهزایی لارامید قرار گرفته‌اند که حاصل آن پایداری و سخت شدن بخش‌های شمال غربی زون سنندج - سیرجان است به گونه‌ای که در نواحی غرب ارومیه، میاندوآب، بوکان و مهاباد رسوبات آهکی الیگومیوسن (سازند قم) چین‌خوردگی ملایم و دامنه کوتاه دارند (افتخارنژاد، ۱۳۵۹). به جز چند ناحیه در زون سنندج - سیرجان سنگ‌های ترشیری گسترش چندانی ندارند.

## ۲-۱-۲- دگرگونی سنندج - سیرجان

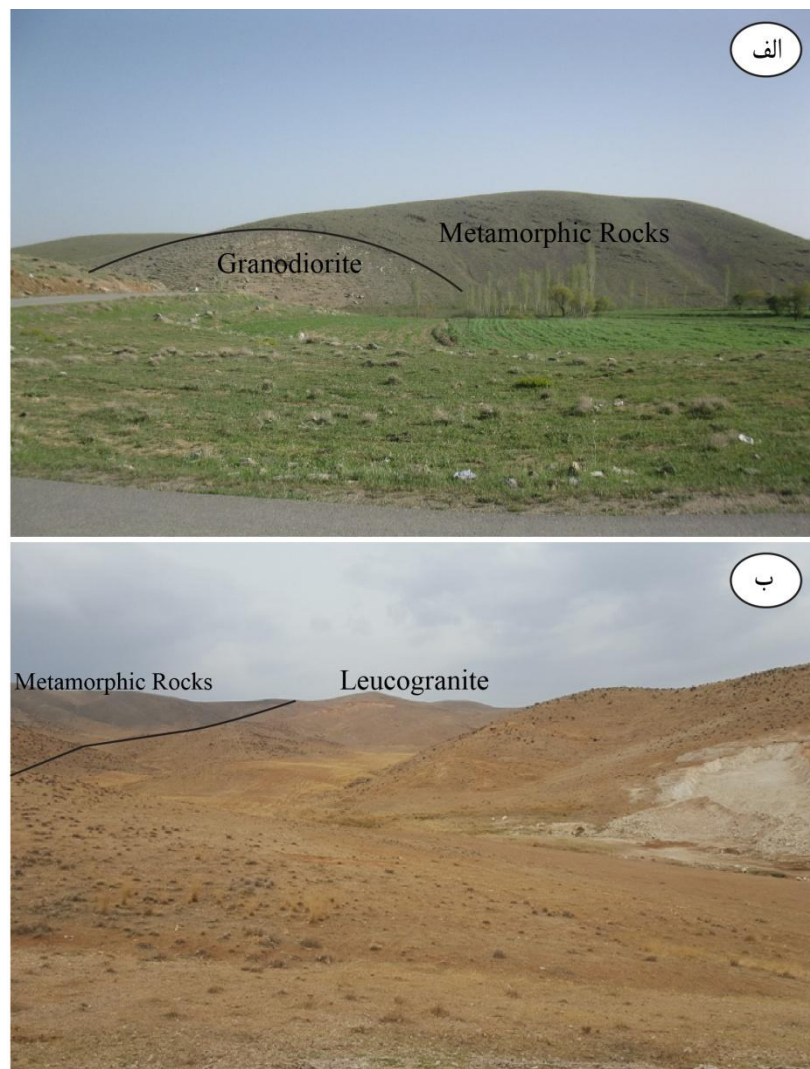
در گذشته بخش قابل توجهی از این دگرگونی‌ها به سن پرکامبرین و به عنوان بی‌سنگ ناحیه شناخته می‌شدند. ولی یافته‌های تازه نشانگر آن است که به جز نواحی کوچکی از گلپایگان و سیرجان، در دیگر نواحی سنگ‌های دگرگونی بیشتر در ارتباط با جنبش‌های کوهزایی جوان‌تر است. لیتواستراتیگرافی سنگ‌های دگرگون شده سیمیرین پیشین در قسمت جنوبی نوار سنندج- سیرجان کم و بیش یکنواخت است. در رسوبات پالئوزوئیک این مناطق، دونین اهمیت بیشتری داشته و در آن علاوه بر رسوبات آهکی (محیط آرام) رسوبات تخریبی (ماسه‌سنگ رسدار، عدسی‌های از رسوبات آهنه و بقایای زغالی) نیز دیده شده است (درویش‌زاده، ۱۳۸۹).

## ۳-۱-۲- زمین‌ساخت سنندج - سیرجان

اگرچه مُحَجَّل و سهندی (۱۳۷۸) الگوی ساختاری سنندج - سیرجان را از نوع چین‌های بسته و هم راستا در مقیاس کیلومتری می‌دانند، ولی علوی (۱۹۹۴) زمین‌ساخت این منطقه را به طور عمده از ساختارهای دوپلکس (Duplex) مرکب بزرگ مقیاس و همچنین سیستم‌های فلسی (Imbricated) کوچک و بزرگ زاویه، با شیب به سمت شمال‌شرقی می‌داند که در اثر آن ورقه‌هایی از سنگ‌های فانروزوئیک دگرگونی و غیر دگرگونی به اندازه‌های ناهمسان جابه‌جا شده‌اند. شواهد چینه‌نگاشتی و کنگلومراهای همزمان با کوهزایی، نشانگر آن است که این راندگی‌ها از کرتاسه پسین آغاز شده‌اند. شواهد ساختاری جهت راندگی‌ها را از شمال شرق به جنوب غرب نشان می‌دهد. جابه‌جایی و انباشتگی ورقه‌های راندگی سبب افزایش ضخامت پوسته قاره‌ای به اندازه تقریبی ۱۰ تا ۱۵ کیلومتر شده است. نخستین رویداد گسلش راندگی در کرتاسه پسین، حاصل جایگیری افیولیت‌ها بر روی حاشیه قاره‌ای غیرفعال زاگرس- عربستان و انتقال فلس‌های حاشیه‌ای به صورت صفحه‌های نابرجا به سوی جنوب غرب است. فلسفی شدن توالی حاشیه‌ای و فرارانش افیولیت‌ها که حاصل رویکرد آغازین

برخورد قاره‌ای زاگرس است ممکن است به صورت منشورهای افزایشی کنونی در زون‌های برخوردی

رخ داده باشد (علوی، ۱۹۹۴).



شکل ۲-۲) تصاویری از همبری توده‌های نفوذی الیگودرز با سنگ‌های میزان. (الف) دورنمایی از همبری توده گرانیتوئیدی گل‌زرد با سنگ‌های متاپلیتی میزان (دید به سمت شمال غرب); (ب) دورنمایی از همبری لوکوگرانیت ازنا با سنگ‌های دگرگونی (دید به سمت شمال غرب).

## ۲-۲- زمین‌شناسی عمومی منطقه مورد مطالعه

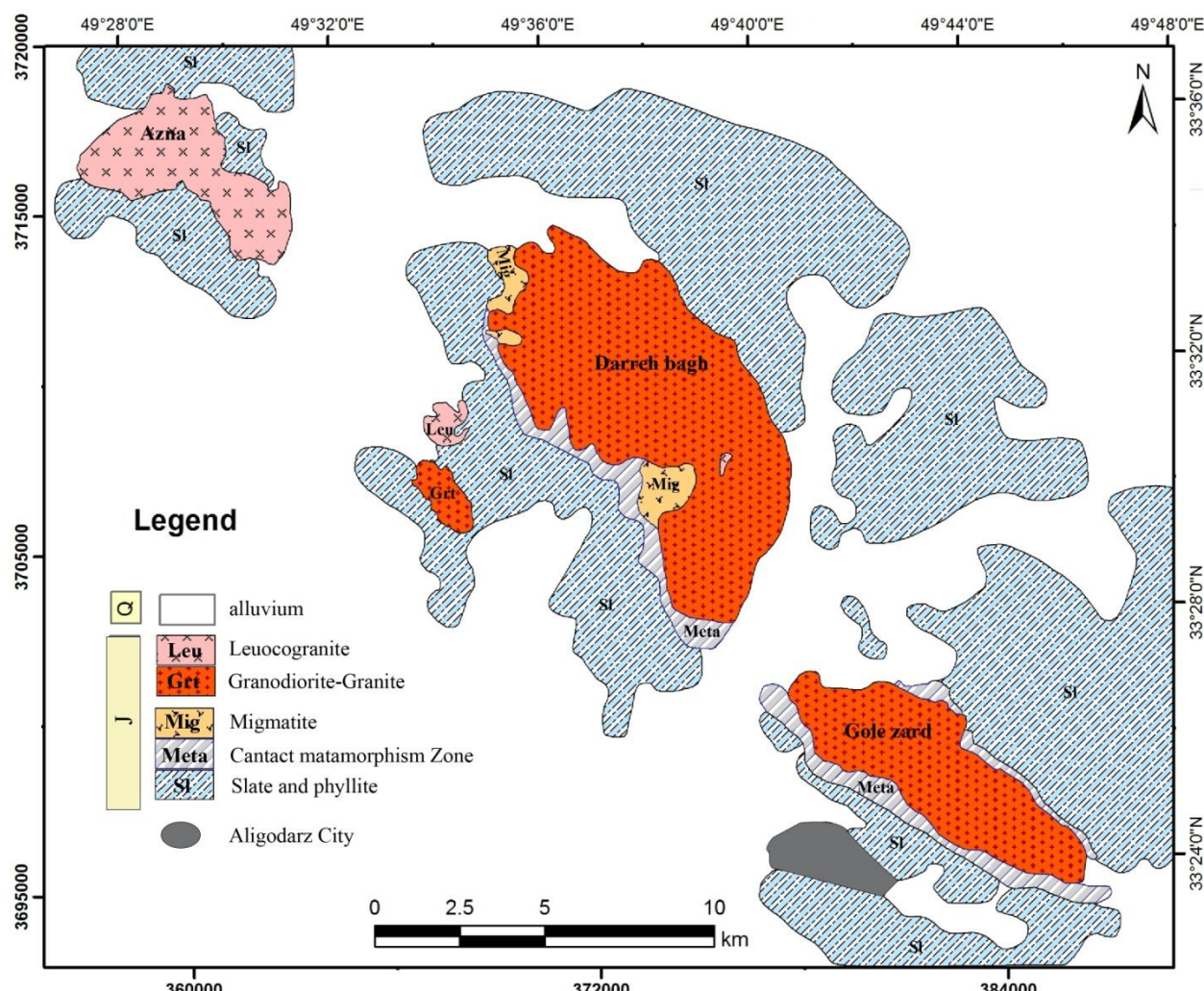
توده‌های نفوذی الیگودرز (دره‌باغ و گل‌زرد) و لوکوگرانیت ازنا در میان سنگ‌های دگرگونی اسلیت، فیلیت و میکاشیست با سن ژوراسیک میانی نفوذ کرده‌اند و هاله‌ای از سنگ‌های مجاورتی درجه پایین تا متوسط (رخساره آلبیت-اپیدوت هورنفلس) را در پیرامون خود ایجاد نموده‌اند (شکل ۲-۲). مهمترین واحدهای سنگی مشاهده شده در منطقه مورد مطالعه به قرار زیر است (شکل ۲-۳):

- ۱- سنگ‌های میزبان شامل مجموعه متاپلیتی اسلیت، فیلیت و میکاشیست به سن ژوراسیک پیشین؛
- ۲- توده‌های گرانیت‌وئیدی الیگودرز (دره‌باغ و گل‌زرد) و لوکوگرانیت ازنا (ژوراسیک میانی)؛
- ۳- انواع انکلاوهای؛
- ۴- دایک‌های مافیک و
- ۵- واحد میگماتیتی.

### ۱-۲-۲- سنگ‌های میزبان

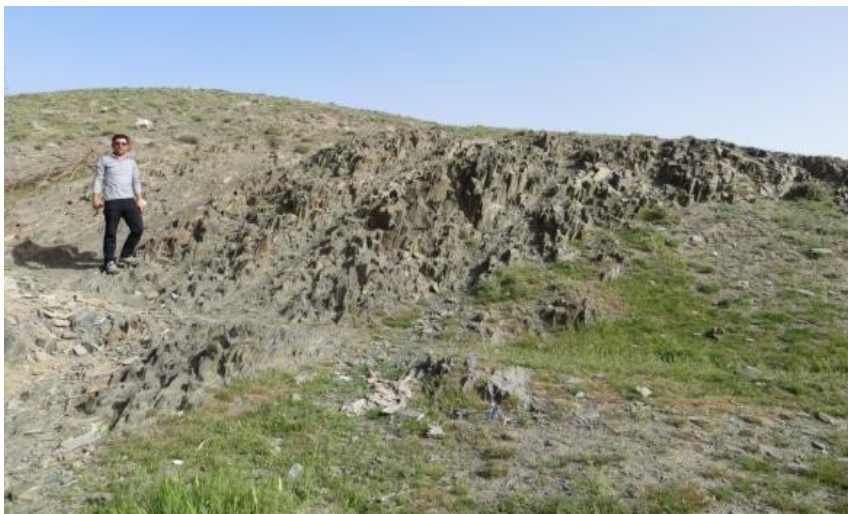
رسوبات پلیتی، پسامیتی، ماسه‌سنگی در زمان تریاس پسین تا اوایل ژوراسیک تحت تاثیر فازهای دگرگونی درجه پایین در حد رخساره شیست سبز دگرگون شده و اسلیت، فیلیت و میکاشیست را بوجود آورده‌اند (شکاری، ۱۳۹۰). این سنگها میزبان توده‌های نفوذی گل‌زرد و دره‌باغ می‌باشند (شکل ۲-۴). در اثر تزریق گرانیت‌وئیدهای الیگودرز هاله‌ای از دگرگونی مجاورتی با ضخامت اندک در حد رخساره آلبیت-اپیدوت هورنفلس (رخساره دگرگونی مجاورتی درجه پایین) ایجاد شده است. مرز این هاله دگرگونی با توده گرانیت‌وئیدی واضح و مشخص بوده (شکل ۵-۲ الف) و در تصاویر ماهواره‌ای نیز با رنگ تیره‌تر نسبت به سایر سنگها قابل شناسایی است. در مجموع سنگ‌های دگرگونی مجاورتی در این منطقه وسعت زیادی نداشته و تنها در بخش‌هایی از حاشیه توده‌های نفوذی مزبور رخنمون دارند. توده گرانیت‌وئیدی ازنا درون سنگ‌های دگرگونی تریاس میانی-بالایی با نام کمپلکس ژان که شامل ماسه سنگ کوارتزیتی، متادولومیت، مرمر، شیست، سنگ‌های آتشفسانی مافیک و سنگ‌های آذرین

سیلیسی می باشد (محجل و فرگومن<sup>۱</sup>، ۲۰۰۰) تزریق شده است (شکل ۲-۵ ب). سنگهای اخیر نیز در اثر تزریق توده نفوذی نامبرده در حد آندالوزیت هورنفلس دگرگون شده‌اند (شکل ۲-۴ ج).



شکل ۲-۳) نقشه زمین شناسی عمومی منطقه مورد مطالعه و توده‌های گرانیتوئیدی رخنمون یافته در آن (پاشاپور، ۱۳۹۴). مختصات بالا و راست بر حسب درجه، دقیقه و ثانية و مختصات جغرافیایی سمت چپ پایین بر حسب UTM است.

<sup>۱</sup>- Mohajjel & Fergusson

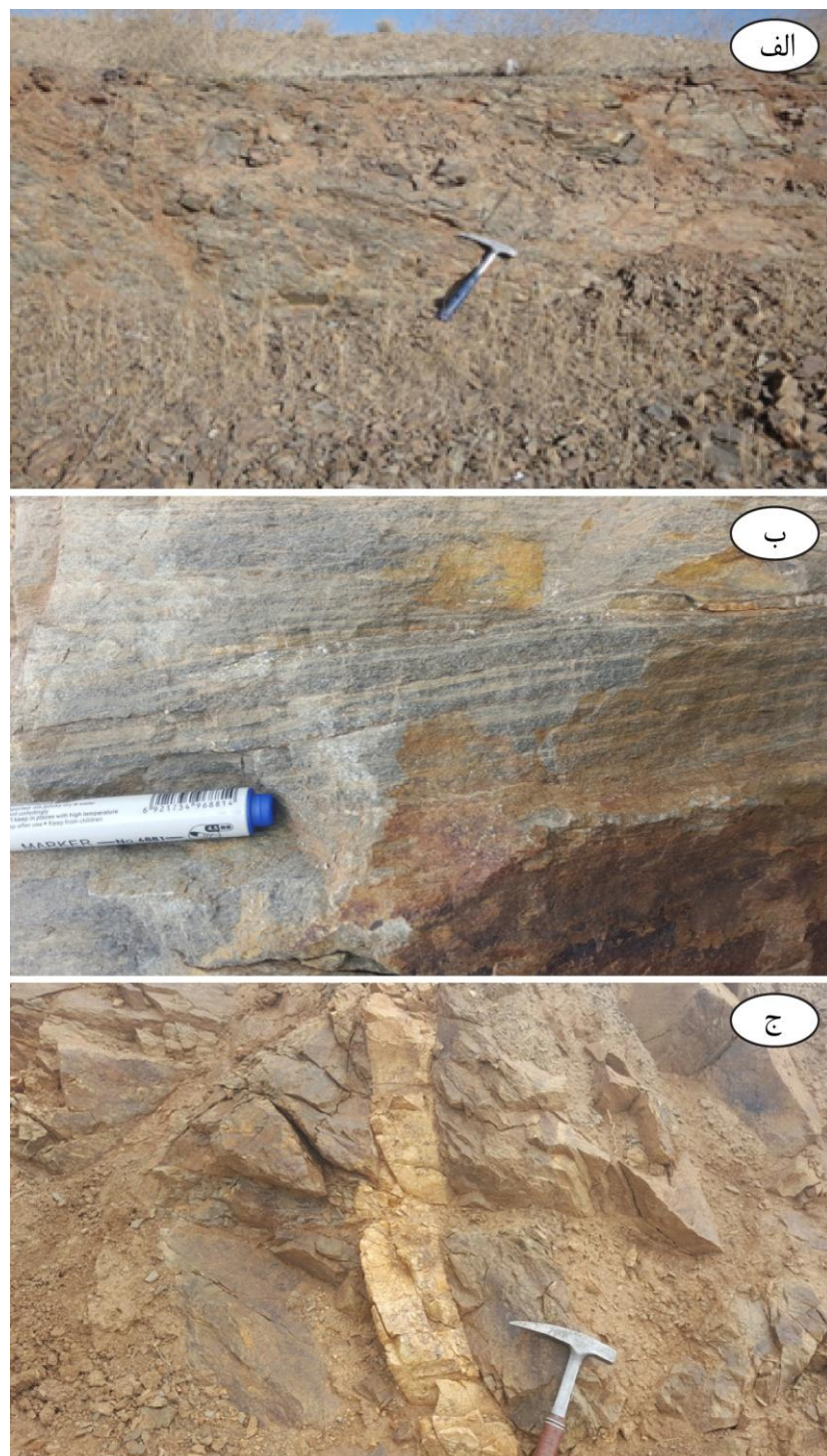


شکل ۲-۴) تصویر صحرایی از فیلیتهای میزبان توده نفوذی دره باع.

## ۲-۲-۲- توده‌های گرانیت‌وئیدی الیگودرز و ازنا

توده‌های نفوذی منطقه مورد مطالعه دارای ترکیب سنگ‌شناسی گرانوودیوریت، گرانیت و لوکوگرانیت می‌باشند. گرانیت‌وئیدها بخش اعظم توده‌های نفوذی الیگودرز را تشکیل می‌دهند. این سنگ‌ها در برخی مناطق به شدت فرسایش یافته و مورفولوژی آنها به صورت تپه ماهوری است (شکل ۲-۶). این سنگ‌ها در صحراء دارای رنگ خاکستری و بافت گرانولار یا پورفیروئیدی می‌باشند (شکل ۲-۲ الف) و از کانیهای پلاژیوکلاز، کوارتز، آلکالی فلدسپار و بیوتیت تشکیل شده‌اند. این گرانیت‌وئیدها بوسیله پگماتیتهای متتشکل از پتاسیم‌فلدسپار دانه‌درشت، کوارتر، تورمالین و مسکوویت به صورت رگه و رگچه قطع شده‌اند. کانیهای درشت بلور آندالوزیت و گارنت نیز به صورت زینوکریست در این سنگ‌ها یافت می‌شوند.

در مقایسه با گرانوودیوریتها، گرانیتها دارای بافت‌های گرانولار دانه‌ریزتر هستند. فراوانی کانیهای مافیک داخل گرانیتها در مقایسه با گرانوودیوریتها کمتر بوده بنابراین رنگ روشنتری نسبت به آنها دارند (شکل ۲-۷ ب و د). این سنگ‌ها در مقایسه با گرانوودیوریتها حجم بسیار کمتری از کل توده‌های نفوذی الیگودرز را به خود اختصاص می‌دهند. فلدسپار پتاسیک، پلاژیوکلاز و کوارتز از کانیهای اصلی این



شکل ۲-۵) (الف) تصاویری از هاله دگرگونی مجاورتی در سنگهای میزان توده نفوذی دره باغ. (ب) سنگهای دگرگونی مجاورتی آندالوزیت دار در مجاورت لوکوگرانیت ازنا؛ (ج) تصویری از سنگهای پلیتی دگرگون شده در حد آندالوزیت هورنفلس در شرق توده نفوذی ازنا. به حضور دایک لوکوگرانیتی قطع کننده این سنگها دقت شود.



شکل ۲-۶) دورنمایی از مورفولوژی توده نفوذی گل‌زرد (دید به سمت جنوب).

سنگها بوده و بیوتیت و تورمالین نیز در آنها یافت می‌شود. لوکوگرانیتها به دلیل فراوانی بسیار کم کانیهای مافیک نظیر بیوتیت، در نمونه دستی خاکستری روشن تا سفید می‌باشند، غالباً دانه‌ریز هستند و کمترین درصد حجمی از سنگهای نفوذی الیگودرز را تشکیل می‌دهند. این واحد نفوذی اساساً از کوارتز، پتاسیم فلدسپار و به مقدار کمتر تورمالین، مسکوویت و بیوتیت تشکیل شده است. بیشترین گسترش آنها در مرکز توده نفوذی دره‌باغ می‌باشد (شکل ۷-۲ ج). تورمالین در گرانیتوئیدهای الیگودرز به صورت بلورهای نیمه‌شکل‌دار و در نمونه‌دستی به رنگ سیاه دیده می‌شوند (شکل ۷-۲ ه و و). در این توده‌ها تورمالین به صورت دانه‌های پراکنده و یا تجمعی از دانه‌های ریز و درشت و یا توده‌ای متبلور شده‌اند که علاوه بر حالت نودولی به صورت رگه‌ای نیز در این توده نفوذی دیده شده‌اند. این رگه‌ها گرانیتوئیدها را قطع می‌کنند و به علت دانه‌ریز بودن، تورمالین‌های موجود در این رگه‌ها اغلب بی‌شکل تا نیمه‌شکل‌دار می‌باشند. لوکوگرانیتها در دره‌باغ و گل‌زرد بیشتر به صورت آپوفیز، دایک، رگه و رگچه، گرانودیوریتها و گرانیتها را قطع کرده‌اند اما در ازنا به صورت یک استوک به درون سنگ‌های دگرگونی ناحیه‌ای تزریق شده است (شکل ۸-۲ الف).



شکل ۷-۲) تصاویری از واحدهای مختلف سنگی توده‌های نفوذی الیگودرز. (الف)، (ب) و (ج) به ترتیب نمایی نزدیک از گرانوودیوریت، گرانیت و لوکوگرانیت؛ (د) گرانوودیوریت و گرانیت که در آن گرانیتها نسبت به گرانوودیوریت رنگ روشنتری دارند؛ (ه) و (و) به ترتیب تجمع تورمالین در گرانیتها به صورت نودول و در لوکوگرانیتها به صورت رگچه مشخص است.

استوک لوکوگرانیتی ازنا یکی از گرانیتوئیدهای نوار سنندج-سیرجان می‌باشد که در ۱۵ کیلومتری شهر ازنا و نزدیکی روستای مرزیان رخنمون دارد. این لوکوگرانیتها نیز به درون سنگهای دگرگونی مزوژوئیک تزریق شده‌اند. توده نفوذی ازنا از درشت بلورهای کوارتز، آلکالی فلدسپار و مقادیر کمتر موسکویت و بیوتیت تشکیل شده است و به دلیل عدم حضور کانیهای مافیک به رنگ سفید مشاهده می‌شوند. شدت دگرشکلی در این توده به حدی است که اکثر نمونه‌ها ساخت میلیونیتی نشان می‌دهند. این توده میزبان تعداد زیادی از رگه‌های کوارتزی با ضخامت متغیر (از چند سانتی‌متر تا چند متر) می‌باشد و کارخانه فروسیلیس ازنا در مجاورت این توده بنا شده است. در هاله مجاورتی این گرانیتها، سنگهای پلیتی دگرگون شده در حد آندالوزیت هورنفلس دیده می‌شود که از کانیهای آندالوزیت+سیلیمانیت+بیوتیت به علاوه مجموعه کانیهای دگرگونی ناحیه‌ای بیوتیت+موسکویت+گارنت در حد رخساره آمفیبولیت تشکیل شده‌اند.

### ۳-۲-۲- آنکلاوها

واژه انکلاو توسط لاکروا<sup>۱</sup> (۱۸۹۳) برای توصیف قطعات سنگی بیگانه موجود در داخل سنگهای آذرین همگن پیشنهاد شده است. در داخل گرانیتوئیدهای الیگودرز و ازنا انواعی از آنکلاوها (متاپلیتی، متاپسامیتی، سورومیکاسه، سیلیسی)، زینولیتها و زینوکریستها (آندالوزیت و گارنت) مشاهده می‌شوند. در ادامه برخی از مهمترین خصوصیات آنها در صحراء ارائه می‌شود.

### ۱-۳-۲- آنکلاوهای متاپلیتی و متاپسامیتی

این نوع آنکلاوها قطعاتی از سنگ منشاء هستند که در اعمق بیشتری از سطح زمین تشکیل شده‌اند و بنابراین می‌توانند قطعات رستیتی (دیرگداز بر جای مانده از ذوب بخشی) در نظر گرفته شوند (ولی‌زاده و همکاران، ۱۳۸۰). این آنکلاوها در داخل توده‌های گرانیتوئیدی الیگودرز به وفور مشاهده



شکل ۲-۸) تصاویری صحرایی از توده نفوذی ارنا. (الف) نمایی نزدیک از لوکوگرانیتها؛ (ب)؛ ساخت گرانولار حاصل از وجود بلورهای درشت کوارتز و فلدسپار و مقادیر اندک موسکویت؛ (ج) زینوکریستهایی از آندالوزیت به شدت سریسیتی در داخل لوکوگرانیت. این سنگها در حاشیه توده و نزدیک به سنگهای دگرگونی مجاورتی حاوی آندالوزیت مشاهده شده‌اند.

شده و در ابعاد متفاوت و به صورت گرد شده تا بیضوی شکل می‌باشد (شکل ۹-۲ الف). رنگ تیره و فلدسپارزایی برخی از مهمترین ویژگیهای این آنکلاوهای است. در مواردی نیز دارای بلورهای درشتی از آندالوزیت می‌باشد.

### ۱-۳-۲-۱- آنکلاوهای سورومیکاسه

این آنکلاوها اغلب کوچک (به طول چند سانتیمتر) و عدسی شکل هستند که اساساً از بیوتیت تشکیل شده و بافت گرانولار دانه‌ریزی دارند. به علاوه حاوی مسکوویت و سایر کانیهای غنی از Al (سیلیمانیت، آندالوزیت و گارنت) نیز می‌باشد (ولیزاده و همکاران، ۱۳۸۰). آنکلاوهای سورومیکاسه که در روی زمین به دلیل بافت دگرگونی بارز و متورق و وجود پوسته بیوتیتی به آسانی قابل تشخیص هستند به طور پراکنده در کل توده‌های گرانیتوئیدی الیگودرز قابل مشاهده هستند (شکل ۹-۲ ب). این آنکلاوها به دلیل داشتن کانیهای دیرگداز معادل رستیتها (مواد بر جای مانده از ذوب) در نظر گرفته می‌شوند (مهرنرت، ۱۹۶۸).

### ۱-۳-۲-۲- آنکلاو سیلیسی

آنکلاوهای سیلیسی در توده‌های گرانیتوئیدی مورد مطالعه به فراوانی یافت می‌شود. این آنکلاوها از لحاظ پتروگرافی غالباً تک کانی هستند و فقط از کوارتز تشکیل شده‌اند (شکل ۹-۲ ج). شکل این زینولیتهای سیلیسی بسیار متنوع می‌باشد و به اشکال مدور، بیضوی، اشکی و ... دیده می‌شود. با گذر از مرحله زون بیوتیت به زون گارنت که با افزایش درجه دگرگونی ناحیه‌ای صورت می‌گیرد واکنش‌های آبزدایی- سیلیس رخ می‌دهد (باغبانی، ۱۳۹۰).



شکل ۹-۲) تصاویری از انواع انکلاوهای موجود در گرانیت‌های الیگودرز. (الف) انکلاو متاپسامیتی که فلدسپارزا (به صورت بلورهای درشت پلاژیوکلاز) به خوبی مشخص می‌باشد؛ (ب) تصویری از یک آنکلاو سورومیکاسه؛ (ج) انکلاو سیلیسی.

### **۲-۳-۳- زینولیتها و زینوکریستها**

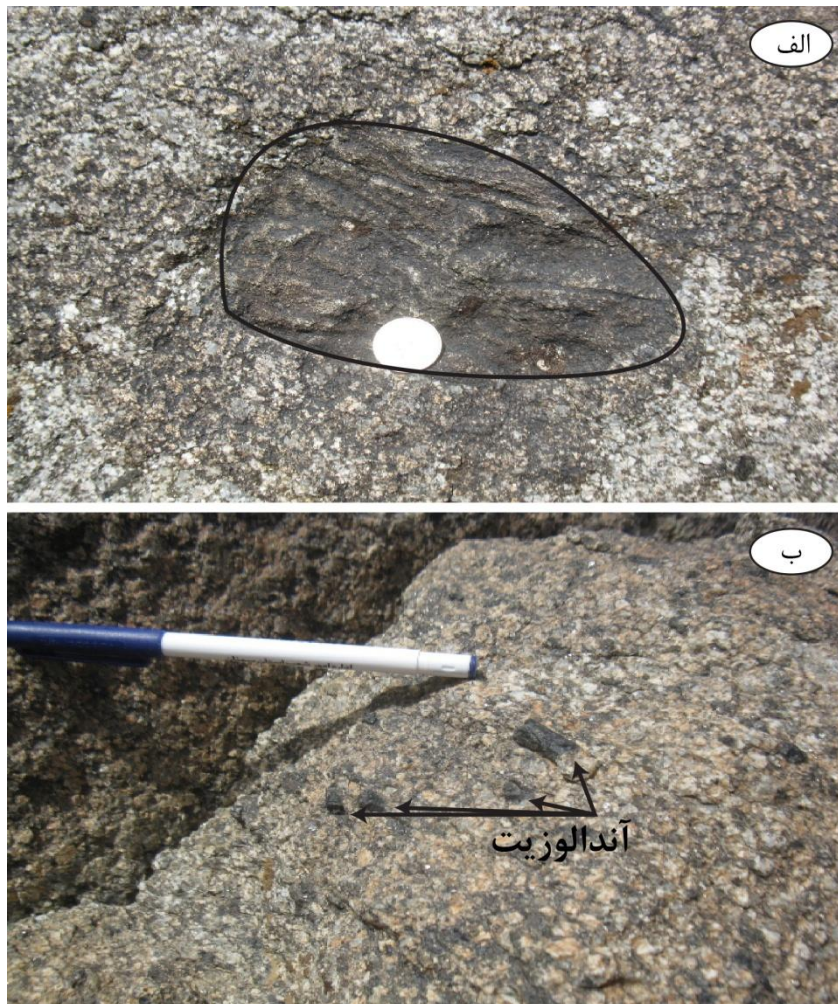
زینولیت نوعی آنکلاو از جنس سنگهای بیگانه است که معادل آنکلاوهای غیرهم منشا هستند. این آنکلاوها از جنس سنگهای درونگیر بوده، کنتاکت واضحی داشته و شکل آنها زاویه دار است (شکل ۲-۱۰ الف). ابعاد آنها بسیار متغیر، برگوارگی و وجود کانیهای دگرگونی در این سنگها، معرف منشاء شیلی آنها می باشد.

زینوکریست منحصر به قطعه بیگانه‌ای است که از یک تک بلور تشکیل شده باشد و معرف بلورهای بیگانه و جدا شده‌ای هستند که در داخل سنگهای ماقمایی محبوس شده‌اند. زینوکریستهای مشاهده شده در منطقه الیگودرز شامل پورفیروبلاستهای آندالوزیت و گارنت است که آندالوزیت به وفور در نمونه دستی و صحرایی به خوبی قابل تشخیص است (شکل ۲-۱۰ ب). بلورهای آندالوزیت غالباً در اثر واکنش با سیالات ماقمایی موجود در حین تبلور ماقمما واکنش داده و به صورت جزئی تا کامل به سریسیت تبدیل شده‌اند به طوریکه که به راحتی از سنگ دربرگیرنده خود جدا می‌شوند. زینوکریستهای گارنت در مقاطع میکروسکوپی بهتر قابل مشاهده هستند.

### **۲-۴- رگه‌های آپلیتی، پگماتیتی و سیلیسی**

این رگه‌ها توده‌های نفوذی الیگودرز را در جهات مختلف قطع کرده‌اند و اندازه آنها از چند سانتیمتر تا چندمترا متغیر است (شکل ۲-۱۱).

رگه‌های آپلیتی به رنگ سفید و ریزدانه می‌باشند و ساخت دانه‌ای نیمه‌شکل دار تا بی‌شکل دارند (شکل ۲-۱۱ الف). پلاژیوکلاز، ارتوز، کوارتز، میکروکلین، بیوتیت و تورمالین تشکیل دهنده‌های این رگه هستند. تورمالین به صورت بسیار دانه‌ریز و به مقدار فراوان در داخل این رگه مشاهده می‌شود. رگه‌های آپلیتی حاوی تورمالین حاصل تبلور بخش باقیمانده و تفریق یافته مذاب گرانیتوئیدی می‌باشد که غنی از (B) بوده‌اند.



شکل ۱۰-۲ (الف) زینولیتهایی از سنگهای میزبان در داخل گرانودیوریتها؛ (ب) زینوکریستهای آندالوزیت در گرانودیوریتها.

### رگه‌های پگماتیتی

ضخامت این رگه‌ها بسیار متغیر است. بلورهای درشت کوارتز، فلدسپارآلکالن، تورمالین و ورقه‌های ریز مسکوویت از سازندگان این پگماتیتها هستند (شکل ۱۱-۲ ب). در برخی موارد پگماتیت به صورت موضعی یا محلی تشکیل شده‌اند و حاصل تبلور بخش‌های تفریق یافته مذاب گرانیتی هستند که به طور موضعی از آب و مواد فرار غنی شده‌اند. این گونه پگماتیتها دارای مرز مشخص با گرانیتوئیدها می‌باشند.



شکل ۱۱-۲) تصاویر صحرایی از انواع رگه‌های موجود در توده‌های نفوذی الیگودرز و لوکوگرانیت ازنا. (الف) تصویری از رگه آپلیتی در داخل گرانودیوریت؛ (ب) رگه پگماتیتی؛ (ج) و (د) رگه‌های سیلیسی در داخل لوکوگرانیت ازنا.

### رگه‌های کوارتز - تورمالین

رگه‌های کوارتزی آخرین سیالات گرانودیوریتی تفريقي یافته هستند که به صورت رگه و رگچه تبلور پیدا کرده‌اند (شکل ۱۱-۲ ج). مهاجرت سیالات آزاد شده در طی دگرگونی سنگهای دمای پایین موجب تشکیل رگه‌های کوارتزی می‌شود (Miyashiro<sup>۱</sup>, ۱۹۷۳). این رگه‌ها فراوانی کمتری نسبت به رگه‌های پگماتیتی دارند. در بعضی موارد رگه‌های کوارتزی با رگه‌های ظرفی از اکسیدآهن همراه می‌باشد. در لوکوگرانیت ازنا رگه‌های کوارتزی به وفور وجود دارد.

<sup>۱</sup>- Miyashiro

تشکیل رگه‌های کوارتز- تورمالین در داخل مجموعه گرانیت‌وئیدی الیگودرز می‌تواند نشانه‌ای از فرایند گرایزنی شدن باشد که در بخش‌های بالایی بسیاری از گرانیتهای تفریق یافته نوع S (هارلو و استرهیم<sup>۱</sup>، ۲۰۱۳) تشکیل می‌شود (شکل ۱۲-۲ الف). برای تشکیل این رگه‌ها سیالات غنی از مواد فرار مثل فلوئور، بور، لیتیم و یون‌های  $\text{Na}^+$ ,  $\text{K}^+$  و  $\text{H}^+$  در یک توده گرانیتی در حال سرد شدن مشارکت دارند که در امتداد شکستگی‌های گسلی از درون سقف به سنگ‌های اطراف حرکت می‌کنند و غالباً با کانی‌سازی‌های  $\text{Li}$ ,  $\text{F}$ ,  $\text{Be}$ ,  $\text{W}$ ,  $\text{U}$ ,  $\text{Mo}$  و  $\text{Sn}$  همراه هستند (هارلو و استرهیم، ۲۰۱۳). در این سنگها مسکوویت به طور ویژه جانشین فلدسپار و بیوتیت شده است.

## ۲-۵-۲- دایک‌های مافیک

تعدادی دایک مافیک با ترکیب گابرو‌دیوریتی توده گرانیت‌وئیدی گل‌زرد را قطع کرده‌اند. این دایک‌ها دارای رنگ سیاه مایل به سبز یا خاکستری مایل به سبز بوده و ضخامت آنها به ۳۰ تا ۲ متر می‌رسد (شکل ۱۲-۲). وجود این دایک‌ها بیانگر رژیم‌های کششی موضعی مرتبط با فعالیت‌های تکتونیکی است که به تشکیل یک سری شکستگی‌های عمیق منجر شده و سپس مواد مذاب دارای ترکیب گابرو‌دیوریتی به درون آنها راه یافته است. به نظر می‌رسد این دایک‌ها جوانترین فعالیت ماقمایی در منطقه باشند که در امتداد شکستگی‌ها نفوذ کرده‌اند و حاکی از وجود یک فاز کششی در منطقه بعد از عملکرد فاز فشارشی می‌باشند. این سنگ‌ها از نظر ترکیب هم‌ارز گابرو (دولریت) و دیوریت بوده و به رنگ سبز تیره، دانه‌های متوسط هستند.



شکل ۱۲-۲ تصاویری از رگه گرایزنی و دایک‌های مافیک. (الف) رگه گرایزنی که گرانیت‌های الیگودرز را قطع کرده‌اند. تورمالین در بخش مرکزی این رگه تجمع یافته و فلدسپارها به مجموعه‌ای از مسکوویت و کوارتز تبدیل شده است؛ (ب) دایک‌های مافیک و سنگ‌های گرانودیوریتی میزبان در توده نفوذی گل زرد.

## ۶-۲-۲- میگماتیتها

میگماتیتها عمدتاً در غرب و شمال غرب توده نفوذی دره‌باغ مشاهده می‌شود (شکل ۲-۳). در این سنگها آثاری از فلدسپارزایی دیده می‌شود (شکل ۲-۱۳). بخش‌های روشن که به صورت رگه‌های نامنظم در فضای بین آنکلاوهای پسامیتی گردشده توسعه یافته‌اند به طور مشخص ترکیب گرانیت داشته و از کوارتز، پلاژیوکلاز، فلدسپارآلکالن، بیوتیت و کانیهای اپک تشکیل شده‌اند. خصوصیات پتروگرافی میگماتیتها در فصل ۳ به طور مفصل توضیح داده شده است.



شکل ۱۳-۲) الف و ب شواهدی از میگماتیت‌زایی در شمال غربی توده گرانیتوئیدی دره‌باغ، در صحراء آنکلاوهای پسامیتی گردشده با گرانوپوریت درشت بلور غنی از بیوتیت دربرگرفته شده‌اند.

## نتیجه‌گیری

گرانیتوئیدهای الیگودرز و لوکوگرانیت ازنا بخش کوچکی از نوار سنندج-سیرجان را تشکیل می‌دهند که به درون سنگهای متاپلیتی تریالس‌پسین-ژوراسیک پیشین تزریق شده و در اثر نفوذ به درون این سنگها، هاله دگرگونی مجاورتی با رنگ تیره نسبت به سایر سنگهای مجاور ایجاد نموده است. توده‌های گرانیتوئیدی الیگودرز از سه واحد اصلی گرانوپوریتی، گرانیتی و لوکوگرانیتی تشکیل شده است. گرانیتوئیدها بخش اعظم این توده‌ها بوده و در صحراء به رنگ خاکستری دیده می‌شوند که توسط لوکوگرانیتها و رگه‌های آپلیتی قطع شده‌اند. لوکوگرانیتها بخش‌های تفریق یافته این توده‌ها

هستند که به رنگ سفید دیده می‌شوند. تورمالین‌ها به دو صورت رگه‌ای و نودولی در این سنگها دیده شده است.

جایگیری توده‌های گرانیتوئیدی با گسترش دگرگونی مجاورتی کم ضخامتی در حد رخساره آلبیت-اپیدوت هورنفلس و کردیریت-هورنفلس همراه بوده است. حضور آنکلاوهای متاپلیتی، متاپسامیتی، سیلیسی و زینوکریستهای آندالوزیت از ویژگیهای بارز این توده‌ها محسوب می‌شود. با توجه به شواهد موجود از جمله حضور گستردۀ پورفیروبلاستهای آندالوزیت، آنکلاوهای متاپلیتی و سیلیسی، حضور گستردۀ بیوتیت و تورمالین می‌توان گفت که توده‌های گرانیتوئیدی الیگودرز در زمرة گرانیتوئیدهای تیپ S قرار می‌گیرند.



## فصل سوم

پڑوکرافی

## مقدمه

در این فصل، ویژگی‌های بافتی و کانی‌شناسی در سنگ‌های گرانیت‌وئیدی الیگودرز (دره‌باغ و گل‌زرد) و لوکوگرانیت ازنا در مقیاس میکروسکوپی مورد بررسی قرار می‌گیرد. پتروگرافی یا سنگنگاری سنگ‌ها، شامل بررسی کانی‌ها و بافت‌هاست که شیمی و تاریخچه سرد شدن آن را نشان می‌دهد. به منظور انجام مطالعات پتروگرافی و کانی‌شناسی توده‌های نفوذی الیگودرز و ازنا بیش از ۲۵۰ مقطع نازک و ۲۰ مقطع نازک صیقلی تهیه و جهت مطالعه و شناسایی کانی‌های اصلی، کانی‌های فرعی، کانی‌های ثانویه، نام سنگ و دگرسانی‌ها استفاده شده است. بر اساس بررسی‌های صحرایی و شواهد پتروگرافی سنگ‌های آذرین نفوذی منطقه به واحدهای زیر تقسیم می‌شوند: ۱- سنگ‌های میزبان؛ ۲- سنگ‌های نفوذی شامل: (الف) توده‌های نفوذی دره‌باغ و گل‌زرد، (ب) لوکوگرانیت ازنا؛ ۳- آنکلاوها؛ ۴- واحد میگماتیتی. در این فصل نتایج مطالعات دقیق پتروگرافی واحدهای مختلف سنگی با نگرشی ویژه بر معرفی و حضور کانی‌های رستیتی آورده شده است. علائم اختصاری مورد استفاده در تصاویر میکروسکوپی از Siivola و Ashmīd<sup>۱</sup> (۲۰۰۷) اقتباس شده است.

جدول ۱-۳) علامت اختصاری مربوط به کانی‌ها (Siivola و Ashmīd، ۲۰۰۷)

نوع کانی	علامت اختصاری	نوع کانی	علامت اختصاری
بیوتیت	Bt	میکروکلین	Mc
اسفن	Sph	پلازیوکلاز	Pl
کلریت	Chl	ارتوكلاز	Or
اپیدوت	Ep	زیرکن	Zrn
کوارتز	Qtz	ایلمنیت	Ilm
تورمالین	Tur	اوپک	Op
گارنت	Grt	سلیمانیت	Sil
آنداوالوزیت	And	کردیریت	Crd
مسکوویت	Ms	آپاتیت	Ap
سریسیت	Ser	روتیل	Rt

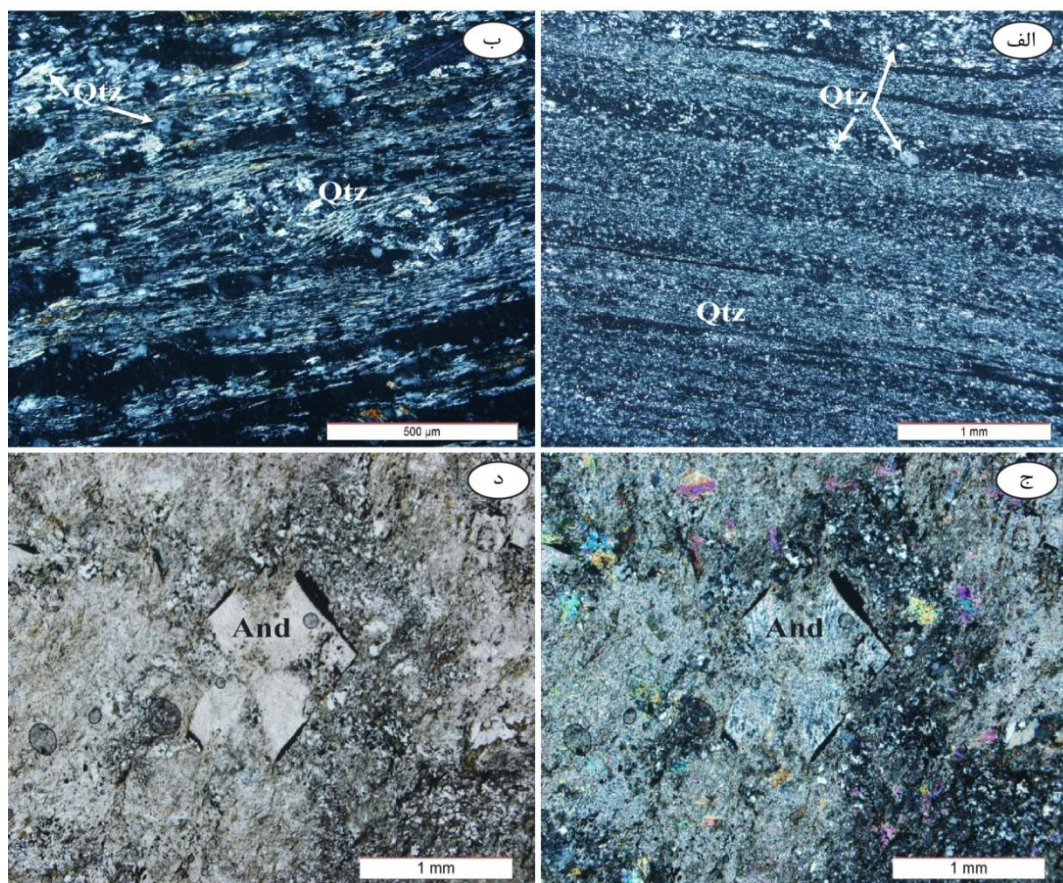
۱- Siivola & Schmid

مهتمرين واحدهای سنگی توده های نفوذی اليگودرز (دره باغ و گل زرد) گرانودیوریت، گرانیت و لوكوگرانیت است. واحد لوکوگرانیتی در توده های دره باغ و گل زرد بیشتر به صورت دایک، رگه و رگچه و در ناحیه ازنا به صورت یک استوک رخنمون دارد. با توجه به شواهد موجود از جمله زینوکریست های آندالوزیت، آنکلاوهای متاپلیتی و متاپسامتی، حضور کانی گارنت، بیوتیت، تورمالین، مسکوویت زایی فراوان و همچنین آنکلاوهای سورومیکاسه می توان گفت که گرانیتوئید های اليگودرز و ازنا از نوع S و پرآلومین هستند.

### ۳-۱-۳- سنگ های میزبان (شیل و ماسه سنگ های دگرگون شده)

سنگ میزبان توده های گرانیتوئیدی اليگودرز و لوكوگرانیت ازنا را مجموعه ای از سنگ های دگرگونی ناحیه ای درجه پایین شامل اسلیت، فیلیت و میکاشیست تشکیل می دهند. سنگ های مزبور بخش وسیعی از منطقه را در بر می گیرند و در واقع بخشی از فیلیت های همدان هستند که از همدان تا گلپایگان رخنمون دارند. این سنگ ها در صحراء به رنگ سیاه تا خاکستری بوده و از کانی های بسیار کوچک بیوتیت، کلریت و کوارتز تشکیل شده اند. در زیر میکروسکوپ بافت های لپیدوبلاستی و لپیدوگرانوبلاستی دارند و در واقع تناوبی از لایه های نازک شیل و سیلیستون بوده اند که دگرگون شده اند (شکل ۳-۱ الف و ب). با توجه به پاراژنز کانی ها، این سنگ ها در حد رخساره شیست سبز (زون کلریت) و در دمای ۴۰۰-۳۰۰ درجه سانتی گراد (هیندمان، ۱۹۸۵) دگرگون شده اند. تیرل (۱۹۲۱) متاپلیت و متاپسامت را معادل دگرگونی سنگ های رسوبی لو تایت و آرنایت (گل سنگ و ماسه سنگ) در نظر گرفته است. سازمان زمین شناسی انگلیس در نقشه ها واژه پلیت را برای سنگ های دگرگونی نسبتاً غنی از میکا و پسامت را برای سنگ های دگرگونی نسبتاً غنی از کوارتز و فلدسپار استفاده می نماید (قاسمی، ۱۳۹۴).

شواهد بافتی و تغییرات کانی‌شناسی صورت گرفته نشان می‌دهد که با نزدیک شدن به توده نفوذی تغییرات بافتی و کانی‌شناسی نسبتاً قابل توجهی در این سنگها نمایان می‌شود که همان هاله دگرگونی مجاورتی ناشی از تزریق توده‌های نفوذی می‌باشد. به عنوان مثال در بخش جنوب غرب توده نفوذی ازنا، و در محل تماس با سنگ‌های میزبان، بروزد کوچکی از آندالوزیت شیستها را می‌توان مشاهده نمود که در ادامه به اسلیت و فیلیت ختم می‌شود. این سنگ‌ها به صورت تپه ماهوری و با رنگ‌های سیاه تا مایل به سبز دیده می‌شوند. این سنگ‌ها که به رنگ خاکستری تیره تا سیاه دیده می‌شوند حاوی بلورهایی از آندالوزیت نسبتاً کوچک بوده و بافت‌های پورفیروبلاستی و پوئی‌کیلوبلاستی دارند. کانی آندالوزیت در این سنگ‌ها اغلب به سریسیت تبدیل شده و در بعضی از نمونه‌ها حاوی ادخال‌های فراوان از گرافیت (کیاستولیت) می‌باشد (شکل ۱-۳ ج و د).

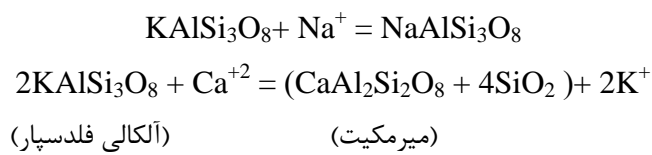


شکل ۱-۳) تصاویری از ویژگیهای میکروسکوپی سنگ‌های میزبان توده‌های نفوذی الیگودرز. (الف) و (ب) فیلیت دارای لامیناسیون ترکیبی (XPL); (ج) پورفیروبلاست آندالوزیت در داخل سنگ‌های دگرگونی میزبان لوکوگرانیت ازنا؛ (د) تصویر ج در نور (PPL).

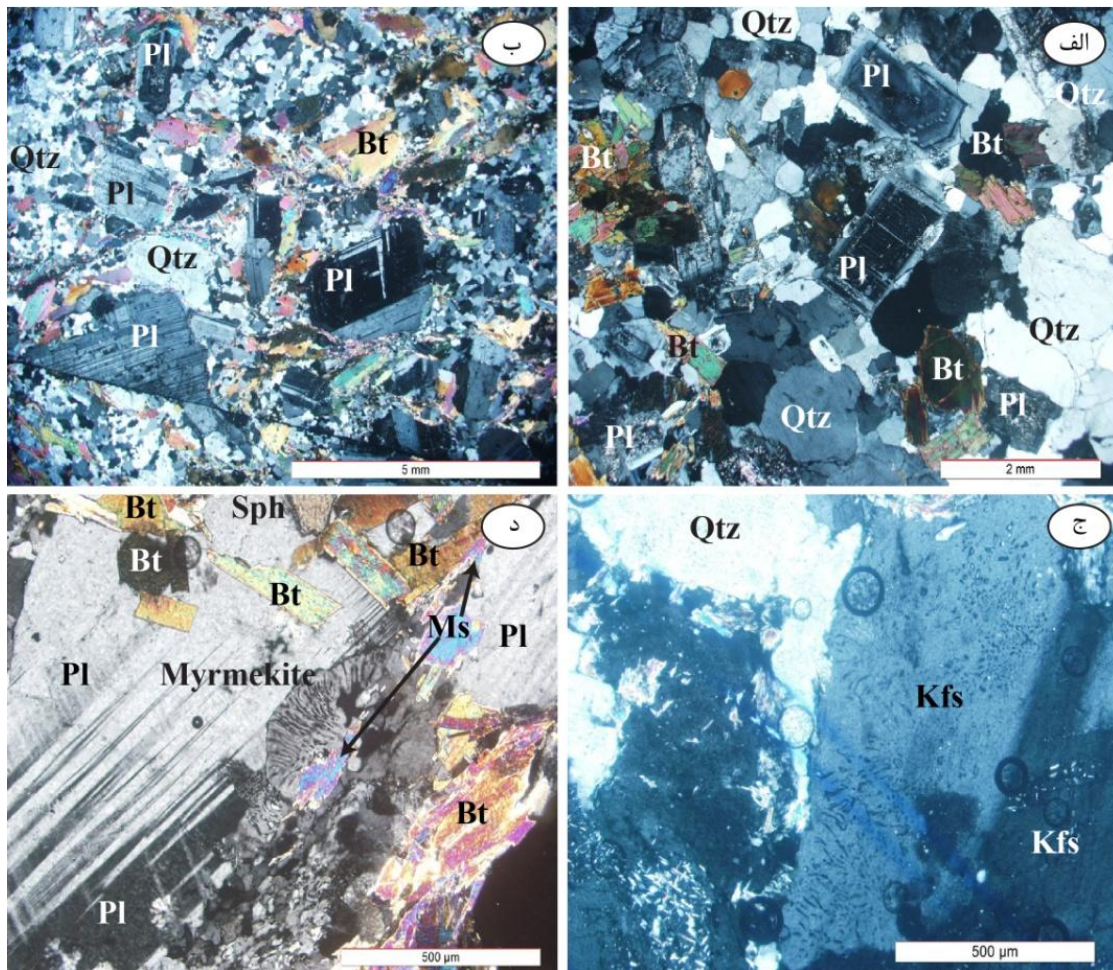
## ۲-۳- پتروگرافی توده‌های نفوذی

۱-۲-۳- گرانودیوریت‌ها

گرانودیوریتها به عنوان متشکله اصلی توده‌های گرانیت‌وئیدی الیگودرز (گل‌زرد و دره‌باغ) در صحراء زنگ خاکستری متمایل به روشن هستند. این سنگها در برخی مناطق به شدت فرسایش یافته و مورفولوژی آنها به صورت تپه ماهوری است. گرانودیوریتها در زیر میکروسکوپ دارای بافت‌های گرانولار متوسط تا درشت (شکل ۲-۳ الف و ب) و میرمکیتی (شکل ۲-۳ ج و د) بوده و از کانیهای اصلی پلاژیوکلاز، کوارتز، آلکالی فلدسپار (ارتوز و میکروکلین) و بیوتیت تشکیل شده‌اند (شکل ۲-۳). بیوتیت، آندالوزیت، گارنت، اسفن، آپاتیت، زیرکن، ( $\pm$ مونازیت)، روتیل و کانیهای اپک، کانیهای فرعی این واحد هستند. کانیهای ثانویه سریسیت، کلریت، اپیدوت و مسکوویت نیز در برخی از مقاطع مشاهده می‌شوند. در بافت میرمکیتی توده‌های ریز کرمی‌شکل از جنس کوارتز در زمینه‌ای از پلاژیوکلاز مشاهده می‌شود. تشکیل میرمکیت در حاشیه بلورهای پلاژیوکلاز یکی از شواهد تحمیل فشار می‌باشد (شکل ۲-۳ د) (ورنون<sup>۱</sup>، ۲۰۰۴؛ کولینز<sup>۲</sup>، ۱۹۸۸). میرمکیت با هجوم سیالات غنی از پتاسیم به سمت پلاژیوکلاز تشکیل می‌شود که به موجب آن کلسیم و سیلیسیم آزاد و سیلیس اضافی طبق واکنش زیر برای تشکیل کوارتزهای کرمی‌شکل مصرف می‌شود (کولینز، ۱۹۸۸):



1- Vernon  
2- Collins

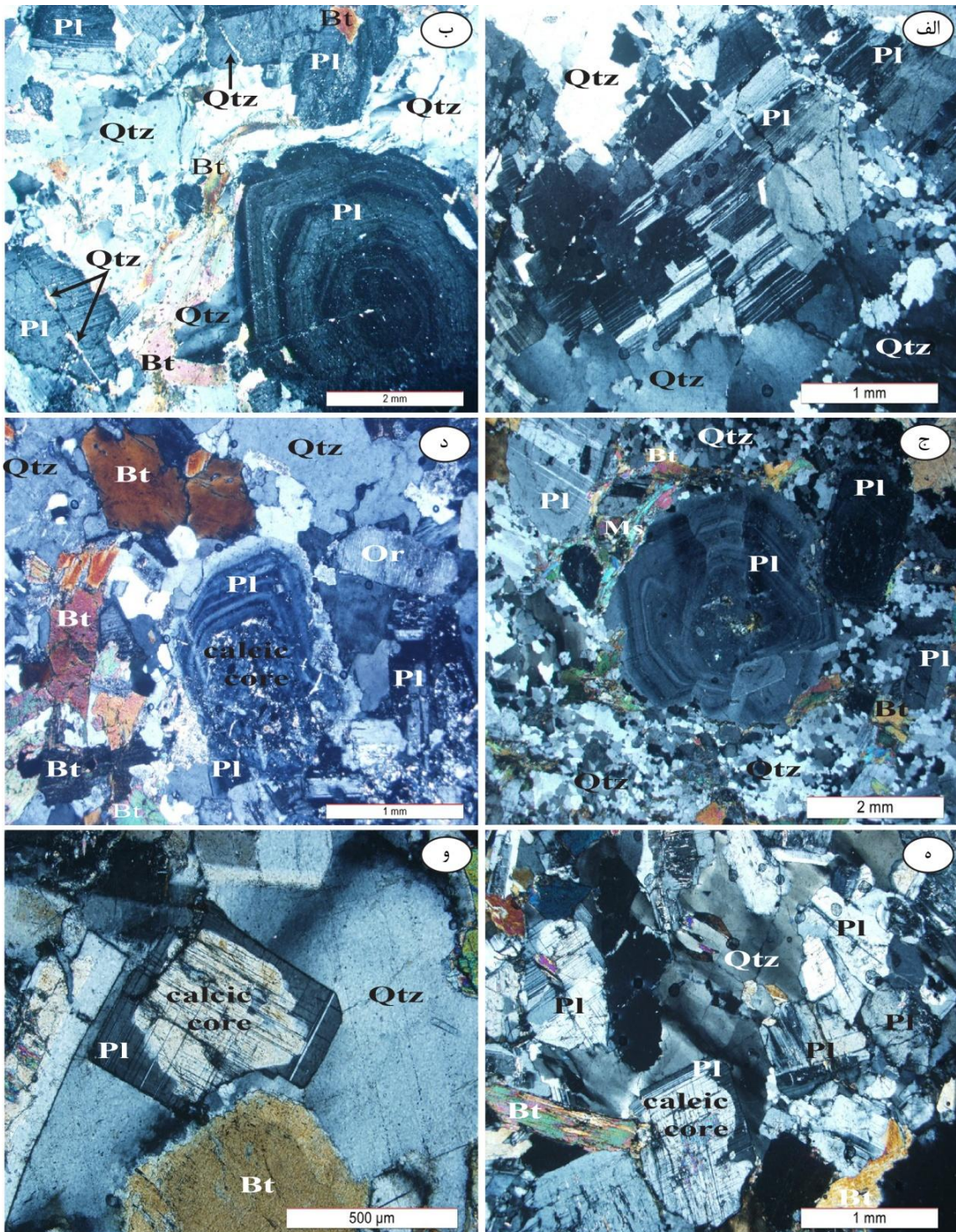


شکل ۳-۳) تصاویر میکروسکوپی نشان‌دهنده ویژگی‌های بافتی و کانی‌شناسی سنگ‌های گرانودیوریتی توده‌های گرانیتوئیدی الیگودرز. (الف) و (ب) به ترتیب بافت گرانولار متوسط و ریزدانه که در آن بلورهای پلازیوکلاز، کوارتز و بیوتیت نمایان است (XPL); (ج) و (د) بافت میرمکیتی که در اثر همرشدی بلورهای ریز کوارتز در زمینه‌ای از ارتوکلاز پیش‌آمد (XPL).

### کانیهای اصلی

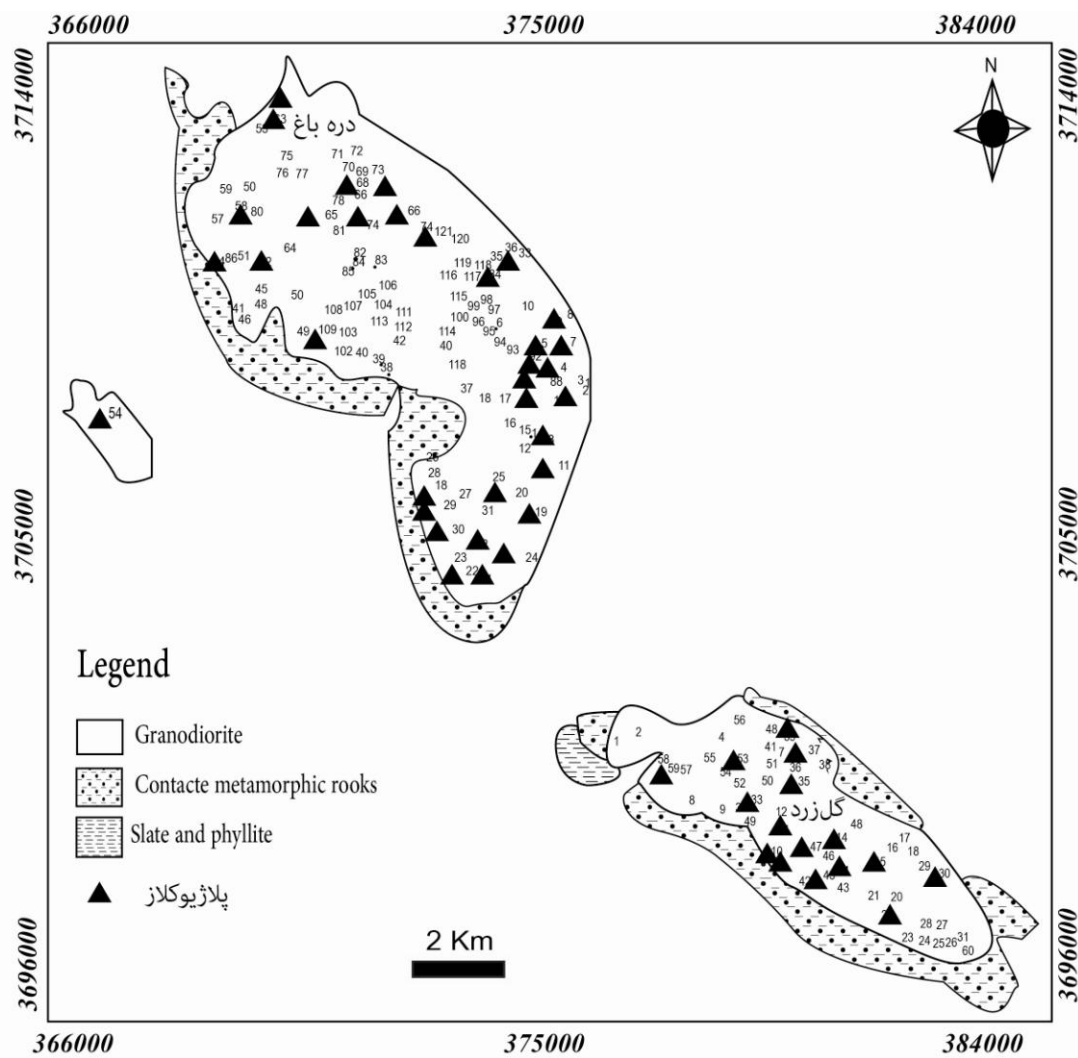
پلازیوکلاز شاخص‌ترین و فراوان‌ترین کانی گرانودیوریت‌ها است که به صورت شکل‌دار و تخته‌ای شکل و از ابعاد کوچک تا درشت در تغییرند. پلازیوکلازهای موجود در توده‌های نفوذی الیگودرز دارای ماکل تکراری و منطقه‌بندی ترکیبی هستند (شکل ۳-۳ الف و ب). منطقه‌بندی نوسانی از ویژگی‌های بارز این کانیها است که تغییرات شرایط محلی تبلور را نشان می‌دهد (شلی<sup>۱</sup>، ۱۹۹۳). بسیاری از

۱- Shelly



شکل ۳-۳) تصاویر میکروسکوپی از تعدادی پلازیوکلازهای واحد گرانودیوریتی دارای ماهیت رستیتی. (الف) پلازیوکلاز با ماکل تکراری در گرانودیوریت‌های الیگودرز (XPL); (ب) منطقه‌بندی پیچیده در پلازیوکلاز و پرشدگی شکستگی‌های پلازیوکلاز توسط کوارتز (XPL); (ج) منطقه‌بندی پیچیده که با غلافی خاکستری از پلازیوکلاز آلبیتی احاطه شده است (XPL); (د) پلازیوکلاز رستیتی با هسته کلسیک به همراه کوارتز و بیوتیت (XPL); (ه) و (و) پلازیوکلازهای با هسته‌های کلسیک با غلافی از پلازیوکلاز آلبیتی (XPL).

پلازیوکلازها دارای منطقه‌بندی پیچیده، حاشیه‌های خورده شده بوده و با غلافی سفید تا خاکستری روشن از پلازیوکلاز آلبیتی احاطه شده‌اند (شکل ۳-۳ ج، د و ه). این پلازیوکلازها از نظر ظاهری شباهت بسیاری به پلازیوکلازهای باقیمانده از ذوب‌بخشی (پلازیوکلازهای رستیتی) دارند که با هسته



شکل ۳-۴) پراکندگی کانی پلازیوکلاز رستیتی در توده‌های گرaniتوئیدی الیگودرز. شماره ایستگاه‌ها از شکاری (۱۳۹۰) و بدلو (۱۳۹۰) اقتباس شده است.

دارای آنورتیت بالا، منطقه‌بندی پیچیده، و حاشیه‌های گرددشده شناخته می‌شوند (چپل و وايت<sup>۱</sup>، ۱۹۷۷؛ اسمیت و براون<sup>۲</sup>، ۱۹۸۸؛ هولتز و باربیز<sup>۳</sup>، ۱۹۹۱). پراکندگی کانیهای پلازیوکلاز رستیتی در شکل ۳-۴ نشان داده شده است و با این واقعیت مطابقت می‌نماید که پلازیوکلازهای رستیتی اکثراً در حاشیه‌های شرقی توده نفوذی دره‌باغ و بیشتر قسمتهای توده نفوذی گل‌زرد حضور دارند.

کوارتز بعد از پلازیوکلاز، فراوانترین کانی تشکیل دهنده گرانوودیوریت‌هاست که به صورت بی‌شکل تا نیمه‌شکل‌دار و در ابعاد بسیار متفاوت وجود دارد (شکل ۳-۵). در گرانیتهای نوع S که حاوی قلوه‌های درشتی از کوارتز هستند (۳-۵ الف و ب)، تشخیص کوارتزهای ماجمایی از رستیتی دشوار است و نیاز به مطالعات کاتدولومینسانس دارد (چپل و همکاران، ۱۹۸۷). بجز برخی از بلورهای درشت کوارتز که احتمال می‌رود منشا غیر ماجمایی داشته باشند هیچ شاهد پتروگرافی دیگری برای حضور کوارتز رستیتی وجود ندارد. به گفته سن اویه و همکاران<sup>۴</sup> (۲۰۱۰) ساب‌گرین شدن (دانه ریز شدن) یکی از شواهد بارز دگرشکلی ساب سولیدوس دما بالا می‌باشد که در آن پورفیروکلاستهای کوارتز دارای حاشیه نامنظم و مضرسی و دارای خاموشی موجی (شکل ۳-۵ ج) می‌باشند (پسرلی و همکاران<sup>۵</sup>، ۲۰۱۰). این مسئله با تکتونیک حاکم در منطقه مطابقت و هماهنگی دارد. برخی از کوارتزهای موجود نیز خاموشی موجی نشان می‌دهند (شکل ۳-۵ د).

آلکالی فلدسپارها به صورت بلورهای خودشکل تا نیمه‌شکل‌دار از نوع ارتوزکلاز و میکروکلین می‌باشند (شکل ۳-۶ الف و ب). بلورهای ارتوز در اکثر موقع بافت پرتیتی نشان می‌دهند و به صورت فاز بین دانه‌ای دیده می‌شوند (شکل ۳-۶ الف). این بلورها بدلیل رشد تاکسیری، شکل و اندازه متغیری

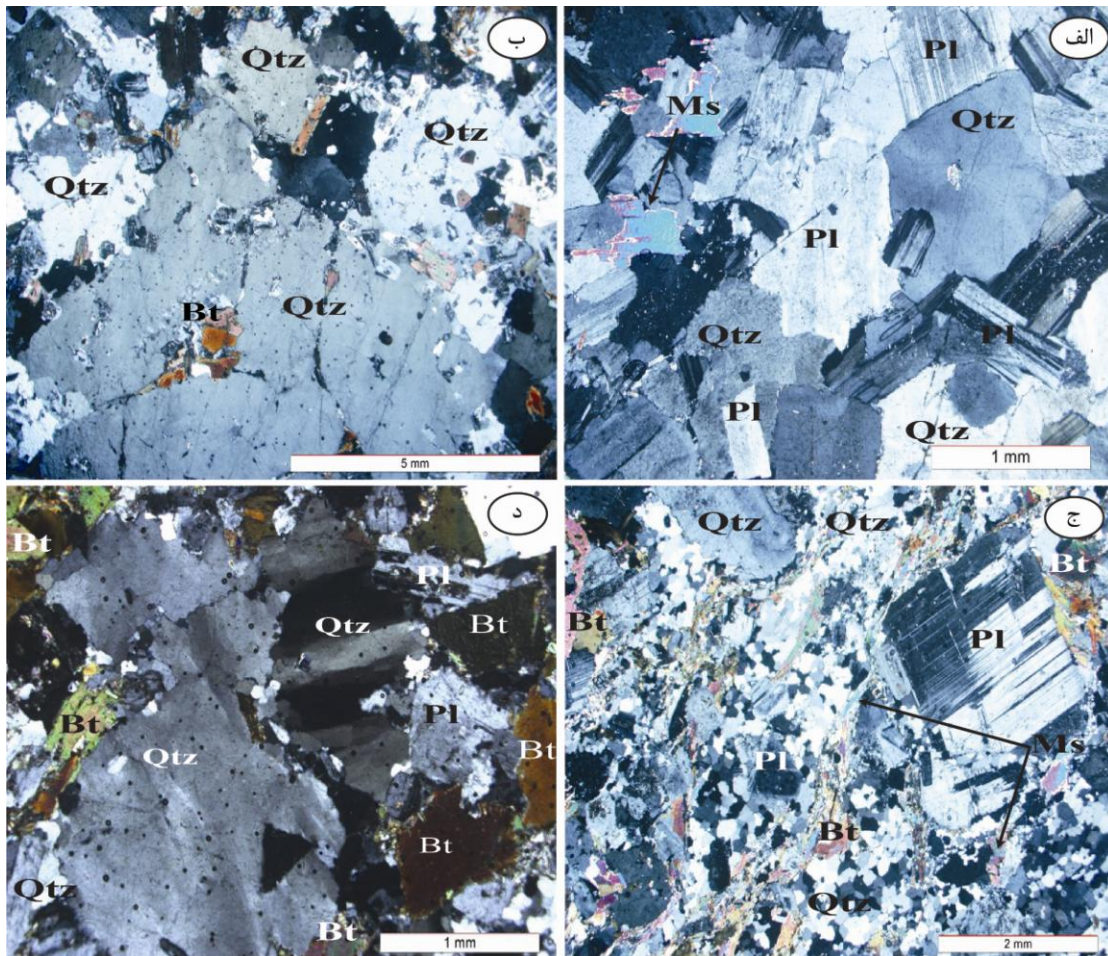
۱- Chappell & White

۲- Smith & Brown

۳- Holtz & Barbeyz

۴- Sant Ovaia

۵- Passarelli



شکل ۳-۵) بلورهای کوارتز موجود در گرانودیوریت‌های الیگودرز، (الف) بلورهای درشت کوارتز، پلاژیوکلاز و مسکوویت (XPL)، (ب) بلورهای نیمه‌شکل دار تا بی‌شکل کوارتز با ادخالهای بیوتیت (XPL)، (ج) دانه‌ریز شدن بلورهای کوارتز در نمونه‌های میلیونیتی (XPL)، (د) کوارتز درشت با خاموشی موجی به همراه بیوتیت و پلاژیوکلاز (XPL).

دارند. در برخی موارد ارتوز به کانیهای رسی و سریسیت دگرسان شده است (شکل ۳-۶ الف). در اثر هم رشدی ارتوز با کانی کوارتز بافت گرافیکی زیبایی تشکیل و یا به صورت پوشش‌های باریک در اطراف پلاژیوکلازها دیده می‌شوند. در برخی مقاطع بلورهای ارتوز به میکروکلین تبدیل شده‌اند (شکل ۳-۶ ب). در چنین مواردی اعمال تنش موجب می‌شود که سیستم بلورشناسی ارتوز به بلورهای با سیستم تقارن کمتر (از منوکلینیک به سیستم تریکلینیک) تغییر نماید (ورنون، ۲۰۰۴).

بیوپتیت مهمترین و فراوانترین کانی آهن و منیزیم‌دار در گرانودیوریت‌ها است. بیوپتیت‌های موجود در توده‌های نفوذی الیگودرز به دو صورت مشاهده می‌شوند: ۱- بیوپتیت‌های ورقه‌ای شکل‌دار تا نیمه‌شکل‌دار درشت‌دانه با چندرنگی قرمز-قهوه‌ای حاوی ادخال فراوانی از زیرکن، (مونازیت)، آپاتیت، روتیل، اسفن و کانی کدر (شکل ۳-۶ ج و د)؛ ۲- بیوپتیت‌های دانه‌ریز که بیشتر به صورت تجمعی بوده و اغلب با بلورهای ریز سیلیمانیت همراه شده‌اند (شکل ۳-۶ ه). براساس مطالعات پتروگرافی وايت و چپل (۱۹۹۱) به نظر می‌رسد بیوپتیت‌های اخیر قطعاتی از مجموعه‌های رستیت باشند. برخی از بیوپتیت‌ها در حضور سیالات گرمابی به کلریت، اسفن و مسکوویت تبدیل شده‌اند (شکل ۳-۶ د). این کانیها در بخش‌های حاشیه‌ای و یا در امتداد رخ بیوپتیت دیده می‌شوند. بلورهای منیتیت نیز به صورت ادخال در داخل بیوپتیت وجود دارند (شکل ۳-۶ و).

### کانیهای فرعی

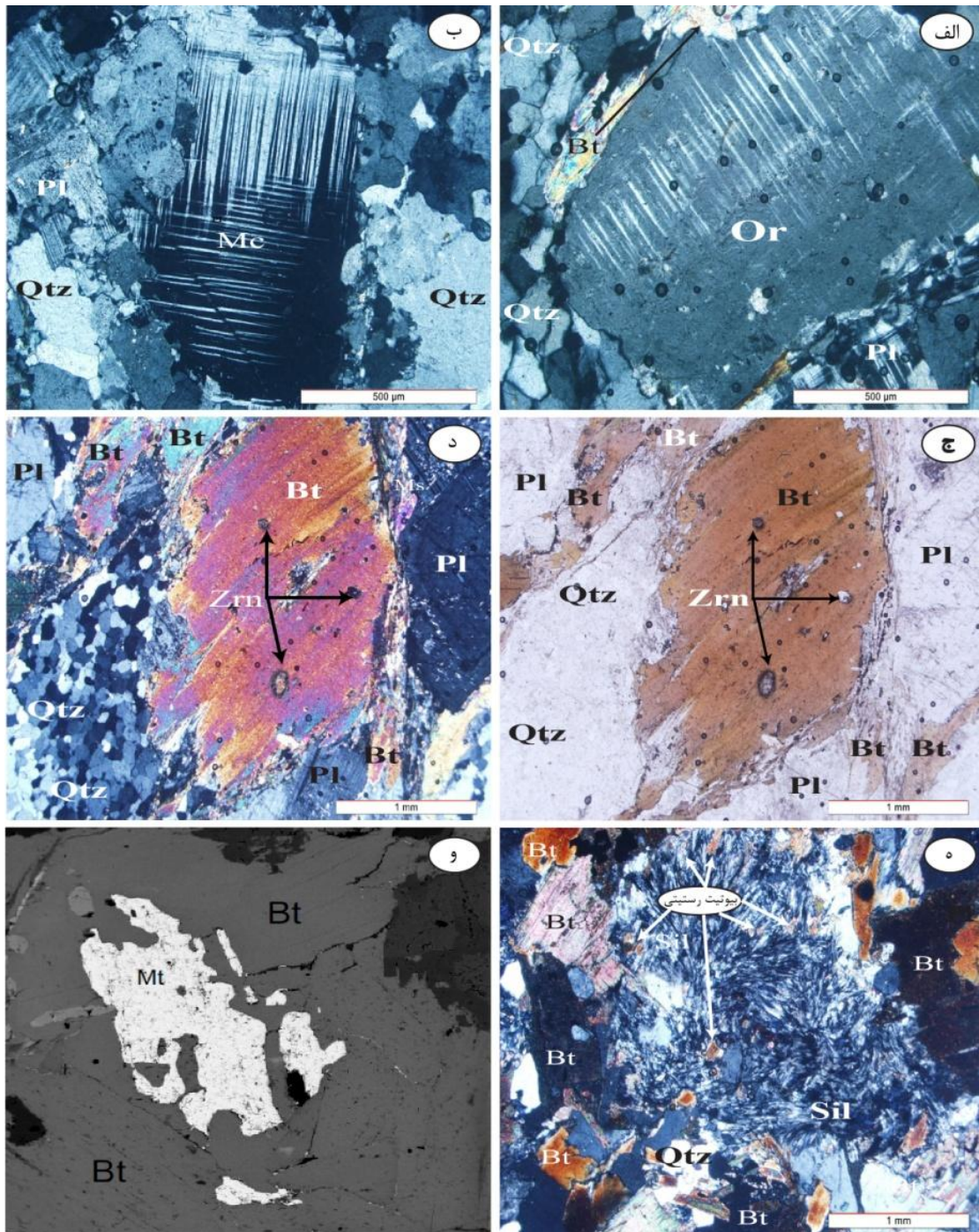
مسکوویت به صورت بلورهای ورقه‌ای نیمه‌شکل‌دار و بی‌شکل و در اندازه‌های ریز تا درشت در این واحد سنگی مشاهده می‌شوند (شکل ۳-۷ الف و ب). مسکوویت‌های اولیه از کانیهای شاخص گرانیتهای پرآلومین می‌باشند که بررسی اولیه یا ثانویه بودن آن از اهمیت ویژه‌ای برخوردار است. بر اساس شواهد پتروگرافی اسپیر<sup>۱</sup> (۱۹۸۴)، میلر<sup>۲</sup> و همکاران (۱۹۸۱)، سان<sup>۳</sup> و همکاران (۲۰۰۲) و باربارن<sup>۴</sup> (۱۹۹۶) مهمترین راههای شناسایی مسکوویت‌های اولیه و ثانویه بدین شرح می‌باشد: ۱- مسکوویت اولیه همانند سایر فازهای دیگر درشت بلور بوده و می‌تواند مانند بیوپتیت به عنوان فاز اصلی محسوب شود؛ ۲- قسمت انتهایی بلورهای موسکوویت اولیه صاف و یا به صورت شکل‌دار تا نیمه‌شکل‌دار می‌باشد؛ ۳- هیچ بافت واکنشی با سایر کانیهای

۱- Speer

۲- Miller

۳- Sun

۴- Barbarin



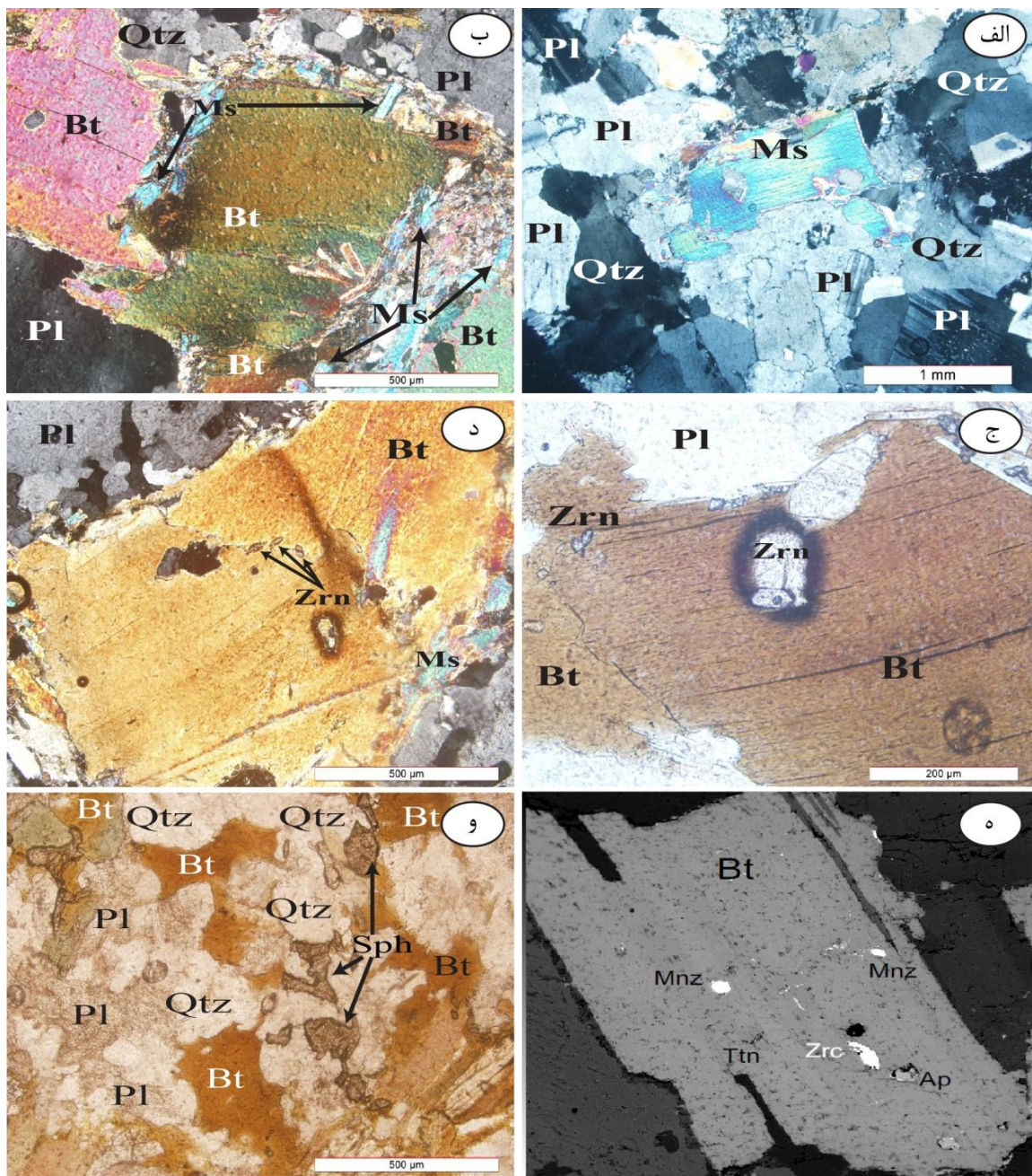
شکل ۳-۶) تصاویر میکروسکوپی از آلکالی فلدسپار و انواع بیوتیت‌های موجود در توده‌های گرانیتوئیدی الیگودرز. (الف) بلور درشت ارتوز پرتیتی در زمینه‌ای از بیوتیت و کوارتز (XPL); (ب) میکروکلین، کوارتز بی‌شکل و پلاژیوکلاز (XPL) (ج) بیوتیت ورقه‌ای بزرگ حاوی ادخال‌هایی از زیرکن (PPL)، (د) تصویر الف در نور پلاریزه (XPL); (ه) بیوتیت‌های تکه تکه و سیلیمانیت که به نظر می‌رسد از بخش‌های دیرگذار باقی‌مانده و رستیتی باشد (PPL); (و) تصویر میکروسکوب الکترونی (BSE) از کانی بیوتیت حاوی ادخالی از منیتیت.

اطراف نداشته باشد؛ ۵- در سنگهای سالم و فاقد هر نوع دگرسانی مشاهده شود؛ ۶- از نظر ژئوشیمیایی نیز مسکوویت‌های اولیه غنی از Ti، Mn، K و Na اما از Fe، Mg و Al فقیر هستند. بررسی‌های پتروگرافی وجود هر دو نوع مسکوویت را در این مجموعه نشان می‌دهد. مسکوویت اولیه که به مقدار اندک به صورت بلورهای شکل‌دار و نسبتاً درشت به همراه کوارتز در این سنگها مشاهده می‌شود (شکل ۷-۳ الف) نشانه‌ای از پرآلومین بودن گرانیتهای مورد مطالعه می‌باشد (کلارک<sup>۱</sup>، ۱۹۸۱). مسکوویت ثانوی حاصل واکنش ناقص تا کامل سیالات گرمابی با بیوتیت و ارتوکلاز بوده و مسکوویت‌ها به صورت پولک‌های ریز در حاشیه بیوتیتها بوجود می‌آیند (شکل ۷-۳ ب). در فرایند تبدیل بیوتیت به مسکوویت Mg، Fe و Ti آزاد شده و در ساخت کانی‌هایی مثل اسفن، کلریت و هماتیت شرکت می‌کند.

### زیرکن، مونازیت و اسفن

زیرکن و مونازیت با داشتن رنگهای تداخلی قوی و هاله‌ای تیره که بدليل تششع عناظر رادیواکتیو در آنها است، (هاله پلئوکروئیک) مشخص می‌شوند (شکل ۷-۳ ج و ۵). با توجه به مشابهت زیاد خصوصیات نوری این دو کانی و عدم امکان شناسایی آنها در زیر میکروسکوپ، از میکروسکوپ الکترونی برای تفکیک و اثبات حضورشان استفاده شده است (شکل ۷-۳ ه). حضور زیرکن و مونازیت به صورت بلورهای منشوری کوتاه و شکل‌دار در داخل بیوتیتها می‌تواند شاهدی بر رستیتی بودن هر دو کانی نامبرده باشد (چپل و وايت، ۱۹۹۱).

اسفن یکی از فراوانترین و مهمترین کانی فرعی در گرانودیوریت است که به صورت گوهای شکل در توده‌های نفوذی الیگودرز وجود دارد. درشت و خود شکل بودن آن نشانی از اولیه بودن این کانی است (شکل ۷-۳ و).



شکل ۳-۷) تصاویر میکروسکوپی از کانیهای فرعی واحد گرانودیوریتی. (الف) و (ب) به ترتیب مسکوویت‌های دانه‌درشت و دانه‌ریز در زمینه‌ای از بیوتیت و پلازیوکلاز (XPL); (ج) و (د) زیرکن با هاله پلئوکروئیک در داخل بیوتیت (به ترتیب PPI و XPL); (ه) تصویر میکروسکوپ الکترونی از بلورهای مونازیت، زیرکن و آپاتیت در داخل بیوتیت؛ (و) بلور اسفن اولیه که به صورت خودشکل در کنار بیوتیت و کوارتز قرار دارد (PPL).

آندازویت‌ها دارای طیفی از اندازه بلوری (از چند میلیمتر تا چند سانتیمتر) و اکثراً شکلدار، به صورت پراکنده در درون سنگهای گرانودیوریتی قابل مشاهده هستند. این زینوکریستها خودشکل تا نیمه‌شکل‌دار بوده و در اثر هجوم سیالات گرمابی به شدت سریسیتی شده‌اند (شکل ۳-۸ الف و ب).

این کانی در زیر میکروسکوپ در قالب منشورهای بزرگ مجزا همراه یا بدون همرشیدی‌هایی از مسکوویت مشاهده می‌شود (شکل ۳-۸ ج و د). به استثنای یک مقطع نازک که در آن آندالوزیت دارای رنگ تداخلی خاکستری سری اول است (شکل ۳-۸ الف) در بقیه موارد دارای رنگهای تداخلی متوسط تا قوی می‌باشد و به واسطه سیالات گرمایی به طور کامل با موسکوویت و مقادیر کمتر بیوتیت و کوارتز جایگزین شده است (شکل ۳-۸ ج و د). به علاوه، هیچ کانی باقی‌مانده از ذوب در منشا در داخل این بلورها مشاهده نمی‌شود. در مقاطع میکروسکوپی آندالوزیت و مسکوویت رابطه متقابلی با هم داشته و بعضاً در حاشیه آندالوزیت بلورهای نسبتاً درشتی از موسکوویت مشاهده می‌شود (شکل ۳-۸ ج). نتایج حاصل از تصاویر BSE که به منظور شناسایی دقیق ترکیب این کانی انجام شده است تنها همرشیدی موسکوویت با فلدرسپار پتاسیک را به صورت پزودومورف در قالب اشکال دروغین آندالوزیت به اثبات رسانیده است (شکل ۳-۸ ه و و).

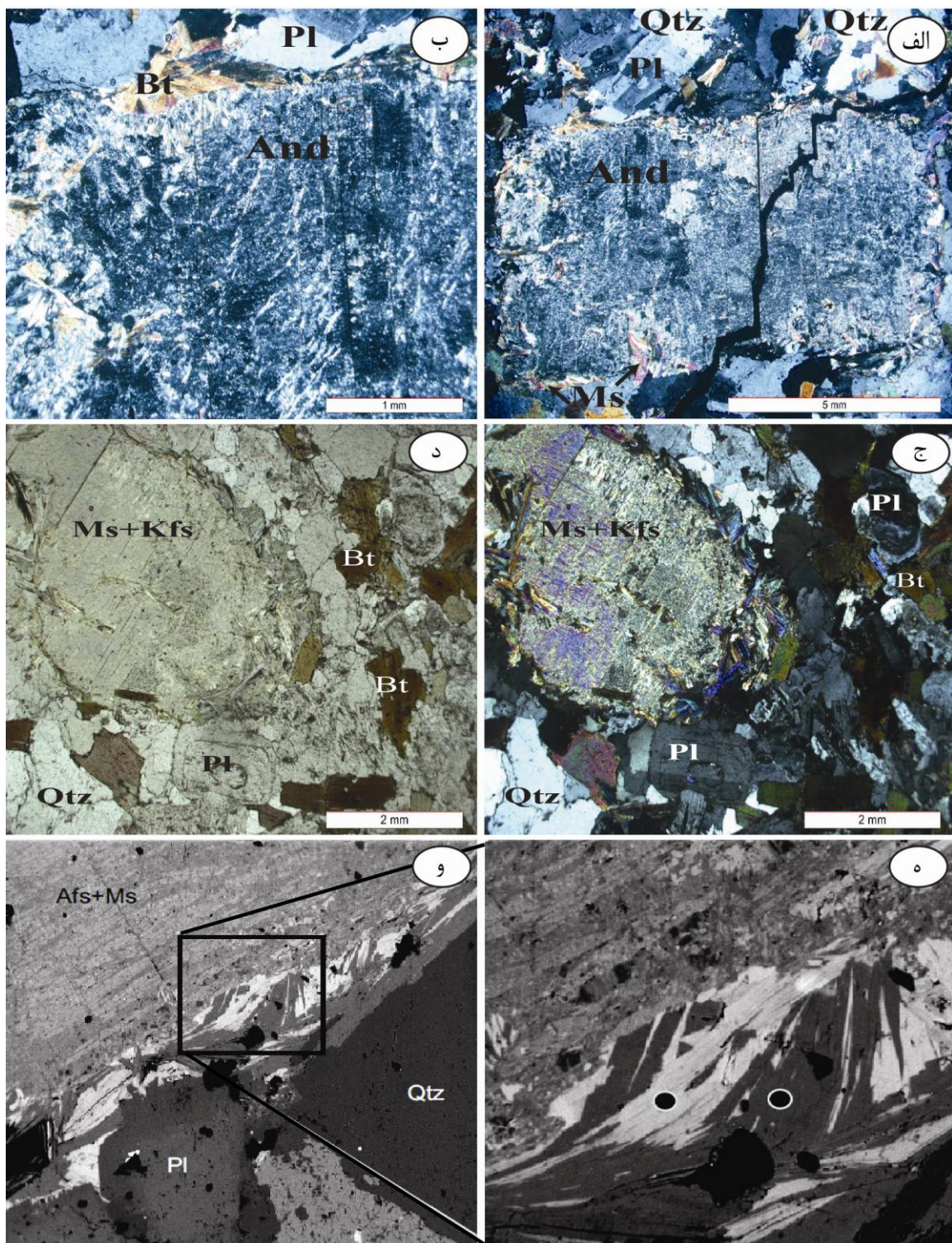
آندالوزیت یکی از مهمترین کانیهایی است که در گرانیتهای به شدت پرآلومین مشاهده می‌شود. این کانی می‌تواند به صورت اولیه بوده و از ماگما به طور مستقیم متبلور شده باشد (کلارک و همکاران، ۱۹۷۶؛ Haslam<sup>۱</sup>، ۱۹۷۱) و یا از سنگهای منشا به صورت یک کانی دگرگونی به ارث رسیده باشد (Rose<sup>۲</sup>، ۱۹۵۷). کلارک و همکاران (۲۰۰۵) با مطالعه ۱۱۱ نمونه سنگ آذرین فلسیک آندالوزیت‌دار، این کانی را از نظر ژنتیکی و منشا طبقه‌بندی نموده و به انواع دگرگونی، ماگمایی و متاسوماتیک نسبت داده‌اند. خصوصیات بارز هر کدام از آنها در جدول ۲-۳ خلاصه شده است. این محققین معتقدند که بیشتر آندالوزیت‌های موجود در سنگهای آذرین فلسیک پرآلومین منشا ماگمایی دارند و بنابراین، محدوده پایداری بزرگی برای آندالوزیت‌های ماگمایی وجود دارد. کارهای تجربی (Riegerdsson<sup>۳</sup> و همکاران، ۱۹۶۹) و محاسبات ترمودینامیکی هلم و کلیپا<sup>۴</sup> (۱۹۶۶) نشان می‌دهد که بلورهای

۱- Haslam

۲- Rose

۳- Richardson

۴- Holm & Kleppa



شکل ۸-۳) تصاویر میکروسکوپی از آندالوزیتهای موجود در توده‌های نفوذی الیگودرز. (الف) و (ب) آندالوزیتهای سریسیتی شده که از حاشیه به مسکوویت تبدیل شده‌اند همراه با بلورهای پلازیوکلاز، بیوتیت و کوارتز (XPL); (ج) تصویر میکروسکوپی از آندالوزیت قهقهایی در گرانویدیوریتها. این کانی درشت بلور بوده و دارای بیرفرنژانس قوی می‌باشد (XPL); (د) تصویر ج در نور(PPL); (ه) و (و) تصاویر BSE که هم‌شدنی کامل موسکوویت و فلدسپار پتابسیک را نشان می‌دهند که به صورت پزو دومورف جایگزین آندالوزیت شده‌اند.

جدول ۲-۳- طبقه‌بندی آندالوزیت از نظر ژنتیکی و منشا (کلارک و همکاران، ۲۰۰۵)

شکل دار تا نیمه‌شکل دار همراه با لوکوسوم در میگماتیت‌ها	پریتکتیک (↑T)	ماگمای
نیمه‌شکل دار تا بی‌شکل، به صورت حاشیه و اکنشی روی گارنت یا کردیریت	پریتکتیک (تحت اشباع از آب، ↓T)	
خودشکل، اندازه دانه مشابه با سنگ میزبان، کمی ادخال	کوتکتیک (تحت اشباع از آب، ↓T)	دگرگونی
بلورهای نیمه‌شکل دار تا شکل دار بزرگ، در محل تماس آپلیت-پگماتیت یا فقط در بخش‌های پگماتیتی	کوتکتیک (اشباع از آب، T↓)	
به صورت بر جا، حاصل از دگرگونی مجاورتی سنگ‌های گرانیتی پرآلومین ناشی از تبدیل سیلیمانیت به آندالوزیت	پیشروندہ پسروندہ	دگرگونی
فاز برجای مانده از ذوب‌بخشی، غالباً بی‌شکل با ادخالهایی از کانیهای دگرگونی دما بالا	rstیتی	
غالباً بی‌شکل، حاوی ادخالهای فراوان، به ویژه در نزدیکی سنگ‌های میزبان و یا زینولیت‌های پلیتی	زینوکریست	متاسوماتیک
در شرایط اشباع از آب که ماغما وجود نداشت باشد، آندالوزیت با کوارتز، فلدسپار و یا بیوتیت، هم‌رشدی‌هایی دارد.	متاسوماتیک	

آنالوزیت می‌توانند از مذابهای گرانیتی متبلور شوند و تا انتهای تبلور ماغما به صورت پایدار باقی بمانند. بهترین شواهد مبنی بر ماغمایی بودن این کانی شامل یکنواختی آندازه بلورها، خودشکل تا نیمه‌شکل دار بودن آنها، دانه درشت بودن (بزرگتر از  $1/8$  میلیمتر)، عدم حضور ادخال و همگن بودن ترکیب شیمی آنها می‌باشد (وانگ<sup>۱</sup> و همکاران، ۲۰۰۶). لازم به توضیح است که آندالوزیت اولیه که در بسیاری از گرانیتهای پرآلومین یافت می‌شود معمولاً تا  $3/3$  درصد وزنی  $^{+3}\text{Fe}$  دارد (Haslam<sup>۲</sup>، ۱۹۷۱؛ وانگ، ۲۰۰۶؛ چن<sup>۳</sup> و همکاران، ۱۹۹۵) و همین امر موجب تولید پلی‌کروئیسم قوی (رنگ صورتی) آن در نور طبیعی می‌شود. با توجه به اینکه آندالوزیتهای خیلی ریز و خیلی درشت منشا غیر آذرین دارند، همچنین اثری از پلی‌کروئیسم صورتی و ادخالهای متبلور شده از ماغما در این بلورها مشاهده نمی‌شود، آندالوزیتهای مزبور نمی‌تواند از نوع ماغمایی باشند.

۱- Wang

۲- Haslam

۳- Chen

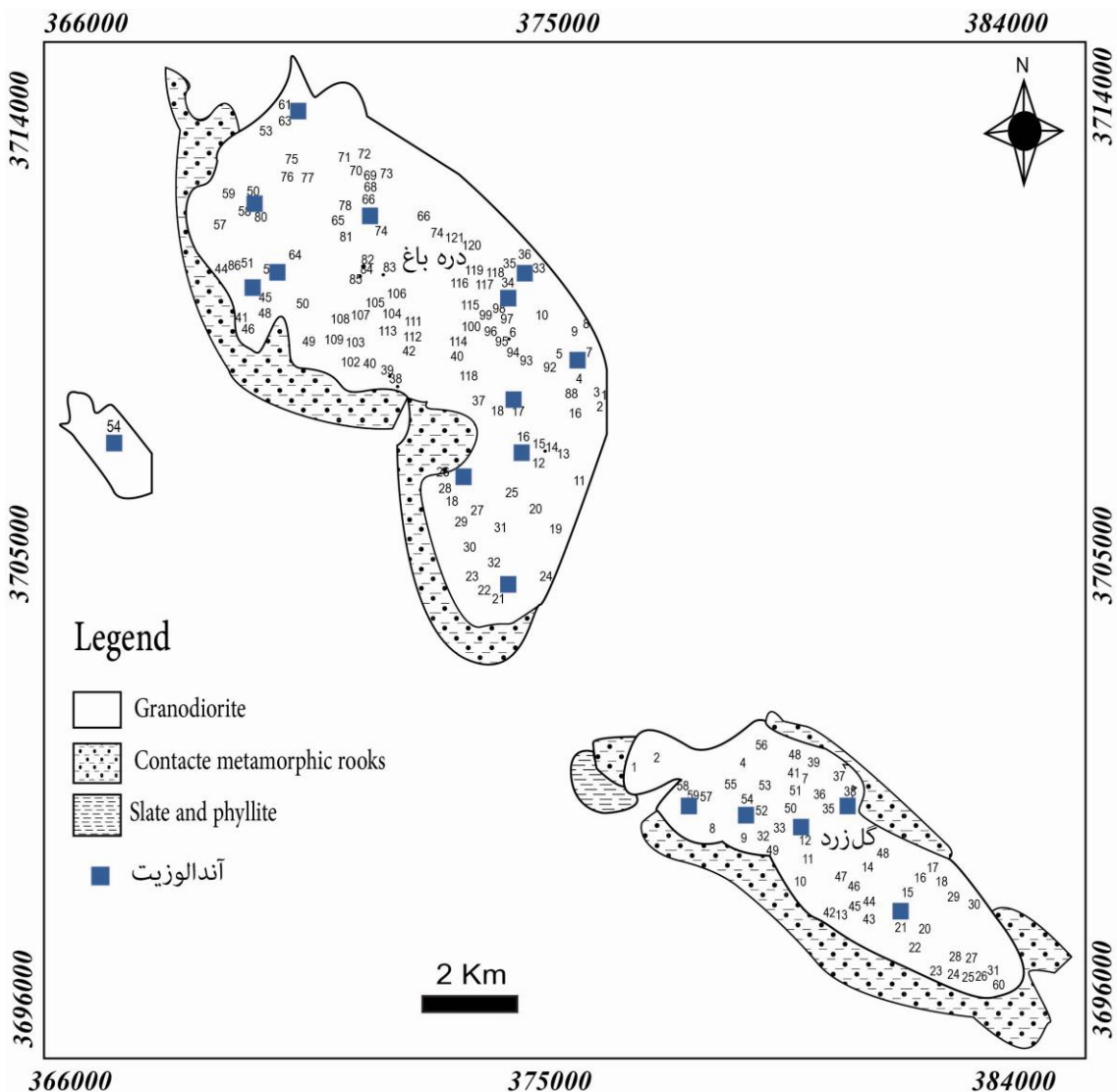
برخلاف آندالوزیت‌های ماقمایی، انواع زینوکریستی چندان رایج نبوده و ناهمسان بودن اندازه بلوری این کانی، بی‌شکل بودن و بافت‌های نامتعادل (حاشیه‌های واکنشی) مهمترین دلایل زینوکریست بودن این کانی می‌باشد (کلارک و همکاران، ۲۰۰۵). در چنین شرایطی، بین آندالوزیت سنگ میزبان و گرانیت موجود شbahت‌های بافتی و شیمیایی خوبی مشاهده می‌شود (کلارک و همکاران، ۲۰۰۵). عدم حضور آندالوزیت در سنگ‌های دگرگونی میزبان توده‌های نفوذی گل‌زرد و دره‌باغ و پراکندگی نسبتاً یکنواخت آنها در سراسر این توده‌ها، منشا زینوکریستی را برای بلورهای آندالوزیت نقض می‌نماید.

با توجه به حضور کانیهای رستیتی فراوان در داخل این مجموعه گرانیتوئیدی، منشا رستیتی آندالوزیت مورد بررسی قرار گرفته است. ناهمسان بودن اندازه بلورهای آندالوزیت، در بسیاری از موارد دانه‌ریز و گرد بودن آنها، رنگ‌های تداخلی ضعیف، بافت‌های نامتعادل (حاشیه‌های واکنشی) و ادخالهایی از کانیهای دگرگونی دمای بالا مهمترین شواهد مبنی بر رستیتی بودن این کانی می‌باشد (کلارک و همکاران، ۲۰۰۵). به طور کلی آندالوزیت رستیتی واقعی به ندرت دیده می‌شود زیرا در ناحیه تولید ماقماهای گرانیتی، معمولاً شرایط دما و فشار بالاتر از محدوده پایداری آندالوزیت است (کلارک و همکاران، ۲۰۰۵). از طرف دیگر ذوب‌بخشی مواد پلیتی در شرایط فشار بالا در پوسته پایینی و میانی احتمالاً به تشکیل مذابهای گرانیتی پرآلومین در تعادل با گارنت (یا سیلیمانیت) و نه آندالوزیت منجر می‌شود (گرین<sup>۱</sup>، ۱۹۷۶؛ ویلزوف و هولوی<sup>۲</sup>، ۱۹۸۸). صعود این ماقماها (کاهش فشار و دما) می‌تواند این مذابها را به قلمرو پایداری آندالوزیت وارد کند. در مقابل، ذوب‌بخشی مواد پلیتی در فشار پایین در پوسته میانی و بالایی در بسیاری از موارد به تشکیل آندالوزیت در واکنش پریتکتیکی مشابهی منجر می‌شود که فازهای مذاب پرآلومین را تشکیل می‌دهند (کلارک و همکاران، ۲۰۰۵). در محیط‌های دگرگونی، آندالوزیت به طور معمول در سنگ‌های با محتوای زیاد آلومین با افزایش دما و به ویژه در طی واکنش‌های آبزدا تشکیل می‌شوند (هولداوی<sup>۳</sup>، ۱۹۷۱).

۱- Green

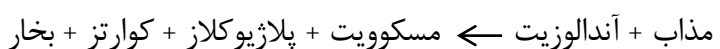
۲- Vielzeuf & Holloway

۳- Holdaway



شکل ۳-۹) نقشه پراکندگی آندالوزیت در توده‌های نفوذی گل زرد و دره باغ. شماره ایستگاه‌ها از شکاری (۱۳۹۰) و بدلو (۱۳۹۰) اقتباس شده است.

از آنجا که اکثر بلورهای آندالوزیت مورد مطالعه همانند سایر کانیهای موجود از دگرسانی گرمابی تاثیر پذیرفته‌اند و با فلدسپار پتاسیک، کوارتز، موسکوویت و بیوتیتهاي دانه‌ریز جایگزین شده‌اند تعیین منشا دقیق آنها امکان‌پذیر نمی‌باشد (شکل ۳-۸ج). از طرفی، حضور مسکوویت در حاشیه و درون آندالوزیت حاکی از آنست که مسکوویت در اثر کاهش دما و افزایش آب، مطابق با واکنش زیر از آندالوزیت بوجود آمده باشد (کلارک و همکاران، ۱۹۷۶):



بنابراین آندالوزیتهای موجود در نتیجه واکنشهای قهقرایی و به واسطه سیالات گرمابی تغییر یافته و به مجموعه کانیایی جدیدی تبدیل شده است. شکل ۳-۹ نقشه پراکنده‌گی این کانی را در این توده‌های نفوذی نشان می‌دهد.

کردیریت در توده‌های نفوذی الیگودرز نیمه‌شکل‌دار تا بی‌شکل بوده و کوارتز و بیوتیت به صورت ادخال در آن وجود دارند (شکل ۱۰-۳ الف و ب). اینکه کردیریت در گرانیتهای پرآلومین یک فاز ماقمایی اولیه است (فیلیپس<sup>۱</sup>، آلن<sup>۲</sup>، ۱۹۸۳؛ آلن<sup>۲</sup>، ۱۹۸۱) یا به صورت رستیت از سنگهای منشأ به ارث رسیده است (هنسن و گرین<sup>۳</sup>، ۱۹۷۳) هنوز مورد بحث است. کلارک (۱۹۹۵) انواع کردیریت‌هایی که در سنگهای آذرین فلزیک (ریولیت، گرانیت و پگماتیت) دیده شده را بر اساس منشا مطالعه و رده‌بندی کرده است (جدول ۳-۳). اگرچه خودشکل بودن کردیریت ضرورتاً مشخصه ماقمایی بودن این کانی نمی‌باشد (ویلیامسون<sup>۴</sup> و همکاران، ۱۹۹۷) اما غالباً بافت ماقمایی و خصوصیات ژئوشیمیایی نشان می‌دهد که می‌تواند در گرانیتهای پرآلومین جزء فازهای تأخیری محسوب شود (کلارک، ۱۹۹۵). این کانی یا به صورت فاز ماقمایی کوتکتیک یا در نتیجه واکنش ماقمایی پریتکتیک در حین افزایش دما یا کاهش فشار و یا کاهش دما و کاهش فشار بوجود می‌آید (کلارک، ۱۹۹۵). غیر از کردیریت‌هایی که حاوی اجزا گارنت و سیلیمانیت هستند شواهد بافتی کمی برای حضور کردیریت رستیتی وجود دارد (ویلیامسون و همکاران، ۱۹۹۷). معیارهای اصلی برای شناسایی کردیریت ماقمایی و پریتکتیکی ماقمایی شامل ۱- خودشکل بودن؛ ۲- عدم منطقه‌بندی؛ ۳- عدم وجود ادخال؛ ۴- وجود تنوع شیمیایی در داخل گرانیت (چپل و وايت، ۱۹۹۷)؛ ۵- نسبت بالای  $\text{Na}_2\text{O}$  در آنها ( $>0.5\text{wt}\%$ ) در مقایسه با کردیریت دگرگونی و رستیتی ( $0.5\text{wt}\% <$ )، (هریس<sup>۵</sup> و همکاران، ۱۹۹۲).

حضور مقدار اندازه این کانی در مقاطع نازک مورد مطالعه، بی‌شکل بودن، پنیتی شدن شدید

<sup>۱</sup>- Phillips

<sup>۲</sup>- Allen

<sup>۳</sup>- Hensen & Green

<sup>۴</sup>- Williamson

<sup>۵</sup>- Harris

(موسکویت و کلریت) و عدم انجام تجزیه نقطه‌ای همگی شواهدی هستند که نمی‌توان منشا دقیق این کانی را تعیین نمود اما رستیتی بودن آن محتمل‌تر می‌باشد.

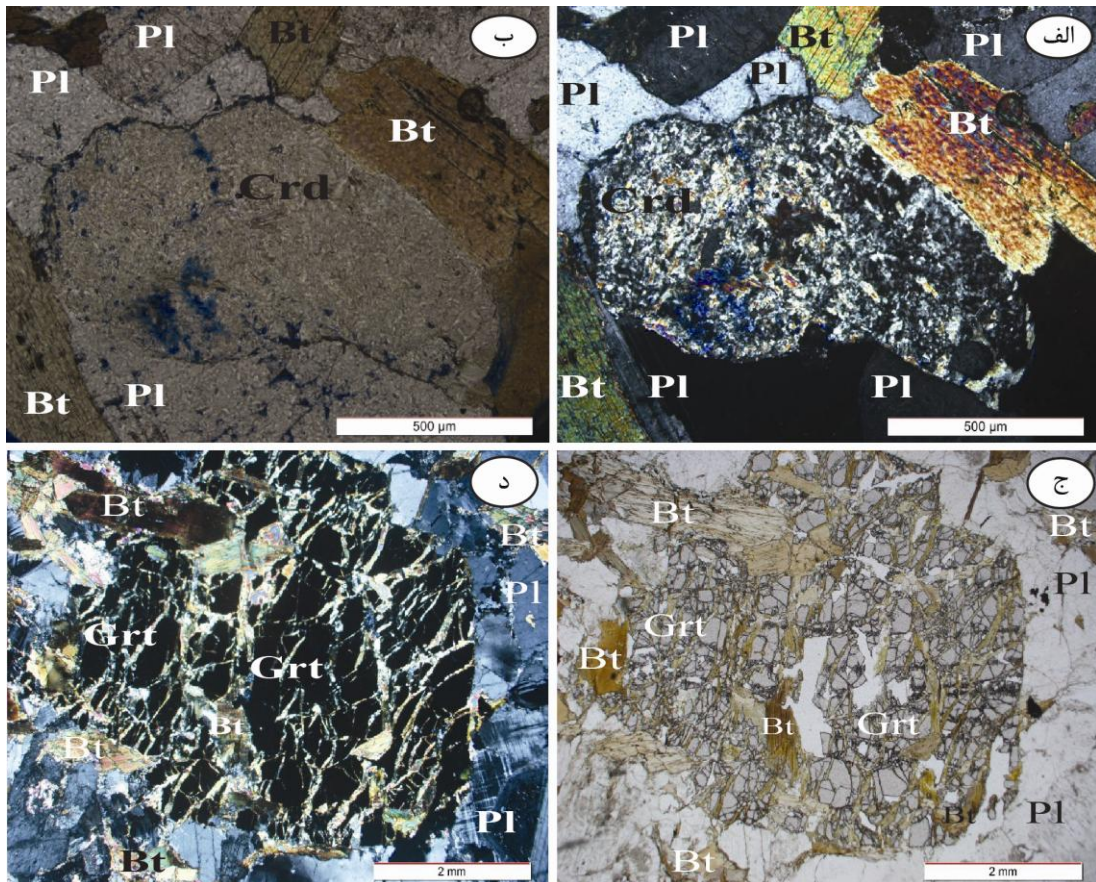
جدول ۳-۳- طبقه‌بندی کردیریت از نظر ژنتیکی و منشا (کلارک، ۱۹۹۵).

همبستگی ترکیبی بین کردیریت در گرانیت و کردیریت در سنگ میزبان و یا انکلاو، بی‌شکل تا دانه‌های کاملاً شکل‌دار، اندازه دانه کوچک در حد میلی‌متر.	زنوکریست	دگرگونی
از نظر منشا با دگرگونی درجه بالا سازگار است؛ دارای لخته و ادخال و یا دانه‌های سیلیمانیت رشتی، اسپینل، بیوتیت ورقایی.	رستیت	
بیشتر در بخش لوکوس (و یا ملانوسوم) میگماتیت‌ها، کردیریت اولیه با انکلوزیون‌هایی از کوارتز گردشده در هسته؛ اندازه دانه بزرگ (Cm)؛ اگر در جات ذوب‌بخشی زیاد شود از نوع کوتکتیک ماغمایی غیرقابل تشخیص است.	پریتکتیک ماگمایی ( $T \uparrow$ )	ماگمایی
در ماگماهای با سرعت صعود بالا (آپلیتی، ریولیتی)؛ به صورت حاشیه واکنشی در گارنت یا بدون انکلوزیون بیوتیت و ارتوبیروکسن؛ اگر واکنش کامل انجام شود از کوتکتیک ماغمایی قابل تشخیص است.	پریتکتیک ماگمایی ( $T \downarrow$ )	
در همه جا وجود دارد، دانه‌های خودشکل، ادخال اندک، اندازه دانه متناسب با سنگ میزبان (ریولیت دانه‌ریز یا آپلیتی یا گرانیت‌های دانه‌درشت).	کوتکتیک ماگمایی	
اندازه دانه بزرگ (Cm-mm)، دانه‌های بی‌شکل تا خودشکل در محل تماس با آپلیت-پگماتیت، خفره‌های میارولیتی و یا هسته‌های پگماتیتی.	سیال ماگمایی	
دانه‌های خودشکل تا بی‌شکل، پراکندگی در امتداد نقاط ضعف ساختاری گرانیت؛ معمولاً درون هاله‌های رنگ روشن بدون بیوتیت؛ در هم‌رشدی دروغین با کوارتز.	متاسوماتیکی	متاسوماتیکی

گارنت موجود در گرانیت‌وئیدهای منطقه مورد مطالعه اغلب خود شکل اما شکسته شده و به اجزاء کوچکتری تقسیم شده‌اند. این کانی دارای برجستگی بالا بوده و در بعضی قسمتها به بیوتیت و یا کلریت (پنیتی) و مسکوویت تبدیل شده‌اند (شکل ۱۰-۳ ج و د). با توجه به نقشه پراکندگی، گارنت‌ها اکثراً در حاشیه توده‌های نفوذی مزبور وجود دارند (شکل ۱۱-۳). گارنت یکی از مهمترین کانی‌های فرعی در گرانیت‌های پرآلومین نوع S می‌باشد. در فصل شیمی کانی منشا این کانی بر اساس نتایج تجزیه نقطه‌ای تعیین خواهد شد.

### آپاتیت، روتیل و سیلیمانیت

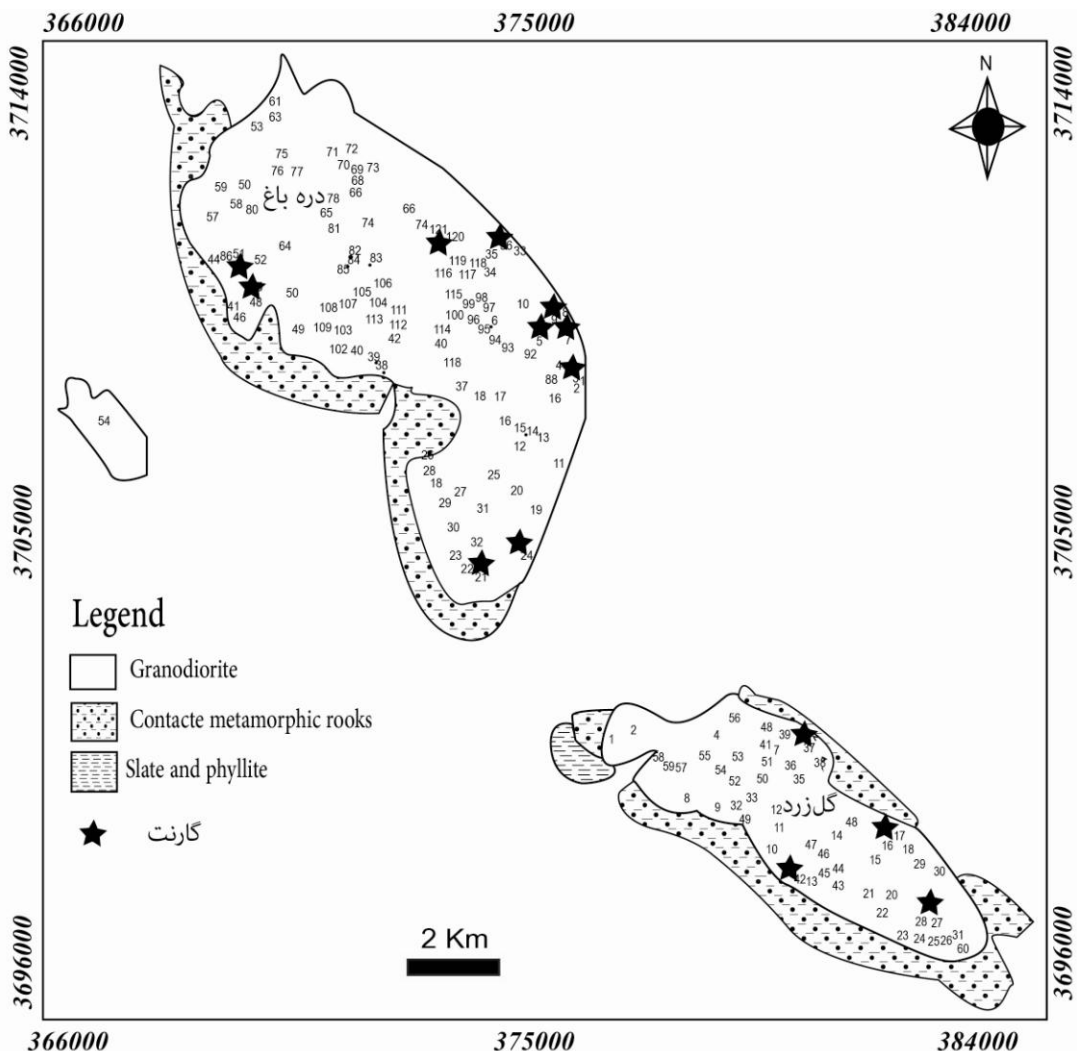
بلورهای آپاتیت در مقاطع طولی بیشتر به صورت سوزنی‌شکل، کوچک و کشیده بوده و به صورت ادخال در بیوتیت و به مقدار کمتر در فلدسپارها یافت می‌شوند (شکل ۱۲-۳ الف).



شکل ۳-۱۰) تصاویر میکروسکوپی کردیریت و گارنت موجود در گرانودیوریتهای الیگودرز. (الف) کردیریت سریسیتی شده و بیشکل که از اطراف توسط بلورهای بیوتیت و پلاژیوکلاز محصور شده است (XPL); (ب) تصویر الف در نور (XPL); (ج) درشت بلور گارنت خرد شده همراه با بیوتیت (PPL); تصویر ج در نور پلاریزه (PPL).

روتیل به صورت سوزن‌های ریز در بیوتیت‌ها مشاهده می‌شوند (شکل ۳-۱۲ ب). این بلورها در بیشتر موارد با زاویه ۶۰ درجه و اشکال ستاره مانند را ایجاد می‌کنند که به آن ساخت سازنیت (Sagenite) گفته می‌شود و نشانه‌ای از واکنشهای قهقرایی بیوتیت می‌باشد که به سادگی از روابط بافتی استنباط می‌شود. در چنین مواردی بیوتیت به طور اندک کلریتی شده و در حالیکه محتوای آهن افزایش می‌یابد غلظت تیتانیوم بیوتیت باقی مانده کاهش می‌یابد (پیترا و گیراد<sup>۱</sup>، ۱۹۹۶).

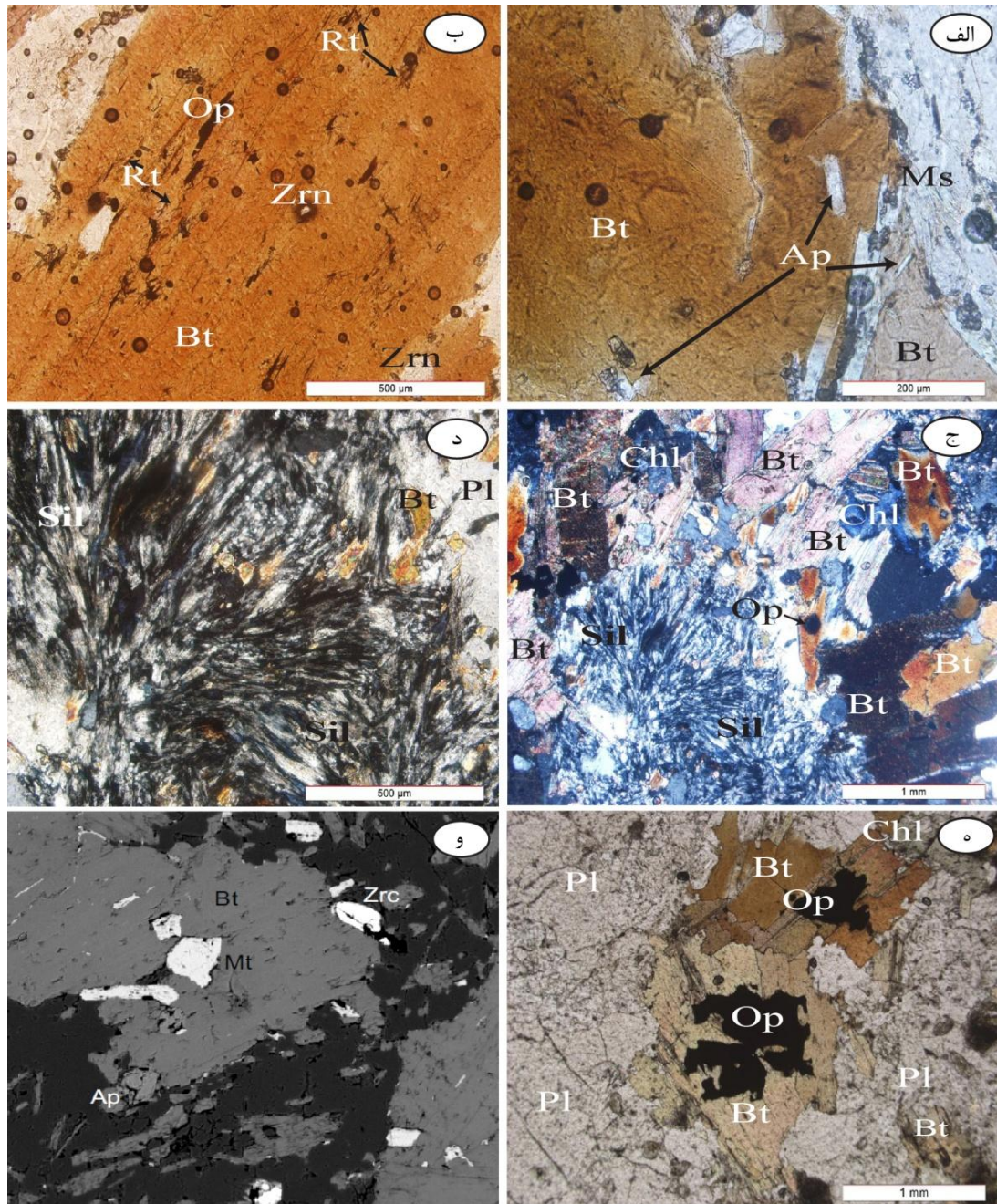
<sup>۱</sup>- Pitra and Guiraud



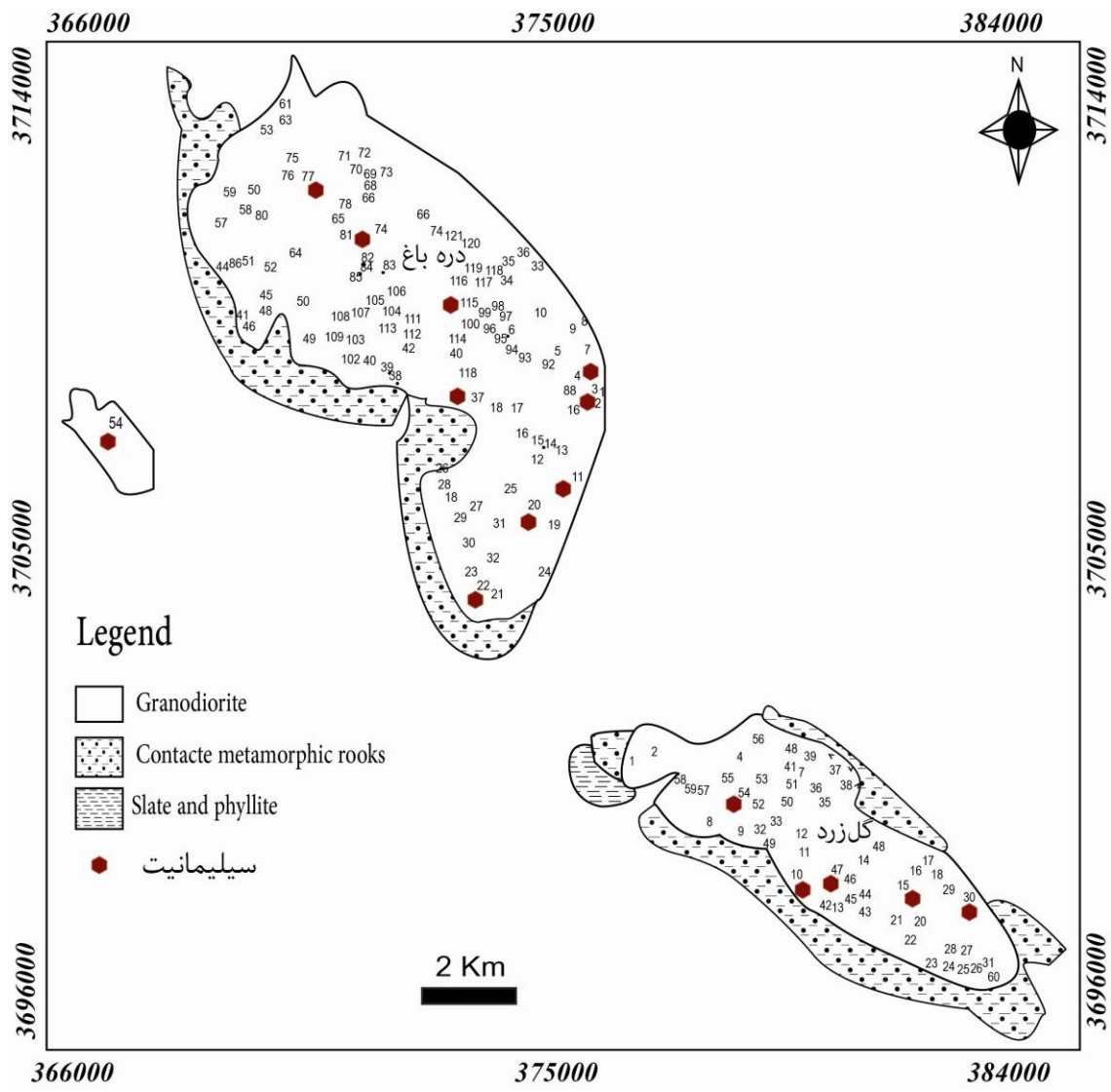
شکل ۳(۱) نقشه ساده شده زمین‌شناسی پراکندگی کانی گارنت در توده‌های گرانیت‌وئیدی الیگودرز. شماره ایستگاه‌ها از شکاری (۱۳۹۰) و بدلو (۱۳۹۰) اقتباس شده است.

سیلیمانیت‌های موجود در توده‌های گرانیت‌وئیدی الیگودرز به صورت دسته‌ای و فیبرولیتی به ویژه همراه با بیوتیت‌های رستیتی قابل مشاهده هستند (شکل ۱۲-۳ج و ۵) و به صورت پراکنده در کل توده‌های نفوذی الیگودرز پراکنده هستند (شکل ۱۳-۳).

کانی کدر موجود در این توده‌های نفوذی از نوع ایلمنیت می‌باشند که یکی از مشخصه‌های گرانیت‌وئیدهای نوع S است. در بعضی مقاطع این کانی به صورت ادخال یا میان دانه‌ای در بیوتیت و پلاژیوکلاز دیده می‌شود. حضور مقداری اندک از منیتیت در داخل بیوتیت با استفاده از تصاویر BSE اثبات شده است (شکل ۱۲-۳ه و ۵).



شکل ۳-۱۲) تصاویر میکروسکوپی از کانیهای فرعی گرانودیوریت‌ها؛ (الف) بلورهای آپاتیت در داخل بیوتیت (PPL); (ب) روتیل، زیرکن و کانی کدر به صورت ادخال در داخل بیوتیت (PPL); (ج) سیلیمانیت همراه با بیوتیت و پلاژیوکلاز و کلریت در داخل گرانودیوریت (PPL); (د) تصویر ج در نور (XPL); (ه) کانی اپک در داخل بیوتیت (PPL); (و) تصویر میکروسکوپ الکترونی از کانی اپک در داخل بیوتیت.



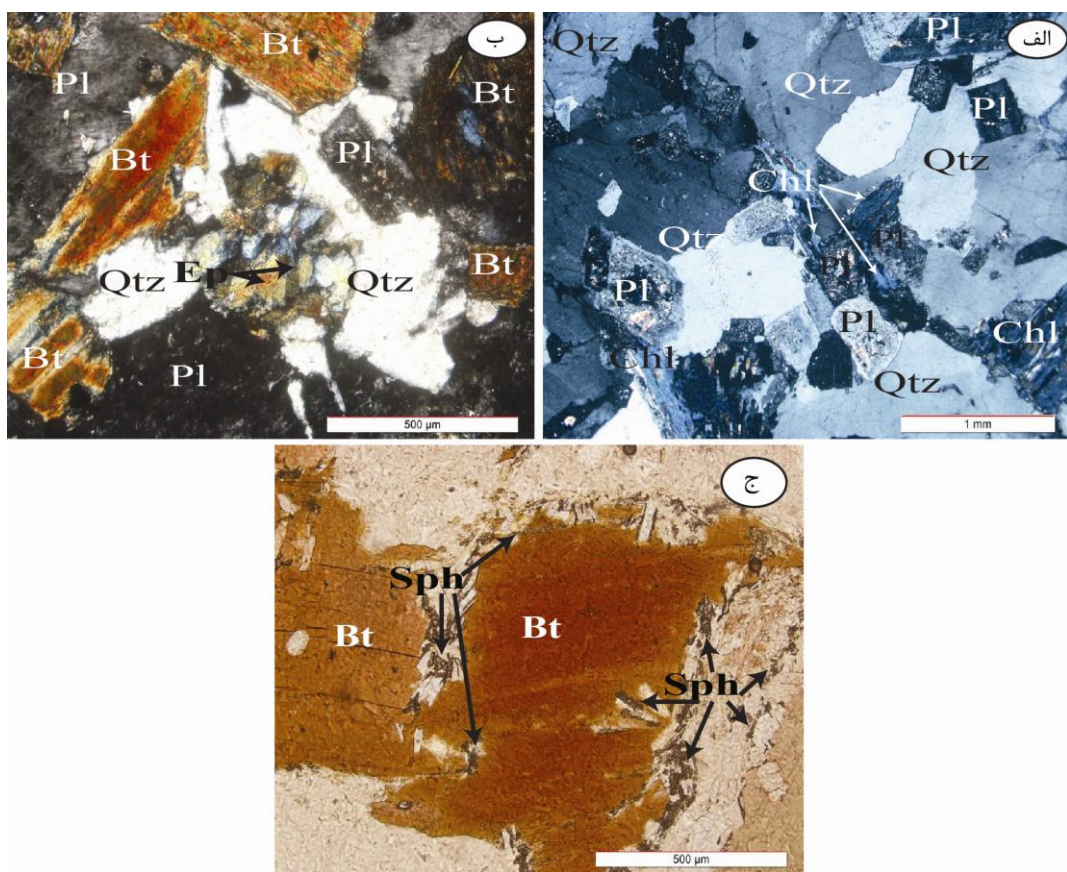
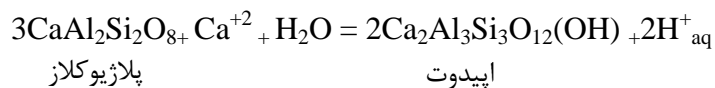
شکل ۳-۱۳) نقشه ساده شده زمین‌شناسی پراکنده‌گی کانی سیلیمانیت در توده‌های گرانیتوئیدی الیگوورز. شماره ایستگاه‌ها از شکاری (۱۳۹۰) و بدلو (۱۳۹۰) اقتباس شده است.

کانیهای ثانویه

کلریت، اپیدوت، اسفن

کلریت‌ها در اثر دگرسانی بیوتیت بوجود آمده‌اند. با تشکیل این کانی یون‌های  $\text{Na}^+$ ,  $\text{Ca}^+$  و  $\text{K}^+$  آزاد می‌شود. یون  $\text{K}^+$  آزاد شده از بیوتیت باعث سریسیتی شدن پلاژیوکلازها می‌شود و کلسیم خارج شده از پلاژیوکلازها در تولید اپیدوت و اسفن مصرف می‌شود. پدیده کلریتزایی با تشکیل اکسیدهای آهن، اسفن و کانی اپک همراه است (شکل ۱۴-۳ الف).

اپیدوت کانی حاصل از دگرسانی پلاژیوکلاز است (شکل ۳-۱۴ ب). در طی چرخش سیالات گرمابی داغ در درون سنگ، مقادیری Ca، Al، Si، Fe از برخی کانی‌ها مانند پلاژیوکلاز و بیوتیت شسته و وارد سیال شده و در نهایت به صورت اپیدوت متابولور می‌شود. واکنش تبدیل پلاژیوکلاز به اپیدوت به صورت زیر است:



شکل ۳-۱۴) تصاویر میکروسکوپی از کانیهای ثانویه توده‌های نفوذی الیگودرز: (الف) کلریت، کوارتز و پلاژیوکلاز سریسیتی شده (XPL); (ب) اپیدوت، بیوتیت و کوارتز بی‌شکل در اطراف پلاژیوکلاز (XPL); (ج) اسفن ثانویه در حاشیه بیوتیت (PPL).

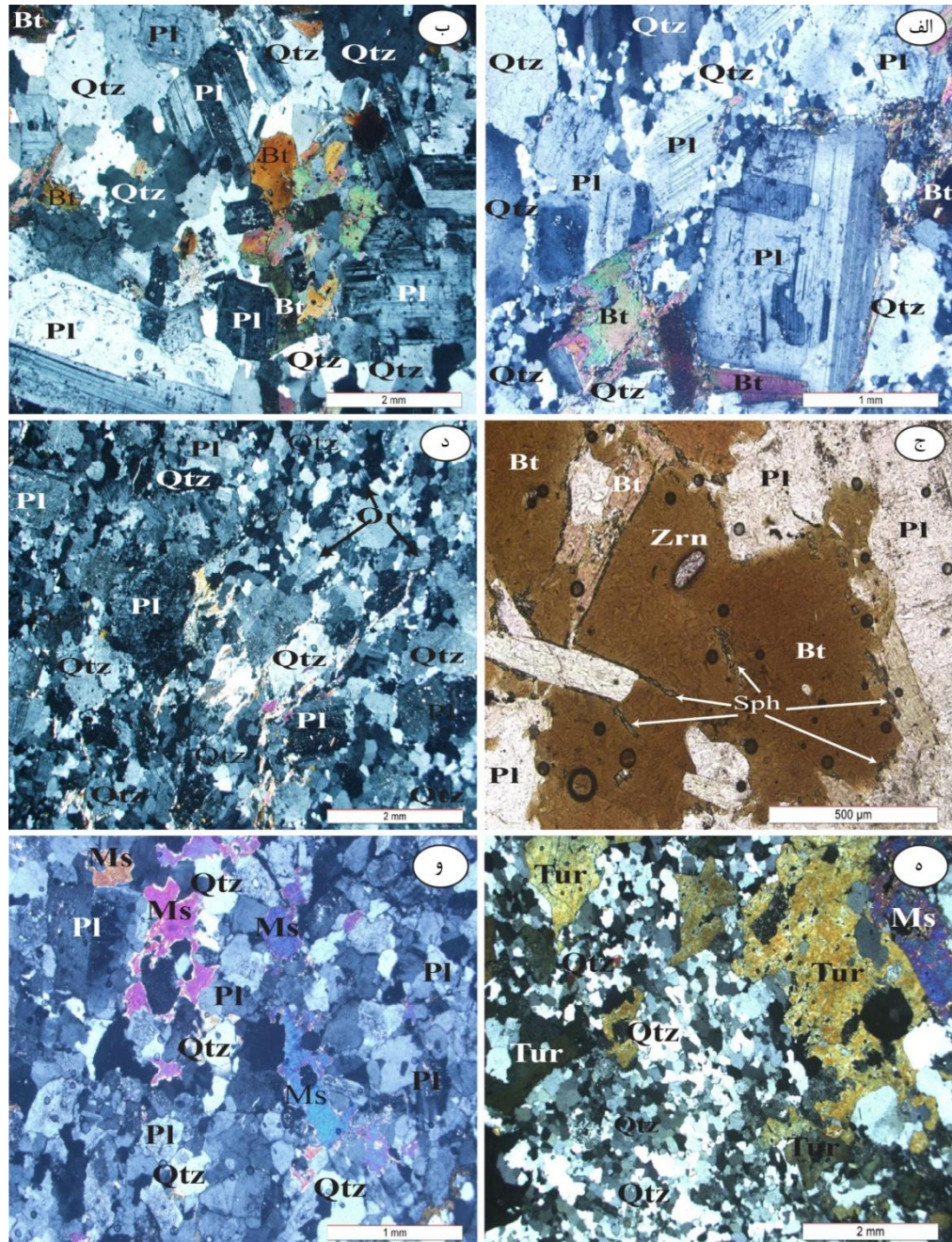
اسfen ثانویه ریزدانه و بی‌شکل بوده و همراه با بیوتیت‌های دگرسان شده در حاشیه بلورها یا در راستای رخ‌ها و مرز دانه‌های بیوتیت با کانی‌های دیگر دیده می‌شوند (شکل ۱۴-۳ج). آزاد شده از دگرسانی بیوتیت با  $\text{CaO}$  و  $\text{SiO}_2$  موجود در محیط ترکیب شده و اسفن ثانویه ایجاد کرده است.

سریسیت از دگرسانی فلدسپار حاصل می‌شود. پتانسیم آزاد شده در جریان دگرسانی بیوتیت‌ها همراه با  $\text{Al}$  و  $\text{Si}$  پلازیوکلازها در تشکیل سریسیت مشارکت کرده‌اند. این کانی در سطح پلازیوکلازها در اندازه‌های ریز دیده می‌شوند (شکل ۱۴-۳الف).

### ۲-۱-۲-۳- گرانیتها

گرانیتها در مقایسه با گرانودیوریتها بافت‌های گرانولار نسبتاً دانه‌ریز داشته و دگرسانی بیشتری متحمل شده‌اند. این سنگها در مقایسه با گرانودیوریتها رنگ روشنتری دارند. این سنگها به علت اینکه رخنمون کمی دارند در نقشه زمین‌شناسی به صورت یک واحد مجزا قابل نمایش نیستند. کانیهای اصلی شامل کوارتز، پلازیوکلاز، آکالی‌فلدسپار و کانیهای فرعی، بیوتیت، آپاتیت، اسفن، زیرکن و کانی کدر هستند. کوارتز به عنوان فراوانترین کانی گرانیت به صورت بی‌شکل وجود دارد. پلازیوکلازها به صورت بلورهای تخته‌ای با ماکل پلی‌سنتیک (تکراری) مشخص هستند (شکل ۱۵-۳الف و ب). دگرسانی پلازیوکلاز به سریسیت و بیوتیت به کلریت از ویژگیهای بارز آنهاست. زیرکن‌ها به صورت شکل‌دار تا نیمه‌شکل دار همراه ایلمنیت و آپاتیت مشاهده می‌شود (شکل ۱۵-۳ج). گرانیتهای موجود در توده‌های نفوذی الیگودرز فاقد آندالوزیت، گارنت و سایر کانیهای رستیتی بوده و از این نظر با گرانودیوریتها متفاوت هستند.

### ۳-۱-۲-۳- لوكوگرانيتها

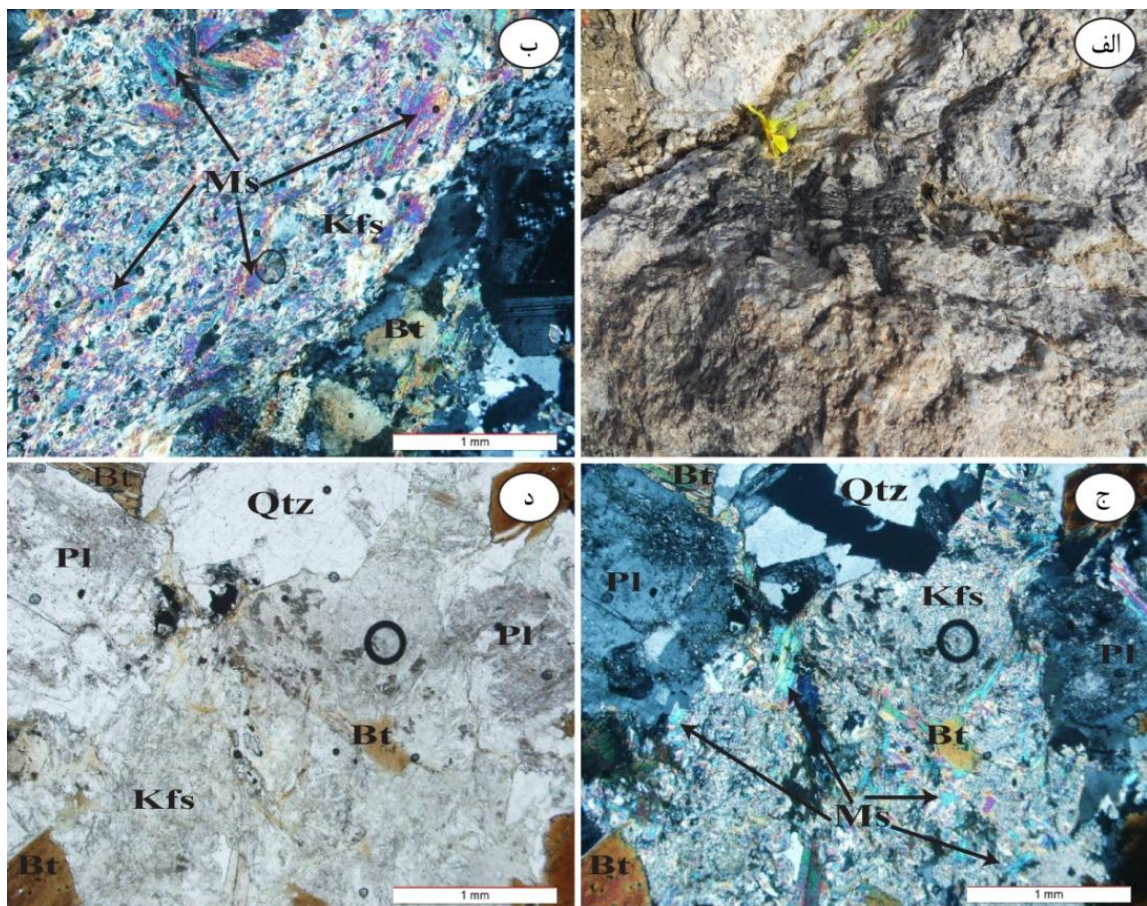


شكل ۳-۱۵) تصاویر میکروسکوپی گرانیتها و لوكوگرانیتهاي تودههای نفوذی اليگودرز. (الف) و (ب) بافت گرانولار با بلورهای پلازیوکلاز، بیوتیت و کوارتز خردشده در داخل گرانیت (XPL); (ج)؛ بلورهای زیرکن و اسفن ثانویه در داخل بیوتیت (PPL); (د) ارتوز دانه‌ریز، کوارتز و پلازیوکلاز در داخل لوكوگرانیت (XPL); (ه) تورمالین، مسکوویت و کوارتز دانه‌ریز (XPL); (و) بلورهای مسکوویت، پلازیوکلاز دانه‌ریز و کوارتزهای بی‌شکل (XPL).

لوکوگرانیتها در توده‌های نفوذی الیگودز (دره‌باغ و گل‌زرد) به صورت دایک، رگه و رگچه دیده می‌شوند. بر اساس مطالعات پتروگرافی کوارتز، پلاژیوکلاز آلبیتی و الکالی فلدسپار (ارتوز و میکروکلین) کانیهای اصلی و مسکوویت و تورمالین از کانیهای فرعی لوکوگرانیتها هر دو توده نفوذی محسوب می‌شوند. کوارتز به صورت بلورهای درشت و گاهی دانه‌ریز فضای بین بلورهای پلاژیوکلاز و فلدسپار را پر کرده است (شکل ۱۵-۳ د). میکروکلین و ارتوز در لوکوگرانیتها به فراوانی یافت می‌شود. لوکوگرانیتها اکثراً با تورمالین زایی همراه هستند (شکل ۱۵-۳ ه). تورمالین و مسکوویت به عنوان کانی فرعی، نیمه‌شکل‌دار تا بی‌شکل در داخل این لوکوگرانیتها مشاهده می‌شوند (شکل ۱۵-۳ ه). در مطالعات پتروگرافی هیچ شاهدی از حضور کانیهای رستیت در لوکوگرانیتها مشاهده نشده است. چنین مذابهایی همانند مذابهای پرآلومین هیمالیا (اسکایلت<sup>۱</sup> و همکاران، ۱۹۹۰؛ ۱۹۹۵) توانایی بیشتری برای جداشدن از محل منشا دارند و به همین دلیل در غالب بسته‌های ماگمایی کوچک از منشا خود جدا شده‌اند.

یکی از مهمترین ویژگیهای گرانیتها حضور رگه‌های گریزنی شده و مسکوویت‌زایی فراوان می‌باشد. در شکل ۱۶-۳ تعدادی از تصاویر صحرایی و میکروسکوپی از فرایнд گریزنی شدن ارائه شده است که در آن بلورهای خودشکل و درشت آلكالی‌فلدسپار با مسکوویت و کوارتز جایگزین شده‌اند. برد<sup>۲</sup> (۱۹۸۱) گریزنی شدن را در دگرسانی گرمابی سنگ گرانیتی دارای مخلوطی از کوارتز و میکا (لیتیم‌دار)، با توپاز، تورمالین، فلوریت یا سایر کانیهای غنی از فلور و بور تعریف می‌کند که به فعالیت HF و عناصر قلیایی در کانیهای آلومینو سیلیکاتها نسبت داده می‌شود.

۱- Scaillet  
۲- Burt



شکل ۳-۱۶) تصاویر صحرایی و میکروسکوپی از فرایند گریزی شدن. (الف) تصویر صحرایی از گریزی شدن در داخل تورمالین؛ (ب) بلور درشت پتاسیم فلدسپار که به مسکوویت و کوارتر تبدیل شده است (XPL)؛ (ج) بلورهای بیوتیت و مسکوویت ثانویه در داخل پتاسیم فلدسپار (XPL)؛ (د) تصویر ج در نور (PPL)؛ (ه) تصویر در نور (PPL).

### ۲-۲-۳- لوكوگرانیت ازنا

لوكوگرانیت ازنا از کوارتز، الکالی فلدسپار، پلاژیوکلاز، و کانیهای فرعی مسکوویت، بیوتیت، تورمالین آپاتیت، زیرکن تشکیل شده‌اند (شکل ۳-۱۷). دگرسانی بیوتیت به کلریت و پلاژیوکلاز به سریسیت در این مجموعه به صورت شایع مشاهده می‌شود.

در بیشتر مواقع کوارتز به صورت بلورهای درشت و گاهی اوقات به دلیل خرد شدن (ساب گرین شدن) در فضای بین بلورهای پلاژیوکلاز و فلدسپار مشاهده می‌شود (شکل ۳-۱۷ ج و و). میکروکلین و ارتوز در لوكوگرانیت‌ها به فراوانی یافت می‌شوند. این کانی‌ها شکل‌دار تا نیمه‌شکل‌دار بوده و به سریسیت

دگرسان شده‌اند (شکل ۳-۱۷ ج و د). پلاژیوکلازها اغلب توسط آلکالی‌فلدسپار احاطه شده و معمولاً شکل دار هستند. ماکل پلی‌سنتتیک از ویژگیهای بارز این کانی‌ها محسوب می‌شوند و غالباً سریسیتی شده‌اند (شکل ۳-۱۷).

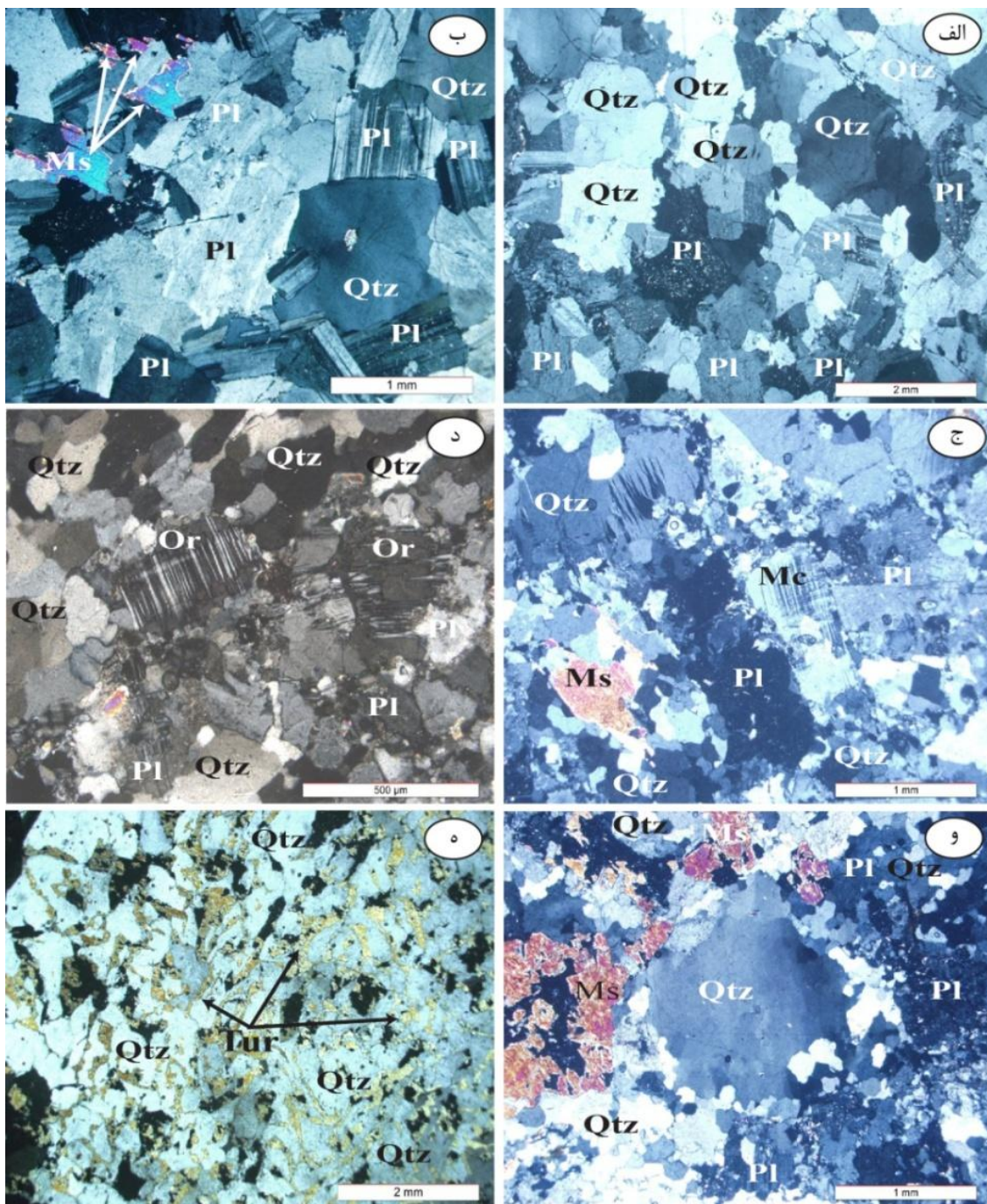
مسکوویت در سنگ‌های لوکوگرانیتی نسبت به گرانودیوریت‌ها فراوانی بیشتری دارد که در اندازه‌های ریز تا متوسط فضای بین بلورها را اشغال می‌کنند (شکل ۳-۱۷ و). تورمالین‌ها در نمونه دستی سیاه رنگ و در زیر میکروسکوپ به صورت بلورهای نیمه‌شکل دار تا شکل دار دیده می‌شود (شکل ۳-۵). تورمالین در لوکوگرانیت‌ها به صورت تجمعات موضعی، رگه‌ای و توده‌ای قابل مشاهده است. این کانی بیشتر به صورت منشوری در برخی از رگه‌های آپلیتی و پگماتیتی یافت می‌شوند.

### ۳-۳- آنکلاوها

در گرانودیوریت‌های منطقه الیگودرز آنکلاو به فراوانی یافت شده و تنوع زیادی از لحاظ مورفولوژی، کانی‌شناسی و سنگ‌شناسی دارند (شکل ۳-۱۸). آنکلاوها به صورت اشکی‌شکل، کروی، بیضوی و یا بی‌شکل دیده می‌شوند. زینوکریستلهای آندالوزیت و گارنت در این توده‌های نفوذی به فراوانی مشاهده می‌شوند.

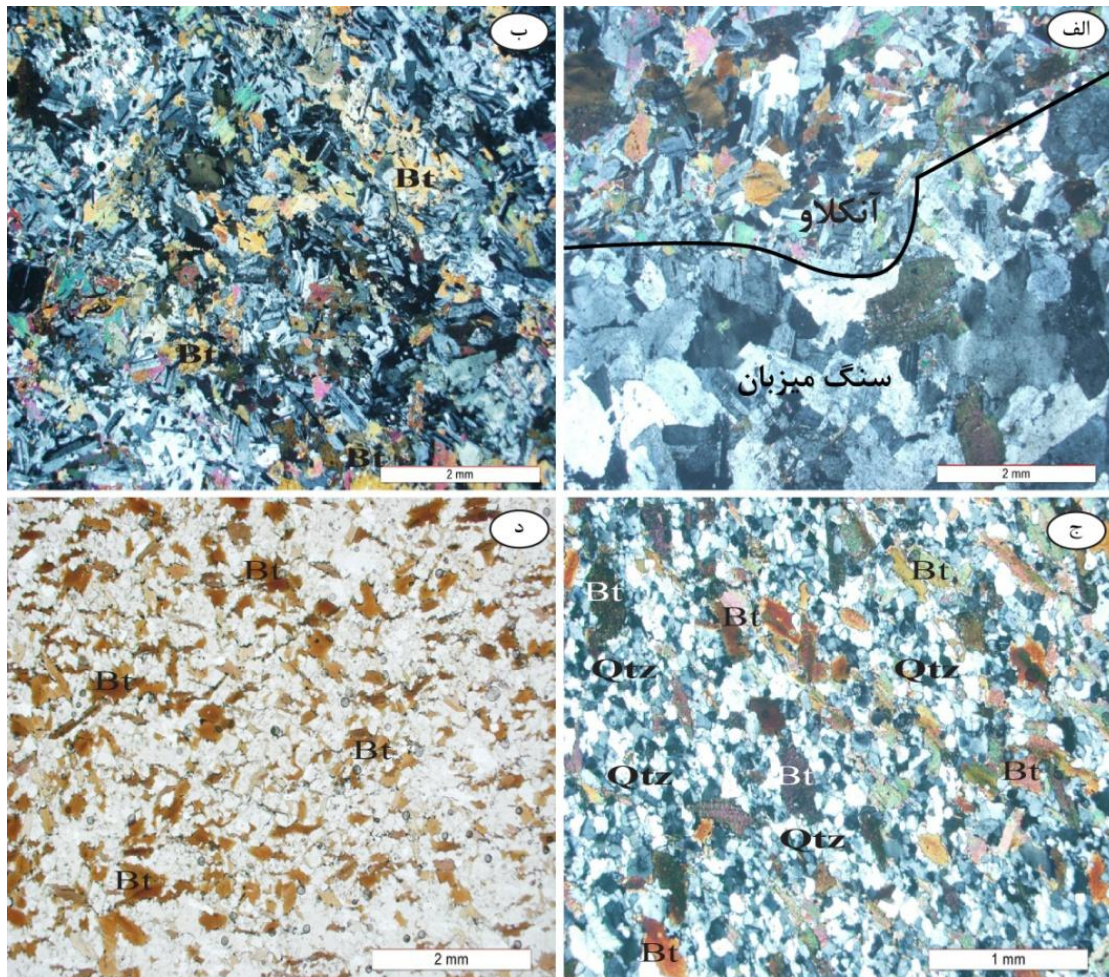
#### ۳-۳-۱- آنکلاو سورومیکاسه

این انکلاوها از بیوتیت، کوارتز، پلاژیوکلاز و به مقدار کمتر زیرکن، سیلیمانیت، گارنت، تورمالین تشکیل شده‌اند (شکل ۳-۱۸). بافت لپیدوبلاستی در اثر فراوانی بیوتیت و مسکوویت در سنگ حاصل شده است. این انکلاوها در واحد گرانودیوریتی بسیار رایج بوده، ترکیب و بافت آنها حاکی از قطعات دیرگذار باقیمانده از منشا می‌باشد. این انکلاوها در قسمت حاشیه خود تبلور مجدد یافته‌اند و حاشیه‌های غنی از بیوتیت دانه‌درشت ایجاد کرده‌اند. انکلاوهای سورومیکاسه اغلب کوچک (به طول چند سانتی‌متر) و عدسی شکل می‌باشند (شکل ۳-۱۸ ب). آنها اساساً از بیوتیت تشکیل شده‌اند و غالباً حاوی مسکوویت و سایر کانی‌های غنی از آلومینیوم (سیلیمانیت، آندالوزیت، کردیریت و ...) می‌باشند.



شکل ۱۷-۳ تصاویر میکروسکوپی از لوکوگرانیت ازنا. (الف) و (ب) بافت گرانولار ریز دانه همراه با بلورهای پلاژیوکلاز و کوارتز (XPL); (ج) بلورهای میکروکلین، ارتوز، پلاژیوکلاز و کوارتز (XPL); (د) بلورهای ارتوز، کوارتز بی‌شكل و پلاژیوکلاز (XPL); (و) درشت بلور کوارتز با خاموشی موجی و کانی مسکووبیت و پلاژیوکلاز (XPL); (ه) تورمالین‌های دانه‌ریز و بی‌شكل، کوارتز (PPL);

این انکلاوهای ماهیت پلیتی دارند. هورنبلند نیز به صورت شکل دار تا نیمه شکل دار وجود دارد که از کانیهای فرومینیزین انکلاوهای می باشد و به بیوتیت و کلریت دگرسان یا تبدیل شده است (شکل ۱۸-۳) (ج و د).

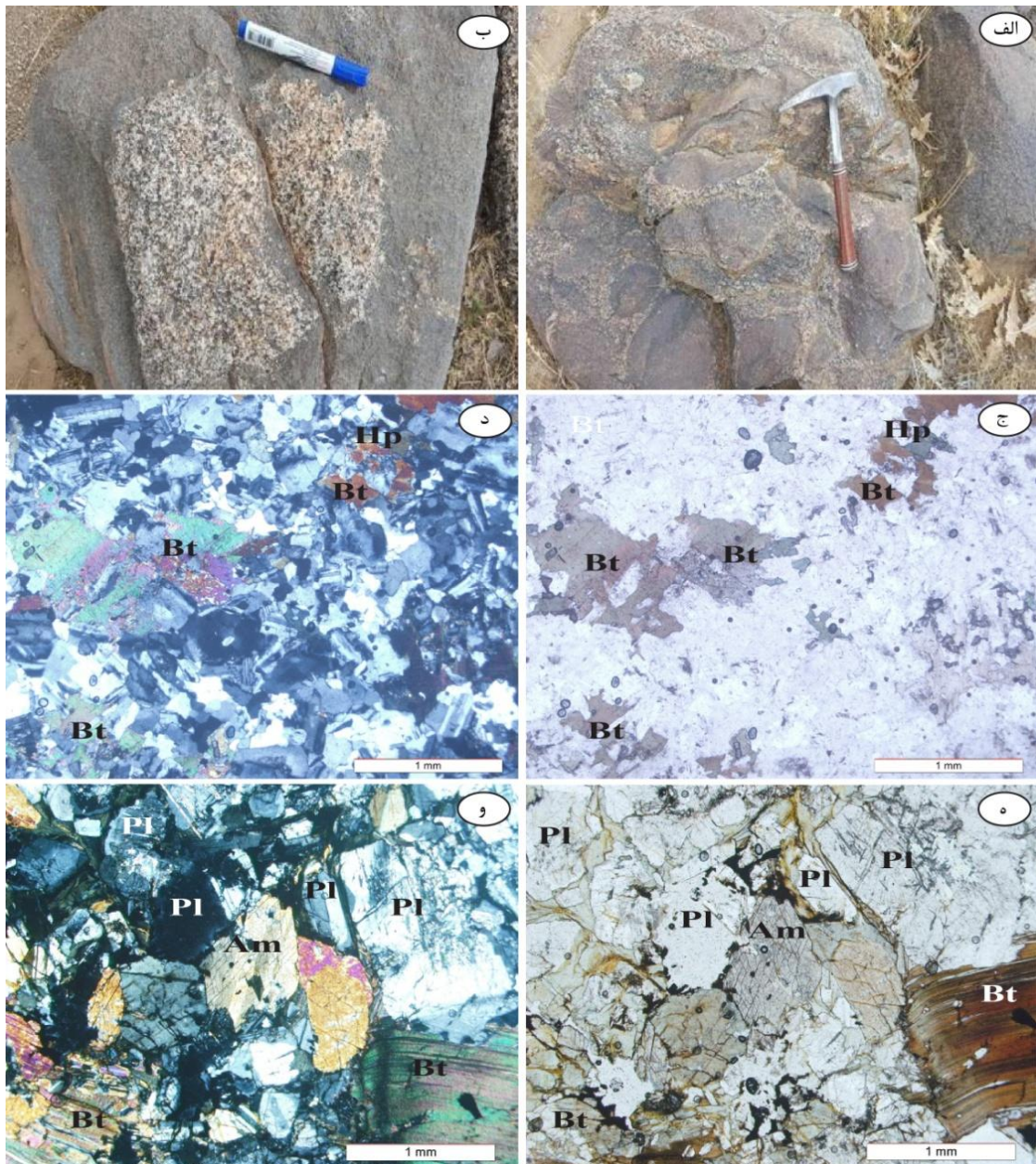


شکل ۱۸-۳) تصاویر میکروسکوپی آنکلاوهای موجود در توده‌های گرانیتوئیدی الیگودرز. (الف) بافت گرانوبلاستی آنکلاو در مقابل بافت گرانولار در سنگ دربرگیرنده (XPL); (ب) بافت گرانوبلاستی در آنکلاوهای همراه با بیوتیت و پلازیوکلаз دانه‌ریز (XPL); (ج) حضور بیوتیت و کوارتز دانه ریز در آنکلاوهای سورومیکاسه (XPL); (د) بیوتیتهای ریز به صورت پراکنده در داخل آنکلاو سورومیکاسه (PPL).

### ۴-۳- واحد میگماتیتی

میگماتیتها در بخش‌های مرکزی و شمالی توده نفوذی دره‌باغ رخنمون دارند (شکل ۱۹-۳). این سنگها در صحراء حالتی از جریان یافته‌گی را نشان می‌دهند. بخش‌های روشن میگماتیتها به صورت رگه‌های نامنظمی در حد چند سانتی‌متر گسترش دارند (شکل ۱۹-۳ الف). بسیاری از سنگها حتی در دماهای پایین‌تر از دماهای دگرگونی‌های دمای بالا و خیلی دمای بالا شروع به ذوب شدن می‌کنند. در واقع اغلب سنگ‌های موجود در بوم‌های خیلی دمای بالا، سنگ‌های دیرگدازی هستند که قبل از مذاب گرانیتی از آن‌ها خارج شده است. این سنگها، پسماند یا رسیت نامیده شده‌اند. ذوب، اغلب تحت شرایط رخساره آمفیبولیت بالایی رخ می‌دهد، جایی که سنگ‌ها هنوز دارای آب برای کاهش دمای شروع ذوب هستند. اگر سنگ‌های رسوبی دگرگون شده دمای بالا (بیشتر شیسته‌های پلیتی و پسامیتی سرشار از بیوتیت)، متحمل کاهش فشار شوند، می‌توانند از طریق ذوب آبزدا، مقدار زیادی ماگما تولید کنند. اگر این مذاب گرانیتی به صورت توده‌های بزرگ جدا شده و حرکت نماید، توده‌های لوکوگرانیتی را تولید می‌کند. اگر مذاب به مقدار کافی و موثر از پسماند دیرگداز جدا نشود و همراه آن باقی بماند، میگماتیتها تولید می‌شوند (قاسمی، ۱۳۹۴). یک میگماتیت در واقع یک سنگ مخلوط دگرگونی و آذرین است که شامل گرانیت یا گنیس گرانیتی به صورت میان لایه با گنیس مافیکتر است. لایه‌های گرانیتی را لوکوس (به خاطر رنگ روشن) و لایه‌های تیره را ملانوس (به خاطر رنگ تیره) می‌نامند. اگرچه لوکوس معمولاً دارای ترکیب نقطه حداقل گرانیتی است، اما ممکن است ترکیب آن تا تونالیت (و پلاژیوگرانیت) نیز تغییر نماید. ملانوس نیز از متاپلیت‌های دارای بیوتیت و سیلیکات‌های سرشار از آلومین (گارنت، کردیریت یا سیلیمانیت) تا پسامیت‌هایی که اساساً از بیوتیت و گاهی اوقات هورنبلند و گارنت تشکیل شده تغییر می‌کند (قاسمی، ۱۳۹۴). استفاده از واژه میگماتیت به عنوان نام ریشه‌ای جایز نیست، زیرا یک نوع سنگ واحد را دربر نمی‌گیرد. اما واژه میگماتیتی را می‌توان به عنوان یک کلمه توصیفی بافتی خاص استفاده کرد (قاسمی، ۱۳۹۴). بخش

ملانوسم از کانی‌های کوارتز، پلاژیوکلاز، آلکالی‌فلدسپار، بیوتیت، آمفیبول و کانی کدر تشکیل شده و بافت گرانولار دارد (شکل ۱۹-۳ ج و د).



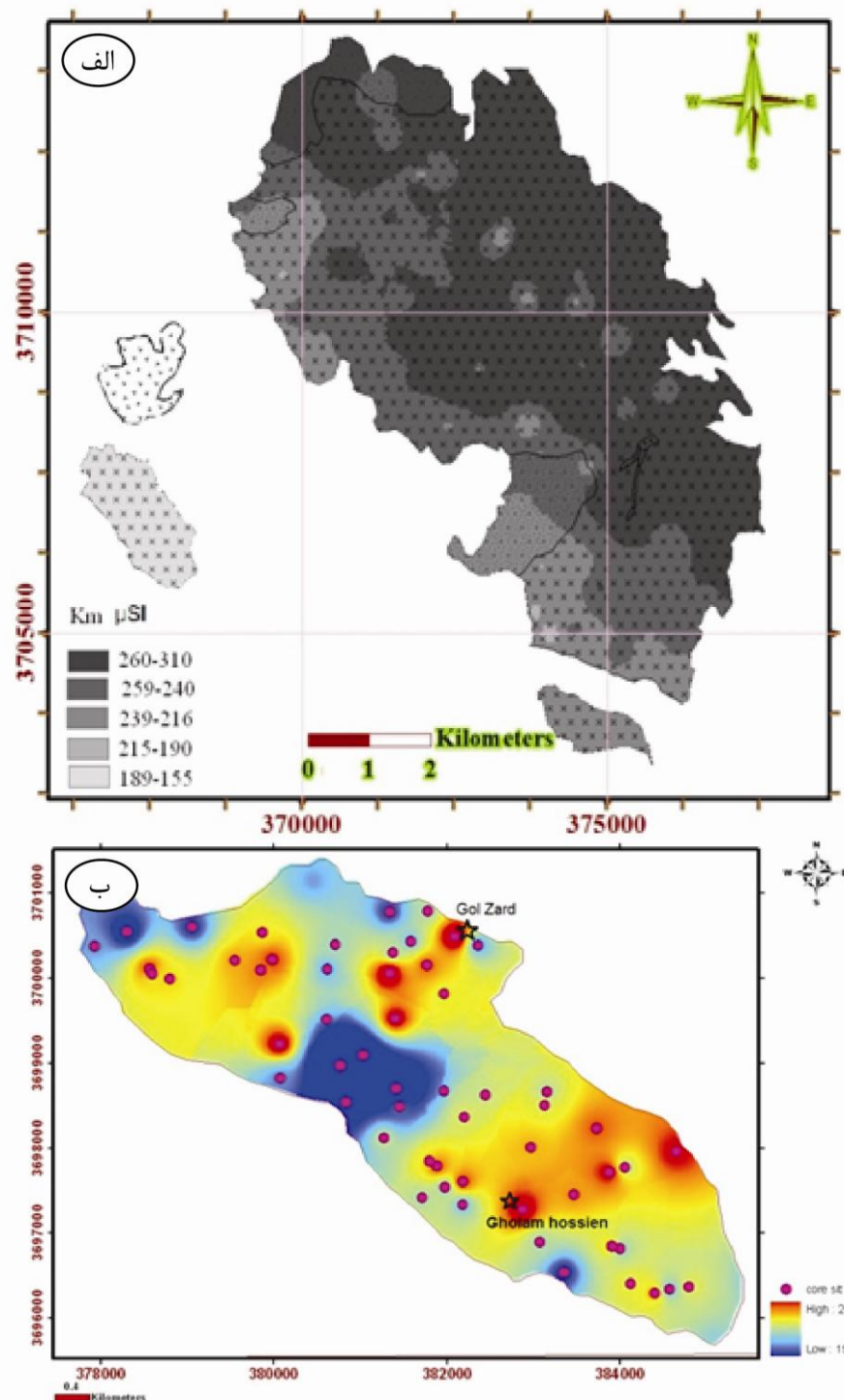
شکل ۱۹-۳) تصاویر نشان‌دهنده حضور میگماتیت‌ها در حاشیه توده‌های گرانیتوئیدی الیگودرز: (الف) و (ب) تصاویر صحرایی میگماتیت‌زایی در منطقه مورد مطالعه؛ (ج) تصاویر میکروسکوپی حضور بیوتیت و هورنبلند درون میگماتیت‌ها؛ (د) تصویر (ج) در نور پلاریزه (XPL); (ه) آمفیبول، پلاژیوکلاز و بیوتیت (PPL)، (و) تصویر (ه) در نور پلاریزه (XPL).

## نتیجه‌گیری

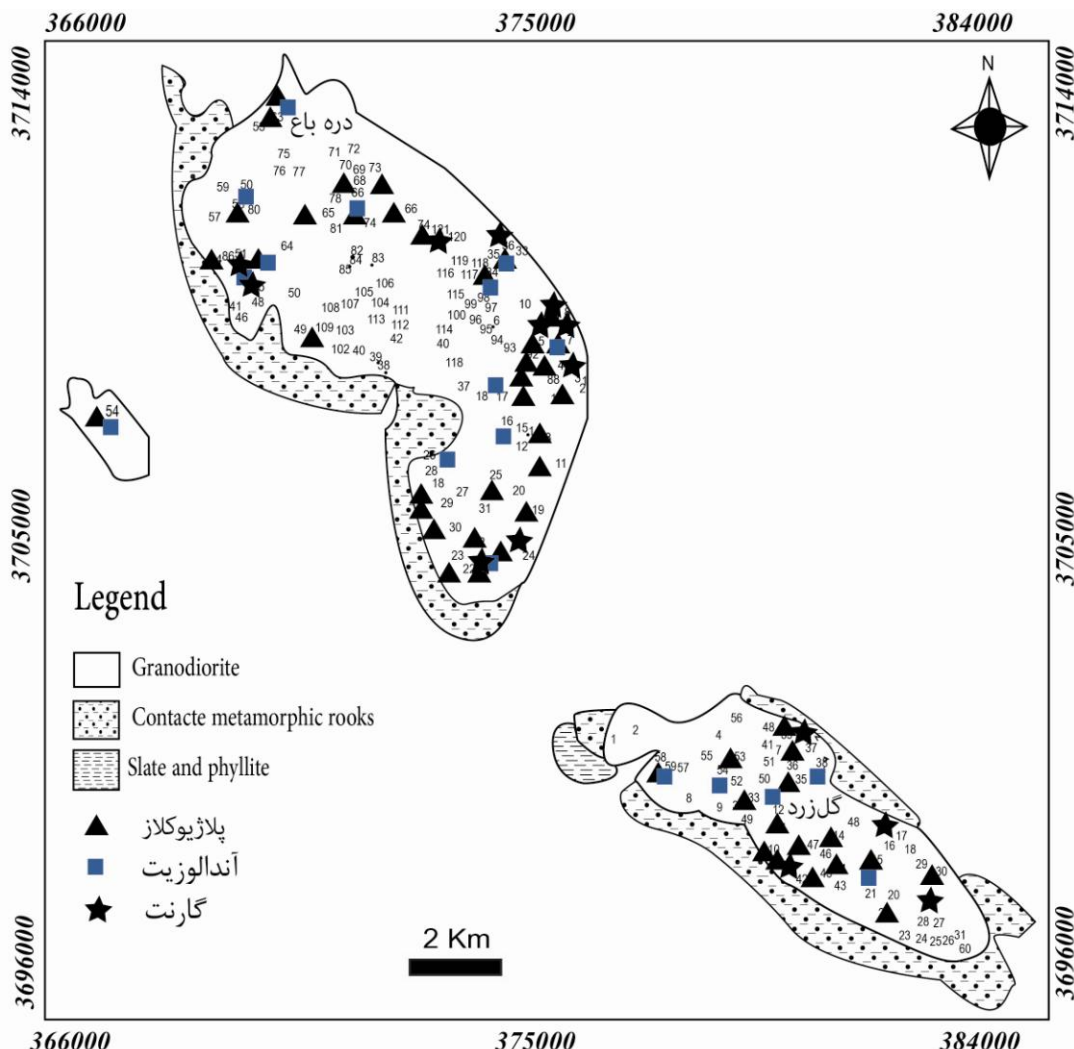
توده گرانیتوئیدی الیگودرز دارای ترکیب سنگ‌شناسی گرانودیوریت، گرانیت، لوکوگرانیت و در ناحیه شمال ازنا به صورت یک استوک لوکوگرانیتی است. گرانودیوریت‌ها فراوانترین و میگماتیتها کمترین فراوانی را دارا هستند. گرانودیوریت‌ها بافت گرانولار، پورفیروئیدی و میرمکیتی را نشان می‌دهند. کانیهای روشن این توده شامل پلاژیوکلاز، کوارتز، الکالی‌فلدسپار (ارتوز، میکروکلین) است و کانیهای مافیک آن بیوتیت و کانی اپک هستند. پلاژیوکلاز عموماً به صورت دانه‌های شکل دار تا نیمه‌شکل دار می‌باشد که بیشتر این کانی‌ها در گرانودیوریت‌ها با هسته‌های کلسیکی و حاشیه‌های نامنظم مشخص هستند و اثبات کننده رستیتی بودن آنها است. کوارتز نیز به صورت دانه‌ریز، ساب‌گرین، بی‌شکل و تأخیری در بین کانی‌های دیگر و گاه به صورت درشت دانه و مستقل همراه با ارتوز در گرانیت‌ها و لوکوگرانیت‌ها دیده می‌شود. در برخی مقاطع نیز بافت گرافیکی زیبایی به نمایش می‌گذارد. اسفن ثانویه در اطراف بیوتیت وجود دارند. اپیدوت از دگرسانی پلاژیوکلازها حاصل شده است. سریسیت، اپیدوت، کلریت و کانیهای رسی در اثر نفوذ محلول‌های گرمابی حاصل شده است. آنکلاوهای سورومیکاسه در اکثر گرانیت‌ها و گرانودیوریت‌ها وجود دارد. میگماتیت سنگ مخلوط دگرگونی و آذرین است که شامل گرانیت یا گنیس گرانیتی به صورت میان لایه با گنیس مافیکتر است و از دو بخش تیره و روشن تشکیل شده‌اند که بخش روشن را لوکوسم و بخش تیره را ملانوسم می‌نامند (قاسمی، ۱۳۹۴). در بخش روشن کانی‌های پلاژیوکلاز، الکالی‌فلدسپار و کوارتز و در بخش تیره بیوتیت و هورنبلند فراوانی بیشتری دارد.

در شکلهای ۳-۲۰ الف و ب به ترتیب نقشه منطقه‌بندی تغییرات ناهمسانگردی پذیرفتاری مغناطیسی (Km) توده‌های نفوذی دره‌باغ (شکاری، ۱۳۹۰) و گل‌زرد (بدلو، ۱۳۹۰) نشان داده شده است. مقایسه این نقشه‌ها با نقشه پراکندگی کانیهای رستیتی نشان می‌دهد که اغلب کانیهای رستیتی به ویژه هسته‌های پلاژیوکلاز کلسیکی در بخش‌های مافیکتر با قابلیت پذیرفتاری مغناطیسی بالاتر (به ویژه در گرانودیوریت‌ها) این دو توده نفوذی توزیع شده‌اند (شکل ۳-۲۱). چگالی کانیها نسبت به مذاب گرانیتی

موجود می‌تواند نحوه توزیع و پراکندگی کانی‌های رستیتی در داخل مخزن ماغمایی و در نهایت حضور آنها در سطح زمین را به خوبی توجیه نماید (جدول ۴-۳).



شکل ۳-۲۰(۳) نقشه منطقه‌بندی تغییرات ناهمسانگردی پذیرفتاری مغناطیسی ( $K_m$ ) در توده‌های نفوذی الیگودرز. (الف) توده نفوذی دره‌باغ (شکاری، ۱۳۹۰)؛ (ب) توده نفوذی گل‌زرد (بدلو، ۱۳۹۰).



شکل ۳-۲۱) نقشه پراکندگی کانیهای رسنیتی در توده‌های نفوذی الیگودرز (دره‌باغ و گل‌زد). شماره ایستگاهها برگفته از شکاری (۱۳۹۰) و بدلو (۱۳۹۰)

فصل چهارم

شیمی کانی

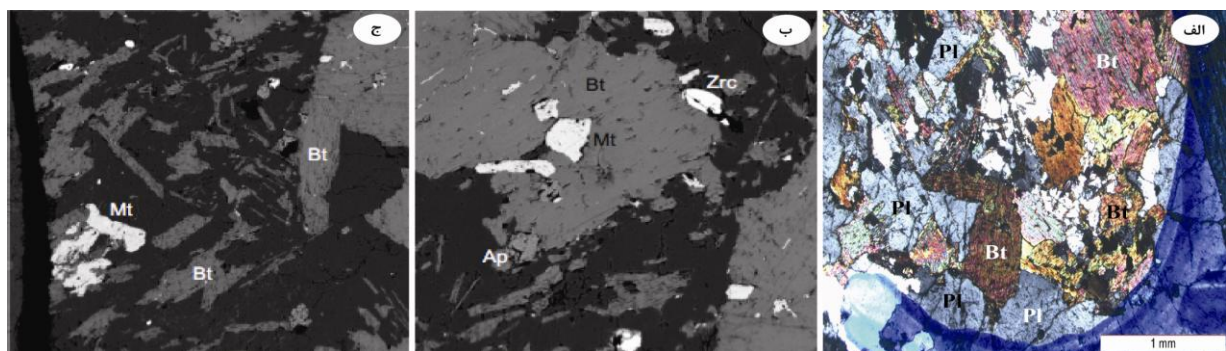
## مقدمه

به کارگیری فن تجزیه نقطه‌ای تک کانی، یکی از مهمترین عوامل موثر در تحول و پیشرفت علم پترولوزی است چرا که مطالعات کانی‌شناسی می‌تواند نقش بسزایی در تکمیل تحولات پترولوزیکی و تعیین شرایط دما و فشار توده‌های نفوذی ایفا نماید. از موارد کاربرد این روش می‌توان به شناسایی کانیها و تعیین فرمول شیمیایی دقیق آنها، تشخیص خصوصیات کانی‌شناسی نمونه و مطالعه چگونگی پراکندگی و توزیع عناصر در یک فاز مشخص اشاره کرد. بر اساس مطالعات پتروگرافی مشخص شد که کانیهای پلازیوکلاز، کوارتز، آلکالی فلدسپار، بیوتیت، مسکوویت، به همراه گارنت، کردیریت، سیلیمانیت، زیرکن، مونازیت، و اکسیدهای آهن در گرانیتوئیدهای الیگودرز وجود دارند. به منظور بررسی ژئوشیمی کانیهای موجود (به ویژه انواع رستیتها) در توده‌های گرانودیوریتی الیگودرز (گل‌زرد و دره‌باغ)، پس از بازدید صحرایی و مطالعه مقاطع نازک میکروسکوپی، نمونه‌هایی از آنها انتخاب و تعداد ۲۰ مقطع نازک-صیقلی تهیه شد. کانیهای مورد نظر با دستگاه الکترون میکروپروروب مدل Cameca SX50 در آزمایشگاه ژئوشیمی دانشگاه کنتاکی امریکا تجزیه شده‌اند. در طول انجام این آزمایشات، ولتاژ شتابدهنده دستگاه ۱۵ Kv و شدت جریان ۲۴ nA بوده است. جهت بررسی ترکیب دقیق کانی‌شناسی و فرایندهای فیزیکی و شیمیایی حاکم بر محیط تشکیل فلدسپارها، بیوتیت، مسکوویت و گارنت بیش از ۲۰۰ نقطه مورد تجزیه نقطه‌ای قرار گرفت. نتایج حاصل از تجزیه این کانیها در جداول ۱ تا ۳ این فصل ارائه شده است. همچنین در این آزمایشگاه، به منظور شناسایی و بررسی تغییرات ترکیبی برخی از کانیها از آشکارساز مخصوص الکترون‌های برگشتی (backscattered electron (BSE) detector تعدادی تصاویر BSE نیز تهیه شده است.

## ۱-۱- بیوتیت

به طور کلی، بیوتیت تنها کانی مافیک تشکیل دهنده گرانیتوئیدهای الیگودرز می‌باشد (شکل ۱-۴). این کانی در لوکوگرانیتها، به صورت بلورهای کوچک جداگانه و یا همراه با ورقه‌های موسکوویت

مشاهده می‌شود. بیوتیت در گرانوپوریتها به دو صورت بلورهای ورقه‌ای اولیه و یا تجمعات کوچک که اصلی‌ترین کانیهای رستیتی را در بخش‌های مافیک‌تر تشکیل می‌دهند مشاهده شده است. در مواردی سوزن‌های سیلیمانیت درون این تجمعات بیوتیتی باقی مانده‌اند. همچنین تجمعاتی از مسکوویت و بیوتیت‌های ریزدانه در داخل آندالوزیت از نظر شیمی کانی بررسی و با انواع میکاهای درشت ورقه‌ای مقایسه شده است (جدول ۴-۱). از نظر ویژگی‌های میکروسکوپی بین بیوتیت‌های دانه‌ریز و ورقه‌ای تفاوت زیادی وجود ندارد. همچنین از نظر ترکیب کانی‌شناسی، تفاوت چندانی بین بیوتیت‌های بزرگ و انواع کوچک همراه با سیلیمانیت در گرانوپوریتها وجود ندارد که احتمالاً می‌توان آن را به تعادل مجدد بخشی یا کامل با سنگهای میزان نسبت داد. همانگونه که انتظار می‌رفت ترکیب بیوتیت‌های بزرگ با انواع کوچک ادخال مانند در آندالوزیت از یکدیگر متفاوت است به گونه‌ای که بیوتیت‌های ورقه‌ای بزرگ دارای  $X_{Mg}$  بالاتری (۰/۵۲ تا ۰/۵۴) هستند (جدول ۴-۱). همچنین بیوتیت‌های موجود در گرانیت‌ها  $X_{Mg}$  کمتری نسبت به گرانوپوریتها دارند (نمونه شماره BF-۰۴۴).



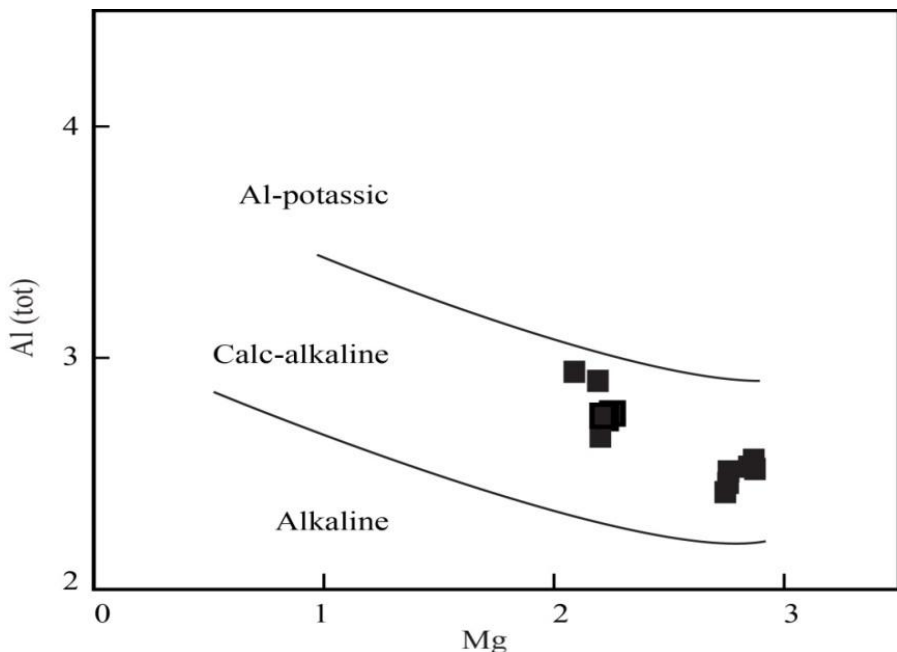
شکل ۴-۱) تصاویر میکروسکوپی بیوتیت‌های موجود در توده‌های نفوذ الیگودرز. (الف) تصویر میکروسکوپی از کانیهای بیوتیت مورد تجزیه (XPL); (ب) و (ج) تصاویر BSE.

جدول ۴-۱) نتایج تجزیه نقطه‌ای (میکروپرپو) بیوتیت‌های توده‌های نفوذی الیگودرز

BF-۳۶		SF۱۸			SF۱۸			BF				
شماره نقاط تجزیه شده	بیوتیت ثانویه	بیوتیت اولیه	بیوتیت اولیه	بیوتیت اولیه	۱	۲	۳	۱	۲	۳	۴	۵
SiO <sub>4</sub>	۳۳/۷	۳۷/۲	۳۶/۸۹	۳۷/۱	۳۶/۶۱	۳۷/۴۸	۳۶/۳۹	۳۵/۸۱	۳۶/۷	۳۶/۷۱	۳۵/۶۴	۳۵/۳۶
TiO <sub>4</sub>	۰/۰۷	۴/۴۱	۴/۵	۴/۴۶	۳/۲۱	۳/۴۳	۳/۲۷	۲/۸۶	۲/۷۲	۲/۵۹	۳/۱۷	۳/۰۸
TiO	۰/۷	۴۴/۱	۴۵	۴۳/۶	۳۲/۱	۳۴/۳	۳۲/۷	۲۸/۶	۲۷/۲	۲۵/۹	۳۱/۷	۳۰/۸
Al <sub>۲</sub> O <sub>۷</sub>	۱۸/۲۸	۱۴/۲۲	۱۳/۵۸	۱۳/۸۴	۱۴/۰۳	۱۴/۲۴	۱۴/۱۲	۱۵/۱۳	۱۵/۲۱	۱۶/۲۴	۱۴/۳۶	۱۴/۹۴
FeO	۱۹/۸	۱۸/۷۱	۱۹/۰۴	۱۸/۹۶	۱۸/۷۹	۱۹/۰۴	۱۸/۴۶	۲۱/۹۹	۲۲/۰۳	۲۱/۷	۲۱/۱۳	۲۲/۱۱
MnO	۰/۴۳	۰/۰۷	۰/۱۲	۰/۱۲	۰/۲۱	۰/۱۱	۰/۱۵	۰/۳۲	۰/۳۴	۰/۳۶	۰/۳۷	۰/۳۵
MgO	۱۱/۳۶	۱۲/۳۴	۱۲/۱۷	۱۲/۲۶	۱۲/۴۸	۱۲/۸۶	۱۲/۵۳	۹/۷۸	۹/۷۷	۹/۷۲	۹/۴	۹/۵۱
Na <sub>۲</sub> O	۰/۱۲	۰/۰۸	۰/۰۸	۰/۰۸	۰/۱۳	۰/۱۳	۰/۱۱	۰/۱۱	۰/۰۷	۰/۰۹	۰/۰۶	۰/۰۹
K <sub>2</sub> O	۸/۰۹	۱۰	۹/۷۶	۹/۷۵	۹/۷۹	۹/۶۳	۹/۶۵	۹/۷۶	۱۰/۰۲	۹/۹۵	۱۰/۰۹	۹/۶۸
H <sub>2</sub> O	۳/۷۹	۴	۳/۹۶	۳/۹۷	۳/۹۲	۴	۳/۹	۳/۸۸	۳/۹۳	۳/۹۶	۳/۸۱	۳/۸۴
Sum Ox%	۹۱/۸۵	۹۷/۳	۹۶/۶۴	۹۶/۴۵	۹۵/۲۵	۹۶/۹۲	۹۶/۶۸	۹۵/۷۶	۹۶/۸۷	۹۷/۳۶	۹۴/۲۲	۹۵/۱۲
Ti	۰/۰۰۹	۰/۴۹۷	۰/۵۱۲	۰/۴۹۵	۰/۳۷	۰/۳۸۶	۰/۳۷۸	۰/۲۳۳	۰/۳۱۲	۰/۲۹۴	۰/۳۷۵	۰/۳۶۲
Al	۲/۶۶۴	۲/۴۲۳	۲/۴۲	۲/۴۰۱	۲/۳۹۶	۲/۳۸۱	۲/۴۰۸	۲/۴۶۱	۲/۳۹۷	۲/۴۴۵	۲/۳۹۷	۲/۴۸۳
Al <sup>VI</sup>	۰/۷۴۶	۰/۰۹	۰/۰۰۱	۰/۰۶۱	۰/۱۳۵	۰/۱۳۵	۰/۰۱۵	۰/۲۹۶	۰/۳۳۸	۰/۴۵۱	۰/۲۶۵	۰/۲۶۵
Fe <sup>V+</sup>	۲/۶۲۲	۲/۴۴۶	۲/۴۷۲	۲/۴۹۴	۲/۴۰۶	۲/۴۸۸	۲/۴۷۷	۲/۸۴۴	۲/۸۱۲	۲/۷۴۷	۲/۷۷۸	۲/۸۸۵
X <sub>Mg</sub>	۰/۰۵۰	۰/۰۴	۰/۰۵۲۶	۰/۰۵۳۵	۰/۰۵۴۲	۰/۰۵۴۶	۰/۰۵۴۷	۰/۴۴۲	۰/۴۴۲	۰/۴۴۴	۰/۴۴۲	۰/۴۳۴
Oct	۶/۱۱۵	۵/۷۰۱	۵/۷۴۴	۵/۷۲۴	۵/۷۸۵	۵/۷۹۷	۵/۷۸۹	۵/۷۶۹	۵/۷۳۱	۵/۷۲۹	۵/۶۷	۵/۷۷

#### ۴-۱-۱- شیمی بیوتیت

ترکیب شیمیایی بیوتیت شاخص مهمی برای رده‌بندی انواع سنگ‌های گرانیتی مختلف است. نتایج تجزیه نقطه‌ای نشان می‌دهد که محتوای Al<sup>IV</sup> بیوتیتهای ورقه‌ای درشت خیلی بالا نبوده و ویژگی بارز گرانیتهای کالک‌آلکالن را نشان می‌دهند (شکل ۴-۲). ناشیت (۱۹۸۵) براساس تغییرات Mg در مقابل Al بیوتیتهای موجود در گرانیتوئیدها را به سه گروه تقسیم کرد (شکل ۴-۲): ۱- گرانیتوئیدهای Al پرآلومین؛ ۲- گرانیتوئیدهای کالک‌آلکالن؛ ۳- گرانیتوئیدهای الکالن. بر طبق این نمودار ترکیب بیوتیتهای موجود در گرانیتوئیدهای الیگودرز در قلمرو کالک‌آلکالن قرار دارند.

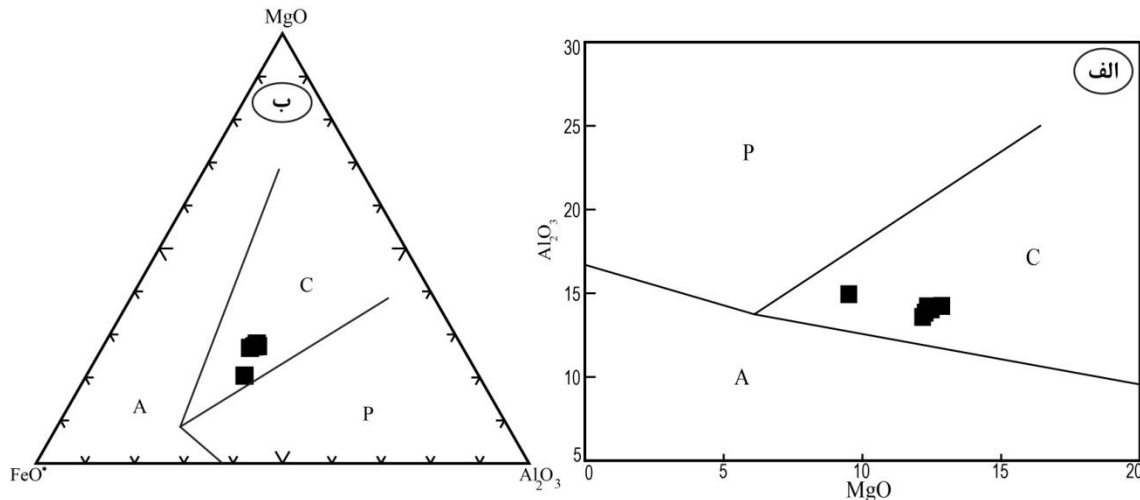


شکل ۴-۲) شیمی بیوتیتهای موجود در توده‌های گرانیتوئیدی الیگودرز جهت تعیین سری ماغمایی. نمودار ناشیت و همکاران (۱۹۸۵). Al و Mg براساس تعداد اتمها بر واحد فرمولی.

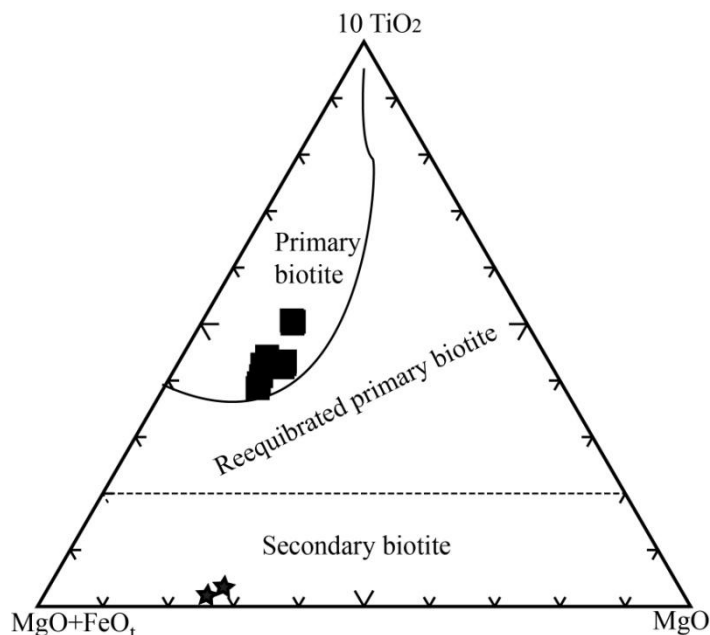
برای تعیین شرایط تکتونیکی و پتروژنتیکی زمان تشکیل ماغمای مادر از نمودار عبدالرحمن (۱۹۹۴) استفاده شده است که در آن نسبت عناصر اصلی آهن، آلومینیم و منیزیم اهمیت ویژه‌ای دارد.

عبدالرحمن برای تعیین سری ماغمایی میانگین  $[FeO + (Fe_2O_3 \times 0.89981)]$  استفاده کرد. این نمودار  $Al_2O_3$  و  $MgO$  و  $FeO^*$  را در بیوتیتهای مختلف اندازه‌گیری و سپس با استفاده از مثلث  $Al_2O_3$ - $MgO$ - $FeO^*$  بیوتیتها را به سه گروه آلکالن، کالکآلکالن و پرآلومین تقسیم‌بندی نمود. در این نمودار همه بیوتیتهای گرانیتوئیدهای الیگودرز به جایگاه گرانیتهای کالکآلکالن تعلق دارند (شکل ۴-۳).

برای طبقه‌بندی بیوتیتها به اولیه و ثانویه از نمودار مثلثی  $10TiO_2$ - $MgO$ - $O$  استفاده کردند (شکل ۴-۴). بر طبق این نمودار اکثر بیوتیتهای موجود در گرانیتوئیدهای الیگودرز به جز تعداد اندکی جز بیوتیتهای اولیه می‌باشند. لازم به توضیح است که این دو نمونه اخیر مربوط به بیوتیتهای ثانویه‌ای می‌باشد که همراه با مسکوویت و کوارتز در قالب بلورهای آندالوزیت وجود داشتند.



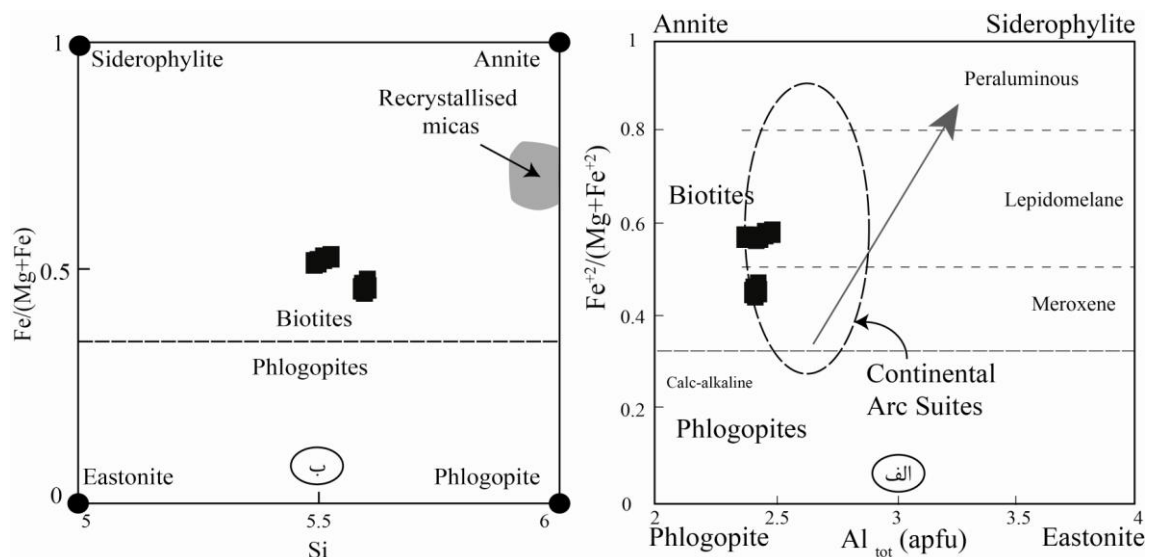
شکل ۳-۴) نمودارهای تعیین محیط تکتونیکی گرانیتها با استفاده از اکسیدهای عناصر اصلی در داخل بیوتیت؛ (الف) نمودار  $\text{Al}_2\text{O}_3\text{-MgO}$ ; (ب) نمودار مثلثی اکسیدهای  $\text{FeO}^*$ ,  $\text{MgO}$ ,  $\text{Al}_2\text{O}_3$  و  $\text{Al}_2\text{O}_3\text{-MgO}$  (عبدالرحمن، ۱۹۹۴). A: بیوتیت در جایگاههای آلکالن غیرکوهزایی؛ P: بیوتیت در جایگاههای پرآلومین (شامل گرانیتهای نوع S)؛ C: بیوتیت در جایگاههای کالکآلکالن کوهزایی.



شکل ۴-۴) نمودار مثلثی  $\text{TiO}_2$ ,  $\text{MgO}$  و  $\text{FeO}^*$  برای طبقه‌بندی بیوتیتها به دو گروه اولیه و ثانویه (ناشیت و همکاران، ۲۰۰۵).

برای نامگذاری میکاها می‌توان از طبقه‌بندی ریدن و همکاران (۱۹۹۵) و دییر و همکاران (۱۹۹۲) استفاده کرد (شکل ۴-۵). تروجر (۱۹۸۲) با استفاده از نسبت  $\text{Al}_{\text{tot}}/\text{Fe}/(\text{Fe}+\text{Mg})$  بیوتیتها را به

چهار گروه آنیت، سیدروفیلیت، فلوگوپیت و استونیت تقسیم‌بندی کرد که بیوتیتها مورد مطالعه از نوع مجموعه‌های کمان قاره‌ای (لپیدوملان و مروکزن) هستند (۴-۵ الف). دییر و همکاران (۱۹۶۲) میکاها را بر اساس تغییرات  $Al$  در مقابل  $(Fe/(Fe+Mg))$  به چهار گروه آنیت، سیدروفیلیت، فلوگوپیت و ایستونیت تقسیم نموده‌اند (شکل ۴-۵ ب). در این نمودار بر حسب  $Fe/(Fe+Mg)$  به دو گروه بیوتیت و فلوگوپیت تقسیم می‌شوند. در این نامگذاری بیوتیتها بالای ۰/۳۳ در  $Fe/(Fe+Mg)$  و فلوگوپیت‌ها کمتر از ۰/۳۳  $Fe/(Fe+Mg)$  دارند. با توجه به این نمودار نمونه‌های مورد مطالعه در محدوده بیوتیت قرار دارند.

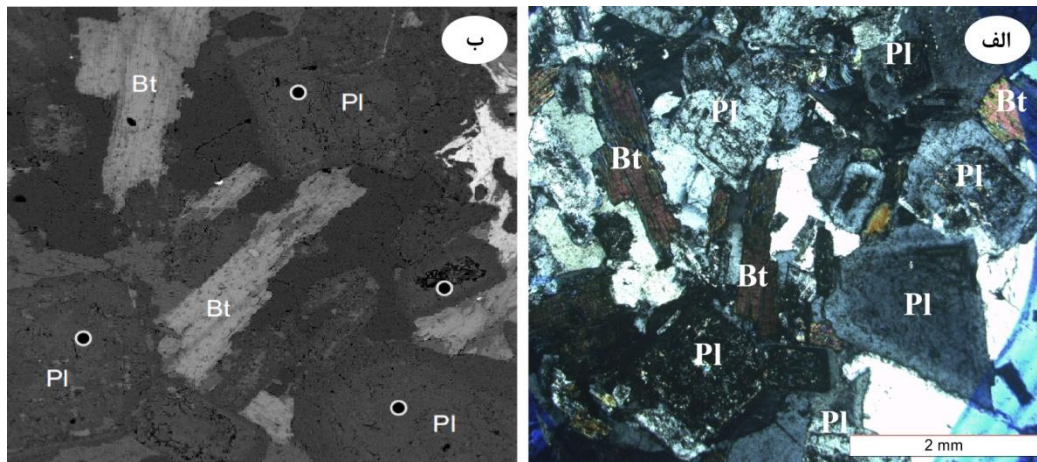


شکل ۴-۵) طبقه‌بندی میکاها گرانیتوئیدهای الیگودرز با استفاده از ترکیب شیمیایی آنها. (الف) تروجر (۱۹۸۲)؛  
ریدن و همکاران (۱۹۹۹) اسپیر (۱۹۸۴)؛

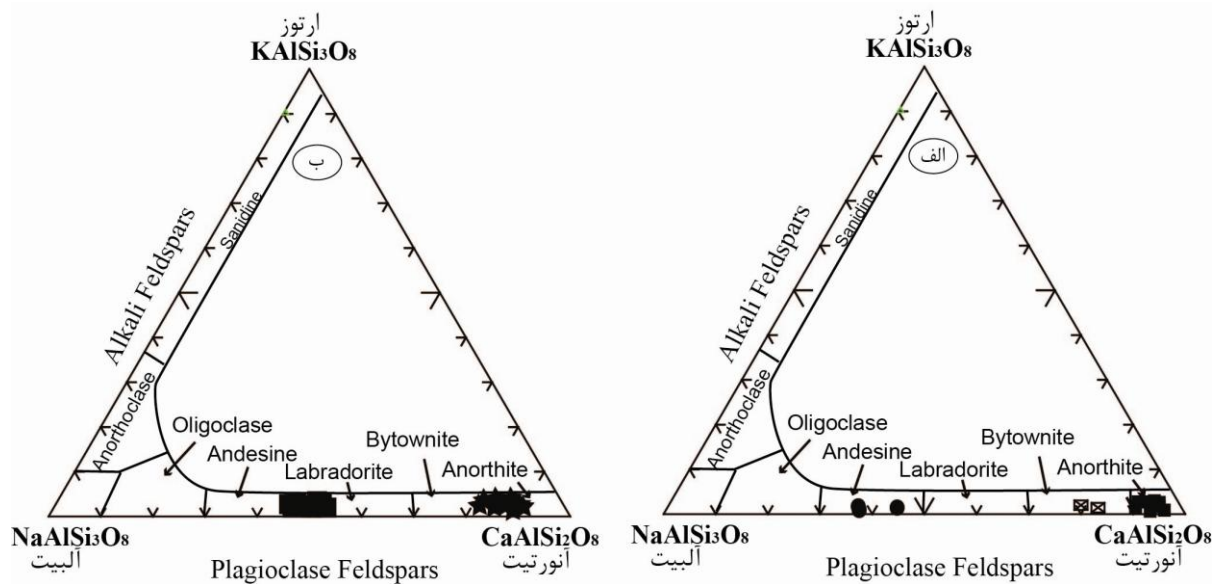
## ۴-۲-۴ - پلاژیوکلاز

جهت بررسی ترکیب شیمیایی و فرایندهای فیزیکی و شیمیایی حاکم بر محیط تشکیل فلدسپارها در توده‌های گرانیتوئیدی الیگودرز، تعدادی از فلدسپارهای موجود در این واحد مورد تجزیه قرار گرفته است. در گرانودیوریت‌های الیگودرز، بلورهای پلاژیوکلازی وجود دارند که دارای هسته‌های کلسیک

نسبتاً یکنواختی بوده ( $An_{91-84}$ ) و در حاشیه به منطقه‌بندی عادی ختم می‌شوند ( $An_{53-47}$ ) (جدول ۴-۲ و شکل‌های ۴-۶ و ۷-۴). بر اساس یافته‌های چپل و همکاران (۱۹۸۷) این هسته‌های کلسیک به پلازیوکلازهای باقیمانده از ذوب‌بخشی شباهت داشته و به دلیل ترکیب یکنواختشان فازهای رستیتی در نظر گرفته می‌شوند. احتمالاً به دلیل سرد شدن سریع و شرایط نسبتاً خشک، کانی پلازیوکلاز نمی‌توانسته با مذاب حاصله به طور کامل در تعادل باشد و هسته‌های پلازیوکلاز با آنورتیت کمتر و منطقه‌بندی عادی احاطه شده‌اند. منطقه‌بندی پیچیده پلازیوکلاز در گرانیت‌های حاصل از آناتکسی نادر است. پلازیوکلازهای رستیتی به دلیل حضور مراکز کلسیک، حاشیه‌های گرد شده و یا براساس الگوی منطقه‌بندی پیچیده‌شان شناسایی می‌شوند (وایت و چپل، ۱۹۷۷؛ اسمیت و براون، ۱۹۸۸، هولتز و باربی، ۱۹۹۱). معمولاً پلازیوکلازهای رستیتی با ترکیب  $An_8$  تا  $An_{55}$  گزارش شده‌اند (یوهانس، ۱۹۸۴؛ بتمن، ۱۹۸۸، داسیلو، ۲۰۱۴) اما معمولاً محتوای آنورتیت پلازیوکلاز در گرانیت‌های آناتکسی از  $An_{25}$  فراتر نمی‌رود چرا که در سیستم  $(P_{H2O}=P_{total})$   $Qz-Or-Ab-H_2O$ ، مگمایی که توانایی تبلور بلورهای پلازیوکلاز با ترکیب  $An_2$  تا  $An_{25}$  را دارد می‌تواند در تعادل با پلازیوکلاز رستیتی باشد (یوهانس، ۱۹۸۴؛ بتمن، ۱۹۸۸). چنانچه پروتولیت دارای سدیم و کلسیم کمی باشد پلازیوکلاز می‌تواند به طور کامل در فاز مذاب حل شود. یوهانس (۱۹۸۴) نشان داد که ذوب‌بخشی پلازیوکلاز در سیستم  $Qz-Ab-An-H_2O$  در ۲۰۰ مگاپاسگال و ۸۵۰ درجه سانتیگراد بلورهای پلازیوکلاز دارای  $An_{85-82}$  به علاوه متشکله پلازیوکلاز سدیکتری در مذاب تولید خواهد نمود (شکل ۴-۸). ترکیب کلسیک تقریباً یکنواخت هسته‌های پلازیوکلاز، تعادل محلی را در طی تشکیل پلازیوکلاز کلسیک نشان می‌دهد اما خوردگی مراکز و پیچیدگی منطقه‌بندی بخش‌های خارجی نشانده‌نده عدم تعادل می‌باشد. در سنگهای گرانیتی پلازیوکلازها (تعداد ۸ نقطه) منطقه‌بندی عادی داشته، از  $An_2$  در نزدیکی حاشیه تا  $An_{55}$  در مرکز تغییر نموده و در رده الیگوکلاز-آنذین قرار می‌گیرند (شکل ۴-۷). همانطور که ملاحظه می‌شود تغییر ترکیب فلدسپارها در این واحد عادی بوده و با تفریق مگمایی سازگاری نشان می‌دهد.



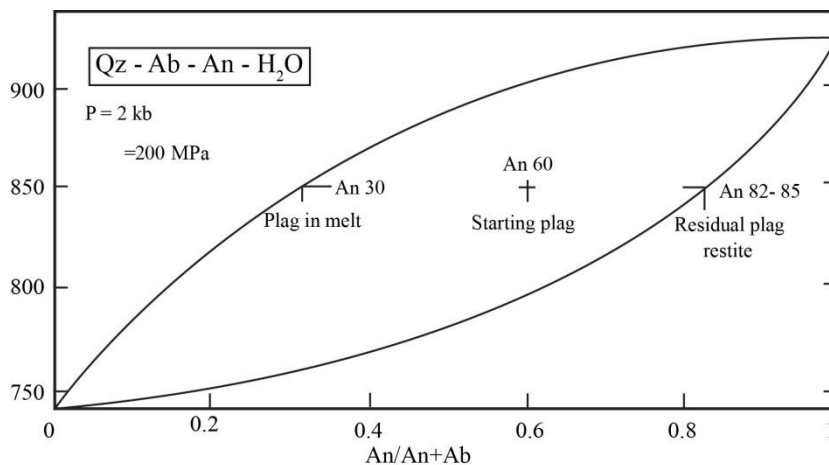
شکل ۴-۶ (الف) تصویری از پلاژیوکلازهای مورد تجزیه در نور پلاریزه (XPL); (ب) تصویر از BSE از الف.



شکل ۴-۷(نmodar دیبر و همکاران ۱۹۹۲) برای تعیین ترکیب فلدسپار. (الف) ترکیب فلدسپار برای توده واریسکن پرتقال (داسیلو، ۲۰۱۴); (ب) ترکیب فلدسپار گرانیت‌وئیدهای الیگو‌درز بر روی نمودار آلتوز-ارتوز-آنورتیت

جدول ۴-۴) نتایج آنالیز نقطه‌ای (میکرورپرب) پلازیوکلазهای موجود در توده‌های نفوذی الیگودرز

شماره آنالیز	SF18-C3												SF18-C4						
	مرکز ۱	مرکز ۲	مرکز ۳	حاشیه ۴	حاشیه ۵	مرکز ۶	حاشیه ۷	مرکز ۸	مرکز ۹	مرکز ۱۰	مرکز ۱۱	حاشیه ۱۲	مرکز ۱	مرکز ۲	مرکز ۳	مرکز ۴	مرکز ۵	مرکز ۶	مرکز ۷
SiO <sub>4</sub>	۴۶/۳۵	۴۵/۵۴	۵۵/۸۸	۵۶/۲۹	۴۵/۷۹	۵۵/۱۲	۵۵/۲۶	۴۵/۶۵	۴۴/۱۱	۴۴/۶۷	۵۵/۲۷	۵۴/۵۵	۴۵/۲۴	۴۵/۰۶	۴۴/۸	۴۴/۴۶	۴۴/۸۱	۴۴/۴۲	۴۳/۴۸
Al <sub>2</sub> O <sub>3</sub>	۳۴/۸۷	۳۴/۲۶	۲۸/۸۵	۲۸/۳	۳۵/۷۶	۲۹/۲۰	۲۹/۱۹	۳۵/۶۱	۳۵/۲۴	۳۴/۸۱	۲۷/۶۴	۲۸/۳۴	۳۲/۴۰	۳۲/۹۹	۳۵/۳۳	۲۵/۰۸	۳۵/۲۳	۳۴/۷۷	۳۵/۱۹
Fe <sub>2</sub> O <sub>3</sub>	۰/۰۹	۰/۰۹	۰/۱۱	۰/۰۶	۰/۰	۰/۱۱	۰/۱	۰/۱۵	۰/۱	۰/۰۸	۰/۰۴	۰/۰	۰/۱۳	۰/۰	۰/۰	۰/۱۳	۰/۰۳	۰/۰۳	۰/۱۴
CaO	۱۷/۶۶	۱۷/۷۴	۱۰/۹۸	۱۰/۰۳	۱۸/۲۶	۱۰/۹۱	۱۱	۱۸/۶۹	۱۸/۷۳	۱۸/۳۹	۹/۵۵	۱۰/۹۶	۱۷/۶۶	۱۷/۰۸	۱۸/۱۹	۱۸/۳۱	۱۸/۰۳	۱۸/۵۷	۱۸/۵۸
Na <sub>2</sub> O	۱/۴۷	۱/۳۶	۵/۵۳	۵/۲	۱/۱۶	۵/۳۱	۵/۴	۰/۹۱	۰/۹۹	۱/۰۷	۵/۷۴	۵/۱۷	۱/۶۹	۱/۱۵	۱/۱۷	۱	۰/۹۷	۱/۰۸	۰/۸۹
K <sub>2</sub> O	۰/۰۲	۰/۰۵	۰/۱۳	۰/۵	۰/۰	۰/۱۷	۰/۰۶	۰/۰۳	۰/۰۵	۰/۰۱	۰/۱۳	۰/۱	۰/۰۱	۰/۳۵	۰/۰۵	۰/۰۱	۰/۰۲	۰/۰۲	۰/۰۲
Sum Ox%	۱۰/۰۵	۹۹/۰۳	۱۰/۱۵	۱۰/۰۵	۱۰/۱	۱۰/۰۸	۱۰/۱	۱۰/۱/۱	۹۹/۲۳	۹۹/۰۳	۹۸/۳۸	۹۹/۱۲	۹۸/۱۳	۹۷	۹۹/۵۳	۹۸/۹۹	۹۹/۶	۹۸/۸۸	۹۸/۱۳
Si	۲/۱۲	۲/۱۲	۲/۴۸	۲/۵۲	۲/۰۹	۲/۴۶	۲/۴۷	۲/۰۸	۲/۰۶	۲/۰۸	۲/۵۲	۲/۴۸	۲/۱۳	۲/۱۴	۲/۰۸	۲/۰۷	۲/۰۸	۲/۰۸	۲/۰۵
Ab	۱۳/۰۶	۱۲/۱۲	۴۷/۳۲	۴۶/۹۹	۱۰/۳۳	۴۶/۳۶	۴۶/۸۸	۸/۱۲	۸/۶۷	۹/۵۳	۵۱/۶۸	۴۵/۷۹	۱۴/۷۱	۱۳/۵۵	۱۰/۳۷	۸/۹۹	۸/۶۶	۹/۵۲	۷/۹۷
An	۸۶/۸	۸۷/۵۹	۵۱/۹۵	۵۰/۰۵	۸۹/۶۶	۵۲/۶۴	۵۲/۷۵	۹۱/۷۱	۹۱/۰۳	۹۰/۴۲	۴۷/۵۵	۵۳/۶۲	۸۵/۲۱	۸۴/۴	۸۹/۳۴	۹۰/۹۴	۹۱/۲۳	۹۰/۳۸	۹۱/۹۴
Or	۰/۱۴	۰/۲۹	۰/۷۳	۲/۹۷	۰/۰۲	۱	۰/۳۷	۰/۱۸	۰/۳	۰/۰۶	۰/۷۷	۰/۵۹	۰/۰۸	۲/۰۶	۰/۲۹	۰/۰۷	۰/۱۱	۰/۱۱	۰/۰۹
Al <sup>VI</sup>	۰/۰	۰/۰	۰/۰	۰/۰	۰/۰	۰/۰	۰/۰	۰/۰	۰/۰	۰/۰	۰/۰	۰/۰	۰/۰۱	۰/۰	۰/۰	۰/۰	۰/۰	۰/۰	۰/۰۰
Fe <sup>۷+</sup>	۰/۰	۰/۰	۰/۰	۰/۰	۰/۰	۰/۰	۰/۰	۰/۰۱	۰/۰	۰/۰	۰/۰	۰/۰	۰/۰۱	۰/۰	۰/۰	۰/۰۱	۰/۰	۰/۰	۰/۰۱



شکل ۴-۸) ذوببخشی پلازیوکلاز (An<sub>60</sub>) در سیستم Qz-Ab-An-H<sub>2</sub>O در ۲۰۰ مگاپاسکال و ۸۵° سانتیگراد بلورهای پلازیوکلازی با ترکیب An<sub>۸۲-۸۵</sub> به علاوه متشکله پلازیوکلاز سدیکتر در مذاب تولید خواهد شد (یوهانس، ۱۹۸۹).

### ۴-۳-گارنت

گارنت یکی از مهمترین کانی‌های فرعی در گرانیت پرآلومین نوع S الیگودرز می‌باشد. این کانی به صورت بلورهای بی‌شکل (شکل ۹-۴ الف و ب) تا نسبتاً شکل دار و به شدت شکسته شده (شکل ۹-۴ ت) به ویژه در بخش‌های کمتر تفریق یافته توده نفوذی یافت می‌شود. گارناتهای موجود با ابعاد کوچک تا بزرگ (حدود ۱ سانتی‌متر) و با برجستگی بالا قابل رؤیت هستند و در برخی موارد از حاشیه با بیوتیت و یا کردیریت پنیتی شده (ترکیبی از سرسیت و کلریت) جایگزین شده است (شکل ۹-۴ الف و ب). گرانیتهای به شدت پرآلومین نوع S همانند توده نفوذی مورد مطالعه از ذوب سنگ‌های رسوی غنی از آلومینیوم (متاپلیتها و متاپسامیتها)، (چپل و وايت، ۱۹۹۲؛ چپل، ۱۹۹۹) و اغلب از ذوب ناجور بیوتیت در عدم حضور سیال تولید می‌شوند (پاتینو و برد<sup>۱</sup>، ۱۹۹۵؛ کلمنز<sup>۲</sup>، ۱۹۹۲؛ لی<sup>۳</sup>، ۱۹۸۸) در بسیاری از گرانیتهای نوع S ممکن است گارنت از منشاها مختلف یعنی ماگمایی، دگرگونی به صورت بقایای رستیتی از مواد منشا (چپل و همکاران، ۱۹۸۷) و یا زینولیتی‌هایی از سطوح بالاتر (کلارک<sup>۴</sup>، ۲۰۰۷؛ اردمون<sup>۵</sup> و همکاران، ۲۰۰۷) موجود باشد. در این مبحث تلاش می‌شود با استفاده از تغییرات ترکیبی گارنت، منشا آن مشخص شود. به منظور بررسی الگوی منطقه‌بندی در این گارناتهای یکی از این بلورها در دو امتداد متفاوت و در مجموع در ۱۵۰ نقطه مورد تجزیه قرار گرفته است (شکل ۹-۴ پ).

تغییرات عناصر گارنت موجود و همچنین درصدهای مولی آلماندن، پیروپ، اسپسارتین و گروسولار محاسبه شده در جدول ۳-۴ به نمایش در آمده است. اگرچه ترکیب شیمی هر کدام از قطعات گارنت جدا شده نسبتاً یکنواخت می‌باشد (Alm<sub>70</sub>Py<sub>22</sub>Gro<sub>4</sub>Sps<sub>4</sub>) و تغییرات ترکیبی چندان مشاهده نمی‌شود اما الگوی منطقه‌بندی در امتداد باریکی از حاشیه هر کدام از این قطعات، به طور

<sup>۱</sup>- Patino & Beard

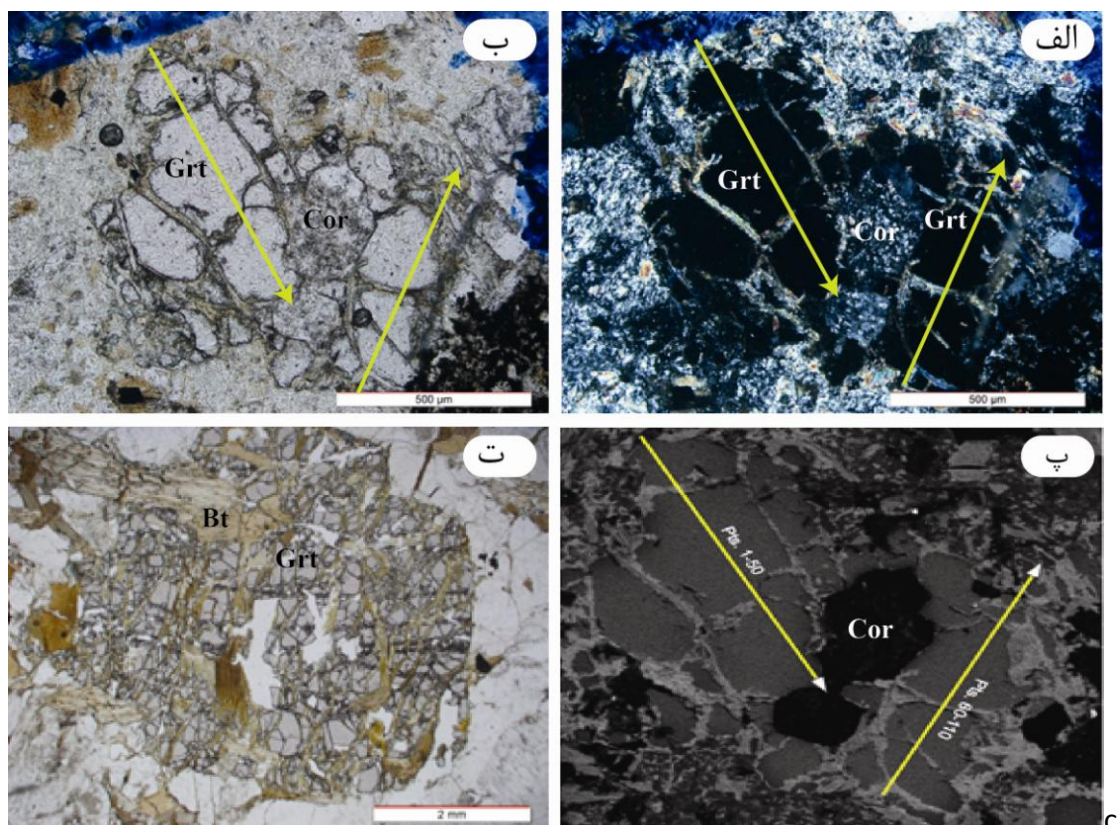
<sup>۲</sup>- Clemens

<sup>۳</sup>- Le

<sup>۴</sup>- Clarke

<sup>۵</sup>- Erdmann

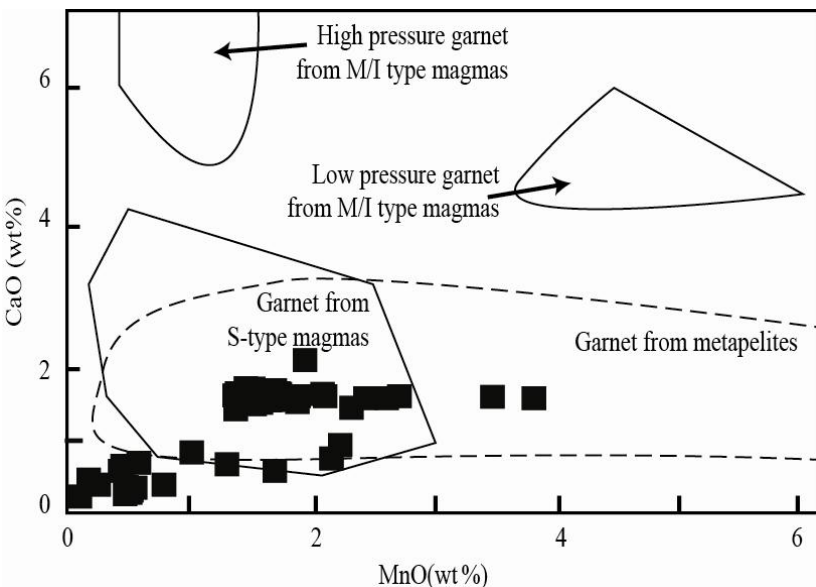
مشخصی تغییر می‌یابد ( $\text{Alm}_{50}\text{Py}_{38}\text{Gro}_{15}\text{Sps}_{0.5}$ ، ترکیب میانگین در حاشیه). تغییر ناگهانی بین مرکز و حاشیه می‌تواند به فرایندهای تبادل یونی بین ماقما و گارنت باقی‌مانده از ذوب مرتبط باشد (ویلاروس<sup>۱</sup> و همکاران، ۲۰۰۹).



شکل ۹-۴) تصاویر میکروسکوپی از گارنتهای موجود در توده نفوذی گل زرد؛ (الف) گارنت شکسته و خرد شده و کردیربیت پنیتی شده (XPL); (ب) تصویر الف در نور PPL؛ (پ) تصویر میکروسکوپی الکترونی از گارنت و مسیرهای تجزیه نقطه‌ای، (ت) گارنت خودشکل با شکستگی فراوان. به حضور بیوتیت در این شکستگی‌ها دقت شود (PPL).

هرنگی (۲۰۰۱) برای مشخص کردن منشا گارنتهای از نمودار  $\text{CaO}$ - $\text{MnO}$  استفاده کرده است (شکل ۱۰-۴). با توجه به محتوای پایین  $\text{MnO}$  و  $\text{CaO}$  در گارنتهای موجود در گرانیتوئیدهای الیگودرز در نمودار هرنگی<sup>۲</sup> و همکاران (۲۰۰۱) در محدوده گارنتهای ماقمایی نوع S و متاپلیت قرار می‌گیرند.

<sup>۱</sup>- Villaros  
<sup>۲</sup>- Harangi



شکل ۱۰-۴) نمودار  $\text{CaO}$  در مقابل  $\text{MnO}$  برای مشخص کردن منشا گارنت در توده‌های نفوذی الیگودرز (هرنگی، ۲۰۰۱)

گارنتهای نوع مagmaی و زینوکریستی بر اساس شکل بلوری و منطقه‌بندی ترکیبی (دهل‌کوئیست و همکاران، ۲۰۰۷) و یا بر اساس حضور و ماهیت ادخالها (رویکروفت<sup>۱</sup>، ۱۹۹۱) به راحتی از یکدیگر متمایز می‌شوند. الگوی منطقه‌بندی گارنت اهمیت زیادی در درجه دگرگونی و مسیرهای دما و فشار دارد (وانگ<sup>۲</sup> و همکاران، ۲۰۰۳). منطقه‌بندی ترکیبی گارنتهای magmaی در مذاب گرانیتی تابعی از دماست (دهل‌کوئیست و همکاران، ۲۰۰۷). گارنتهای magmaی که به طور مستقیم از magmaهای گرانیتی نوع S متبلور شده‌اند هیچ منطقه‌بندی نشان نمی‌دهند و یا اینکه دارای منطقه‌بندی معکوس (مرکز فقیر و حاشیه غنی از Mn) هستند که با شرایط کاهش دما مطابقت می‌نماید؛ در مقابل گارنتهای دگرگونی دارای منطقه‌بندی عادی بوده و در مرکز از Mn غنی شده‌اند (دهل‌کوئیست و همکاران، ۲۰۰۷). هیچکدام از این الگوها در گارنت مورد مطالعه به طور کامل مشاهده نمی‌شود. بنابراین، این واقعیت که گارنت magmaی در گرانیتهای نوع S غالباً الگوی منطقه‌بندی منگنز زنگولهای بر عکس یا مسطح دارد (برای مثال دهل‌کوئیست و همکاران، ۲۰۰۷) و یا اینکه انواع دگرگونی این

۱- Roycroft

۲- Hwang

کانی حاوی ادخالهایی از کانیهای دگرگونی هستند (کلمنز و وال<sup>۱</sup>، ۱۹۸۴) در همه گرانیتها مصدق ندارد. از طرف دیگر مشاهده ادخالهایی از بلورهای ماقمایی (رودر<sup>۲</sup>، ۱۹۷۹) می‌تواند منشا زینوکریستی برای بسیاری از گارنتهای موجود در این نوع گرانیتها را نقض نماید.

جدول ۳-۴) نتایج تجزیه نقطه‌ای عناصر اصلی در گارنت.

	N=۱-۵۰		N=۵۱-۱۰۹	
	حاشیه	مرکز	حاشیه	مرکز
SiO <sub>2</sub>	۱۱/۳۵±۰/۲۱	۳۶/۲۲±۱/۱	۴۳/۰۵±۰/۵۲	۳۴/۴۶±۱/۸۶
TiO <sub>2</sub>	۰/۱۴±۰/۰۸	۰/۱۴±۰/۰۸	۰/۱۴±۰/۰۲	۰/۱۴±۰/۰۷
Al <sub>2</sub> O <sub>3</sub>	۵/۴۵±۰/۴۹	۲۰/۷۸±۱/۸	۲۸/۷۱±۱/۲	۲۰/۷۳±۲/۸
Fe <sub>2</sub> O <sub>3</sub>	•	۰/۸۵±۰/۶	•	۱/۲۹±۰/۷
MgO	۲/۲۴±۰/۳۶	۵۴/۴۶±۱/۳	۲/۰۶±۰/۲۳	۵/۶±۱/۳
MnO	•	۱/۷۱±۰/۹	۰/۰۵±۰/۰۱	۱/۶±۰/۲۲
FeO	۵/۱۲±۰/۷	۳۱/۴±۱/۴	۴/۶۲±۰/۹	۳۱/۰۹±۲/۱
CaO	۰/۷±۰/۳	۱/۶±۰/۵	۰/۱۹±۰/۰۹	۱/۵۸±۰/۴۲
Total	۲۵/۴±۱/۳	۹۸/۱۵±۳/۲	۷۸/۸۴±۲/۲	۹۶/۰۱±۴/۳
Si	۷/۷۴±۰/۴۲	۵/۷۸±۱/۲	۱۰/۰۵±۰/۲	۵/۵۱±۰/۹۴
Ti	۰/۰۹±۰/۰۳	۰/۰۲±۰/۰۱	۰/۰۳±۰/۰۱	۰/۰۲±۰/۰۱
Al	۴/۳۵±۰/۰۲	۳/۹۱±۰/۹	۸/۲۸±۰/۲	۳/۸۴±۰/۹۸
Fe <sup>3+</sup>	•	۰/۱±۰/۰۶	•	۰/۱۶±۰/۰۶
Mg	۲/۲۴±۰/۲	۱/۳±۰/۸	۰/۷۵±۰/۱۳	۱/۳۴±۰/۶
Ca	۰/۵۴±۰/۰۴	۰/۲۷±۰/۱۲	۰/۰۵±۰/۰۲	۰/۲۷±۰/۰۹
Mn	•	۰/۲۳±۰/۰۹	۰/۰۱±۰/۰۱	۰/۲۲±۰/۰۷
Grossular	۱۵/۰۹±۰/۰۹	۴/۵۵±۱/۹۹	۲/۵۲±۰/۱۳	۴/۵۲±۲/۰۸
Pyrope	۳۸/۴±۱/۸	۲۱/۱۸±۰/۱۴	۴۲/۷۹±۲/۱	۲۲/۱±۱/۴
Almandine	۵۰/۸۴±۳/۱۹	۷۰/۰۳±۲/۲۳	۵۳/۸۴±۰/۱۹	۶۹/۵۴±۲/۲۹
spessartine	۰/۵۹±۰/۰۸	۳/۶۱±۰/۲۱	۰/۵۹±۰/۰۴	۳/۷۴±۰/۰۵

به دلیل تعداد زیاد نقاط تجزیه شده از میانگین آنها استفاده شده است.

از طرف دیگر در فشارهای بالا و Mg# پایین سنگ کل، گارنت می‌تواند از ذوب نامتجانس بیوتیت در متاپلیتها تشکیل شود (ویلاروس و همکاران، ۲۰۰۹)، بنابراین ذوب پوسته‌ای عمیق در متاپلیتها (Mg# نسبتاً پایین) مذابی تولید می‌کند که در تعادل با گارنت پریتکتیک است. تمایز بین گارنتهای ماگمایی و پریتکتیک مشکل است زیرا هر دو نوع در حضور مذاب تشکیل می‌شوند (کسیر<sup>۳</sup> و همکاران، ۱۹۹۷). انتشار خود به خودی Fe, Mg و Ca در گارنت به شرایط دما- فشار تشکیل گارنت اولیه و با مقدار کمتر به فوگاسیته اکسیژن وابسته است (کارلسون<sup>۴</sup>، ۲۰۰۶). بر اساس شواهد تجربی

۱- Clemens & Wall

۲- Roedder

۳- Cesare

۴- Carlson

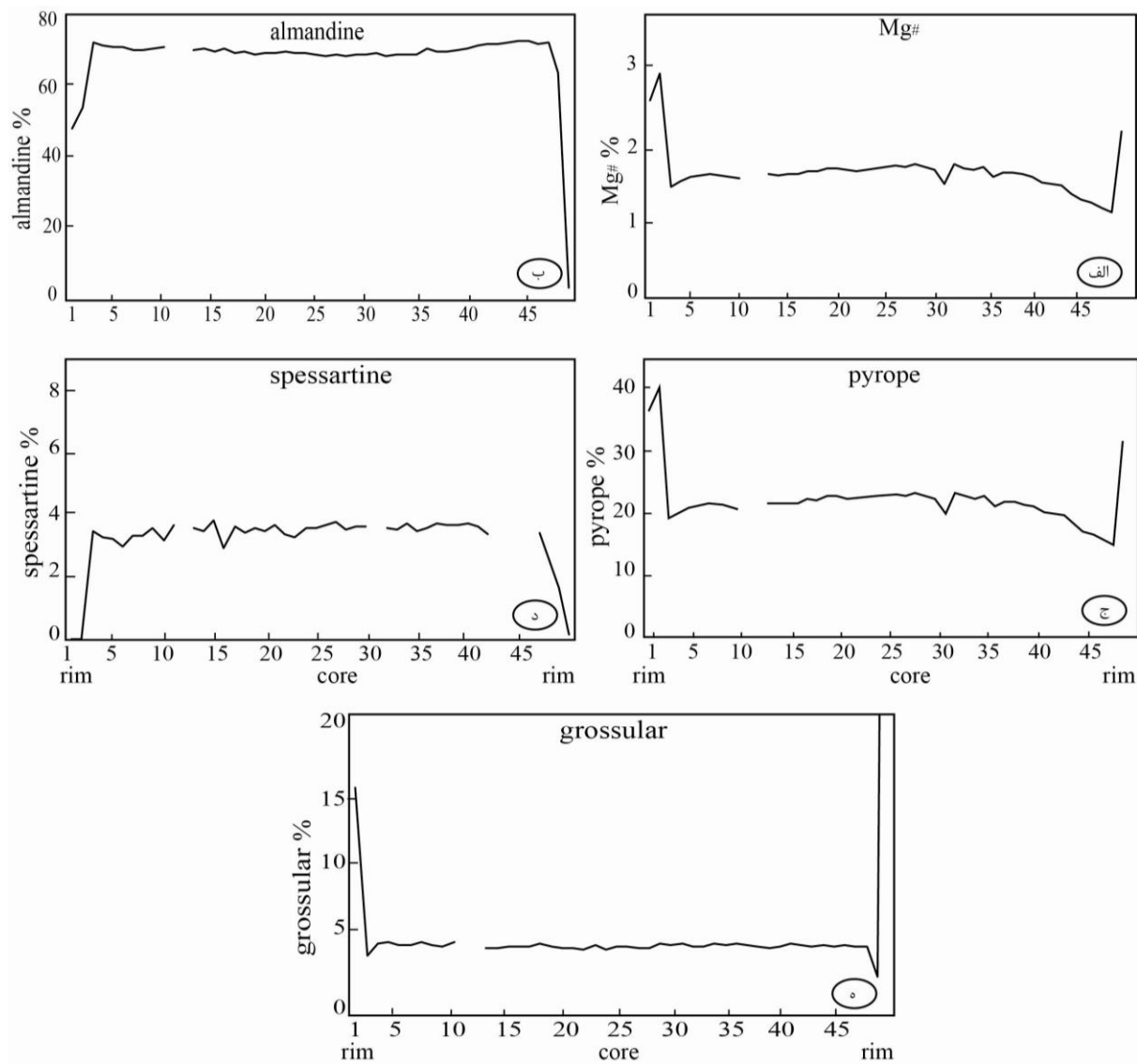
ارائه شده از مطالعات دیگر، استیونز<sup>۱</sup> و همکاران (۲۰۰۷) پیشنهاد می‌کند که گارنت با ترکیب  $\text{Alm}_{62}\text{Py}_{28}\text{Gro}_9\text{Sps}_{<1}$  شاخص گارنت پریتکتیک در گرانیتهای نوع S می‌باشد. ترکیب میانگین بخش مرکزی گارنت‌های مورد مطالعه نسبتاً یکنواخت بوده ( $\text{Alm}_{70}\text{Py}_{22}\text{Gro}_4\text{Sps}_4$ ) و شباهت زیادی به شیمی گارنت‌های پریتکتیکی نشان می‌دهد. بنابراین گارنت موجود در این گرانیت تغییرات ترکیبی مهمی را در طی صعود و تعادل مجدد با ماغما متحمل شده است. از طرف دیگر، الگوی منطقه‌بندی بدست آمده از Mn و #Mg در گارنت با فرایند انتشار قهقهایی مطابقت می‌نماید (ادواردز و ایسن<sup>۲</sup>، ۱۹۸۸). در واقع  $X_{\text{sps}}$  از مرکز به حاشیه افزایش و  $X_{\text{alm}}$  و  $X_{\text{py}}$  از مرکز به حاشیه تقریباً ثابت اما اندکی کاهش یافته است. گرانات و ویبلن<sup>۳</sup> (۱۹۷۱) به جذب و انحلال گارنت در ماغماهای گرانیتی، برای تشکیل سایر کانیهای فرومیزین همانند کردیریت و بیوتیت اشاره کرده‌اند. از آنجا که  $K_D$  بین گارنت و بیوتیت یا کردیریت با کاهش دما کاهش می‌یابد (ایونز<sup>۴</sup>، ۱۹۶۵)، گارنت در طی جذب از Fe نسبت به Mg غنی می‌شود. همچنین با توجه به اینکه Mn به راحتی به درون بیوتیت یا کردیریت مشارکت نمی‌کند، این عنصر به درون گارنت انتشار نموده و یک غنی شدگی در حاشیه از Mn را ایجاد می‌نماید (ایونز، ۱۹۶۵). به نظر می‌رسد منطقه‌بندی مشاهده شده در Mn و #Mg گارنتهای در نتیجه فرایند جذب بوده و Fe و Mn مجدداً در گارنت توزیع شده‌اند. نتایج این تحقیق نشان می‌دهد که در پتروژنیز گرانیتهای نوع S، متخلکه‌هایی که از منشا به ارث می‌رسند اما غیر قابل محلول در مذاب هستند با سیستم ماغمایی که در آن قرار می‌گیرند به تعادل می‌رسند.

۱- Stevens

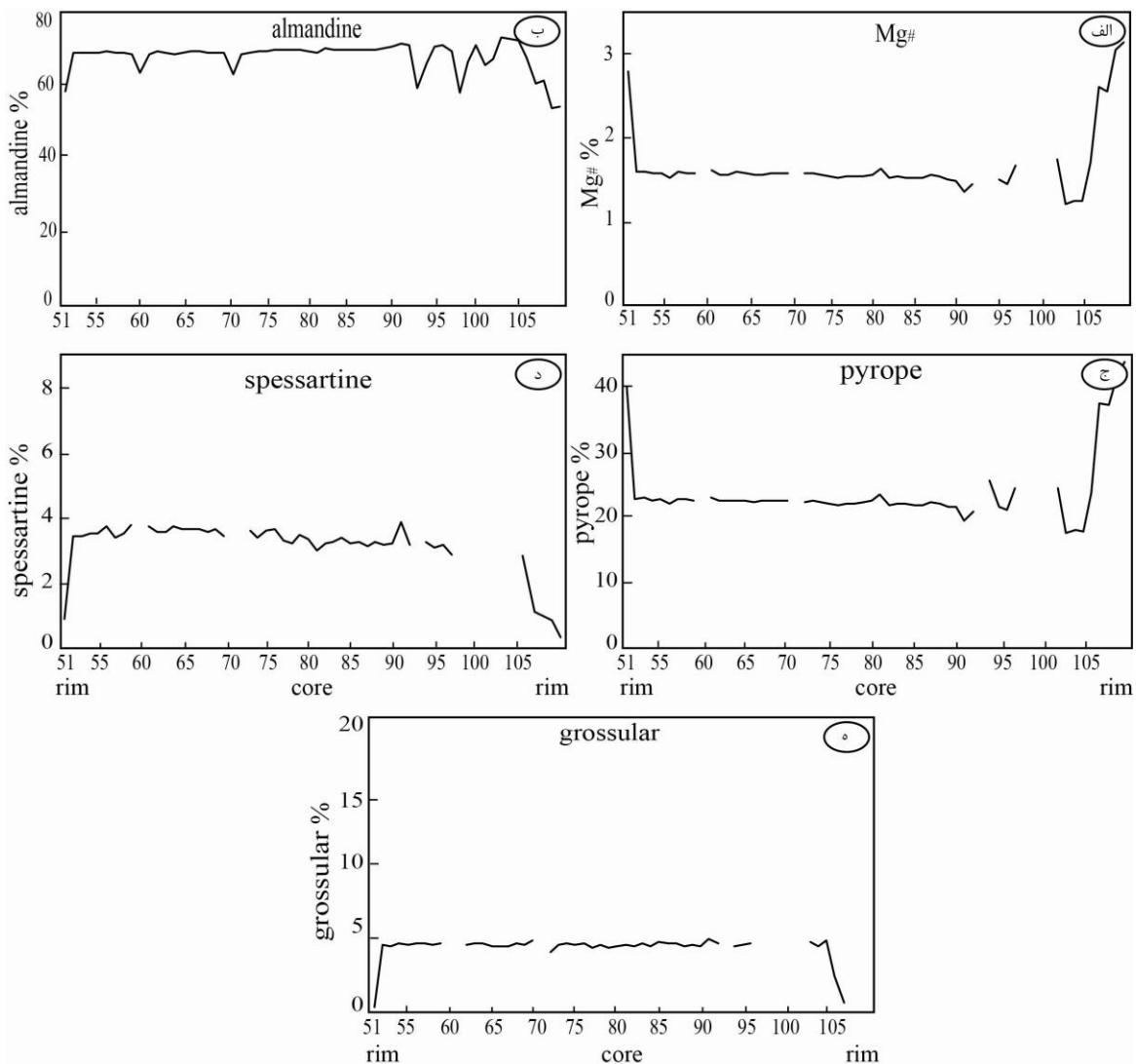
۲- Edwards & Essene

۳- Grant & Weiblen

۴- Evans



شکل ۱۱-۴) الگوی منطقه‌بندی گارنت موجود در گرانودیوریتها (نقاط ۱ تا ۵۰) در شکل ۹-۴ ب؛ (الف) تغییرات درصد عدد منیزیم؛ (ب) تغییرات درصد مولی آلماندین؛ (ج) تغییرات درصد پیروپ؛ (د) تغییرات درصد اسپسارتین؛ (ه) تغییرات درصد گروسولار. آنومالیهای مثبت و منفی در نمودارها دقیقاً بر حاشیه قطعات شکسته شده گارنت مورد تجزیه مطابقت می‌نماید.

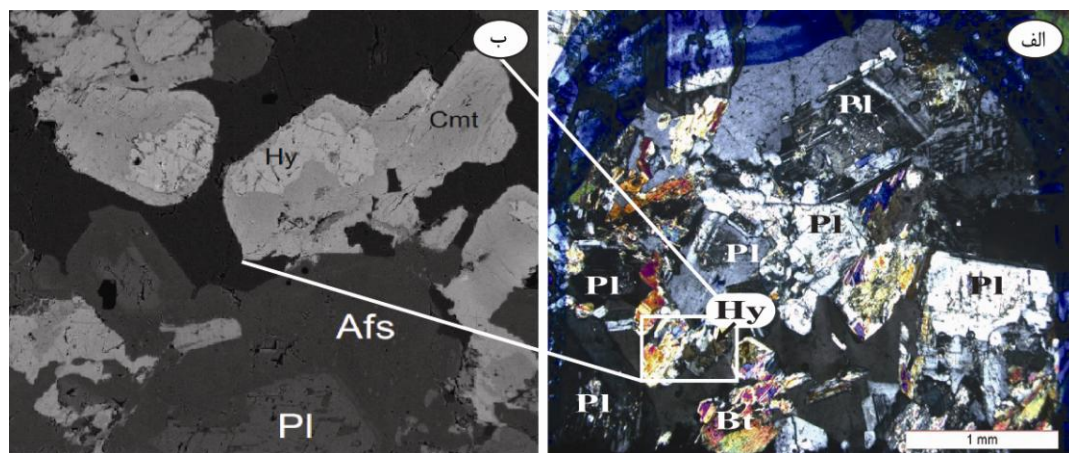
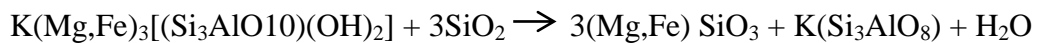


شکل ۱۲-۴) الگوی منطقه‌بندی گارنت موجود در گرانات‌دیبوریت‌ها (نقاط ۵۱ تا ۹۰-۹ در شکل ۹-۴ ب؛ الف) تغییرات درصد عدد منیزیم؛ ب) تغییرات درصد مولی آلماندن؛ (ج) تغییرات درصد پیروپ؛ (د) تغییرات درصد اسپسارتین؛ (ه) تغییرات درصد گروسولار. آنومالیهای مثبت و منفی در نمودارها دقیقاً بر حاشیه قطعات شکسته شده مطابقت می‌نماید.

#### ۴-۴-۴- ارتوبیروکسن

در تعداد محدودی از ایستگاه‌های مطالعه شده در توده‌های نفوذی الیگودرز کانی پیروکسن مشاهده شد (شکل ۱۳-۴ الف). تصاویر BSE تهیه شده از این کانی ترکیب دقیق هیپرستن را مشخص نموده است (شکل ۱۳-۴ ب) که از اطراف به ارتوبیروکسن نوع کامینگتونیت تبدیل شده است. هیپرستن، سیلیمانیت و هرسینیت از شکست بیوتیت در طی دگرگونی پیشرونده تشکیل می‌شوند (قاسمی،

۱۳۹۴) و معرف آغاز رخساره گرانولیت می‌باشند. اولین نسل هیپرستن از واکنش بین بیوتیت و کوارتز در دمای بالای ۷۵۰ درجه سانتگراد طبق واکنش زیر تشکیل می‌شود:



شکل ۱۳-۴ (الف) تصویری از حضور پیروکسن در سنگهای گرانیتوئیدی الیگودرز. ب- تصاویر میکروسکوپ الکترونی از همان مقطع که حضور هیپرستن (Hy) را اثبات می‌نماید. این کانی از اطراف به کامینگتونیت (Cmt) تبدیل شده است.

## نتیجه‌گیری

- گرانودیوریتها بیشترین مقدار پلازیوکلاز با هسته‌های کلسیک نسبتاً یکنواخت دارند که به پلازیوکلازهای باقیمانده از ذوب‌بخشی شباهت داشته و به دلیل ترکیب یکنواختشان فازهای رستیتی در نظر گرفته می‌شوند. محتوای آنورتیت پلازیوکلازهای موجود در تودهای نفوذی الیگودرز از گرانودیریت به سمت گرانیت کاهش می‌یابد.

- نتایج تجزیه نقطه‌ای نشان می‌دهد که محتوای  $Al^{IV}$  بیوتیتهای ورقه‌ای درشت خیلی بالا نبوده و ویژگی گرانیتهای کالک‌آلکالن را نشان می‌دهند.

- گارنت یکی از مهمترین کانیهای فرعی در گرانیت نوع S الیگودرز می‌باشد. بر اساس خصوصیات بافتی و ترکیب شیمی گارنت می‌توان نتیجه گرفت که این گارنتهای دارای ترکیب نسبتاً یکنواختی بوده و سرشار از آلماندن می‌باشند اما تغییراتی در  $Mg/(Mg+Fe)$  و Mn در نزدیکی حاشیه‌ها نشان می‌دهد. کاهش #Mg و افزایش Mn از هسته به سمت حاشیه نشان می‌دهد که گارنهای مورد نظر منشا رستیتی داشته و تحت تاثیر فرایند انتشار قهقرایی قرار گرفته‌اند. نتایج این تحقیق نشان می‌دهد که در پتروژنر گرانیتهای نوع S، متخلکله‌هایی که از منشأ به ارت می‌رسند اما غیر قابل حل در مذاب هستند با سیستم ماقمایی که در آن قرار می‌گیرند به تعادل می‌رسند.

- آندالوزیت یک کانی فرعی است که در طیفی از سنگهای آذرین فلسیک به شدت پرآلومین منطقه الیگودرز مشاهده می‌شود. بلورهای آندالوزیت در طی واکنشهای دگرگونی، تبلور از ماقما و یا طی فرایندهای متاسوماتیسم تشکیل می‌شوند که هر کدام ویژگیهای بارز خود را دارند. اگرچه با توجه به شواهد کانی‌شناسی و نتایج تجزیه شیمی منشا دقیق این کانی مشخص نشده است اما همرشدی‌هایی از آلکالی فلدسپار و مسکوویت ( $\pm$  بیوتیت و کوارتر) در قالب بلورهای آندالوزیت وجود دارد که حاکی از حضور سیالات گرمابی اطراف توده‌ها و تغییرات ترکیب کانی‌شناسی می‌باشد.

- سریسیتی شدن آندالوزیت، پنیتی شدن کردیریت، تشکیل بیوتیت به خرج از بین رفتن گارنت و کردیریت، تشکیل کامینگتونیت به صورت حاشیه‌ای اطراف هیپرستن مربوط به مراحل نهایی سرد شدن ماقمای گرانیتی و واکنشهای قهقرایی در حضور سیال سرشار از آب مرتبط می‌باشد.



فصل پنجم

رُوْسِی

## مقدمه

پس از برداشت روابط صحرایی و مطالعات دقیق پتروگرافی، بررسی ویژگیهای ژئوشیمیایی سنگها از اهمیت زیادی برخوردار است. به منظور استفاده از ژئوشیمی اولین گام درک اصول دقیق آن و رفتار ژئوشیمیایی عناصر در ماقماهای سیلیکاتی و سیالات وابسته به آنها می‌باشد (هندرسون<sup>۱</sup>، ۱۹۸۱). امروزه مطالعات جامع و کامل، به کمک تجزیه و تحلیل دقیق داده‌های ژئوشیمیایی صورت می‌گیرد (رولینسون، ۱۹۹۳). داده‌های ژئوشیمیایی در صورتی کارایی مفید خواهند داشت که دید صحرایی مناسب و دقیقی از منطقه مورد مطالعه داشته باشیم.

در این فصل با استفاده از داده‌های شیمیایی سنگ‌کل، رفتار ژئوشیمیایی نمونه‌های مختلف با یکدیگر مقایسه می‌شود. لازم به توضیح است داده‌های ژئوشیمی سنگ کل توده‌های نفوذی گل‌زرد و دره‌باغ مورد استفاده در این تحقیق شامل ۱۶ نمونه از نتایج تجزیه ژئوشیمی اثنی‌عشری (۱۳۹۰) و باغبانی (۱۳۹۰) می‌باشد. ترکیب ژئوشیمی این سنگها با استفاده از بسته ترکیبی ICP-OES و ICP-MS (طیفسنجی جرمی نشری پلاسمای جفت شده القایی) در آزمایشگاه ACME کانادا تجزیه شده است. همچنین تعداد سه نمونه از توده گرانیتوئیدی ازنا نیز در آزمایشگاه ژئوشیمی دانشگاه میامی امریکا مورد تجزیه قرار گرفته است (جدول ۱-۵). نتایج تجزیه شیمیایی نمونه‌ها برای اکسیدهای عناصر اصلی و مقادیر کانی‌های نورماتیو آنها، به صورت درصد وزنی (Wt%) و برای عناصر کمیاب و کمیاب خاکی به صورت قسمت در میلیون (ppm) بیان شده است.

اثنی‌عشری (۱۳۹۰) گرانیتوئیدهای الیگودرز را از یک منشا مشترک دانسته و معتقد است فرایندهای هضم و تبلوربخشی (AFC) نقش اصلی را در سیر تحولی ماقمای اولیه داشتند. باغبانی (۱۳۹۰) نیز با اشاره به روندهای خطی نمودارهای تغییرات عناصر اصلی و کمیاب در نمودارهای هارکر عامل تبلور تفریقی و ذوب‌بخشی را در تشکیل توده‌های گرانیتوئیدی مورد مطالعه دخیل دانسته و این توده‌ها را

۱- Henderson

حاصل فعالیتهای ماقمایی مرتبط با فرورانش ورقه اقیانوسی نووتیس به زیر ورقه قاره‌ای ایران مرکزی معرفی کرده است. نگاهی جامع و موشکافانه به مجموع مطالعات پیشین (برای مثال: باقریان و خاکزاد، ۱۳۸۰؛ باقری، ۱۳۸۰؛ اثنی عشری، ۱۳۹۰ و باغبانی، ۱۳۹۰) نشان می‌دهد که اولاً همه محققین در مورد خاستگاه و ژنز سنگهای مزبور اتفاق نظر نداشته و ثانیاً در بیشتر این پژوهشها به نقش کانیهای رستیتی در پتروژنر توده‌های گرانیتوئیدی الیگودرز (گل‌زرد و دره‌باغ) هیچ اشاره‌ای نشده است. در این فصل از طبقه‌بندی نورماتیو، نمودارهای نامگذاری، نمودارهای هارکر عناصر اصلی و کمیاب، نمودارهای عنکبوتی استفاده شده تا حضور کانیهای رستیتی با استفاده از شواهد ژئوشیمیایی نیز اثبات شود. از آنجا که ژئوشیمی عناصر اصلی و کمیاب توده‌های گرانیتوئیدی الیگودرز (دره‌باغ و گل‌زرد) و لوکوگرانیت ازنا با یکدیگر تفاوت‌های قابل ملاحظه‌ای دارند بنابراین تحولات ژئوشیمیایی هر کدام از این توده‌های نفوذی در این فصل به صورت جداگانه مورد بررسی قرار می‌گیرند.

## ۵-۱- تصحیح داده‌های حاصل از تجزیه شیمیایی

قبل از استفاده از داده‌های حاصل از تجزیه‌های شیمیایی، لازم است که تغییراتی در آنها اعمال شود. یکی از این تغییرات، حذف مواد فرار (L.O.I) می‌باشد.

### ۵-۱-۱- تصحیح مربوط به حذف مواد فرار

میزان مواد فرار در سنگهای ماقمایی معمولاً کمتر از ۱ درصد وزنی می‌باشد. بنابراین، افزایش این میزان در سنگها، ناشی از فرایندهای ثانویه نظیر هوازدگی و دگرسانی می‌باشد (ژانو، ۲۰۰۷). به منظور حذف مواد فرار نمونه‌های سنگی درصد مواد فرار را از مجموع اکسیدهای آن نمونه کم کرده، عدد بدست آمده، مقدار جدید اکسیدهای سنگ خواهد بود که مواد فرار آن حذف شده است. سپس این عدد باید به ۱۰۰ درصد برسد. برای این منظور باید مقدار درصد هر یک از اکسیدهای سنگ در یک ضریب واحدی ضرب شود. این ضریب از تقسیم کردن ۱۰۰ بر مقدار جدید مجموع اکسیدهای سنگ به دست می‌آید. در ادامه ضریب به دست آمده را در مقدار درصد هر یک از اکسیدهای سنگ ضرب

کرده تا درصد اکسیدها، بدون مواد فرار محاسبه شود. به عنوان مثال، روش محاسبه ضریب حذف مواد

فرار (Z) برای نمونه S1 این گونه است:

$$S1: \text{Sum}=100, \text{LOI}=2.99$$

$$\text{Sum-L.O.I}=100-2.99$$

$$Z=100/97.01=1.03$$

## ۲-۵- طبقه‌بندی نورماتیو

### ۲-۵-۱- رده‌بندی اکانر

نورم روشی است که بر اساس نتایج تجزیه شیمیایی نمونه‌های سنگی، کانی‌های مجازی آن‌ها ساخته

می‌شود و سپس بر مبنای مقادیر کانی‌های ساخته شده، نامگذاری سنگ‌ها صورت می‌گیرد و یا از آنها

در تعریف پارامترهایی نظیر ضریب تفریق استفاده می‌شود (جدول ۲-۵). از آنجایی که مبنای

رده‌بندی نورماتیو اساساً بر مبنای شیمی سنگ است، پس سنگ‌های ریزدانه، درشتدانه و

دگرگون شده، با ترکیب شیمیایی مشابه، ترکیب نورماتیو یکسان خواهند داشت (رولینسون، ۱۹۹۳).

اکانر<sup>۱</sup> این رده‌بندی را در سال ۱۹۶۵ برای نامگذاری سنگ‌های آذرین درونی که بیش از ۱۰ درصد

وزنی کوارتز نورماتیو دارند پیشنهاد نموده است. در این رده‌بندی، گرانیت‌وئیدها بر اساس مقادیر سه

کانی نورماتیو آلبیت، آنورتیت و ارتوز به پنج گروه مجزا تقسیم می‌شوند (شکل ۱-۵). اکثر نمونه‌های

مورد مطالعه در محدوده گرانودیوریت قرار دارند. لوكوگرانیتهای ازنا به دلیل تهی بودن از آنورتیت و

ارتوز نزدیک قطب آلبیت تجمع یافته‌اند (شکل ۱-۵). با توجه به اینکه رده‌بندی نورماتیو، یک

رده‌بندی مجازی است و معمولاً ترکیب کانی‌شناسی محاسبه شده به روش نورم با ترکیب واقعی سنگ

۱- O'Connor

جدول ۱-۵) آنالیز عناصر اصلی و فرعی واحدهای مختلف تودههای نفوذی الیگودرز. عناصر اصلی بر حسب درصد وزنی و عناصر کمیاب بر حسب ppm می باشد.

Granodiorits														Granite		Leucogranites				
Lithology	sample	ES-۱۴	BF-۱۲	BF-۲۳	ES-۱۵	ES-۹	SF-۴۲	ES-۵	ES-۱۱	SF-۴۶	BF-۵۱	SH-۲۳	BF-۱۰	ES-۱۶	ES-۱۰	ES-۷۷	ES-۱۸	PA۲۲-۱	PA۲۲-۲	PA۲۲-۳
SiO <sub>۲</sub>		۶۶	۶۷	۶۷	۶۶	۶۶	۶۷	۶۷	۶۶	۶۸	۶۶	۶۸	۶۸	۶۶	۷۵/۶	۷۵/۲	۷۶	۷۸/۲	۷۶/۵	۷۹/۲
TiO <sub>۲</sub>		۰/۵۹	۰/۵۴	۰/۶۳	۰/۶	۰/۵۵	۰/۶۳	۰/۵۲	۰/۶۳	۰/۵۱	۰/۷	۰/۶۱	۰/۵۴	۰/۶	۰/۰۵	۰/۰۵	۰/۰۵	۰/۰۷	۰/۱۵	۰/۰۶
Al <sub>۲</sub> O <sub>۳</sub>		۱۵/۸	۱۵/۷	۱۵/۷	۱۵/۵	۱۵/۶	۱۶	۱۵	۱۵/۸	۱۵/۴	۱۶	۱۵/۵	۱۵/۶	۱۵/۱	۱۳/۷	۱۳/۹	۱۳/۷	۱۲/۷	۱۳/۲	۱۲/۶
Fe <sub>۲</sub> O <sub>۳</sub>		۵/۱	۵/۶۳	۵/۳۸	۵/۱	۵/۳	۵/۴۴	۴/۹	۵/۱	۴/۷۲	۶/۰۵	۵/۰۹	۴/۶۴	۵	۱	۱/۱	۱	۰/۴۶	۰/۷	۰/۴۱
MnO		۰/۱	۰/۱	۰/۱	۰/۱	۰/۱	۰/۱	۰/۱	۰/۱	۰/۱	۰/۱	۰/۱	۰/۱	۰/۱	۰/۰۶	۰/۰۳	۰/۱	۰	۰/۰۱	۰
MgO		۱/۶	۱/۲۹	۱/۶۷	۱/۶	۱/۴	۱/۷۷	۱/۴	۱/۵	۱/۳۳	۱/۹۵	۱/۳۷	۱/۲۴	۱/۶	۰/۲	۰/۲	۰/۷۱	۱/۱۸	۰/۶۱	
CaO		۳/۶	۳/۱۲	۳/۰۲	۳/۲	۳/۲	۳/۵۳	۲/۷	۳/۲	۲/۹۴	۳/۴۵	۳/۰۹	۳/۰۸	۳/۲	۰/۷	۰/۶	۰/۷	۰/۲۸	۰/۲۳	۰/۲۲
Na <sub>۲</sub> O		۲/۶	۲/۰۴	۲/۵	۲/۵	۲/۵	۲/۴۸	۲/۴	۲/۷	۲/۵۸	۲/۳۷	۲/۵	۲/۷۴	۲/۳	۳	۳/۴	۳	۶/۲۳	۶/۲	۶/۱۷
K <sub>۲</sub> O		۲/۷	۳/۵۴	۳/۴۶	۳/۲	۳/۳	۳/۱۴	۳/۵	۳/۲	۳/۶۴	۳/۳	۳/۴	۳/۵۲	۳/۱	۴/۷	۴/۳	۴/۷	۰/۳۴	۰/۴۲	۰/۳
P <sub>۲</sub> O <sub>۵</sub>		۰/۱۴	۰/۱۶	۰/۱۵	۰/۱۷	۰/۱۵	۰/۱۴	۰/۱۵	۰/۱۲	۰/۱۴	۰/۱۶	۰/۱۶	۰/۱۳	۰/۲	۰/۱۳	۰/۲	۰/۱۳	۰/۰۲	۰/۰۴	۰/۰۲
LOI		۱/۴۴	۱/۱	۱/۲	-	-	۰/۸	۱/۸	۱/۵	۰/۶	۱/۵	۱/۲	۱/۲	-	۰/۷۹	۰/۸	-	-	-	-
<b>total</b>		۹۸/۲۳	۹۹/۶۲	۹۹/۶۱	۹۷/۹۷	۹۸/۱	۱۰۰/۲	۹۷/۶۹	۹۸/۵۵	۹۹/۳	۱۰۰	۹۹/۹۷	۹۹/۹	۹۷/۲	۹۹/۹	۹۹/۸	۹۹/۰۸	۹۹/۱	۹۸/۶۳	۹۹/۵۹
Y		۲۳/۱	۲۶/۴	۲۵/۵	۲۳/۴	۲۶	۲۸/۳	۲۳/۷	۲۹/۶	۳۰/۹	۲۴/۳	۲۷/۷	۲۶/۲	۲۸/۱	۱۸/۷	۱۰/۲	۱۰/۷	۲۶/۴	۲۶/۹	۲۶
Zr		۱۷۹	۱۷۷/۴	۱۵۷/۸	۱۸۲	۱۶۸	۱۵۹	۱۹۷	۱۹۱	۱۸۶	۱۹۰	۱۸۵	۱۸۲	۱۸۰	۴۴	۳۱	۴۴	۹۴/۸	۱۰/۱	۸۰/۶
Nb		۱۳	۱۰/۶	۱۱	۱۳/۲	۱۳/۳	۱۱/۹	۱۳/۴	۱۲/۳	۱۱/۲	۱۴	۱۲/۳	۱۳/۴	۱۳/۵	۶	۵/۲	۶	۳۴/۸	۳۴/۳	۳۹/۷
Ba		۲۹۱	۳۰/۱	۳۲/۶	۳۳/۲	۳۴/۵	۳۵/۱	۳۵/۶	۳۵/۹	۳۷/۱	۳۷/۸	۳۹/۲	۳۹/۲	۳۹/۳	۱۰/۳	۶/۷	۴۰/۰	۱/۰	۱۰/۷	۷/۴
Hf		۵/۴	۴/۶	۴/۳	۵/۳	۵	۴/۸	۵/۸	۵/۱	۵/۵	۶	۵/۲	۴/۸	۵/۳	۱/۹	۱/۵	۱/۹	۳/۴۸	۳/۳۳	۳/۱۵
Ta		۱	۱	۱	۱	۱	۰/۹	۱/۱	۱/۱	۰/۹	۰/۹	۰/۹	۰/۹	۱	۱/۲	۱/۵	۱/۲	۵/۸۲	۴/۲۱	۶/۲۱
Pb		۰	۱۶/۸	۸/۵	.	.	۸/۶	۰	۰	۴/۶	۹	۷/۷	۸/۴	.	۰	۰	۰	۴/۳۸	۳/۳	۴/۱۳
Th		۱۳/۵	۱۲/۳	۱۲/۳	۱۲/۱	۱۲/۵	۱۵/۱	۱۲/۹	۱۳/۸	۱۵/۱	۱۲/۴	۱۴/۵	۱۵/۳	۸/۴	۵	۸/۴	۳۱/۷	۳۳/۱	۷۷/۸	
U		۲/۵۵	۲/۵	۲	۲	۲/۵	۲/۹	۲/۸۴	۲/۱۹	۲/۷	۲/۶	۲	۲/۶	۲/۱۱	۲/۳۶	۱/۶۳	۱/۳۶	۶/۲۸	۴/۵۵	۶/۵
Rb		۱۳۰	۱۴۹	۱۵۲	۱۴۸	۱۴۷	۱۳۲	۱۵۰	۱۵۱	۱۵۲	۱۴۱	۱۴۷	۱۴۸	۱۳۸	۲۳۶	۱۵۵	۱۳۴	۱۵/۳	۱۱/۴	
Sr		۱۳۸	۱۱۱	۱۳۰	۱۲۴	۱۳۴	۱۲۴	۱۲۱	۱۲۵	۱۲۲	۱۲۹	۱۲۷	۱۳۶	۴۲	۲۹	۴۲	۲۷	۳۳	۲۴	
La		۳۷/۸	۲۶/۸	۳۲	۳۵/۵	۳۰/۹	۳۱/۴	۳۷/۸	۳۲/۳	۳۲/۳	۳۵/۳	۳۵/۳	۳۴/۵	۴۰/۲	۱۰/۳	۷/۳	۱۰/۳	۱۴/۱	۳/۹	۱۷/۲
Ce		۷۶/۹	۶۱/۲	۷۰/۱	۷۲/۵	۶۳	۷۱/۹	۷۵/۸	۷۰/۲	۷۴/۶	۸۰/۶	۷۶/۱	۸۳/۱	۸۱/۵	۲۰/۴	۱۳/۷	۲۰/۴	۲۷/۴	۵۵/۵	۲۵/۹
Pr		۸/۹	۶/۴۸	۷/۴۲	۸/۳	۷/۲	۷/۵۷	۹	۸/۳	۷/۹۹	۸/۴۸	۸/۲۲	۸/۶۵	۹/۴	۲/۳	۱/۵	۲/۳	۳/۱۱	۵/۸۱	۲/۹۸
Nd		۳۳/۵	۲۵/۲	۲۸/۵	۳۱/۱	۲۷/۴	۲۹	۳۳/۱	۳۰/۲	۳۲/۲	۳۲/۹	۳۱/۷	۳۴/۸	۳۵/۱	۷/۷	۴/۹	۷/۷	۱۰/۸	۱۰/۶	۱۰/۴
Sm		۹/۷	۴/۶۲	۵/۵۵	۶/۳	۵/۶	۵/۴۸	۶/۷	۶/۱	۶/۰۷	۶/۱۷	۵/۹۱	۶/۸۲	۷/۱	۱/۹	۱/۲	۱/۹	۲/۸۳	۳/۹۹	۲/۸۴
Eu		۱/۲	۰/۸۱	۰/۹۵	۱/۱	۱	۱/۰۱	۱	۱/۱	۱/۰۶	۱/۰۷	۱/۰۴	۱/۰۳	۱/۲	۰/۳	۰/۱	۰/۳	۰/۲۷	۰/۵	۰/۲۵
Gd		۶/۵	۴/۶۳	۴/۹۳	۶/۲	۵/۶	۵/۱۳	۶/۴	۶/۲	۵/۸۱	۵/۴۳	۵/۸۵	۵/۷۳	۷	۲/۱	۱/۳	۲/۱	۲/۸۶	۳/۷۸	۲/۸۷
Tb		۰/۸۹	۰/۷۹	۰/۸۱	۰/۹۱	۰/۸۷	۰/۸۷	۰/۹	۰/۹۵	۰/۹۲	۰/۸۴	۰/۸۹	۰/۸۸	۰/۱۰	۰/۴۵	۰/۲۷	۰/۴۵	۰/۵۴	۰/۶۳	۰/۵۳
Dy		۴/۱۸	۴/۷۴	۴/۶۵	۴/۸	۵	۵/۰۱	۴/۸	۵/۴	۵/۵۹	۴/۳۷	۴/۹۷	۴/۵۴	۵/۶	۳	۱/۸	۳	۳/۵۹	۴/۰۷	۳/۹۷
Ho		۰/۹	۰/۸۸	۰/۹۱	۰/۹	۱	۱/۰۳	۰/۹	۱/۱	۱/۰۸	۰/۸۷	۰/۹۸	۰/۸۸	۱/۱	۰/۷	۰/۴	۰/۷	۰/۷۸	۰/۸۵	۰/۸۱
Er		۲/۶	۲/۶۶	۲/۳۶	۲/۶	۲/۹	۲/۹۶	۲/۶	۳/۲	۲/۷۹	۲/۳۳	۲/۷	۲/۴	۳/۲	۲	۱/۱	۲	۲/۵۴	۲/۹۵	۲/۵۵
Tm		۰/۳۷	۰/۳۹	۰/۳۶	۰/۳۸	۰/۴۲	۰/۴۶	۰/۳۶	۰/۴۵	۰/۴۳	۰/۳۵	۰/۴۳	۰/۳۹	۰/۴۷	۰/۳۴	۰/۱۸	۰/۳۴	۰/۴۴	۰/۴۲	۰/۴۳
Yb		۲/۳	۲/۸۱	۲/۴۲	۲/۹	۲/۸۴	۲/۳	۲/۹	۲/۷	۲/۲۸	۲/۴۷	۲/۲۸	۲/۸	۲/۴	۱/۳	۲/۴	۲/۴	۲/۲۳	۲/۹۴	۲/۱۵
Lu		۰/۴	۰/۴۲	۰/۳۴	۰/۴	۰/۴	۰/۴۴	۰/۴	۰/۴	۰/۴۴	۰/۳۳	۰/۳۹	۰/۳۷	۰/۴	۰/۴	۰/۲	۰/۴	۰/۴۹	۰/۴۲	۰/۴۷
A/CNK		۱/۷۸	۱/۷	۱/۷۴	۱/۷۵	۱/۷۳	۱/۷۴	۱/۷	۱/۶۸	۱/۷۶	۱/۷	۱/۶۷	۱/۷۶	۱/۶۳	۱/۵۸	۱/۶۳	۱/۸۶	۱/۹۳	۱/۸۸	

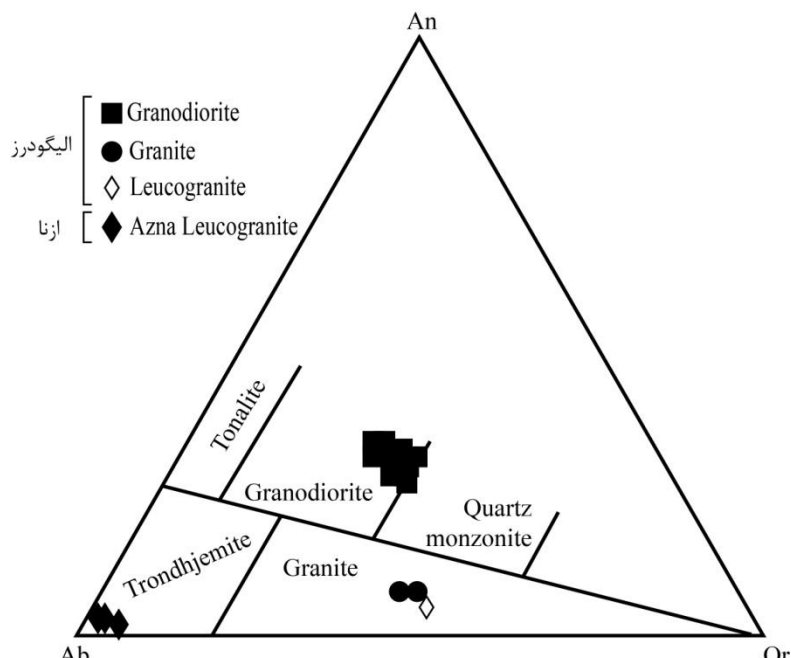
ES: ائنی عشری؛ SH: باغبانی؛ BF: باغبانی؛ PA: نمونههای مورد تجزیه برای این پایان‌نامه. آهن کل می باشد.

تفاوت‌هایی دارد، نمودارهای طبقه‌بندی براساس ترکیب نورماتیو با طبقه‌بندی میکروسکوپی اختلافاتی نشان می‌دهد، پس برای نتیجه‌گیری بهتر از طبقه‌بندی شیمیایی نیز کمک می‌گیریم.

جدول ۲-۵) نورم محاسبه شده برای توده‌های گرانیتوئیدی الیگودرز و لوکوگرانیت ازنا

شماره نمونه	Q	C	Or	Ab	An	Il	Hm	Ap	Bt	Sum
ES14	۳۲/۸۲	۲/۳۹	۱۲/۲۷	۲۲	۱۶/۹۵	۰/۲۱	۵/۱	۰/۳۳	۵/۲۸	۹۷/۳۶
BF12	۳۲/۶۱	۲/۳۷	۱۷/۹۱	۲۱/۴۵	۱۴/۴۳	۰/۱۹	۵/۶۳	۰/۳۸	۴/۲۷	۹۹/۲۴
BF23	۳۲/۸۹	۲/۶۶	۶/۶۴	۲۱/۱۹	۱۳/۹۹۹	۰/۱۹	۵/۳۸	۰/۳۶	۵/۵	۹۸/۸
ES15	۳۲/۸۳	۲/۶۱	۱۵/۲۳	۲۱/۱۵	۱۴/۷۷	۰/۲۱	۵/۱	۰/۴	۵/۲۸	۹۷/۵۷
ES9	۳۲/۶۹	۲/۴۶	۱۶/۲۸	۲۱/۱۵	۱۴/۹	۰/۲۴	۵/۳	۰/۳۶	۴/۶۲	۹۷/۹۹
SF42	۳۳/۰۷	۲/۱۷	۱۴/۶	۲۱	۱۶/۶	۰/۲۲	۵/۴۴	۰/۳۴	۵/۸۳	۹۹/۴۵
ES5	۳۳/۷۸	۲/۷۱	۱۷/۴۶	۲۰/۳۱	۱۲/۴۲	۰/۲۱	۴/۹	۰/۳۶	۴/۶۲	۹۶/۷۷
ES11	۳۰/۹۳	۲/۰۷	۱۶/۰۵	۲۲/۸۵	۱۵/۵۹	۰/۲۱	۵/۱	۰/۲۸	۴/۹۵	۹۸/۰۴
SF46	۳۳/۵۷	۲/۲	۱۸/۴۲	۲۱/۷۹	۱۳/۶۶	۰/۲۲	۱۴/۷۲	۰/۳۴	۴/۴	۹۹/۳۱
BF51	۳۲/۲۷	۲/۶۶	۱۵/۰۳	۲۰/۰۸	۱۶/۰۸	۰/۲۴	۶/۰۵	۰/۳۸	۶/۴۴	۹۹/۲۲
SH23	۳۳/۰۶	۲/۱۷	۱۶/۹۵	۲۳/۳۹	۱۴/۲۸	۰/۱۷	۵/۰۹	۰/۳۸	۴/۵۴	۹۹/۱۴
BF10	۳۲/۶۳	۲/۰۴	۱۷/۹۸	۲۳/۱۸	۱۴/۴۳	۰/۱۷	۷/۶۴	۰/۳۱	۴/۰۹	۹۹/۴۶
ES16	۳۴/۴۶	۲/۶۲	۱۴/۶۴	۱۹/۴۶	۱۴/۵۷	۰/۱۹	۰	۰/۴۷	۵/۲۸	۹۶/۷
ES20	۳۶/۳۹	۲/۰۶	۲۶/۱۳	۲۳/۲۶	۴/۲۸	۰/۰۶	۱/۵	۰/۴۳	۰/۶۶	۹۸/۷۵
ES72	۳۶/۱۲	۳/۱۳	۲۳/۶۲	۲۹/۱۴	۴	۰/۰۹	۱/۶۳	۰/۴	۰/۹۹	۹۹/۱۲
ES18	۳۹/۰۳	۲/۷۲	۲۷/۳۱	۲۵/۳۸	۲/۶۲	۰/۱	۰/۹۷	۰/۳۱	۰/۶۶	۹۹/۱۴
PA24-۱	۴۰/۰۵	۱/۶۴	۰/۴	۵۲/۷۵	۱/۲۷	۰/۰۱	۰/۴۶	۰/۰۵	۲/۳۴	۹۸/۹۷
PA24-۲	۳۸/۲۷	۲/۲۴	۰/۰	۵۲/۴۷	۱/۸۹	۰/۰۱	۰/۷	۰/۰۹	۳/۶	۹۸/۲۷
PA24-۳	۴۱/۷۳	۱/۷۲	۰/۱۷	۵۲/۲۴	۰/۹۹	۰/۰۱	۰/۴۲	۰/۰۵	۲/۰۱	۹۹/۵۱

ES: اتنی عشری؛ SF: باگبانی؛ SH: BF: BF، آنالیز برای این پایان‌نامه



شکل ۵-۱) نمودار مثلثی An-Ab-Or برای طبقه‌بندی گرانیتوئیدها (اکانر، ۱۹۶۵).

### ۳-۵- کاربرد داده‌های عناصر اصلی و کمیاب

در پترولوزی آذرین، داده‌های حاصل از تجزیه شیمیایی و به خصوص عناصر اصلی، به طور گستردۀ جهت طبقه‌بندی و نامگذاری سنگ‌های آذرین مورد استفاده قرار می‌گیرد. علاوه بر این برای تشخیص جایگاه تکتونیکی نیز از عناصر اصلی به همراه عناصر جزئی استفاده می‌شود. استفاده از شیمی عناصر اصلی برای رده‌بندی و نامگذاری سنگ‌ها استفاده گستردۀ دارد. آسان بودن، کاربرد گستردۀ همسان بودن با روش نامگذاری مودال و صحرایی در ارزشیابی روش‌های رده‌بندی مهم هستند. برای نامگذاری و مطالعات پترولوزیکی بعد از مطالعات دقیق پتروگرافی باید نمونه‌هایی انتخاب شوند که قادر هرگونه تغییرات شیمیایی بعد از زمان تشکیل سنگ باشند. سنگ‌های مورد مطالعه با استفاده از طبقه‌بندی میدلموست<sup>۱</sup> (۱۹۹۴) و دolarوش<sup>۲</sup> و همکاران (۱۹۸۰) نامگذاری شده‌اند.

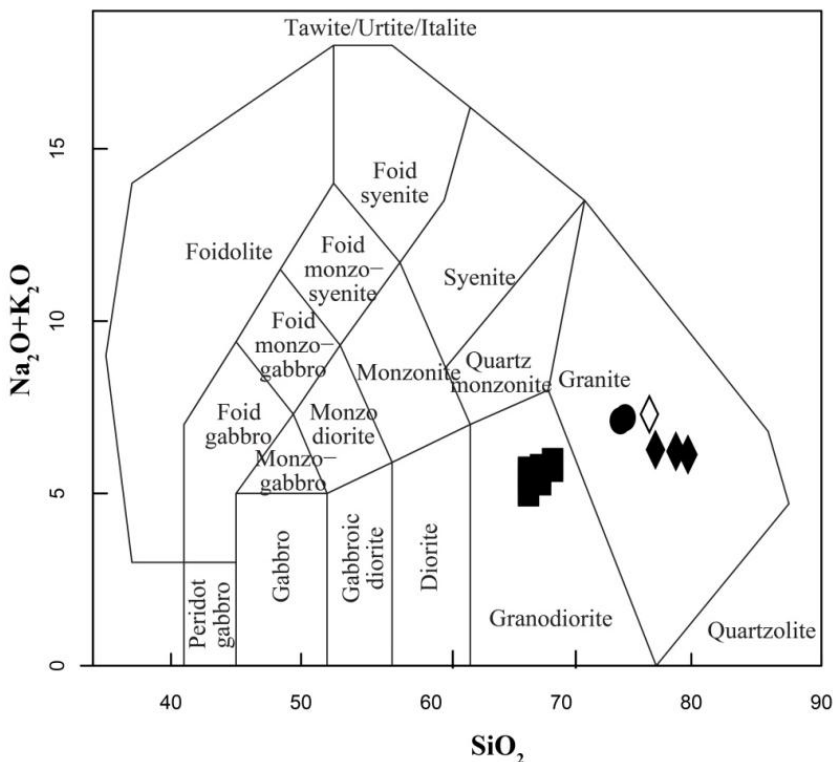
### ۱-۳-۵- نمودار $\text{Na}_2\text{O}+\text{K}_2\text{O}$ در مقابل $\text{SiO}_2$ ، میدلموست (۱۹۹۴)

این نمودار یکی از کامل‌ترین و مفیدترین روش برای رده‌بندی سنگ‌های نفوذی است. از بین رده‌بندی‌های مختلفی که برای نامگذاری سنگ‌های آذرین وجود دارد این نمودار بیشترین همخوانی را با نامگذاری و مشاهدات پتروگرافی نمونه‌های سنگی دارد. با توجه به نمودار میدلموست و همکاران (۱۹۹۴) نمونه‌های سنگی مورد مطالعه در محدوده گرانوڈیوریت و گرانیت قرار می‌گیرند (شکل ۲-۵).

### ۲-۳-۵- نمودار دolarوش و همکاران (۱۹۸۰)

دolarوش و همکاران (۱۹۸۰) یک طرح رده‌بندی برای سنگ‌های آتشفسانی و نفوذی بر پایه نسبتهای کاتیونی ارائه شده بر حسب میلی‌کاتیون تهیه کردند (شکل ۳-۵). در این طبقه‌بندی از پارامترهای  $R_1$  و  $R_2$  استفاده می‌شود که توسط معادلات زیر محاسبه می‌شوند:

۱- Middlemost  
۲- De La Roche

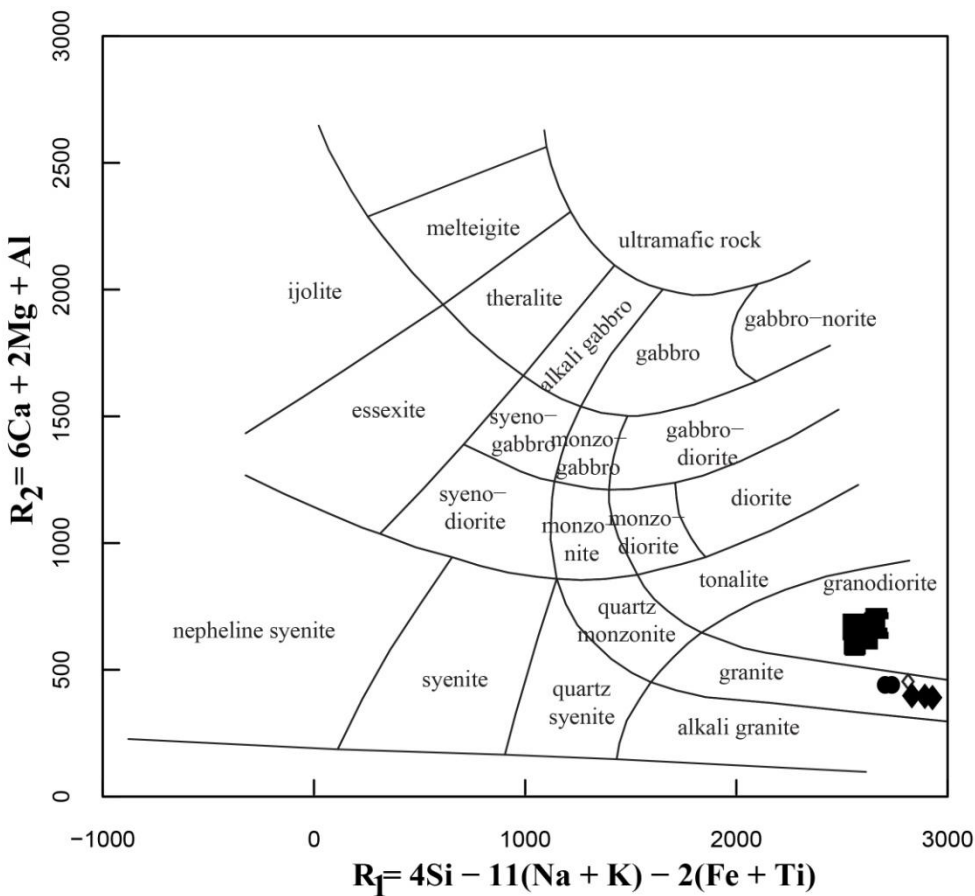


شکل ۲-۵) طبقه‌بندی شیمیایی سنگ‌های نفوذی بر طبق عناصر اصلی (میدلموست و همکاران، ۱۹۹۴)؛ علائم مشابه شکل ۱-۵) می‌باشد.

$$R_1 = 4Si - 11(Na + K) - 2(Fe + Ti)$$

$$R_2 = 6Ca + 2Mg + Al$$

این دو پارامتر بر روی یک نمودار دو متغیره  $y-x$  ترسیم می‌شود. در این نمودار شیمی تمام عناصر اصلی سنگ به استثنای اکسیژن استفاده شده و برای تمام سنگ‌های آذرین کاربرد دارد. مزایای استفاده از این رده‌بندی به شرح زیر است (رولینسون، ۱۹۹۳): ۱- از شیمی تمام عناصر اصلی سنگ در رده‌بندی استفاده می‌شود؛ ۲- این روش به آن اندازه کلی است که برای همه سنگ‌های آذرین کاربرد داشته باشد؛ ۳- ترکیب کانیها را می‌توان روی نمودار ترسیم و مقایسه‌ای وسیع میان داده‌های مودال و شیمی انجام داد؛ ۴- میزان اشباعیت از سیلیس و تغییر ترکیب فلدسپارها را می‌توان نشان داد. بر طبق این نمودار نیز نمونه‌های مورد مطالعه در محدوده گرانوودیوریت و گرانیت قرار می‌گیرند.



شکل-۳) طبقه‌بندی شیمیایی سنگ‌های نفوذی دولاروش و همکاران (۱۹۸۰) با استفاده از عناصر اصلی؛ علائم مشابه شکل ۱-۵ می‌باشد.

### ۳-۳-۵- نمودارهای تغییرات

یکی از وظایف اصلی ژئوشیمیدانان ابداع روشی برای ساده کردن و خلاصه کردن تغییرات میان هر یک از سنگ‌های گونه‌ای که بتوان روابط بین تک‌تک سنگ‌ها را تشخیص داد. نمودار تغییرات که یکی از این روش‌های است یک نمودار دو متغیره است که اگر  $\text{SiO}_2$  در امتداد محور X ها ترسیم شود نمودار هارکر نامیده می‌شود. هدف اصلی یک نمودار دو متغیره نشان دادن تغییرات میان نمونه‌ها و تشخیص روندهاست. عناصر واقع بر روی محور X نمودار باید به گونه‌ای انتخاب شود که بیشترین تغییرپذیری را در میان نمونه‌ها یا یک فرایند زمین‌شناسی خاص نمایش دهد. در بیشتر موارد این اکسید  $\text{SiO}_2$  است اما در سنگ‌های آذرین بازیک  $\text{MgO}$  و در رسوبات رس‌دار  $\text{Al}_2\text{O}_3$  بکار می‌رود. تغییرات مشاهده شده در آنها ناشی از فرایندهای نظیر تبلور تفریقی، ذوب‌بخشی، اختلاط ماسه‌ای یا

آلایش و هضم پوسته‌ای است (ویلسون<sup>۱</sup>، ۱۹۸۹). در ضمن در این نمودارها هرگاه تغییرات ترکیب شیمیایی یک مجموعه سنگی تدریجی بوده و یا با هم همپوشانی داشته باشند، می‌تواند نشانه‌ی وجود خویشاوندی بین آن‌ها بوده و در صورت عدم پیوستگی بین نقاط می‌تواند نشانه‌ی عدم خویشاوندی، و یا تأثیر عواملی مثل هضم، آلودگی و غیره تلقی گردد. به منظور بررسی دقیق رفتار ژئوشیمیایی عناصر مختلف در توده‌های نفوذی الیگودرز و لوکوگرانیت ازنا و با هدف شناخت فرایندهای تشکیل و تحول آنها از نمودارهای هارکر (۱۹۰۹) استفاده شده است.

### ۵-۳-۱-۳- تغییرات اکسیدهای عناصر اصلی در نمودارهای هارکر

نمودارهای هارکر (۱۹۰۹) روند تحول ماغما را نشان می‌دهند. تغییرات تدریجی ترکیب شیمیایی و روند معین در نمونه‌های مختلف یک سری سنگی در این نمودارها، بیانگر رابطه احتمالی بین ماغماهای آن سری می‌باشد و عدم پیوستگی نقاط و انقطاع در روندها، به شرط نمونه‌برداری کامل و جامع می‌تواند نشانه عدم ارتباط بین آنها باشد. به منظور دسترسی آسان و سریع و کاهش تعداد نمودارها، اکسیدهایی که روند تقریباً مشابهی دارند را به صورت مجموع در نظر می‌گیریم (مانند Fe<sub>2</sub>O<sub>3</sub>+MgO در مقابل SiO<sub>2</sub> و Na<sub>2</sub>O+K<sub>2</sub>O در مقابل SiO<sub>2</sub>). در نمودارهای هارکر گرانیت‌وئیدهای الیگودرز و لوکوگرانیت ازنا با افزایش SiO<sub>2</sub> مقدار Fe<sub>2</sub>O<sub>3</sub>+MgO به P<sub>2</sub>O<sub>5</sub> و CaO و Al<sub>2</sub>O<sub>3</sub>، TiO<sub>2</sub>، Fe<sub>2</sub>O<sub>3</sub>+MgO به مقدار Na<sub>2</sub>O+K<sub>2</sub>O افزایش می‌یابد (شکل ۴-۵). روندهای خطی گرانیتهای دو میکائی در این قبیل نمودارها معمولاً به فرایندهای ذوب‌بخشی پیشرونده (شیرر و پاپرک<sup>۲</sup>، ۱۹۸۷)، تغییرات ناشی از ذوب‌بخشی سنگ منشا ناهمگن (دنیل و همکاران، ۱۹۸۷)، عدم اختلاط کانیهای رستیتی (چپل و همکاران، ۱۹۸۷) و تبلور تفریقی نسبت داده شده است. اختلاط ماغما، هضم و دگرسانی گرمابی از دیگر فرایندهای ممکن محسوب می‌شود (کلارک، ۱۹۹۵). در این نمودارها گرانودیوریتها پایین‌ترین محتوای سیلیس و لوکوگرانیتها بالاترین مقدار سیلیس را به خود اختصاص

۱- Wilson

۲- Shearer & Paprke

می‌دهند (شکل ۵-۴). گرانودیوریتها بالاترین محتوای  $TiO_2$ ,  $Al_2O_3$ ,  $Fe_2O_3+MgO$  و  $CaO$  را دارند. لوكوگرانیتها بالاترین  $K_2O$  و  $Na_2O$  و گرانیتها ترکیبی حدوداً بین این دو نشان می‌دهند. محتوای متوسط  $SiO_2$  در توده‌های نفوذی الیگودرز ۶۸ درصد وزنی و در لوكوگرانیت ازنا ۷۸ درصد وزنی است. فراوانی متوسط این اکسید در پوسته بالایی (۶۶ wt%) و در گرانیتوئیدهای نوع S (۷۲ درصد وزنی) می‌باشد (چپل و هین<sup>۱</sup>، ۲۰۰۶). نگاهی کلی به روندهای مشاهده شده در این سنگها نشان‌دهنده یک روند تفریقی می‌باشد و خصوصیات ژئوشیمیایی هر سه گروه با مجموعه کانیهای مشاهده شده در آنها مطابقت می‌نماید.

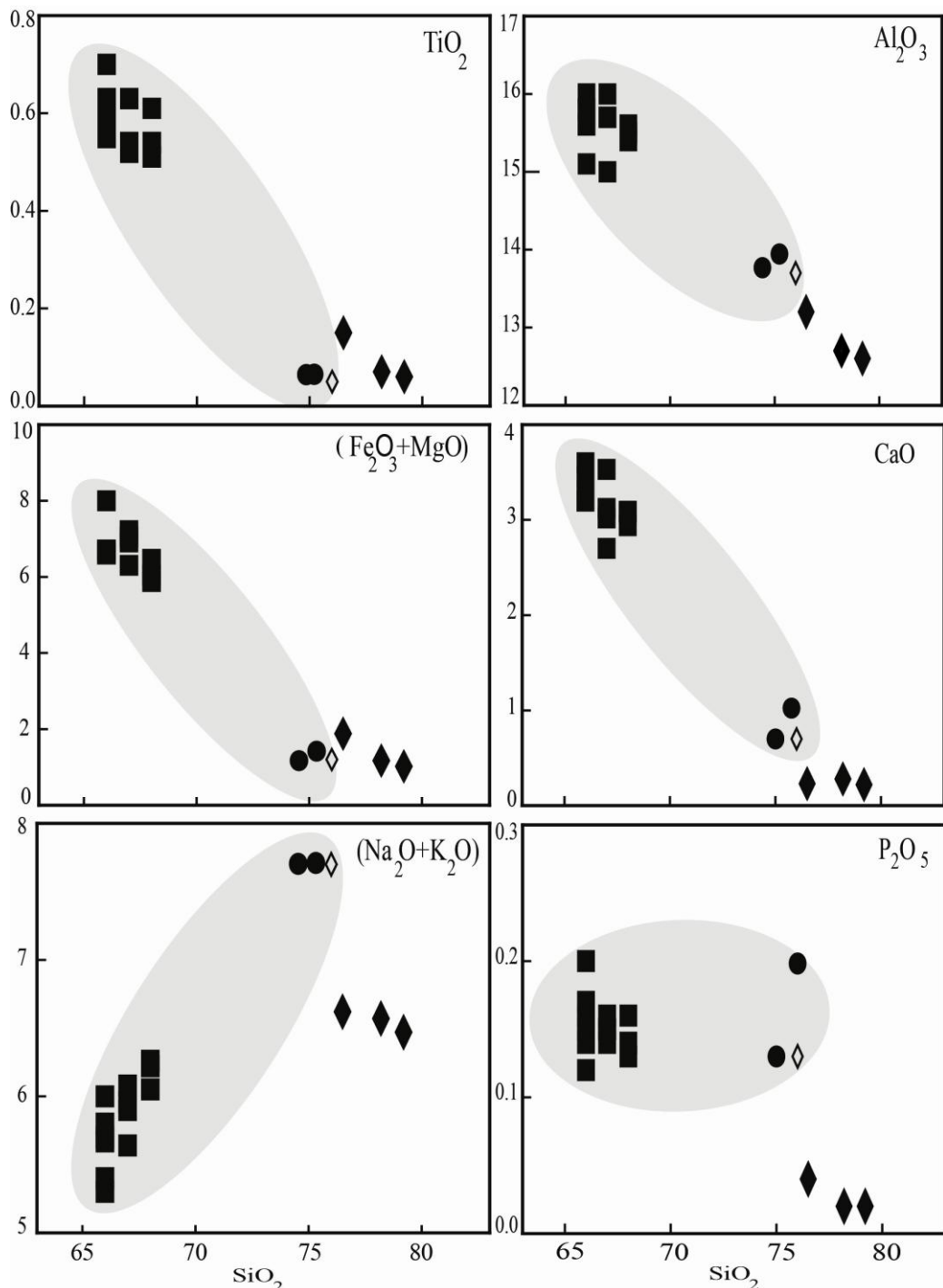
### نمودار $TiO_2$ در مقابل $SiO_2$

گرانیتوئیدهای الیگودرز و لوكوگرانیتها ازنا با فراوانی متوسط ۰/۴۲ درصد وزنی  $TiO_2$  یک روند کاهشی را به نمایش می‌گذارند که با فرایند تبلور تفریقی مطابقت دارد. فراوانی متوسط این اکسید در گرانیتوئیدهای الیگودرز و لوكوگرانیتها ازنا به ترتیب ۰/۴۸ و ۰/۰۹ درصد وزنی می‌باشد (شکل ۵-۴). فراوانی متوسط  $TiO_2$  در پوسته بالایی ۰/۵ و در گرانیتها نوع S ۰/۳۵ درصد وزنی می‌باشد (چپل و هین، ۲۰۰۶). گرانودیوریتها الیگودرز نسبت به گرانیتها  $TiO_2$  بسیار بالایی دارند که به دلیل فراوانی کانیهای تیتانیومداری مثل بیوتیت است. بر طبق شواهد پتروگرافی گرانودیوریت به خاطر داشتن بیوتیت و ایلمنیت بالاترین درصد  $TiO_2$  و لوكوگرانیتها ازنا و الیگودرز به دلیل کمبود کانیهای مافیک کمترین مقدار را دارا هستند.

### نمودار $Al_2O_3$ در مقابل $SiO_2$

فراوانی متوسط  $Al_2O_3$  در گرانیتوئیدهای الیگودرز ۱۵/۲۵ درصد وزنی و در لوكوگرانیت ازنا ۱۲/۸ درصد وزنی است. مقدار متوسط  $Al_2O_3$  در پوسته بالایی ۱۵/۲ و در گرانیتها تیپ S ۱۳/۷۴ درصد وزنی است (چپل و هین، ۲۰۰۶). با افزایش سیلیس مقدار  $Al_2O_3$  کاهش می‌یابد چون این اکسید در

<sup>۱</sup>- Chappell & Hine



شکل ۴-۵) نمودارهای هارکر عناصر اصلی برای تودههای نفوذی الیگودرز و لوکوگرانیت ازنا. علائم مشابه شکل ۱-۵ میباشد. منطقه خاکستری رنگ قلمرو نمونههای گرانیتیوئیدی الیگودرز را نشان میدهد.

مراحل اولیه انجماد مagma در ساختمان پلازیوکلاز وارد میشود. پلازیوکلاز، گارنت و کردیریت نیز از کانیهای غنی از  $Al_2O_3$  هستند (ویلاسکا، ۲۰۱۴) بنابراین کاهش مجموع این سه کانی از گرانودیوریتها به سمت لوکوگرانیتها میتواند روند کاهشی این نمودار را توجیه کند.

### **SiO<sub>2</sub> در مقابل Fe<sub>2</sub>O<sub>3</sub>+MgO نمودار**

با افزایش درصد SiO<sub>2</sub> مقدار این اکسیدها کاهش می‌یابد (شکل ۴-۵). فراوانی متوسط اکسیدهای آهن و منیزیم در گرانیت‌وئیدهای الیگودرز ۲/۷۶ درصد وزنی و در لوکوگرانیت ازna ۰/۶۸ درصد وزنی است. مقدار متوسط این اکسیدها در پوسته بالایی ۳/۳۵ و در گرانیتهای تیپ S ۱/۶۶ درصد وزنی است (چپل و هین، ۲۰۰۶). اکسیدهای آهن و منیزیم در مراحل اولیه انجماد و تفریق در ساختمان کانیهای فرومیزین وارد شده، در آنجا مصرف می‌شود. از گرانودیوریتها به سمت لوکوگرانیتها از مقدار این اکسیدها کاسته می‌شود. این موضوع با شواهد پتروگرافی و مشارکت کانیهای مافیک بیشتر در بخش‌های گرانودیوریتی به خوبی مطابقت می‌نماید.

### **SiO<sub>2</sub> در مقابل CaO نمودار**

روندهای نفوذی الیگودرز یک روند کاهشی است (شکل ۴-۵). میانگین CaO در گرانیت‌وئید الیگودرز ۲/۷۴ و در لوکوگرانیت ازna ۰/۲۵ درصد وزنی می‌باشد. فراوانی متوسط CaO در پوسته بالایی ۲/۳۶ و در گرانیتهای تیپ S ۱/۵ درصد وزنی است (چپل و هین، ۲۰۰۶). حضور پلازیوکلازهای کلسیک فراوان یکی از مهمترین دلایل بالاتر بودن مقدار این عنصر در گرانودیوریتها می‌باشد.

### **SiO<sub>2</sub> در مقابل Na<sub>2</sub>O + K<sub>2</sub>O نمودار**

فراوانی متوسط K<sub>2</sub>O+Na<sub>2</sub>O با افزایش SiO<sub>2</sub> افزایش می‌یابد (شکل ۴-۵) زیرا این اکسیدها در مراحل اولیه تبلور خیلی کم وارد ساختمان کانیها شده و در مذاب باقیمانده افزایش می‌یابند تا در نهایت وارد ساختمان فلدسپارها شوند. روند افزایشی این اکسیدها در توده‌های گرانیت‌وئیدی الیگودرز با تبلور تغییری مطابقت دارند. فراوانی متوسط Na<sub>2</sub>O+ K<sub>2</sub>O در پوسته بالایی ۷/۳ و در گرانیتهای نوع S ۷ درصد وزنی است.

درصد وزنی می‌باشد (چپل و هین، ۲۰۰۶). مقدار متوسط این اکسیدها در گرانیت‌وئیدهای الیگودرز ۶/۱۹ و در لوکوگرانیت ازنا ۶/۵ درصد وزنی است.

### نمودار $\text{SiO}_2$ در مقابل $\text{P}_2\text{O}_5$

فراوانی متوسط  $\text{P}_2\text{O}_5$  در پوسته بالایی ۰/۴ و در گرانیتهای تیپ S ۰/۱۴ درصد وزنی می‌باشد (چپل و هین، ۲۰۰۶). این مقدار در گرانیت‌وئیدهای الیگودرز ۱/۱۵ و در لوکوگرانیت ازنا ۰/۰۳ درصد وزنی می‌باشد. در شکل ۴-۵ مقدار این اکسید در گرانودیوریتها و گرانیتها تقریباً ثابت می‌ماند اما به سمت لوکوگرانیتهای ازنا کاهش می‌یابد. کاهش مشخص محتوای  $\text{P}_2\text{O}_5$  از گرانیت‌وئیدهای الیگودرز به لوکوگرانیتهای ازنا حاکی از کمبود و یا عدم حضور آپاتیت در سنگهای اخیر می‌باشد. آپاتیت با منشا مانند از گرانیتهای پرآلومین می‌تواند در مذابهایی که سازنده آنها حاوی بیش از ۵/۰ درصد وزنی  $\text{P}_2\text{O}_5$  باشد تشکیل شوند (پیچونت<sup>۱</sup> و همکاران، ۱۹۹۱). به احتمال قوی بخش زیادی از آپاتیتهای موجود در گرانیت‌وئیدهای الیگودرز رستیت باشند زیرا محتوای  $\text{P}_2\text{O}_5$  کلیه سنگهای موجود کمتر از این مقدار است و مقدار آن برخلاف روند افزایشی مشاهده شده برای گرانیت‌وئیدهای نوع S (چپل و هین، ۱۹۹۸) از سنگهای مافیک به سمت فلزیک کاهش یافته است. تنها دلیل این امر می‌تواند جدایش این کانی به صورت رستیت از بخش‌های مافیک‌تر می‌باشد.

کاهش اکسیدهای  $\text{MnO}$ ,  $\text{TiO}_2$ ,  $\text{MgO}$ ,  $\text{Fe}_2\text{O}_3$  و  $\text{Al}_2\text{O}_3$  به علت قرار گرفتن آن‌ها در ساختار کانی‌های فرومینیزین در مراحل اولیه تبلور تفریقی مانند  $\text{CaO}$  و  $\text{P}_2\text{O}_5$  به علت تغییر ترکیب پلازموکلаз از آنورتیت به سمت آلبیت و کاهش تبلور آپاتیت می‌باشد.

### ۵-۳-۲- کاربرد عناصر جزئی در نمودارهای هارکر

عناصر جزئی در یک سنگ غلظتی کمتر از ۱٪ درصد وزنی دارند. گاهی عناصر جزئی کانیهای خود را می‌سازند اما بیشتر جایگزین عناصر اصلی کانیهای سنگ‌ساز می‌شوند. در هنگام ذوب‌بخشی، عناصر جزئی تمایل به حضور در فاز مذاب یا فاز جامد (کانی) را دارند. عناصری که تمایل آنها برای حضور در فاز جامد است مانند Cr, Ni, V، عناصر سازگار هستند و عناصری که تمایل به حضور در فاز مذاب را دارند مانند Zr, Br, Sr, Rb و Th عناصر ناسازگار هستند. به منظور دسترسی آسان و سریع و کاهش تعداد نمودارها، عناصری که روند تقریباً مشابهی دارند مانند Th, U و Ta به صورت مجموع در نظر می‌گیریم و در مقابل میزان  $\text{SiO}_2$  ترسیم نموده‌ایم. بر اساس نظر رولینسون (۱۹۹۳) توانایی عناصر جزئی برای تمایز میان فرایندهای مختلف از عناصر اصلی بیشتر است زیرا:

۱- تغییرات غلظت بسیاری از عناصر نادر خاکی در سنگ بسیار بیشتر از غلظت عناصر اصلی است و گاهی اوقات این تغییرات به چندین برابر می‌رسد.

۲- در بسیاری از سیستمها تعداد عناصر نادر بیشتر از عناصر اصلی است.

۳- طیف تغییر رفتار این عناصر وسیع است و در مجموع، این عناصر نسبت به فرایندهایی که عناصر اصلی به آن حساس نیستند، تغییراتی نشان می‌دهند.

#### زیرکنیم (Zr)

فراوانی متوسط Zr در سنگ‌های گرانیتoidی الیگودرز ۱۵۰ و در لوکوگرانیت ازna ۹۲ ppm است این در حالی است که غلظت میانگین این عنصر در پوسته بالایی ۱۹۰ و در گرانیتهای نوع ۱۴۵S ppm می‌باشد (چپل و هین، ۲۰۰۶). بالاترین فراوانی Zr در سنگ‌های مافیکتر مشاهده شده و به تدریج به سمت ترکیبات فلزیکتر از مقدار این عنصر کاسته می‌شود (شکل ۵-۵) که ظاهراً با روند عادی تفرقی در تنافق است. بین دو واحد گرانودیوریتی و لوکوگرانیتی اختلاف غلظت زیادی از این عنصر

مشاهده می‌شود به گونه‌ای که در لوکوگرانیتها به شدت کاهش یافته و می‌تواند به دلیل تبلور اندک این کانی در مذاب باقیمانده باشد. بر اساس شواهد پتروگرافی از آنجا که اکثر بلورهای زیرکن موجود در گرانودیوریتها توسط بیوتیت احاطه شده‌اند و همچنین محتوای این کانی به سمت سنگهای فلزیک‌تر کاهش یافته است بنابراین نباید درگیر فرایند تبلور تفریقی شده باشد. کاهش تدریجی فراوانی Zr از سنگهای مافیک‌تر به سمت ترکیبات فلزیک‌تر با این واقعیت مطابقت می‌نماید که بلورهای زیرکن در مذابی که این گرانیتها از آن بوجود آمده‌اند حضور داشته‌اند و یا حتی مذاب از زیرکن اشباع بوده است (واتسون، ۱۹۸۷). مراکز زیرکن موروشی با استفاده از داده‌های ایزوتوپی U-Pb (به سن کربنیفر تا نئوپروتزوژنیک؛ ۶۱۱-۳۱۰ میلیون سال؛ اثنی‌عشری، ۲۰۱۲) اثبات شده است. از طرف دیگر حلالیت محدود زیرکن در مذابهای پوسته‌ای پرآلومین (میلر<sup>۱</sup> و همکاران، ۲۰۰۳) و این حقیقت که بسیاری از نمونه‌های گرانیتی موجود محتوای زیرکنیم کمتر از ۲۰۰ ppm دارند پیشنهاد می‌نماید که بخش عمدی زیرکن‌های موجود در گرانودیوریتهای الیگودرز به صورت رستیت بوده است.

### باریم (Ba)

فراوانی Ba با افزایش  $\text{SiO}_2$  در گرانیت‌های الیگودرز اندکی افزایش اما در لوکوگرانیت ازنا به شدت کاهش یافته است (شکل ۵-۵). فراوانی متوسط باریم در گرانیت‌های الیگودرز ۳۲۲ ppm و در لوکوگرانیت ازنا ۱۱/۱ ppm است که از میزان متوسط این عنصر در پوسته بالایی (۵۵۰ ppm) و گرانیت نوع S (۴۱۳ ppm) بسیار کمتر می‌باشد (چپل و هین، ۲۰۰۶). باریم به مقدار فراوان در داخل بیوتیت است و چون با افزایش  $\text{SiO}_2$  بیوتیت موجود در ترکیب کاهش می‌یابد لذا باریم نیز کاهش یافته است. این عنصر نقش یک عنصر ناسازگار در گرانیتها و لوکوگرانیتهای الیگودرز را ایفا نموده است.

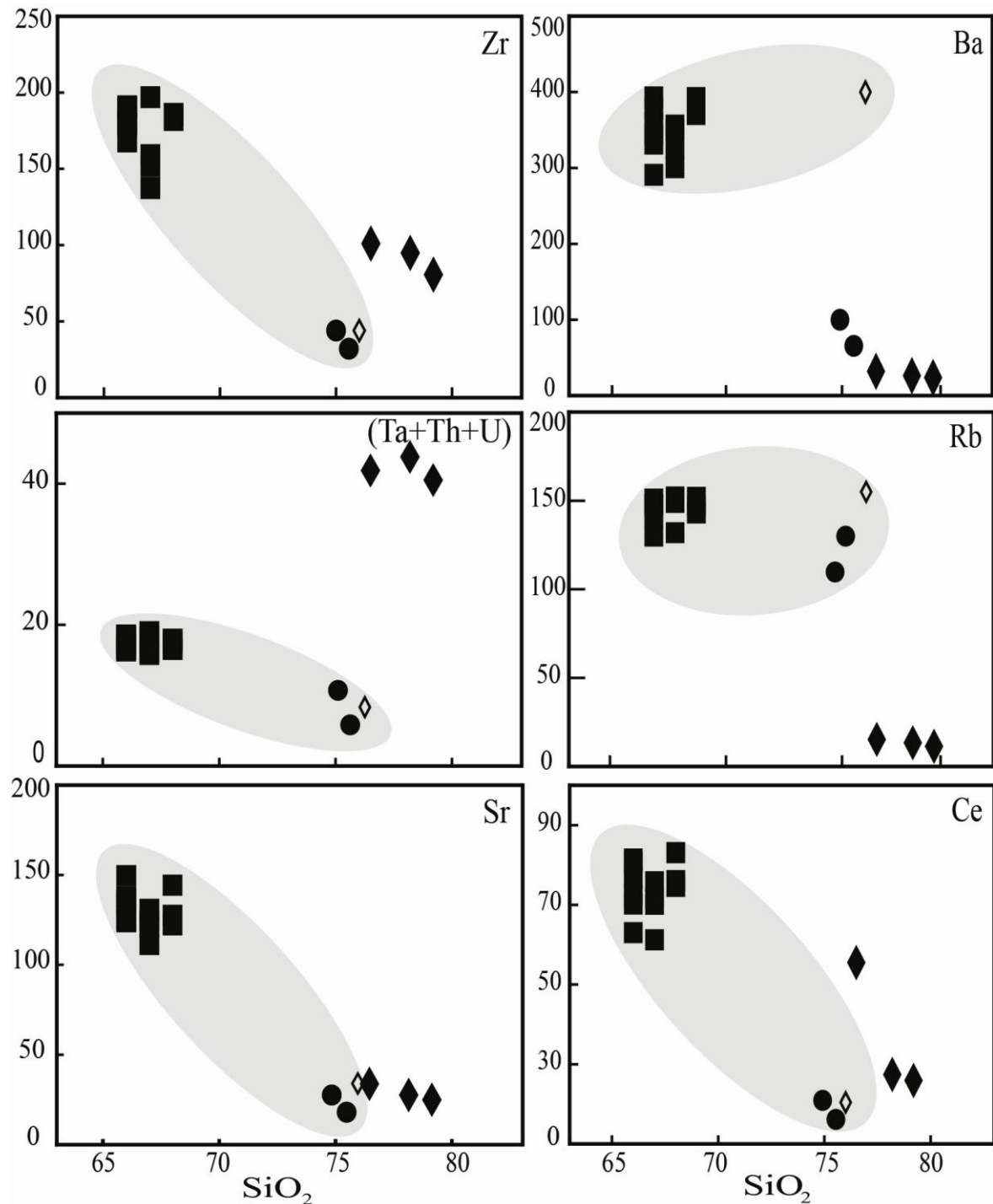
## تانتالیم (Ta)، توریم (Th) و اورانیوم (U)

تانتالم از نظر شعاع، بار یونی و هم رفتارهای ژئوشیمیایی شبیه نیوبیوم است و عنصری ناسازگار و کم تحرک به حساب می‌آید. مجموع مقدار متوسط تانتالیم، توریم و اورانیوم در گرانیتهای الیگودرز ppm ۵/۲۴ و در لوکوگرانیت ازنا ۱۴ ppm است. این عناصر در گرانیتوئیدهای الیگودرز روند کاهشی نشان می‌دهد اما در لوکوگرانیت ازنا مقدار آنها تا چند برابر افزایش یافته است (شکل ۵-۵، جدول ۵-۱). با توجه به محتوای نسبتاً بالای تانتالم در سنگهای گرانیتی ازنا (۵ درصد وزنی)، کم تحرک بودن آن و فراوانی زیاد این عنصر در پوسته، به نظر می‌رسد که سنگهای منطقه از تفریق ساده انواع بازیک حاصل نشده و احتمالاً ذوب بخشی پوسته‌ای غنی از تانتالیم در تشکیل آن نقش مهمی داشته است. مونازیت یکی از مهمترین کانیهای فرعی کنترل کننده عناصر REE (به ویژه LREE)، U و Th در طی تشکیل و تفریق گرانیتهای پرآلومین می‌باشد (میلر و همکاران، ۱۹۸۱). مقدار متوسط توریم گرانیتوئیدهای الیگودرز ۱۲/۵۳ ppm و لوکوگرانیت ازنا ۳۰/۹ ppm می‌باشد. فراوانی این عنصر در پوسته بالای ۱۰/۷ و گرانیتهای نوع S برابر ppm ۱۸ می‌باشد (چپل و هین، ۲۰۰۶). فراوانی متوسط اورانیوم در پوسته بالای ۲/۸ و در گرانیتهای نوع S، ppm ۶ می‌باشد (چپل و هین، ۲۰۰۶). در نمونه‌های گرانیتوئیدی الیگودرز فراوانی U به طور میانگین ppm ۲/۱۸ و در لوکوگرانیت ازنا ۵/۷۷ ppm می‌باشد. اورانیم همانند توریم به دلیل شعاع یونی بزرگ و همچنین بار یونی زیاد بیشتر در فازهای باقیمانده نظیر زیرکن، آپاتیت و اسفن متمرکز می‌شود و به همین دلیل با افزایش  $\text{SiO}_2$  این عنصر نیز کاهش می‌یابد.

## روبیدیم (Rb)

این عنصر در نمودارهای هارکر گرانیتوئیدهای نوع S الیگودرز نسبتاً ثابت می‌باشد و یا اندکی روند افزایشی نشان می‌دهد (شکل ۵-۵). روبیدیم کانی خاصی تشکیل نمی‌دهد و همیشه در کانیهای پتاسیم‌دار مانند بیوتیت و پتاسیم فلدسپار وجود دارد. فراوانی متوسط روبیدیم در پوسته بالای ۱۱۲

و در گرانیتهای تیپ S ۲۶۹ ppm می‌باشد (چپل و هین، ۲۰۰۶). مقدار متوسط این عنصر در



شکل ۵-۵) نمودارهای هارکر عنصر کمیاب برای توده‌های گرانیت‌وئیدی الیگودرز و لوکوگرانیت ازنا؛ علائم مشابه شکل ۱-۵ می‌باشد. محدوده خاکستری رنگ گرانیت‌وئیدهای الیگودرز را نشان می‌دهد.

گرانیتوئیدهای الیگودرز  $151 \text{ ppm}$  و در لوکوگرانیت ازنا  $13/4 \text{ ppm}$  می‌باشد که نسبت به گرانیتهای نوع S فراوانی کمتری دارد. افزایش اندک محتوای Rb به طرف بخش‌های فلزیکتر مبین فرایند تبلور تفریقی لوکوگرانیتهای الیگودرز می‌باشد. غلظت این عنصر در سنگ‌های گرانیتی ازنا به شدت کاهش یافته است. این امر می‌تواند به دلیل پایین بودن غلظت این عنصر در سنگ منشا و یا حضور کانیهای رستیتی غنی از روبيدیم (همانند بیوتیت و فلدسپار پتاسیک) باشد. بیشترین ضریب توزیع Rb در داخل بیوتیت است (جدول ۳-۵) به همین خاطر گرانودیوریتها بیشترین تمرکز این عنصر را دارا هستند.

جدول ۳-۵) ضریب توزیع عناصر در کانیهای مختلف (رولینسون، ۱۹۹۳)

پتاسیم	فلدسپار	بیوتیت	مسکوویت	کوارتز	پلازیوکلاز	
۰/۱۰۵	۰/۰۴۱	۱/۶۰۷	۳/۲۰۰	۱/۷۵۰	Rb	
۱۵/۶۳۳	-	۰/۵۰۵	۰/۴۴۷	۵/۴۰۰	Sr	
۱/۵۱۵	۰/۰۲۲	۴/۵۱۵	۲۳/۵۳۳	۱۱/۴۵۰	Ba	

### استرانسیم (Sr)

یکی از فراوانترین عناصر کمیاب در پوسته زمین می‌باشد. فراوانی متوسط این عنصر در پوسته بالایی  $350 \text{ ppm}$  و در گرانیتهای تیپ S  $96 \text{ ppm}$  می‌باشد (چپل و هین، ۲۰۰۶). مقدار متوسط استرانسیم در گرانیتوئیدهای الیگودرز  $119 \text{ ppm}$  و در لوکوگرانیت ازنا  $28/7 \text{ ppm}$  است که نسبت به میانگین پوسته بالایی کاهش چشمگیری نشان می‌دهد. نمودار Sr یک کاهش قابل ملاحظه این عنصر از گرانودیوریتها به سمت لوکوگرانیتها را نشان می‌دهد (شکل ۵-۵). چنین رفتاری با ورود ترجیحی Sr به درون پلازیوکلازهای کلسیک رستیتی و جدایش بعدی این بلورها از ماقمای تحول یافته‌تر مطابقت

می‌نماید (اسنانی<sup>۱</sup> و همکاران، ۱۹۹۱). همچنین از آنجا که این عنصر به صورت یک عنصر سازگار رفتار می‌نماید بیانگر نقش تغذیق پلازیوکلаз در تشکیل گرانیتها و لوکوگرانیتهای الیگودرز نیز می‌باشد.

### سریم (Ce)

مقدار متوسط سریم در گرانیتوئیدهای الیگودرز  $63 \text{ ppm}$  و در لوکوگرانیت ازنا  $36 \text{ ppm}$  می‌باشد و در نمودارهای هارکر با یک روند کاهشی مشخص است (شکل ۵-۵). مونازیت بالاترین ضریب توزیع سریم را در بین سایر کانیهای تشکیل دهنده گرانیت دارد ( $K=3413$ ). کاهش پیشرونده فراوانی Ce از گرانودیوریتها به سمت گرانیتها و لوکوگرانیتهای الیگودرز می‌تواند به حضور مونازیت رستیتی در بخشها مافیک‌تر و عدم حضور آن در بخشها تحول یافته‌تر نسبت داده شود (شکل ۵-۵).

با توجه به مطالب ارائه شده در بالا و داده‌های موجود در جدول ۴-۵ ملاحظه می‌شود ترکیب میانگین گرانیتوئیدهای الیگودرز به ترکیب میانگین پوسته بالایی و لوکوگرانیت ازنا به گرانیتهای نوع S شباهت بسیاری داشته و تنها اختلاف اندکی وجود دارد.

### ۴-۳-۵- نمودارهای عنکبوتی عناصر کمیاب

بررسی عناصر کمیاب بخش اصلی پترولوزی مدرن بوده و نسبت به عناصر اصلی در متمايز کردن فرایندهای پترولوزی کارایی زیادی دارد. عناصر خاکی کمیاب (REE) مفیدترین عناصر جزئی هستند که مطالعه آنها کاربردهای مهمی در سنگ‌شناسی آذرین دارد. عناصر REE شامل یکسری فلز با اعداد اتمی ۵۷ تا ۷۱ (La تا Lu) می‌باشند. اعضای با اعداد اتمی پایین این سری معمولاً عناصر کمیاب سبک (LREE) و اعضای با اعداد اتمی بالا عناصر کمیاب سنگین (HREE) نامیده می‌شوند.

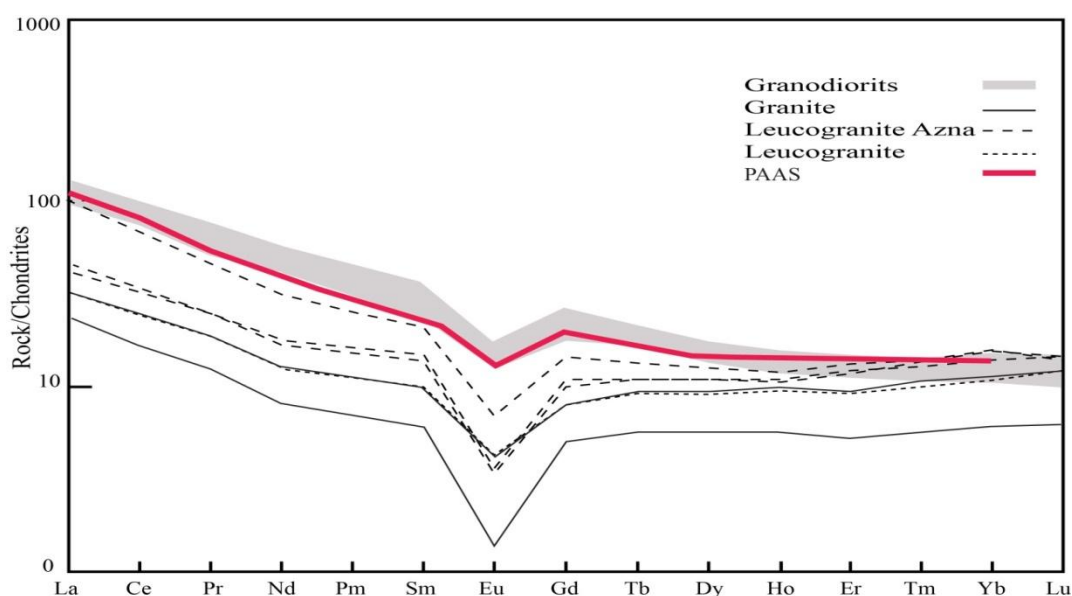
جدول ۴-۵) ترکیب میانگین گرانیت‌های الیگودرز، لوکوگرانیت ازنا، گرانیتهای نوع S (میانگین ۵۵۳ آنالیز گرانیت نوع S از نوار چین خورده لاخلان؛ چپل و هین، ۲۰۰۶) و پوسته قاره‌ای بالایی (تیلور و مکلنین، ۱۹۸۵). اکسیدهای عناصر اصلی بر حسب درصد وزنی و عناصر کمیاب بر حسب ppm می‌باشند.

	الیگودرز	ازنا	S	تیپ	پوسته بالایی
SiO <sub>2</sub>	۶۸	۷۸	۷۲/۳۵	۶۶	
TiO <sub>2</sub>	۰/۴۸	۰/۰۹	۰/۳۵	۰/۵	
Al <sub>2</sub> O <sub>3</sub>	۱۵/۲۵	۱۲/۸	۱۳/۷۴	۱۵/۲	
Fe <sub>2</sub> O <sub>3</sub>	۴/۴	۰/۵۳	۲/۴۵	۴/۵	
MnO	۰/۱	۰/۰۱	۰/۰۵	۰/۰۸	
MgO	۱/۲۶	۰/۸۳	۰/۸۷	۲/۲	
CaO	۲/۷۴	۰/۲۵	۱/۵	۴/۲	
Na <sub>2</sub> O	۲/۶۴	۶/۲	۲/۶۴	۳/۹	
K <sub>2</sub> O	۳/۵۵	۰/۳۶	۴/۳۶	۳/۴	
P <sub>2</sub> O <sub>5</sub>	۰/۱۵	۰/۰۳	۰/۱۴	۰/۴	
Rb	۱۵۱	۱۳/۴	۲۶۹	۱۱۲	
Sr	۱۱۹	۲۸/۷۸	۹۶	۳۵۰	
Ba	۳۲۲	۱۱/۱	۴۱۳	۵۵۰	
Zr	۱۵۰	۹۲	۱۴۵	۱۹۰	
Ce	۶۳/۲۵	۳۶/۳	۵۷	۶۴	
Pb	۹/۰۸	۳/۹	۲۸	۲۰	
Th	۱۲/۶۸	۳۰/۹	۱۸	۱۰/۷	
U	۲/۳	۵/۷۷	۶	۲/۸	
Ta	۱/۰۳	۵/۴۱	-	۲/۲	

الگوی عناصر نادر خاکی واحدهای مختلف گرانیت الیگودرز با استفاده از فراوانی کندریت باینتن<sup>۱</sup> (۱۹۸۴) بهنجار شده است (شکل ۴-۶). به طور کلی محتوای REE این سنگ‌های گرانیت‌هایی با افزایش SiO<sub>2</sub> کاهش می‌یابد به طوریکه بالاترین فراوانی این عناصر در گرانوڈیوریتها و کمترین مقادیر به لوکوگرانیتهای ازنا تعلق دارد. اگرچه کانیهای فرعی مانند زیرکن و مونازیت کمتر از یک درصد حجم کل سنگ را تشکیل می‌دهند ولی به میزان قابل توجهی از REE غنی هستند (ورنون<sup>۲</sup>، ۱۹۹۶؛ Bea، ۱۹۹۶). به دلیل حضور زیرکن و مونازیتهای موروثی فراوان در گرانوڈیوریتها غنی‌شدگی از REE در آنها مشاهده می‌شود.

۱- Boynton  
۲- Vernon

آنومالی منفی Eu که در همه نمونه‌های مورد مطالعه وجود دارد با تبلور تفریقی مقادیر کانی فلدسپار در مذاب باقیمانده از ذوب بخشی در منشا یا ماهیت شیمی خود منشا باقیمانده توجیه می‌شود (راسی<sup>۱</sup> و همکاران، ۲۰۰۲). میانگین نسبت  $^{*}\text{Eu/Eu}$ <sup>۲</sup> برای گرانودیوریتها برابر ۵۴/۰، گرانیتها و لوکوگرانیت الیگودرز به ترتیب ۳۵/۰ و ۴۶/۰ و در لوکوگرانیت ازنا ۳۲/۰ به دست آمده است. همانطور که در شکل ۶-۵ مشاهده می‌شود گرانیتها و لوکوگرانیت الیگودرز آنومالی منفی بیشتری از گرانودیوریتها دارند که با افزایش نقش تفریق فلدسپارها در سنگهای تحول یافته‌تر مطابقت می‌نماید. آنومالی پایین‌تر یوروپیم در نمونه‌های ازنا به دلیل تبلور تفریقی پلاژیوکلاز از مذاب نبوده و می‌تواند از ناحیه منشا به ارث رسیده باشد. گرانیتها غنی‌شدگی کمتری از LREE و آنومالی منفی متوسط تا قوی از Eu نشان می‌دهند که با تفریق یافتگی آنها و به ویژه کاهش مقدار پلاژیوکلازهای کلسیک سازگار است.



شکل ۶-۵) تغییرات فراوانی عناصر REE گرانیتوئدهای الیگودرز نسبت به کندریت (باینتن، ۱۹۸۹) بهنجار شده است. میانگین فراوانی عناصر نادر خاکی شیل متعلق به بعد از آرکئن استرالیا می‌باشد.

۱- Roosi

۲-  $\text{Eu}_N / (\text{Sm}_N * \text{Gd}_N) 0.5$

با توجه به اینکه ترکیب میانگین گرانیت‌های الیگودرز و پوسته قاره بالایی مشابهت‌هایی با هم دارد به نظر می‌رسد این گرانیتها از سنگهای با منشا پوسته‌ای بوجود آمده باشند. به همین جهت آنها را با میانگین فراوانی عناصر نادر خاکی شیل متعلق به بعد از آركئن استرالیا (PAAS<sup>۱</sup>) که از تیلور و مک‌لین (۱۹۸۵) اقتباس شده است مقایسه نموده‌ایم (شکل ۵-۶). در اینجا نیز کلیه نمونه‌ها از روند PAAS شیلها متابعت می‌نمایند و تنها سنگهای تفریق یافته‌تر (لوکوگرانیتها) REE کمتری نسبت به دارند. آنومالی منفی تر در لوکوگرانیتها ایلیگودرز با تفریق بیشتر فلدسپار مطابقت می‌نماید.

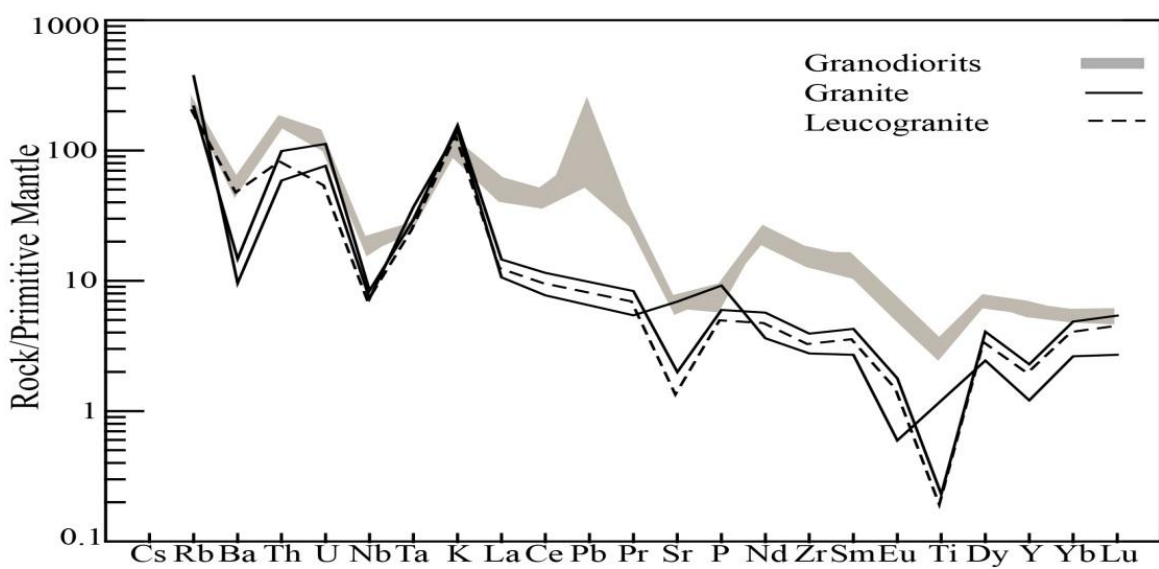
نمودار عنکبوتی (چند عنصری) عناصر کمیاب نسبت به گوشته اولیه (سان و مکدانف<sup>۲</sup>، ۱۹۸۹) برای واحدهای مختلف توده‌های نفوذی الیگودرز در شکل ۷-۵ نشان داده شده است. غنی‌شدگی از LILE نوع S و رسوبات پلیتی (تامپسون<sup>۳</sup> و همکاران، ۱۹۸۴) شباهت دارد. تهی‌شدگی از Ti و Nb از ویژگیهای ماقمای تشکیل شده در یک محیط حاشیه قاره‌ای است. گرانیتها از K غنی‌تر و از HREE FQCIERTR هستند. چون گرانیتها محصول نهایی تفریق ماقمایی هستند با واحدهای دیگر تفاوت دارند. زیرا برخی از عناصر مانند زیرکنیم و باریم در کل فرایند تحولات ماقمایی رفتار یکسانی نشان نمی‌دهند. این عناصر در ابتدا رفتار ناسازگار دارند ولی بدلیل تبلور زیرکن و بیوتیت در فاز گرانودیوریتی، در فازهای نهایی تفریق که گرانیتها هستند تهی شده‌اند. آنومالی منفی Ba و Ti و آنومالی مثبت از Rb، U و K با حضور پلاژیوکلاز و پتاسیم فلدسپار در محل منشا مطابقت دارد. هر سه گروه سنگی در الیگودرز تقریباً الگوی غنی‌شدگی و تهی‌شدگی یکسانی دارند که تایید کننده منشا مشترک، یا تشکیل در اثر فرایندهای مشابهی می‌باشند (وینتر، ۲۰۰۱).

۱- Post-Archaean Australian Shale Average

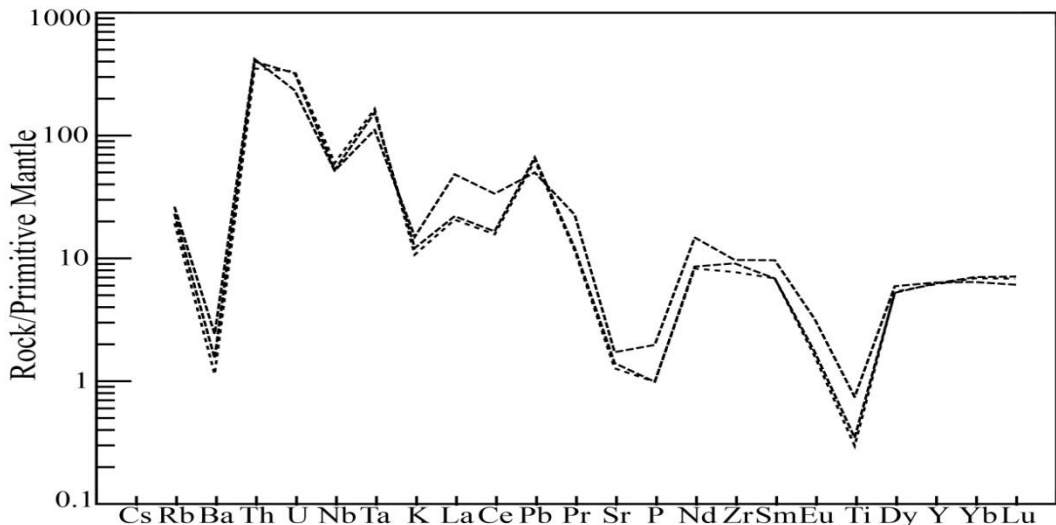
۲- Sun & McDonough

۳- Thompson

آنومالی مثبت Th، U و Pb و آنومالی منفی از Sr، Ti، Ta، Nb و Eu نسبت به گوشه اولیه می‌تواند مشخصه مذابهای باشد که از پوسته بالایی مشتق شده‌اند (رودنیک و ژئو<sup>۱</sup>، ۲۰۰۳). بنابراین آنومالی منفی Ti، P، Sr، Nb در نمودار چند عنصری نسبت به گوشه برای لوکوگرانیت ازنا از مشخصات بارز ترکیبات پوسته بالایی است. تغییرات Ba و Rb متغیر است و می‌تواند به نسبت فلدسپار و میکاها نسبت داده شود (رولینسون، ۱۹۹۳).



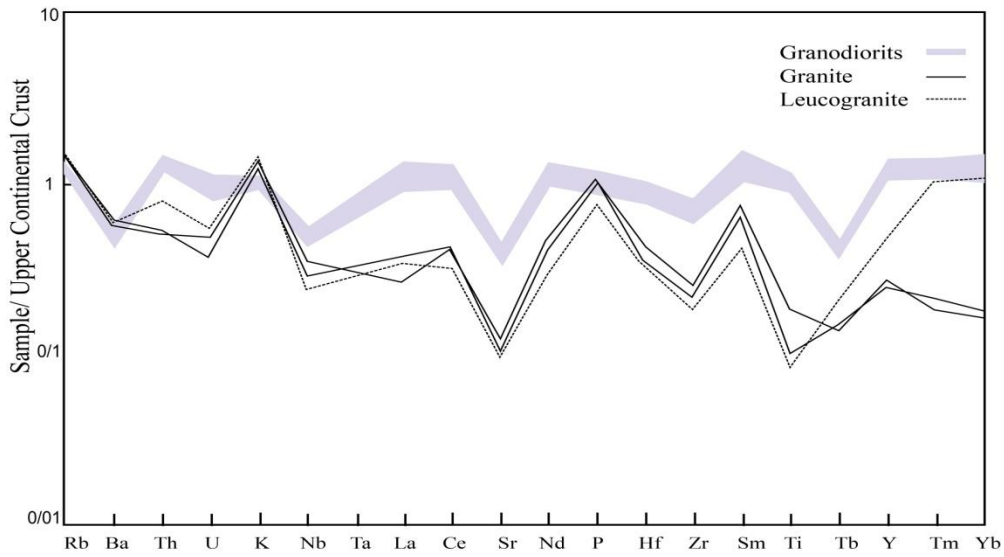
شکل ۷-۵) نمودار عنکبوتی (چند عنصری) عناصر کمیاب گرانیتoidهای الیگودرز نسبت به گوشه اولیه (سان و مکدانف، ۱۹۸۹).



شکل ۵-۸) نمودار عنکبوتوی (چند عنصری) عناصر کمیاب لوكوگرانیت ازنا نسبت به گوشته اولیه (سان و مکدانف، ۱۹۸۹).

نمودار عنکبوتوی (چند عنصری) عناصر کمیاب نسبت به پوسته بالایی (تیلور و مکلنان، ۱۹۸۵) برای واحدهای مختلف توده‌های نفوذی الیگودرز در شکل ۹-۵ نشان داده شده است. تغییرات فراوانی عناصر کمیاب بویژه گرانوودیوریتها در این نمودار نزدیک به عدد یک است و بیانگر آن است که این سنگها ماهیت پوسته‌ای دارند (۹-۵). تهی‌شدگی جزئی از Ba، Nb و Sr به ترکیب اولیه سنگ مربوط می‌باشد. تهی‌شدگی از Nb نسبت به LREE، شاخص رشد پوسته در حاشیه مخرب می‌باشد (بارث<sup>۱</sup> و همکاران، ۲۰۰۰). گرانوودیوریتها بیشترین تمرکز LREE را دارند ولی در گرانیتها میزان غنی‌شدگی از LREE کمتر از سایر واحدها است. غنی‌شدگی عناصر LREE نسبت به HREE از ویژگیهای مهم سنگهای کالک‌آلکالن است که در قوس‌های ماگمایی تشکیل می‌شوند (کاکس<sup>۲</sup> و همکاران، ۱۹۷۹).

<sup>۱</sup>- Barth  
<sup>۲</sup>- Cox



شکل ۵-۹) نمودار عنکبوتی (چند عنصری) عناصر کمیاب گرانیتوئیدهای الیگودرز نسبت به پوسته بالایی (تیلور و مکلنان، ۱۹۸۵).

## ۴-۵- ویژگیهای ژئوشیمیایی

### ۴-۵-۱- تعیین سری ماگمایی

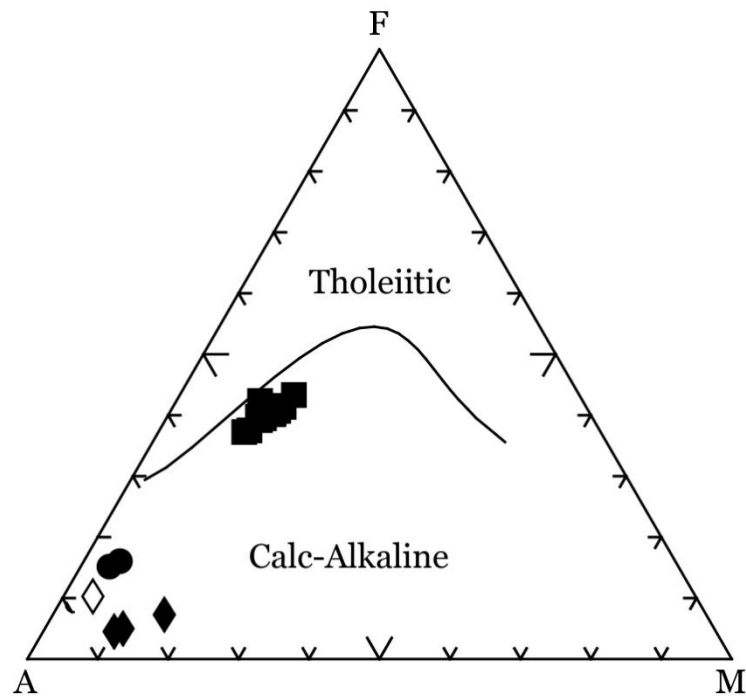
#### نمودار مثلثی AFM

به طور کلی سنگهای آذرین به سری‌های ماگمایی مختلفی تعلق دارند و محققین مختلف بر اساس ویژگی‌های ژئوشیمیایی نام‌های متفاوتی را به آنها اختصاص داده‌اند. مطابق با نظر کونو<sup>۱</sup> (۱۹۶۸) هر سری ماگمایی، مجموعه‌ای از سنگهای آذرین دارای ترکیب شیمیایی مختلف است که از تفریق ماگمای بازیک مادر یا از ذوب سنگ منشا (سنگ مادر) حاصل شده‌اند (شکل ۵-۱۰). این نمودار برای اولین بار توسط کونو (۱۹۶۸) و ایروین-باراگار<sup>۲</sup> (۱۹۷۱) به منظور تفکیک سری تولئیتی از کالک‌آلکالن پیشنهاد شده است. سه راس این مثلث از اکسیدهای  $MgO$  (قطب  $M$ ،  $Fe_2O_3+FeO$ ،  $CaO$ ) هستند.

<sup>۱</sup>- Kuno

<sup>۲</sup>- Irvine & Baragar

(قطب F) و  $\text{Na}_2\text{O}+\text{K}_2\text{O}$  (قطب A) تشکیل شده است. در نمودار مثلثی AFM نمونه‌های الیگو‌درز روند کالک‌آلکالن نشان می‌دهند.

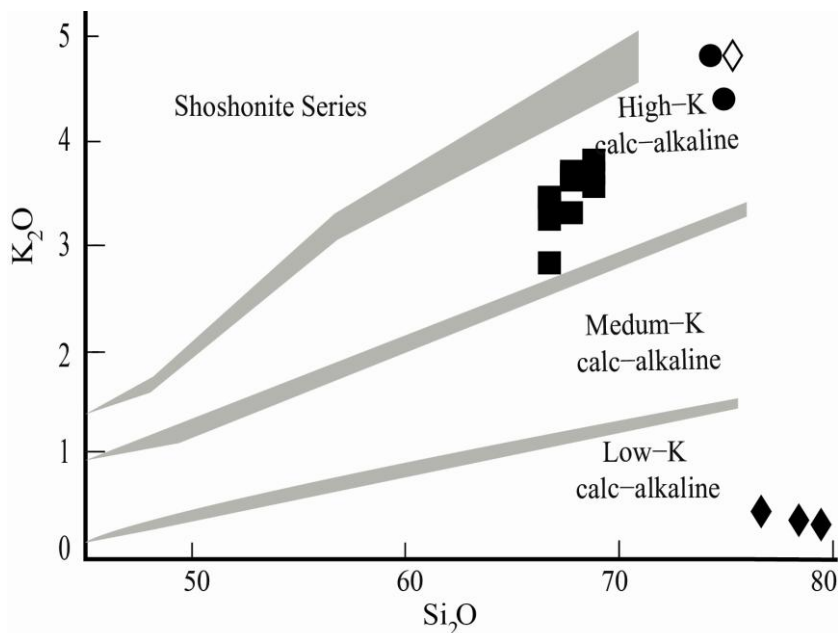


شکل ۵-۱۰) نمودار مثلثی AFM برای تفکیک سری تولئیتی از کالک‌آلکالن (ایروین-باراگار، ۱۹۷۱). علائم مشابه شکل ۵-۱ می‌باشد.

### نمودار $\text{SiO}_2$ در برابر $\text{K}_2\text{O}$

این نمودار توسط ریکوود<sup>۱</sup> و همکاران (۱۹۸۹) معرفی شده است (شکل ۵-۱۱). در این نمودار علاوه بر تفکیک سری‌های تولئیتی، کالک‌آلکالن و شوشنیتی از یکدیگر، نمونه‌ها از نظر مقدار سدیک و پتاسیک بودن نیز از هم جدا می‌شوند. اکثر نمونه‌های منطقه مورد مطالعه در محدوده کالک‌آلکالن با پتاسیم بالا قرار می‌گیرند ولی نمونه‌های لوکوگرانیتی ازنا در محدوده کالک‌آلکالن پتاسیم پایین قرار دارد که در شکل ۵-۱۱ مشخص است.

<sup>۱</sup>- Rickwood

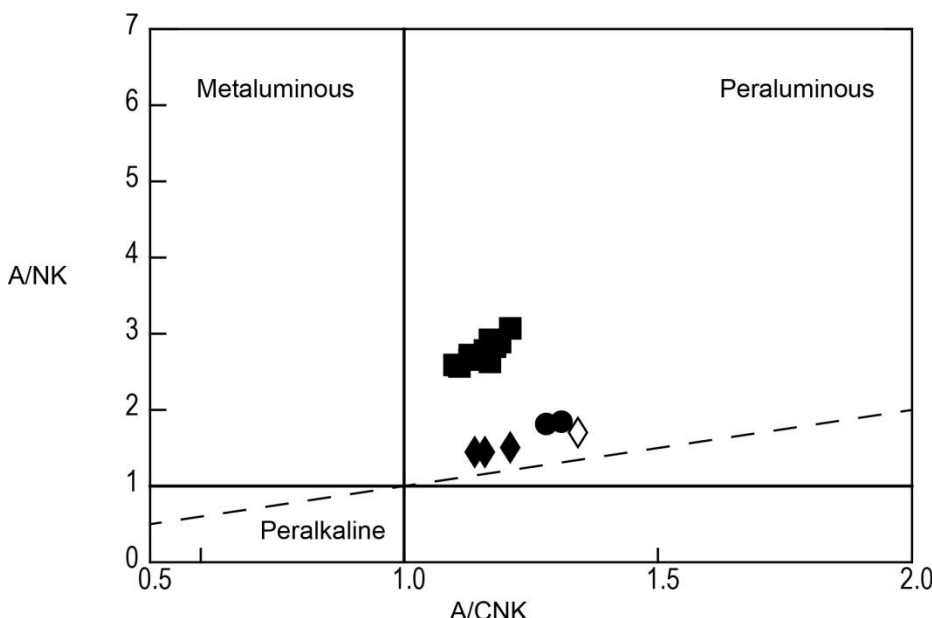


شکل ۱۱-۵) نمودار  $K_2O$  برای تفکیک سری تولثیتی، کالک‌آلکالن و شوشونیتی (ریکوود و همکاران، ۱۹۸۹)؛ علائم مشابه شکل ۱-۵ می‌باشد.

### نمودار درجه اشباع شدگی مذاب از آلومینیوم

نمودار A/NK در مقابل A/CNK که توسط مانیار و پیکولی<sup>۱</sup> (۱۹۸۹) ارائه شده براساس مقادیر مولکولی  $Al_2O_3$ ,  $K_2O$  و  $CaO$  بوده که میزان اشباع بودن نمونه‌های سنگی مورد مطالعه از آلومین را مشخص می‌کند و در تعیین منشا ماقمایی سنگهای گرانیتوئیدی از اهمیت بسیاری برخوردار است. گرانیتوئیدهای الیگودرز و لوکوگرانیت ازنا در محدوده پرآلومین قرار دارند (شکل ۱۲-۵). در این نمودار، نمونه‌های گرانوپوریتی که مافیکتر هستند درجه اشباعیت از آلومین بیشتری دارند.

<sup>۱</sup>- Maniar & Piccoli



شکل ۱۲-۵) نمودار  $A/KN$  در مقابل  $A/CNK$  برای تمایز ماغماهای پرآلومین، متاآلومین و پرآلکالن (نقل از مانیار و پیکولی، ۱۹۸۹). علائم مشابه شکل ۱-۵ می‌باشد.

### ۵-۵- نمودارهای ژئوشیمیایی تفکیک کننده گرانیتها

چپل و وايت (۱۹۷۴) برخی از ویژگیهای گرانیتهاي نوع S و I را ارائه دادند که در جدول ۵-۵ به صورت خلاصه نشان داده شده است. برای تمایز بین گرانیتها از نمودار والن<sup>۱</sup> و همکاران (۱۹۸۷) استفاده شده است (۱۳-۵-الف و ب) که در آن اکثر نمونههای مورد مطالعه در محدوده گرانیتهاي S واقع شدهاند. گرانیتهايی که ویژگیهای شیمیایی، ایزوتوبی و سایر خصوصیات آنها بیانگر آن است که آنها از سنگهایی با منشا رسوبی یا پوسته بالایی مشتق شدهاند گرانیتهاي نوع S می‌نامند (چپل و وايت، ۱۹۷۴ و ۱۹۸۸). کم بودن Na و Ca، باعث افزایش شاخص اشباعیت از آلومین می‌شود به طوری که کردیریت به عنوان یک کانی مافیک حضور پیدا می‌کند. گرانیتهاي نوع I در زون فرورانش حاشیه قاره‌ها یا جزایر قوسی یافت می‌شوند. منشا آنها خارج از محدوده پوسته قاره‌ای است و حاصل تفریق ماغماي کالکآلکالن یا بازالت‌های جزایر قوسی است. گرانیتهاي نوع I از نوع متاآلومین هستند. شاند (۱۹۴۹) با استفاده از نسبت  $A/CNK$  در مقابل  $A/NK$  اقدام به تفکیک گرانیتهاي نوع S و I نمود. بر

۱- Whalen

طبق این نمودار نمونه‌های مورد مطالعه در محدوده گرانیتهای نوع S واقع می‌شوند و ماهیت پرآلومین دارند (شکل ۱۳-۵). چپل (۲۰۱۰) با استفاده از شیمی عناصر اصلی گرانیتها را به نوع S و I طبقه‌بندی نمودند که در این نمودار نیز گرانوودیوریتهای الیگودرز و لوکوگرانیت ازنا در محدوده گرانیتهای نوع S قرار دارند (شکل ۱۳-۵).

جدول ۵-۵) خصوصیات گرانیتهای نوع S و I. (چپل، ۲۰۱۰)

گرانیتهای نوع I	گرانیتهای نوع S
کانیهای پرآلومین: معمولاً هورنبلند و در نمونه‌های مافیک بیوتیت به صورت حاشیه‌ای؛ اسفن به صورت کانی فرعی	کانیهای پرآلومین: بیوتیت و مسکویت؛ فاقد هورنبلند؛ کردیریت و یا سایر آلومینوسیلیکات‌ها به مقدار کم
زینولیت غنی از هورنبلند	زینولیت پلیتی یا کوارتز
زینولیتهای رسوبی دگرگون شده	زینولیتهای رسوبی دگرگون شده
Na <sub>2</sub> O نسبتاً بالا	Na <sub>2</sub> O نسبتاً پایین
A/CNK < ۱/۱	A/CNK > ۱/۱
طیف تغییرات ترکیبی گسترده از مافیک تا فلزیک	دامنه تغییرات بیشتر در محدوده سنگهای فلزیک
نمودارهای تغییرات منظم	نمودارهای تغییرات نامنظم
دیوپسید نرماتیو	کرونودوم نرماتیو > ۱ درصد

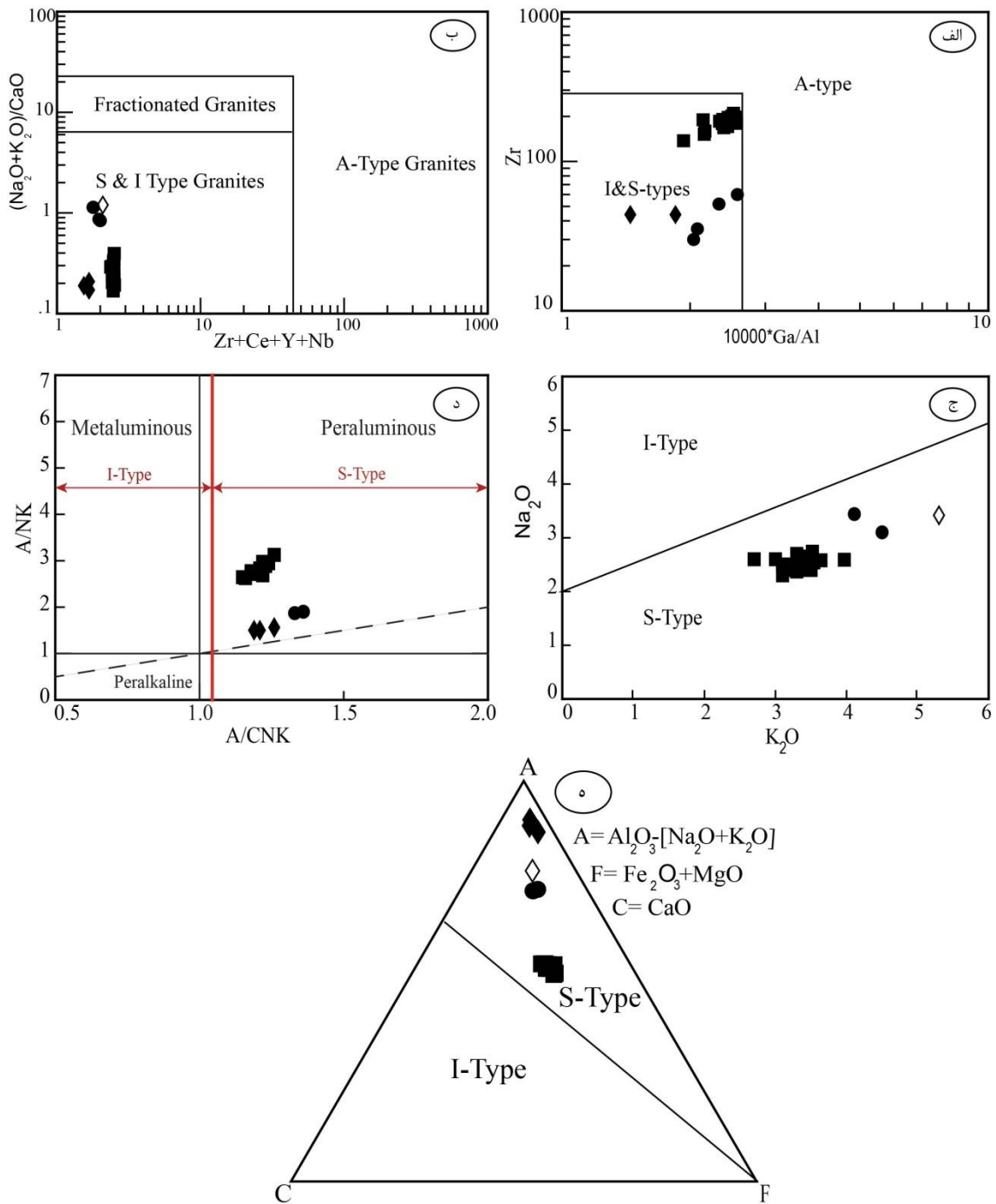
## نتیجه‌گیری

- ترکیب ژئوشیمیایی گرانیتهای الیگودرز و لوکوگرانیت ازنا به ترکیب میانگین گرانیتهای نوع S و پوسته قاره بالایی شباهت زیادی دارند.

- سنگهای گرانیتوئیدی الیگودرز از نوع کالکالکالن پتابسیم بالا و لوکوگرانیتهای ازنا کالکالکالن با پتابسیم پایین هستند.

- همه نمونه‌های مورد مطالعه از نظر درجه اشباع از آلومین نیز جز انواع سنگهای پرآلومین هستند.

- نتایج ژئوشیمیایی بدست آمده از تغییرات عناصر نادر خاکی نیز نقش بارز پوسته را در تغییر و تحولات مagmaی سازنده گرانیتوئیدهای الیگودرز نشان می‌دهند.



شکل ۵-۱۳) نمودارهای ژئوشیمی متمایز کننده گرانیتهای نوع S و I؛ (الف) و (ب) تفکیک گرانیتوئیدهای نوع A از گرانیتوئیدهای نوع S و I (والن و همکاران، ۱۹۸۷)؛ (ج) نمودار ژئوشیمیایی  $K_2O$  در برابر  $Na_2O$  برای تفکیک گرانیتهای I و S (چپل و وايت، ۱۹۷۴)؛ (د) نمودار A/NK-A/CNK (Shand, 1949) جهت تعیین ماهیت توده گرانیتوئیدی مورد مطالعه و تفکیک گرانیتهای نوع S و I؛ (ه) نمودار ACF نشان دهنده ارتباط بین شیمی و کانی شناسی گرانیتهای I و S (چپل و وايت، ۱۹۹۲)؛ علامت مشابه شکل ۱.

- تغییرات  $\text{Rb}$ ,  $\text{K}_2\text{O}$ ,  $\text{CaO}$ ,  $\text{FeO}$ ,  $\text{MgO}$ ,  $\text{TiO}_2$  و REE گرانودیوریت‌ها پیشنهاد می‌کند که پلاژیوکلаз، پتاسیم‌فلدسبار و بیوتیت (احتمالاً همراه با ایلمنیت و سیلیکات‌های فرعی) تفریق یافته‌اند.

- غنی‌شدگی این سنگها از عناصر LILE (شامل  $\text{K}$ ,  $\text{Rb}$ ,  $\text{Th}$  و  $\text{U}$ ) و تهی‌شدگی از عناصر HFSE ( $\text{Ti}$ ) با الگوی گرانیت‌های مرتبط با مناطق فرورانش همخوانی دارد.

# فصل ششم

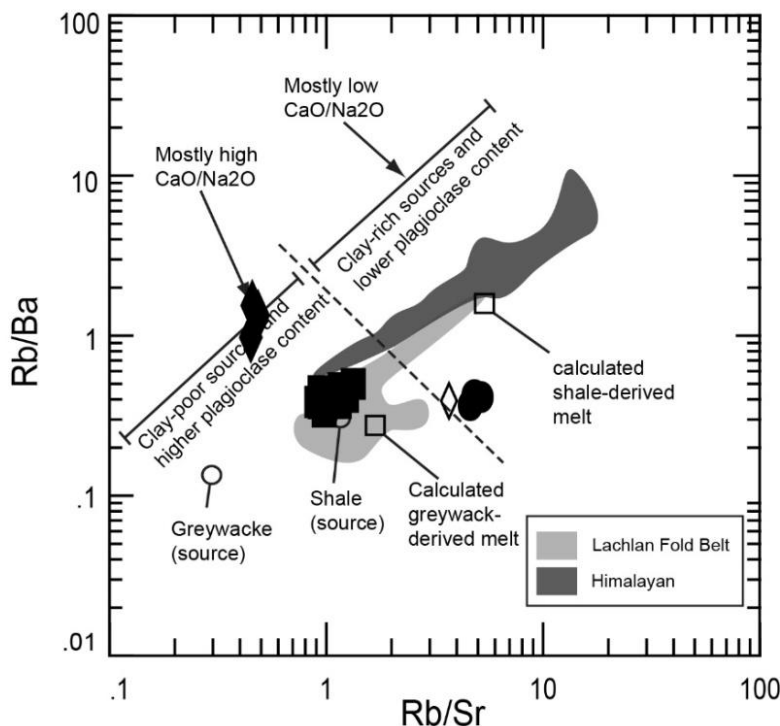
شاو جاگاھ تکستونوماچایی

## مقدمه

در این فصل تلاش می‌شود تا با استفاده از شواهد صحرایی و نتایج بدست آمده از ویژگی‌های سنگ‌شناسی و ژئوشیمیایی، مدل پتروژنتیکی مناسبی جهت تحولات و خاستگاه ماقمایی ارائه شود. ابتدا نمودارهای تعیین منشاء و سپس نمودارهای محیط تکتونیکی گرانیتوئیدهای الیگودرز و لوکوگرانیت ازنا مورد بررسی قرار گرفته و در ادامه مدل پتروژنتیکی مناسبی جهت تحولات و خاستگاه ماقمایی ارائه می‌شود.

## ۱-۶- منشا

برای تعیین منشا گرانیتوئیدهای الیگودرز و لوکوگرانیت ازنا از نمودار سیلوستر (۱۹۹۸) استفاده شده است. گرانیتوئیدهای مورد مطالعه منشائی بسیار مشابه با گرانیتوئیدهای به شدت پرآلومین نوار چین خورده لاخلان دارا می‌باشند (شکل ۱-۶). نسبتهای  $\text{CaO}/\text{Na}_2\text{O}$  در گرانیتوئیدهای پرآلومین نوع S توسط مقدار پلازیوکلاز در سنگ منشا کنترل می‌شود به گونه‌ای که مذابهای پرآلومین تولید شده از منابع غنی از رس (فقیر از پلازیوکلاز) تمایل دارند تا نسبتهای  $\text{CaO}/\text{Na}_2\text{O}$  کمتری ( $<0.3$ ) از مذابهای مشتق شده از منابع فقیر از رس (غنى از پلازیوکلاز) ( $>0.3$ ) داشته باشند (سیلوستر<sup>۱</sup>، ۱۹۹۸). مذابهای مشتق شده از پسامیتها نسبتهای  $\text{Rb}/\text{Ba}$  و  $\text{Rb}/\text{Sr}$  بالاتری نسبت به منشا خود دارند. نسبت  $1/3 = \text{CaO}/\text{Na}_2\text{O}$  برای نمونه‌های سنگی مورد مطالعه همراه با نمودار توصیفی سیلوستر (۱۹۹۸) یک منشا فقیر از رس مانند متاگریوک را برای گرانیتهای مورد مطالعه محتمل می‌داند.



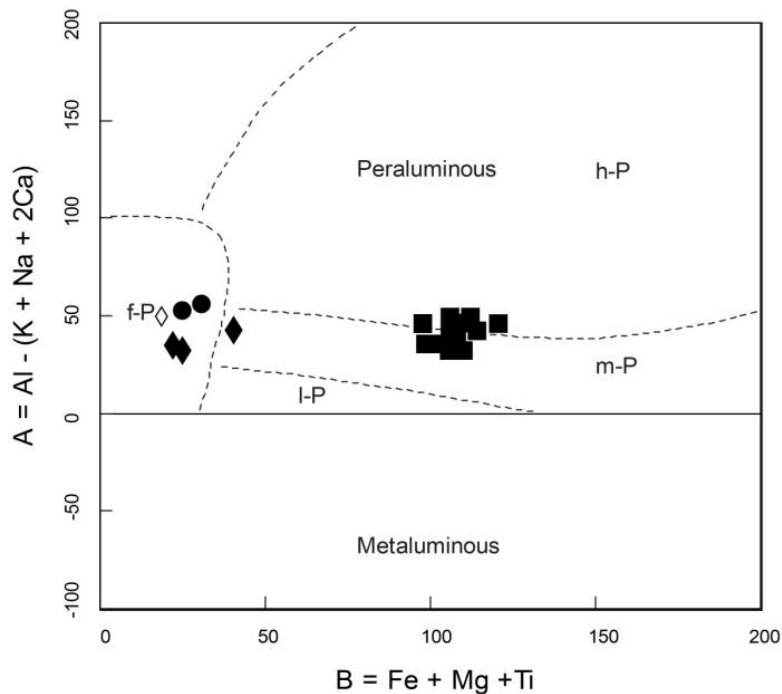
شکل ۱-۶) نمودار  $Rb/Sr$  در مقابل  $Rb/Ba$  برای تعیین منشا گرانیت‌وئیدهای به شدت پرآلومین، قلمرو گرانیت‌های هیمالیا و نوار چین خورده لاخان، خط ناپیوسته و مذابهای محاسبه شده از سیلوستر (۱۹۹۸) اقتباس گردیده است. علائم مشابه شکل ۱-۵ می‌باشد.

نمودار دوتایی ویلاسکا و همکاران (۱۹۹۸) که بر اساس پرآلومینیته  $A = Al - (K + Na + 2Ca)$  در مقابل شاخص تفریق  $B = Fe + Mg + Ti$  می‌باشد برای برآورد درجه اشباع بودن از آلومینیوم و تعیین منشا گرانیت‌های الیگودرز و ازنا استفاده شده است (شکل ۲-۶). همه این پارامترها که بر اساس میلی کاتیون محاسبه شده است از معادله زیر بدست می‌آید:

$$Element_i = 1000 * \{Oxide_i (\text{wt.\%}) / MW (Oxide_i)\} * X(Element_i)$$

در این فرمول  $MW$  معرف وزن مولکولی اکسید  $i$  و  $X$  تعداد اتمهای عنصر  $i$  می‌باشد. روند گرانیت‌وئیدهای الیگودرز و لوکوگرانیت ازنا در این نمودار که از گرانیت‌وئیدهای به شدت پرآلومین تا گرانیت‌وئیدهای پرآلومین فلزیک در تغییر است به جایگاه ماقمایی اشاره دارد که در آن لوکوگرانیتها مذابهای به شدت تفریق یافته یا باقیمانده ماقماهای پرآلومین هستند. این سنگها به دلیل جدایش کانیهای رستیتی به طور تدریجی ماهیت به شدت پرآلومین خود را به سمت سنگهای تفریق یافته از

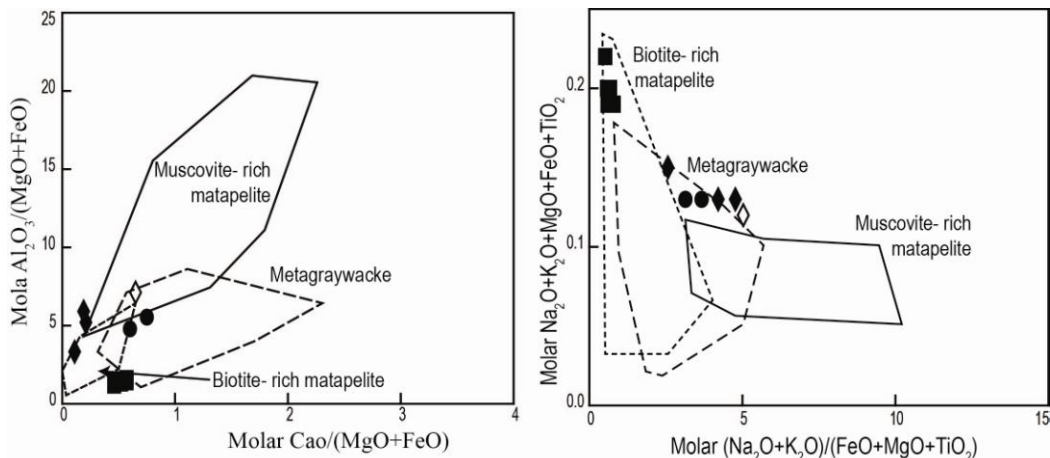
دست داده‌اند. دو قلمرو ترکیبی متفاوت متالومینها (نواحی با  $A < 0$ ) و پرآلومینها (نواحی با  $A > 0$ ) بر اساس دبون و لوفور (۱۹۸۳) متمایز شده‌اند.



شکل ۲-۶) نمودار A-B از ویلاسکا و همکاران (۱۹۹۸). این نمودار نشان دهنده تغییرات کلی عناصر اصلی برای جایگاه‌های گرانیتی با درجات اشباع از آلومینیوم متفاوت است. گرانیتوئیدهای فلزیک پرآلومین (f-p)، گرانیتوئیدهای به شدت پرآلومین (h-p)، گرانیتوئیدهای نسبتاً پرآلومین (m-p) و گرانیتوئیدهای کمتر پرآلومین (I-p) علائم مشابه شکل ۱-۵ می‌باشد.

برای تعیین منشا گرانیتوئیدهای الیگودرز و لوکوگرانیتهای ازنا از نمودار لی<sup>۱</sup> و همکاران (۲۰۰۳) استفاده شده است. بر طبق این نمودار منشا گرانودیوریتهای الیگودرز متاپلیتهای غنی از بیوتیت و گرانیتها و لوکوگرانیتهای ازنا از ذوب‌بخشی متاگریوک می‌باشد. مagmaهای مشتق شده از منشا متاپلیتی و متاگریوکی معمولاً از ذوب آبزدایی مسکوویت و یا بیوتیت بوجود می‌آیند که این واکنش از مطالعات تجربی ویلزوف و مونتل (۱۹۹۴) اثبات شده است. بنابراین کانیهای باقیمانده و درجه ذوب

بخشی می‌تواند تعیین کننده تغییرات ترکیب مودال سنگ مادر یک توده را نشان دهد (بنیتو و لوپز<sup>۱</sup>، ۱۹۹۲).



شکل ۳-۶) نمودار لی و همکاران (۲۰۰۳) جهت تعیین منشا گرانیت‌وئیدهای الیگوذرز و لوکوگرانیتهای ازن. محورهای X و Y این نمودار بر حسب مولار محاسبه شده است. علائم مشابه شکل ۱-۵ می‌باشد.

## ۲-۶- دمای اشباع از زیرکن

برای تعیین دمای ماغما در هنگام تبلور زیرکن استفاده از دمای اشباع از زیرکن روش تخمینی مناسبی می‌باشد. استفاده از این روش راه مطمئنی برای تعیین مشارکت تفریق کانیهای رستیتی در سرنوشت یک جایگاه گرانیتی است. برای محاسبه حلالیت زیرکن، دما و ترکیب عناصر اصلی مذاب، واتسون و هریس (۱۹۸۳) فرمول زیر را ارائه کردند:

$$\ln D^{\text{Zr,zircon/melt}} = \{-3/8 - [0/85(M-1)]\} + 12900/T$$

که در آن  $D^{\text{Zr,zircon/melt}}$  برابر است با نسبت غلظت Zr ppm بر حسب ppm در مذاب به همین غلظت در مذاب اشباع شده (۴۷۶۰۰ ppm)، M یک فاکتور ترکیبی است  $[(\text{Na}+\text{K}+2\text{Ca})/\text{Al}\times\text{Si}]$  (همگی در کسر کاتیونی) که بسته به حلالیت زیرکن در محتوای  $\text{SiO}_2$  و درجه اشباعیت از آلومینیوم مذاب

<sup>۱</sup>- Benito & López

محاسبه می‌شود.  $T$  نیز دماست و بر حسب کلوبن به دست می‌آید که باید به درجه سانتی‌گراد تبدیل شود. میلر و همکاران (۲۰۰۳) برای محاسبه  $T$  رابطه زیر را ارائه کردند:

$$T_{\text{Zr}} = 12900[2/95 + 0/85M + \ln(469000/\text{Zr}_{\text{melt}})]$$

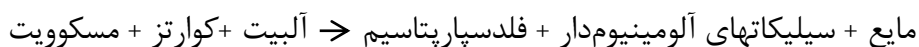
بر اساس فرمول بالا دمای محاسبه شده برای گرانوودیوریتها ۷۷۵ تا ۸۱۱ درجه سانتی‌گراد و برای گرانیتها ۷۲۱ تا ۷۲۱ درجه سانتی‌گراد است (جدول ۱-۶). این دما برای لوکوگرانیتها به دلیل حضور زیرکن بسیار اندک محاسبه نشده است. بالاترین دمای تشکیل این ماغما به طور میانگین ۷۸۰ درجه سانتی‌گراد است که از غلظت زیرکن بدست آمده و نشان دهنده گرانیتهاي نوع سرد ( $T < 800$  C) معرفی شده توسط میلر و همکاران (۲۰۰۳) می‌باشد.

جدول ۱-۶) دمای اشباع از زیرکن بر حسب درجه سانتی‌گراد برای گرانیتوئیدهای الیگودرز

Row names	M	Zr (ppm)	دمای اشباعیت از زیرکن
ES-14	۱/۳۷۲	۱۰۲/۱	۷۹۷/۷
BF-12	۱/۳۶۸	۱۰۱/۷	۷۷۵
BF-33	۱/۳۴۲	۹۹/۵	۷۸۵/۵
ES-15	۱/۳۴۸	۱۰۰/۱	۸۰۱
ES-9	۱/۳۵۶	۱۰۰/۷	۷۹۳/۳
SF-42	۱/۳۸	۱۰۲/۸	۷۸۶/۹
ES-5	۱/۳	۹۶	۸۱۱/۸
ES-11	۱/۴۰۲	۱۰۴/۷	۸۰۱/۲
SF-46	۱/۳۵۵	۱۰۰/۶	۸۰۲/۳
BF-51	۱/۳۷۶	۱۰۲/۵	۸۰۲/۶
SH-23	۱/۳۶۸	۱۰۱/۷	۸۰۰/۹
BF-10	۱/۳۷۸	۱۰۲/۶	۷۹۸/۷
ES-16	۱/۳۳۲	۹۸/۷	۸۰۱/۲
ES-20	۱/۱۵۲	۸۴/۷	۶۹۹/۴
ES-72	۱/۲۴۲	۹۱/۴	۶۹۹/۲

تولید ماغماي گرانیتی از طریق ذوب بخشی اساساً توسط واکنشهای شکست بیوتیت و مسکوویت کنترل می‌شود (کلمنز و ویلزو夫، ۱۹۸۷). مهمترین واکنش ذوب آبزدای مسکوویت که در دمای

حدود ۶۶۵ درجه سانتیگراد و فشار ۵ کیلوبار آغاز می‌شود (استور<sup>۱</sup>، ۱۹۷۲) بدین صورت است:



براساس این مطالعات با اضافه شدن Ca (محتوای آنورتیت در پلازیوکلاز) واکنش به سمت دماهای بالاتر (یعنی از ۶۲۵ تا ۷۰۰ درجه سانتیگراد در فشار ۵ کیلو بار) پیش می‌رود (تامسون و الگر<sup>۲</sup>، ۱۹۷۷). چنانچه مسکوویت حاوی Fe, Mg و Ti باشد کانیهای دیگری از قبیل کردیریت و بیوتیت ممکن است تشکیل شود (پاتینو<sup>۳</sup> و همکاران، ۱۹۹۸). به طور کلی، به دلیل محدوده ترکیبی کوچک، ذوب آبزدای مسکوویت در یک واکنش تک متغیره اتفاق می‌افتد و اغلب حجم کمی مذابهای پرآلومین فلزیک در دماهای کمتر از ۷۵۰ درجه سانتیگراد حاصل می‌شود. شکست بیوتیت در دماهای بالاتر از مسکوویت در نتیجه حضور کوارتز و پلازیوکلاز  $\pm$  سیلیکاتهای آلومینیومدار رخ می‌دهد. بسته به ترکیب پروتولیت و فشار موجود واکنش‌های شکست بیوتیت به تشکیل یک یا چند کانی مافیک پریتکتیک+مایع منتهی خواهد شد.

مایع  $\pm$  گارنت  $\pm$  کردیریت  $\pm$  پتاسیم‌فلدسبار  $\rightarrow$  بیوتیت+کوارتز+پلازیوکلاز در این واکنش کانیهای اسپینل Fe-Mg، منیتیت تیتانیومدار و ایلمنیت، احتمالاً روتیل، به علاوه بیوتیتهای جدید (با Ti, Mg بیشتر و سرشار از آلومینیم) (پاتینو و جانستون<sup>۴</sup>، ۱۹۹۱) و ارتوا-امفیبیول/هورنبلند کلسیک تشکیل می‌گردند. منحنی‌های واکنش آبزدای بیوتیت در فضای P-T به عدد منیزیم و محتوای Ti بیوتیت و عدد منیزیم و  $\text{TiO}_2$  سنگ میزبان وابسته است.  $X_{\text{Mg}}$  بالاتر و محتوای تیتانیم بیشتر، منحنی از بین رفتن بیوتیت را به دماهای بالا سوق می‌دهد (ویلزوف و مونتل، ۱۹۹۴).

۱- Storre

۲- Thompson & Algor

۳- Patino

۴. Patiño & Johnston

با این فرض که دمای لیکوئیدوس برای ماقمای گرانیتی الیگودرز ۷۸۰ درجه سانتیگراد می‌باشد، چنین مذا بهایی باید در فشار ۴۰۰ تا ۵۰۰ مگاپاسکال (و یا بالاتر) و از طریق ذوب آبرزای بیوتیت تشکیل شده باشد. دلیل احتمالی برای اینکه چرا مقداری از بیوتیتها ذوب نشده و به صورت رستیت باقی‌مانده، اینست که دما در گرانیت مذبور از دمای لازم برای واکنش شکست بیوتیت در مقیاس بزرگ و در غیاب سیال (دمای بالاتر از ۸۳۰ تا ۸۵۰ درجه سانتیگراد و فشار بالاتر از ۷ کیلوبار) در سنگهای منشا بالاتر نرفته است (جدول ۶-۲). به احتمال زیاد مهمترین عامل ذوب برای سنگهای رسوبی، ماقمای مافیک منشا گرفته از گوه گوشته‌ای (دایکهای میکرودیوریتی) هستند که در قاعده پوسته بالایی قرار گرفته است.

جدول ۶-۲) تولید کانیهای رستیتی در نبود سیال در انواع سنگهای مختلف (رودنیک<sup>۱</sup>، ۱۹۹۰)

ترکیب والد	آمفیولیت	تونالیت	گرانوپکس	گریوگ	پلیت
کانیها	Hb-opx-cpx-pl-Ilm-Pl-cpx-opx	Cpx-pl	Cpx-opx-ol-Qtz	Pl-Gt-opx-Q	Gt-Q-pl-sil
واکنش ذوب	شکست هورنبلند	شکست هورنبلند	شکست بیوتیت	شکست بیوتیت	
دمای واکنش	۹۷۵-۹۲۵°C	۸۵۰-۸۲۵°C	۸۵۰-۸۲۵°C	۸۵۰-۸۲۵°C	۸۷۵-۸۵۰°C
درصد مذاب	% ≥ ۳۵	% ≥ ۴۰	% ≥ ۴۰	% ≥ ۳۵	% ≥ ۴۰
ترکیب مذاب	تونالیت	گرانوپکس	گرانیت	گرانیت	گرانیت

### ۳-۶- بحث

نمودارهای تغییرات عناصر اصلی و کمیاب گرانیتوئیدهای الیگودرز و لوکوگرانیت ازنا روند خطی را نشان می‌دهند (شکل‌های ۴-۵ و ۵-۴). ذوب‌بخشی، هضم و تبلور تفریقی (AFC)، اختلاط ماقمایی و تفریق می‌تواند چنین روندهایی را توجیه کند (وال و همکاران، ۱۹۸۷) اما با استفاده از نمودارهای هارکر نمی‌توان این فرایندها را از یکدیگر متمایز کرد. روندهای خطی مشاهده شده در نمودارهای تغییرات عناصر همراه با کاهش فراوانی عناصر کمیابی مانند Zr و Ce از گرانوپکس به سمت لوکوگرانیتها با روند عادی فرایند تبلور تفریقی به عنوان تنها عامل موثر در تحول ماقمایی مغایرت

۱- Rudnick

داشته و مدل جدایش کانیهای رستیتی را تایید می‌نماید. از طرف دیگر، افزایش مقادیر  $\text{Na}_2\text{O}$ ,  $\text{K}_2\text{O}$  و کاهش مقادیر  $\text{Rb}$  و  $\text{CaO}$ ,  $\text{TiO}_2$ ,  $\text{MgO}$ ,  $\text{FeO}$ ,  $\text{Al}_2\text{O}_3$  تبلور نمودارهای هارکر مبین فرایند تبلور تفریقی می‌باشد. بنابراین شواهد ژئوشیمیایی نیز همانند مطالعات پتروگرافی حضور کانیهای رستیتی را تایید نموده و می‌توان تنوع ترکیبی مشاهده شده در گرانوپوریتها را به دلیل درجات مختلف جدایش مذاب در تعادل با ماغما و تغییرات موجود در گرانیتها را به تبلور تفریقی نسبت داد. در فرایند ذوب‌بخشی، غنی‌شدگی از عناصر ناسازگار و تغییرات اندکی در عناصر سازگار انتظار می‌رود (الگری<sup>۱</sup> و همکاران، ۱۹۷۷). از آنجا که این گرانیتها تغییرات اندکی برای عناصر ناسازگار دارند، ذوب‌بخشی نمی‌تواند تنوع ترکیبی شیمی آنها را توضیح دهد. بر اساس یافته‌های بnard<sup>۲</sup> و همکاران (۱۹۸۵) می‌توان گفت که افزایش فراوانی تورمالین همراه با لوکوگرانیتها، به غنی‌شدگی تدریجی B در مذاب باقیمانده اشاره دارد که بهترین توضیح برای فرایند تبلور تفریقی است. با توجه به مشابهت ترکیبی مشاهده شده در میانگین فراوانی عناصر نادر خاکی گرانوپوریتها با شیل متعلق به بعد از آركئ استرالیا (۶-۵) می‌توان گفت که فرایندهای اختلاط ماغما و هضم نیز در پتروژنز این سنگ نقشی نداشته است. کاهش میزان  $\text{TiO}_2$ ,  $\text{Al}_2\text{O}_3$ ,  $(\text{Fe}_2\text{O}_3+\text{MgO})$  و افزایش  $(\text{Na}_2\text{O}+\text{K}_2\text{O})$  همگام با افزایش سیلیس بیانگر تبلور تفریقی کانیهای سیلیکاته دارد. از آنجا که لوکوگرانیتها عاری از هر گونه کانی رستیتی هستند همانند مذابهای لوکوگرانیتی پرآلومین هیمالیا (اسکایلت<sup>۳</sup> و همکاران، ۱۹۹۰) بنابراین توانایی بیشتری برای جدا شدن از محل منشا دارند و به همین دلیل در غالب بسته‌های ماغمایی کوچک از منشا خود جدا شده‌اند. چپل و همکاران (۱۹۸۷)، ویبورن و چپل (۱۹۸۶) و باربرو و ویلاسکا (۱۹۹۲) روندهای خطی مشاهده شده در نمودارهای تغییرات عناصر بسیاری از جایگاههای گرانیتی را به مدل عدم اختلاط رستیتی نسبت داده‌اند. با توجه به اینکه شواهد پتروگرافی (فصل ۳) و شیمی کانی (فصل ۴) و ژئوشیمیایی حضور کانیهای رستیتی را اثبات نموده است و به نظر می‌رسد

۱- Allègre

۲- Bnard

۳- Scaillet

جدایش آنها نقش مؤثری در تحول گرانیت‌های الیگودرز داشته باشند. در این بخش مدل رستیت به طور مختصر معرفی و تاثیرات ژئوشیمیایی عدم اختلاط رستیتی در گرانیت‌های الیگودرز مورد بررسی قرار می‌گیرد.

### ۶-۱-۳- مدل رستیت

Shawahd زیادی در رابطه با این فرضیه که بسیاری از گرانیتها حاوی مقادیر قابل توجهی بلور هستند که به طور مستقیم از تبلور مذاب بوجود نیامده‌اند، وجود دارد. این بلورها باقیمانده‌های حاصل از ذوب‌بخشی هستند که از منشا به ارث رسیده‌اند. چپل و همکاران (۱۹۸۷) اولین بار مدلی را ارائه کردند که بر مبنای جدایش کانیهای باقیمانده از ذوب‌بخشی از مذاب است و تا کنون کاربرد زیادی در توضیح تنوع ترکیبی گرانیتها داشته است. وال و همکاران (۱۹۸۷)، بتمن (۱۹۸۸) و کلمنز (۱۹۸۹) نقش عدم اختلاط رستیت در پتروژنر گرانیتها نوع S را قبول دارند اما معتقداند که روند خطی مشاهده شده در بسیاری از جایگاههای گرانیتی به اختلاط ماقمایی، تجمع و تفریق نسبت داده شود. اگر رستیتها از نظر شیمیایی همگن باشند تنها در صورت عدم اختلاط رستیتی به روندهای خطی منجر خواهند شد (وال و همکاران، ۱۹۸۷) و این حالت برای گرانیتها با حجم زیاد و ذوب غیرتعادلی محتمل در منشا تقریباً غیرممکن است (باربرو و همکاران، ۱۹۹۲).

بیشتر ماقمایهای گرانیتی نوع S از ذوب‌بخشی پوسته حاصل می‌شوند. مکانیسم ذوب‌بخشی، حاکی از آن است که حداقل در مراحل ابتدایی ذوب، ماده مذاب با مواد ذوب نشده یا رستیتی همزیست می‌باشد. بحث در مورد نقش رستیتها در تشکیل گرانیت (چپل و همکاران، ۱۹۸۷؛ وال و همکاران، ۱۹۸۷) بیانگر آن است که ماقمای باید به حدی تحول پیدا کند که مذاب سیلیکاته در هر مرحله از تحول ماقمای به طور کامل از رستیتها جدا شود. چپل و همکاران (۱۹۹۱) گرانیت‌هایی را توصیف نموده‌اند که در آنها ترکیب سنگ‌های مافیک‌تر موجود اصولاً با جدا شدن مواد رستیتی از یک ماده سیلیکاته و همچنین ترکیب سنگ‌های فلزیک‌تر، عمدتاً توسط تبلور تفریقی ماده مذاب جدا شده

کنترل می‌شود. چپل (۱۹۸۴) اظهار می‌دارد که در بیشتر گرانیتها (نه همه آنها) بعضی از رستیت‌ها باقی می‌مانند و بخشی از سنگ‌های انجماد یافته را تشکیل می‌دهند. این موضوع در مورد سنگ‌های آتشفشاری نیز صادق است. در هنگام ارائه مدل رستیت، وايت و چپل (۱۹۷۷) خاطر نشان نمودند که ذوب‌بخشی پوسته متشکل از سنگ‌های حاوی کوارتز، فلدسپارها و آب که با تجزیه یا عدم تجزیه فازهای آبدار همراه می‌باشد باید یک مذاب گرانیتی را بوجود آورد که با رستیت‌ها در حال تعادل باشد. به علت آنکه گرانیوی فاز مذاب زیاد است، مذاب نمی‌تواند به آسانی از محل خود خارج شده تا یک توده ماقمایی کاملاً مجزا را تشکیل دهد. همچنین ماقمایی در مقایسه با سنگ منشا جامد خود از چگالی کمتری برخوردار است لذا شناوری آن سبب می‌شود تا کل توده به سمت بالا حرکت کند و همانند یک توده نفوذی به درون سنگ‌های بالاتر نفوذ کند یا اینکه ماقمایی خود را به سطح زمین رسانده و فوران نماید. غلظت زیاد و گرانیوی بالای ماده مذاب گرانیتی از جدایش فراینده رستیت‌ها جلوگیری می‌کند. در مواردی که عمل جدایش محدود یا متوقف شده باشد جدایش فراینده ماده مذاب و رستیت‌ها ممکن است در طی حرکت یا انجماد نهایی ماقمایی صورت گیرد. این امر باعث می‌شود که تغییرات شیمیایی خطی بسیار منظمی در توده‌های نفوذی گرانیتی منفرد، یا گروهی از توده‌های نفوذی یک سری ماقمایی همانند شکل ۶-۴ صورت گیرد. در چنین مواردی فراینده تفریق ماقمایی صورت گرفته بین اعضای یک سری ماقمایی، یک فراینده عدم اختلاط مکانیکی است که در طی انجام آن، فاز مذاب به طور فراینده‌ای خود را از رستیت جدا می‌شود ولی در ترکیب شیمیایی آن تغییر قابل ملاحظه‌ای صورت نمی‌گیرد.

در مورد رستیت اظهار نظرهای زیادی وجود دارد اما معمولاً به "هر ماده جامد در سنگ‌های درونی و بیرونی که باقیمانده ذوب‌بخشی در منشا باشد" رستیت اطلاق می‌شود (چپل و وايت، ۱۹۹۱). در طی تبلور مجدد و تعادل با ماقمای میزبان بسیاری از ویژگیهای منشا که باید توسط کانیها مشخص شود از بین می‌رود (چپل و همکاران، ۱۹۸۷). مهمترین رستیتهای شناخته شده در گرانیتها نوع S شامل کردیریت، پلازیوکلазهای منطقه بندی شده با هسته‌های کلسیکی، انکلاوهای رسوبی دیرگداز،

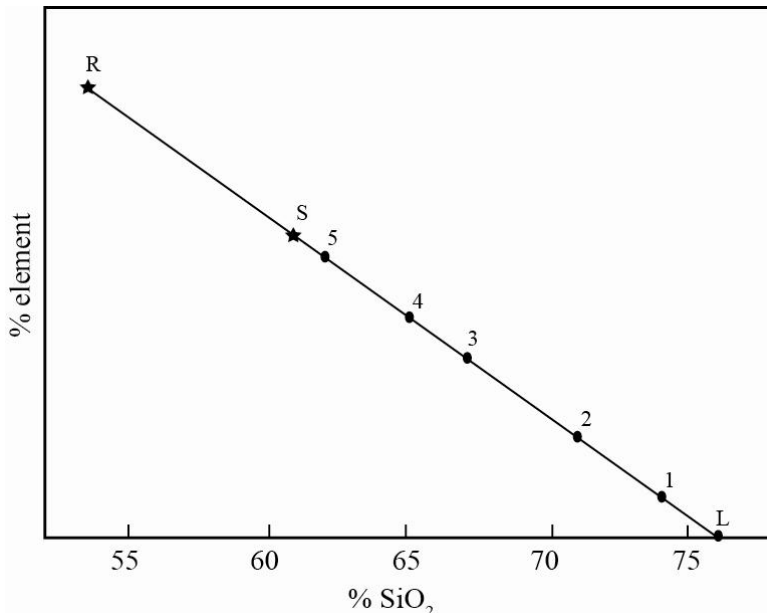
بیوتیتهای حاوی ادخالهای سیلیمانیت، بلورهای مافیک و زیرکن‌های موروثی می‌باشند (چپل و همکاران، ۱۹۸۷). هر چند از نظر وال و همکاران (۱۹۸۷) همه کانیهای ذکر شده اختصاصاً رستیت نیستند. به عنوان مثال بلورهایی که در مراحل اولیه از ماغما متبلور می‌شوند در یک جا جمع شده و به دلیل کاهش انرژی سطحی، لکه‌های مافیکی تشکیل می‌دهند که نمی‌توانند رستیت باشند (وال و همکاران، ۱۹۸۷). همچنین در بازالتها و گابروها که رستیت نمی‌تواند حضور داشته باشد پلازیوکلازهای با هسته‌های کلسیکی و منطقه بندی پیچیده دیده شده است. برای تشخیص دقیق اینکه چه عاملی باعث تشکیل رستیتها در گرانیتهاي نوع S می‌شوند و برای درک عدم اختلاط کانی‌شناسی و تاثیرات ژئوشیمیایی، باید به طور کامل رستیتها شناسایی شوند و تاثیرات عدم اختلاط آنها در گرانیتهاي که حاوی حجم زیادی رستیت هستند تشریح شود. گرانیتهاي که تفریق یافته باشند ترکیب دقیق منشا را نشان نمی‌دهند. مطالعات ژئوشیمیایی باید روی عناصر اصلی و Rb و Sr که توسط کانیهای سازنده سنگ کنترل می‌شود معطوف شود (هریس و اینگر، ۱۹۹۲).

گرانیتوئیدهای کوما در استرالیا (وایت و چپل، ۱۹۸۸)، گرانیتهاي لایوس در اسپانیا (باربرو و ویلاسکا، ۱۹۹۲) و باتولیت گرانیتوئیدی شیرکوه (شیبی، ۱۳۸۸) را از لحاظ حضور کانیهای رستیتی و تاثیرات عدم اختلاط رستیت به طور کامل بررسی شده‌اند. جهت مطالعات بیشتر مدل رستیتی به چپل و همکاران (۱۹۸۷)، وایت و چپل (۱۹۸۸)، چپل و وایت (۱۹۹۱)، چپل (۱۹۹۶)، ویلیامسون و همکاران (۱۹۹۷)، وایت و همکاران (۱۹۹۹) و شیبی (۱۳۸۸) مراجعه شود.

### ۶-۳-۲- ترکیب منشا، مذاب و رستیت

شکل ۳-۶ نموداری برای نشان دادن مدل رستیت است که در آن ترکیب منشا، مذاب و رستیت بر روی یک روند خطی قرار دارد. این نمودار تغییرات یک عنصر را در مقابل  $\text{SiO}_2$  برای پنج گرانیت با ترکیب فرضی نشان می‌دهد. روند خطی نمودار بدین معناست که اگر تفریق از طریق جدایش رستیتی ناشی شده باشد (تفریق رستیت)، بنابراین ترکیب مذاب نهایی در نمونه ۱ و یا بین آن نمونه و نقطه L

(نقطه محدود کننده در محور  $\text{SiO}_2$ ) باشد. اگر رستیتها از نظر پتروگرافی قابل تشخیص باشند در نمونه ۵ فراوانتر و در نمونه ۴ رایج هستند و نهایتاً در نمونه ۱ هیچ گونه کانی رستیتی وجود ندارند.



شکل ۴-۶) نمودار نشان دهنده ذوب بخشی یک سنگ منشا (S) برای تشکیل رستیت (R) و مذاب (L). ماجما در ناحیه منشا خود شامل رستیت + مذاب (R+L) می‌باشد و همان طور که از این وضعیت دور می‌شود، درجات متفاوت جدایش این دو قطب (rstyt, مذاب)، سبب بوجود آمدن طیفی از ترکیبات ماجماها و سنگهای می‌شود که توسط نقاط یک تا پنج مشخص گردیده است (چپل و همکاران، ۱۹۸۷).

### ۳-۶-۳- ترکیب منشا

ترکیب منشا در صورتی روی روند خطی شکل ۴-۶ قرار می‌گیرد که تغییرات از طریق جدایش رستیت از مذاب کنترل شده باشد. چپل (۱۹۸۴) برای تعیین سنگ منشا واقعی راهکاری را پیشنهاد داد تا بوسیله آن مسئله مدلسازی جایگاههای گرانیتی دارای ترکیب مذاب مینیمم حل شود. اگر D کسری از مذاب باشد که می‌تواند از شبکه رستیت جامد تا ماجماهای سیال تغییر کند، بنابراین D مقدار حداقل مذابی است که ماجما می‌تواند در برداشته باشد و (D-1) بیشترین مقدار رستیت می‌باشد. اگر ماجما در حین صعود به سمت بالا تفرقی یابد تا یک پلوتون با ترکیب متغیر را تشکیل دهد، سنگهای مافیکتر در آن پلوتون حاوی بیشترین مقدار رستیت یعنی دواره (D-1) خواهد بود و D حداقل مقدار

مذاب می‌باشد. براساس این مدل در یک جایگاه گرانیتی ترکیب مافیکتر احتمالی (غنی از رستیت) ترکیبی شبیه سنگ منشا خواهد داشت.

#### ۶-۴-ترکیب مذاب اولیه

ترکیب مذاب اولیه تنها می‌تواند از طریق تفریق بلوری موجب حذف رستیت شود. تبلور تفریقی می‌تواند در ادامه حذف بلورهای اولیه، ترکیب مذاب را تغییر دهد. اگر تبلور تفریقی در مراحل پایانی ماگمازایی رخ دهد عناصری مثل Sr و Eu در مذاب کاهش و در فاز جامد افزایش و Rb برعکس این عناصر رفتار می‌کند و در فلدرسپارها تجمع می‌یابد. ترکیب مذاب در صورتی می‌تواند برای همه عناصر بین سنگ‌های فلزیک‌تر حاوی رستیت کم و محل تقاطع آن عنصر با محور  $\text{SiO}_2$  قرار داشته باشد که ترکیب جایگاه کاملاً از تفریق رستیت کنترل شده باشد. در این موقعیت که ترکیب مذاب مینیمم خوانده می‌شود عناصری مثل MgO و  $\text{P}_2\text{O}_5$  محور  $\text{SiO}_2$  را نزدیک مذاب هاپلوگرانیتی قطع می‌نماید. ترکیب مذاب اولیه در صورتی می‌تواند تعیین شود که بوسیله تبلور تفریقی و جدایش رستیت تغییر نکرده باشد.

#### ۶-۵-ترکیب رستیت اولیه

ترکیب رستیت اولیه از برون یابی مقادیر  $\text{SiO}_2$  پایین‌تر با محتوای عمودی بدست می‌آید. ترکیب بدست آمده متفاوت از ترکیب ادخالهایی است که تصور می‌شود رستیت هستند، برای اینکه این ادخالها جز بخش‌های دیرگداز منشا بوده‌اند و ترکیب آنها به واسطه واکنش با مذاب مرتبأً تغییر یافته است.

#### ۶-۳-۶-rstiyet-ha

rstiyet-ha تا قبل از بیست سال پیش به عنوان زینوکریست شناخته می‌شد (چپل و وايت، ۱۹۷۷). این کانیها ممکن است در سه گروه جای داشته باشند (چپل و وايت، ۱۹۹۹): ۱- محصول آبزدایی واکنش

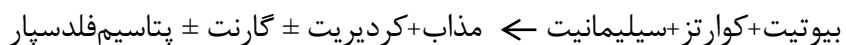
مذاب مانند ارتوپیروکسن؛ ۲- فراورده مذاب تعادلی در سری محلول جامد؛ ۳- کانیهایی که ممکن است در فرایند تولید مذاب درگیر باشند اما حضور آنها بیش از فاز مذاب است مانند زیرکن و کوارتز از منشا رسوی.

**لیتیک رستیتی:** تا بیست سال قبل به عنوان زینولیت شناخته می‌شد (چپل و وايت، ۱۹۷۷). در حال حاضر به نام انکلاو (دیدیر، ۱۹۷۳) که معادل فرانسوی زینولیت است استفاده می‌شود. آنکلاو رستیتی سنگ‌های غیر مستعدی را شامل می‌شود که هیچ فاز مذابی را تولید نمی‌کنند و سنگ‌هایی که فاز مذاب کافی برای در برگرفتن انکلاوها نداشته‌اند. چنین انکلاوهایی لزوماً در تعادل با فاز مذاب نیستند (چپل و وايت، ۱۹۹۹).

**پلاژیوکلاز:** سری محلول جامد پلاژیوکلاز در ذوب‌بخشی تعادلی درگیر است. آزمایش قدیمی باون (۱۹۱۳) نشان داد که ذوب‌بخشی در سیستم آلبیت-آنورتیت شامل تشکیل یک مذاب سدیک در تعادل با بلورهای کلسیک می‌باشد (چپل و وايت، ۱۹۹۹). پلاژیوکلازهای رشد یافته در داخل مذاب به احتمال زیاد بلورهای خودشکلی هستند که هسته‌های آنها می‌تواند بلورهای پلاژیوکلاز اولیه با ترکیب پلاژیوکلاز رستیتی باشد. الزاماً پلاژیوکلازهای رستیتی، باقیمانده سنگ‌های دیرگداز نیستند و بیشتر مربوط به هسته‌های باقی‌مانده هستند (چپل و وايت، ۱۹۹۹).

**کانیهای اشباع در مذاب:** این کانیها در واکنش تشکیل مذاب شرکت می‌کنند اما به طور کامل ذوب نمی‌شوند و از آن به عنوان دیرگداز یاد می‌شود. یک مثال خوب زیرکن است (وايت و همکاران، ۱۹۹۹). حضور زیرکن رستیتی در گرانیتهای نوع S-MC-Bridge اثبات شده است (وايت و همکاران، ۱۹۹۹). زیرا دمای حدود ۸۵۰ درجه سانتیگراد برای ذوب زیرکن که یک کانی دیرگداز است کافی نیست و این کانی به صورت رستیت باقی می‌ماند.

**کردیریت و گارنت:** کردیریت و گارنت موجود در گرانیتها می‌توانند در اثر واکنش دگرگونی اولیه یا واکنش تشکیل مذاب طبق واکنش زیر بوجود آیند (چپل و وايت، ۱۹۹۹):



گارنت و کردیریت تولید شده در طی واکنش مذاب به خوبی در مذاب رشد کرده و به احتمال زیاد خودشکل هستند. گارنت و کردیریت رستیتی می‌تواند همان ترکیب اولیه فاز مذاب را در خود حفظ کرده باشند ولی به سختی امکان پذیر است. زینوکریستهای گارنت هیچ شواهدی از آمیختگی ندارند (چپل و وايت، ۱۹۹۹). تعدادی از گارنتها و کردیریتها به طور مستقیم و در اندازه ریز از مذاب تهنشین می‌شوند (چپل و وايت، ۱۹۹۹).

### ۶-۳-۷- تاریخچه مطالعات پیشین در مورد کانیهای بازمانده از ذوب (rstitet)

تغییرات ترکیبی موجود در بسیاری از مجموعه‌های گرانیتی، حاصل درجات مختلف عدم اختلاط مذاب و رستیت می‌باشد. چپل و همکاران (۱۹۸۷) برای اولین بار مدلی را بر مبنای جدایش کانیهای باقیمانده از ذوب بخشی از مذاب ارائه کردند. قطعات بلورهای مافیک (نظیر پیروکسن)، پلاژیوکلاز دارای منطقه‌بندی با هسته‌های کلسیک، آنکلاوهای رسوی دیرگدار، کردیریت، گارنت، آندالوزیت، بیوتیت‌های حاوی ادخال‌های سیلیمانیت و زیرکن‌های موروثی برخی از مهمترین رستیت‌های شناخته شده در گرانیتهای نوع S هستند (چپل و همکاران، ۱۹۸۷؛ هاین، ۱۹۷۶؛ چپل، ۱۹۹۶).

- چپل و همکاران (۱۹۸۵) اهمیت مواد منشا باقیمانده (rstitet) در پتروژنز گرانیتوئیدهای لاخلان استرالیا، نقش کانیهای رستیتی را مورد بررسی قرار دادند.

- باربرو و ویلاسکا<sup>۱</sup> (۱۹۹۲) گرانیت لایوس مجموعه هرسی نین تولدو (اسپانیا) که نمونه‌ای از گرانیتهای غنی از رستیت می‌باشد مورد مطالعه قرار داده‌اند.
- روتورا<sup>۲</sup> و همکاران (۱۹۹۳) پتروژنز گرانیتهای پرآلومین از کمان کالابرین ایتالیا را مورد بررسی قرار داده که در آن به اهمیت کانیهای رستیتی پرداخته است.
- ویلیامسون<sup>۳</sup> و همکاران (۱۹۹۶) ترکیب ژئوشیمیایی رستیت و عدم اختلاط گرانیت آنانکسی والی در فرانسه را مورد مطالعه قرار داده‌اند.
- چپل (۱۹۹۶) اختلاط ماقما و ترکیب گرانیتهای مختلف: شواهدی از گرانیتهای جنوب شرق استرالیا را مورد بررسی قرار داد.
- وايت و چپل (۱۹۹۷) کاربرد مدل رستیت برای گرانودیوریت Deddick و آنکلاوهای آن در منطقه Lachlan استرالیا را مورد بررسی قرار داده‌اند.
- ورنون و همکاران (۲۰۰۰) رابطه گرانیتهای میگماتیتی: منشا ماقما گرانودیوریت کوما در استرالیا را مورد بررسی قرار دادند.
- ورنون (۲۰۰۷) کانیهای رستیتی در گرانیت جنوب شرق استرالیا را تشخیص داده و منشا ماقما و آنکلاوهای موجود را بررسی کرده است.
- ورنون<sup>۴</sup> (۲۰۱۴) ریزساختارهای آنکلاوهای میکروگرانولار و منشا گرانیتوئیدهای نوع S و نقش عدم اختلاط رستیت در گرانودیوریتهای کوما در جنوب استرالیا را مطالعه کرد.

---

۱- Barbero and Villaseca

۲- Rottura

۳- Williamson

۴- Vernon

- شیبی (۱۳۹۱) شواهد پتروگرافی و ژئوشیمیایی رستیت در گرانیت آناتکسی شیرکوه را مورد بررسی قرار داده است.

### ۶-۳-۶- کاربرد مدل رستیت برای گرانیتوئیدهای الیگودرز

به دلیل اینکه گرانیتهای الیگودرز طیف کاملی از گرانیتهای نوع S را شامل می‌شوند و از نظر ترکیبی از گرانووپوریت نسبتاً مافیک حاوی مقادیر قابل توجهی از کانیهای رستیتی تا لوکوگرانیتهای تفریق یافته را دارا هستند اهمیت زیادی دارند. مرز این دو در  $\text{SiO}_2 \sim 73\%$  می‌باشد. اعضای مافیکتر این مجموعه ( $\text{SiO}_2 \sim 66\%$ ) که دارای  $\text{CaO} = 2-4\%$  و  $\text{Na}_2\text{O} = 2/8-3/2\%$  می‌باشند به ترکیب منشا نزدیکتر هستند. چون بیشتر شواهد مدل رستیتی بر مبنای مطالعات پتروگرافی و ژئوشیمیایی است در ادامه ضمن اشاره مجدد بر انواع رستیتهای شناخته شده در گرانیتوئیدهای الیگودرز، تاثیرات ژئوشیمیایی عدم اختلاط رستیتی بررسی می‌شود.

### ۶-۷-۳- انواع رستیتهای شناخته شده در گرانیتوئیدهای الیگودرز

مهمنترین رستیتهای شناخته شده در بخش‌های مافیک گرانیتهای الیگودرز شامل مراکز یکنواخت و کلسیک پلازیوکلاز، مجموعه کانیایی بیوتیت  $\pm$  سیلیمانیت، گارنت، آندالوزیت (?)، کردیریت، ارتو و پیروکسن (هیپرستن) می‌باشد که در فصل پتروگرافی و شیمی کانیها معرفی شده‌اند. همچنین در داخل بیوتیتها کانیهایی مثل زیرکن و آپاتیت و مونازیت وجود دارند که می‌توانند به عنوان رستیت در نظر گرفته شوند زیرا پتانسیل آنها برای تشکیل رستیت در بسیاری از کارهای تجربی (مونتل، ۱۹۹۳) به اثبات رسیده است. بسته‌های غنی از بیوتیت معروف به آنکلاوهای سورومیکاسه نیز از مشخص‌ترین رستیتهای این توده نفوذی می‌باشند.

### ۶-۳-۸- تاثیرات ژئوشیمیایی عدم اختلاط رستیتی در تکامل توده‌های نفوذی

#### الیگودرز

درجات مختلف جدایش رستیت در طی مهاجرت و جایگیری ماغما می‌تواند روندهای خطی مشاهده شده در نمودارهای هارکر و طیف ترکیبی محدود گرانوودیوریت نسبتاً مافیک تا گرانیتهای فلسیک را توجیه کند. اگر فازهای محلول جامد مانند بیوتیت و پلازیوکلاز از تبلور تفریقی بوجود آمده باشند باید در نمودارهای شکل ۴-۵ روندی منحنی داشته باشند (پرسنال و بیتمن<sup>۱</sup>، ۱۹۷۳). در حقیقت براساس قوانین فیزیکی، تبلور تفریقی در مذابهای گرانیتی با گرانزوی بالا به عنوان فرایند موثری محسوب نمی‌شود (زن<sup>۲</sup>، ۱۹۸۶). در کنار کاهش Zr، افزایش Ba در محدوده ۷۵-۶۵ درصد وزنی SiO<sub>2</sub> شاخص گرانیتهای دما پایین است (چپل و همکاران، ۱۹۹۸) که با جدایش پیشرونده بیوتیت و پلازیوکلاز رستیتی از یک مذاب با ترکیب مذاب هاپلوگرانیتی مطابقت می‌نماید (شکل ۵-۵). در گرانیتهای پرآلومین مذابهایی که کمتر از ۵/۰ درصد وزنی P<sub>2</sub>O<sub>5</sub> دارند دارای آپاتیت با منشا رستیتی هستند تا ماغمایی (پیچاوان<sup>۳</sup>، ۱۹۹۲). با توجه به اینکه اکثر بلورهای آپاتیت در داخل بیوتیت و به مقدار کمتر در پلازیوکلاز حضور دارند بنابراین احتمال رستیتی بودن آنها است چون اولاً محتوای P<sub>2</sub>O<sub>5</sub> سنگهای مذبور کمتر از این مقدار است و ثانیاً مقدار آن در لوکوگرانیتها به دلیل جدایش این کانی به حداقل (۰/۰۲ Wt%) رسیده است.

کالسبیک<sup>۴</sup> و همکاران (۲۰۰۱) ارتباط آماری مشخص بین مقادیر Zr و نسبت بیوتیت در گرانیتها را به مدل رستیت نسبت می‌دهند که این موضوع با حضور زیرکن موروثی به اثبات می‌رسد (شکل ۶-۵). کاربرد دیگر مدل رستیت این است که علی‌رغم حلایت بسیار پایین بعضی از عناصر در ماغمای گرانیتی، ممکن است تمرکز آنها تا غلظت‌های قابل توجهی افزایش یابند. برای مثال بیشتر عناصر LREE در گرانیتهای نوع S می‌تواند در مونازیت رستیتی حضور داشته باشد به گونه‌ای که سنگهای

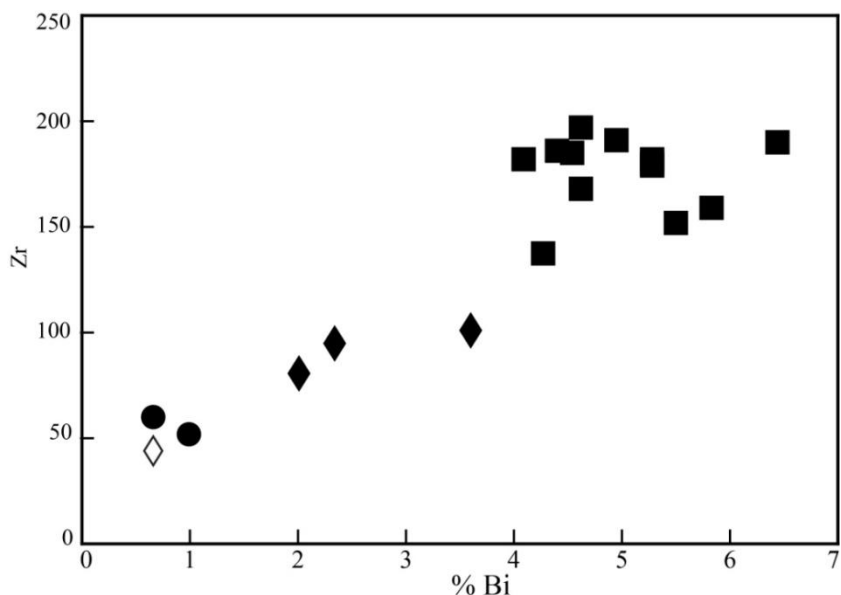
۱- Presnall & Bateman

۲- Zen

۳- Pichavant

۴- Kalsbeek

مافیکتر از LREE نسبتاً غنی‌تر شده‌اند. در دمای زیر ۸۰۰ درجه سانتیگراد حلایت مونازیت در مذاب به شدت کاهش می‌باید (مونتل<sup>۱</sup>، ۱۹۸۶) و متعاقباً LREE در طی تکامل پتروژنتیکی چنین مذابهایی به صورت سازگار عمل می‌کنند (لوفور<sup>۲</sup> و همکاران، ۱۹۸۷). بنابراین سنگهای گرانودیوریتی دارای کمترین محتوای  $\text{SiO}_2$  و بالاترین تمرکز رستیت بوده و ترکیبی نزدیک یا مشابه مذابهای اولیه این جایگاه را نشان می‌دهند (شکل ۶-۵).



شکل ۶-۵) ارتباط بین مقادیر Zr و درصد بیوتیت در گرانیتها. علام مشابه شکل ۱-۵ می‌باشد.

روندهای خطي مشاهده شده بین گرانودیوریتها تا لوکوگرانیتها حاکی از روند عدم اختلاط رستیتی می‌باشد اما با توجه به توالی پاراژنتیکی مشاهده شده به نظر می‌رسد برخی از فرایندهای تبلور ماغمایی نیز در شکل‌گیری این مجموعه سهیم بوده‌اند.

۱- Montel  
۲- Le Fort

### ۶-۳-۹- نقش تبلور تفریقی

مکانیسم تفریق رستیت می‌تواند با رژیم تبلور تفریقی که در آن ترکیب مذاب از طریق جدایش بلورهای نهشته شده تغییر نماید دنبال شود (چپل و وايت، ۱۹۹۲). در چنین شرایطی در حالیکه اعضای مافیکتر از Rb و Na تهی شده، K کمی داشته و به شدت پرآلومین هستند، اعضای فلسیک ترکیبی نزدیک به مذابهای مینیمم دارند و کوارتز و فلدسپار تنها کانیهایی هستند که به مقدار قابل توجهی متبلور شده و تغییر کوچکی در ترکیب عناصر اصلی گرانیتها ایجاد خواهند نمود (چپل و وايت، ۱۹۹۲).

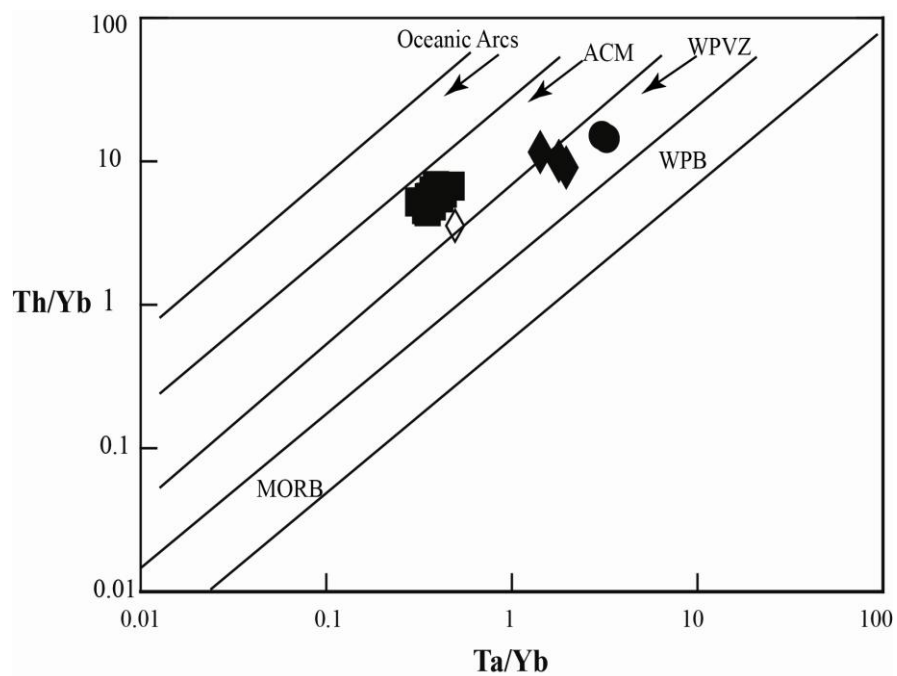
تبلور تفریقی در این توده‌های نفوذی همانند بسیاری از جایگاههای گرانیتی نوار چین خورده لاخلان در مرحله بعدی تکامل ماقمایی رخ داده است زیرا محتوای Rb و Ba بالاتر و Sr کمتر در گرانیتها شاخص سیستمهای ماقمایی هستند که چنین تبلور تفریقی را متحمل شده‌اند. تاثیر تبلور تفریقی در گرانیتها نواع S با افزایش Rb از ۱۸۰ ppm تا ۲۴۵ ppm در نظر گرفته می‌شود (چپل و وايت، ۱۹۹۲). کاهش ناگهانی مقدار Sr می‌تواند به تبلور تفریقی فلدسپار قبل از تشکیل سنگهای فلسیک نسبت داده شود. چون مقدار بیوتیت در واحد لوکوگرانیتی خیلی پایین است می‌تواند کاهش Ba از گرانوپوریتها به سمت لوکوگرانیتی را توجیه کند. همچنین افزایش فراوانی تورمالین همراه با لوکوگرانیتها، به غنی‌شدگی تدریجی B در مذاب باقی‌مانده اشاره دارد که بهترین توضیح برای فرایند تبلور تفریقی است.

### ۶-۴- جایگاه تکتونو ماقمایی

استفاده از عناصر کمیاب با شدت میدان بالا نظیر Ti، Zr، Y، Nb و P برای تمایز کردن محیط‌های تکتونیکی کاربرد دارد. این عناصر در صورت عدم حضور فعالیت بالای  $F^-$  در سیالات آبی غیر متحرک بوده و نسبت به فرایندهای ثانویه حساس نبوده و اندازه‌گیری آنها در غلظت پایین با دقت بالا امکان‌پذیر است.

#### ۶-۱- نمودار محیط تکتونیکی گورتون و شاندل<sup>۱</sup> (۲۰۰۰)

نمودار نسبت لگاریتمی  $\text{Th/Yb}$  در مقابل  $\text{Ta/Yb}$  گورتون و شاندل (۲۰۰۰) برای تعیین محیط تکتونیکی سنگهای آذرین ارائه شده است (شکل ۶-۶). بر طبق این نمودار گرانیتوئیدهای الیگودرز در محدوده حاشیه فعال قاره‌ای قرار می‌گیرند. چون حلالیت  $\text{Th}$  در سیالات زون فرورانش بسیار پایین است (بایلی و راگناسدوتیر<sup>۲</sup>، ۱۹۹۴)، منشا این عنصر از تشکیل دهنده‌های ورقه رسوی در حال فرورانش در نظر گرفته می‌شود. این تعبیر می‌تواند به خوبی افزایش محتوای این عنصر نسبت به  $\text{Ta}$  را در کمان ماقمایی توجیه نماید (هاکسوردث<sup>۳</sup> و همکاران، ۱۹۹۳).



شکل ۶-۶. نمودار نسبت لگاریتمی  $\text{Th/Yb}$  در مقابل  $\text{Ta/Yb}$  برای تعیین جایگاه تکتونیکی سنگهای آذرین (شاندل و گورتون، ۲۰۰۰).  $\text{WPB}=\text{بازالت‌های درون ورقه‌ای}$ ،  $\text{ACM}=\text{حاشیه فعال قاره‌ای}$  و  $\text{WPVZ}=\text{مناطق آتشفسانی درون ورقه‌ای}$ . علائم مشابه شکل ۱-۵ می‌باشد.

<sup>۱</sup>- Gorton & Schandl

<sup>۲</sup>- Bailey & Ragnasdottir

<sup>۳</sup>- Hawkesworth

ناحیه منشأ که بوسیله فرایнд فرورانش متاسوماتیز شده است از Th نسبت به Ta و بنابراین در نسبت Th/Yb از Ta/Yb بیشتر می‌شود زیرا سیالات زون فرورانش نمی‌تواند Ta یا Yb را حمل نماید. فرایند تبلور تفریقی باعث شده است که گرانیتها و لوکوگرانیتها نسبتهای بیشتری از این عناصر دارا باشند.

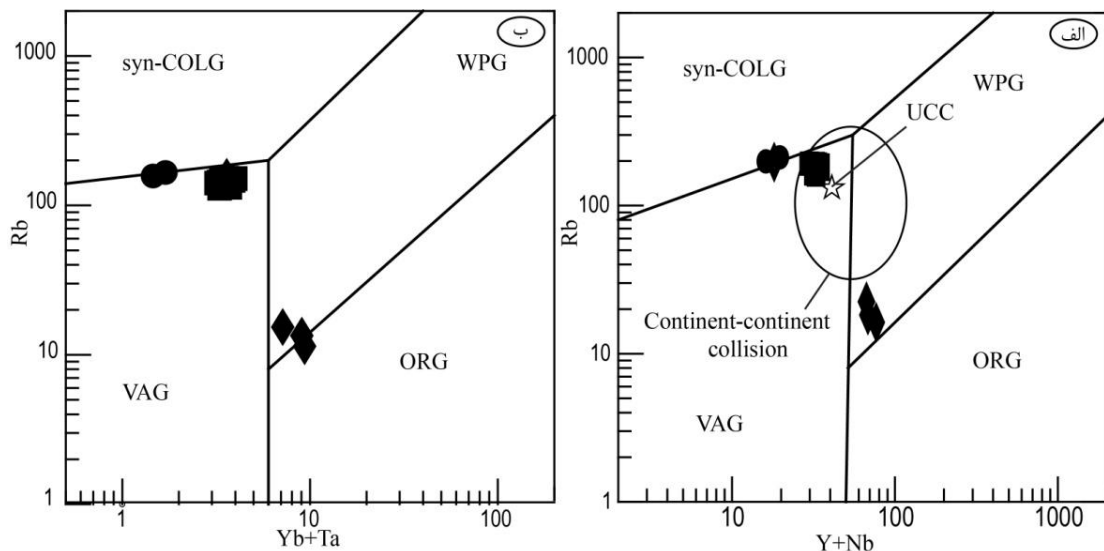
#### ۶-۴-۲- نمودار محیط تکتونیکی پیرس<sup>۱</sup> و همکاران (۱۹۸۴)

برای رسم این نمودار از عناصر کمیاب Rb، Ta، Nb و Y استفاده می‌شود (شکل ۶-۷). عنصری ناسازگار و متحرک است که در پوسته قاره‌ای نسبت به گوشه فراوان است. Y عنصری غیر متحرک و Nb نیز عنصری ناسازگار هستند که در فازهای گارنت یا آمفیبول رفتار سازگاری نشان می‌دهند و وارد ساختمان این کانیها می‌شوند. رابطه بین ترکیب شیمیایی و محیط تکتونیکی گرانیتوئیدها را پیرس و همکاران (۱۹۸۴) مورد بررسی قرار داده و آنها را از لحاظ تکتونیکی به چهار گروه تقسیم نموده‌اند (شکل ۶-۷): ۱- گرانیتوئیدهای کمان آتشفسانی (VAG)؛ ۲- گرانیتوئیدهای درون قاره‌ای (WPG)؛ ۳- گرانیتوئیدهای پشته میان اقیانوسی (ORG)؛ ۴- گرانیتوئیدهای برخوردی (-syn). گرانودیوریتهای الیگودرز در نمودارهای Rb+Ta و Rb در برابر Y+Nb (پیرس و COLG) همکاران، (۱۹۸۴) در محدوده گرانیتوئیدهای کمان آتشفسانی واقع شده‌اند (شکل ۶-۶). تشکیل گرانیتوئیدهای الیگودرز در چنین محیطی با موقعیت و تاریخچه تکتونیکی زون سنندج-سیرجان کاملاً مطابقت دارد و نشان دهنده ارتباط نزدیک بین تشکیل گرانیتوئیدهای الیگودرز و توکین زون سنندج-سیرجان وجود دارد. البته با توجه به شواهد زمین‌شناسی منطقه‌ای، گرانیتوئیدهای همزمان با برخورد امری نادرست است زیرا در زمان تشکیل این گرانیتوئیدها (۱۶۰ تا ۱۷۰ میلیون سال) برخوردی صورت نگرفته است. قرار گرفتن نمونه‌های گرانیتی الیگودرز نزدیک مرز Syn-COLG با مقدار Rb بالا بیانگر نقش تفریق می‌باشد زیرا این نمونه‌ها Rb بیشتری نسبت به گرانودیوریتها دارند بنابراین نزدیک خط گرانیتوئیدهای برخوردی قرار می‌گیرند.

۱- Pearce

پیرس (۱۹۹۶) معتقد است که گرانیتهای برخورده دارای منابع متفاوتی هستند. بعضی از آنها منابع گوشه‌ای شبیه فروزانش داشته و ممکن است در این نمودار بسیاری از خصوصیات گرانیتهای کمان آتشفسانی را نشان دهند، در حالیکه بقیه منابعی شبیه گرانیتهای درون ورقه‌ای داشته و در نمودار بسیاری از ویژگیهای گرانیتهای برخورده را نشان دهند. به علاوه برهمکنش زیادی بین منابع مشتق از گوشه و پوسته برای تشکیل گرانیتهایی برخورده وجود دارد که موجب قرار گرفتن ترکیب آنها در قلمرو کمان آتشفسانی می‌گردد. بنابراین نمودار مزبور بیشتر منشا این نوع گرانیتها را منعکس می‌نماید تا جایگاه تکتونیکی آنها را (پیرس، ۱۹۸۶). همچنین در این نمودار، نمونه‌های گرانودیوریتی الیگودرز بر ترکیب پوسته قاره‌ای بالایی منطبق می‌باشد.

کاهش نسبت پلاژیوکلاز در سنگهای گرانیتی ممکن است در نمودار  $(Y+Nb)-Rb$  پیرس و همکاران (۱۹۸۴) موجب جابجایی نمونه‌ها از محدوده درون صفحه‌ای به محدوده کمان آتشفسانی شود (هریس و همکاران، ۱۹۸۶). گرانیتهای کمان آتشفسانی و همزمان با برخورد در اثر تجمع کانی‌های فرومیزین در نمونه سنگی در محدوده گرانیتهای درون صفحه‌ای و یا اقیانوسی قرار می‌گیرند. نمونه‌های گرانیت ازna Rb پایین‌تری از سایر سنگها داشته و در قلمرو گرانیتهای درون ورقه‌ای قرار گرفته است که با جایگاه تکتونیکی واقعی آن در زون سنندج-سیرجان مغایرت دارد. بنابراین این موضوع تایید می‌کند که ترکیب منشا شیمی ماغما را کنترل می‌کند و نه جایگاه تکتونیکی آن.



شکل ۷-۶) نمودار تعیین موقعیت تکتونیکی گرانیتها که توسط پیرس و همکاران (۱۹۸۴) ارائه شده است. ب) نمودار Rb-(Y+Nb) (پیرس، ۱۹۹۶) که در آن قلمرو گرانیتها پس از برخورد و ترکیب پوسته قاره بالایی (UCC) نشان داده شده است. علائم مشابه شکل ۱-۵ می باشد

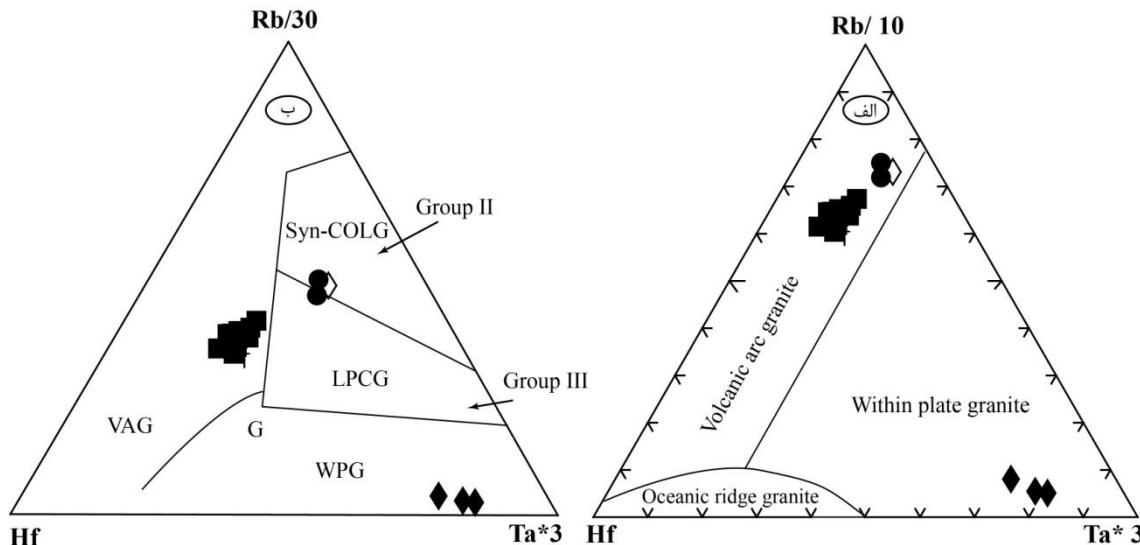
### ۳-۴-۶- نمودار محیط تکتونیکی هریس و همکاران (۱۹۸۶)

نمودار دیگری که برای تعیین محیط تکتونیکی گرانیتها اهمیت ویژه‌ای دارد نمودار Hf-Rb-Ta هریس و همکاران (۱۹۸۶) می باشد. در این نمودار نمونه‌های متعلق به توده‌های گرانوودیوریت دره باع و گل زرد در محدوده کمان آتشفسانی قرار می گیرند (۸-۶). نمونه های گرانیتی ازنا نیز به دلیل پایین بودن Rb در قلمرو گرانیتها درون ورقه‌ای قرار گرفته‌اند که طبق مطالب ارائه در بالا قابل قبول نمی باشد. مسکوویت، تورمالین و مقادیر اندک بیوتیت در لوکوگرانیت ازنا تشابه این توده را با گرانیتها نمی‌شوند. اگر رسوبات دگرگونی دچار ذوب‌بخشی شوند از Rb غنی و از Sr تهی می‌شوند. ویژگیهای ایزوتوپی می‌تواند مشخص کند که مذاب از ذوب‌بخشی رسوبات پوسته بالایی (زیندر<sup>۱</sup> و همکاران، ۱۹۸۶) یا از یک منشا پلیتی غنی از مسکوویت است (برواند<sup>۲</sup>، ۱۹۸۹). نسبت Rb/Sr پایین موافق با ذوب آبزدای درجه پایین مسکوویت است (گوی لوت<sup>۳</sup>، ۱۹۹۵).

۱- Zinder

۲- Brouand

۳- Guillot



شکل ۶-۸) نمودار هریس و همکاران (۱۹۸۶) برای تعیین محیط‌های تکتونیکی سنگ‌های گرانیتی. علائم مشابه شکل ۱-۵ می‌باشد.

## ۶-۵-پتروژنر

بر طبق نمودارهای ترکیب ژئوشیمی و محیط تکتونیکی گرانیتوئیدهای الیگودرز ماهیت گرانیتهای نوع S و کالکالکالن با پتاسیم بالا متعلق به زونهای فرورانش را نشان می‌دهند. در محیط‌های فرورانش گرانیتهای پرآلومین کمیاب هستند اما برخی از این گرانیتها در نتیجه تفرق سری کالکالکالن که اساساً از گابرو تا گرانوودیوریت تشکیل شده‌اند تولید می‌شوند (ویلاسکا و همکاران، ۱۹۹۸). این مدل برای گرانیتوئیدهای الیگودرز و ازنا به دلیل حجم بودن، عدم حضور سنگ‌های مافیک و نبود هیچ ترکیب بازالتی در طیف ترکیبی آن (همه نمونه‌ها بالای ۶۰ درصد  $\text{SiO}_2$  دارند) برای منطقه مورد مطالعه غیرمحتمل است. دومین مدل و در واقع پذیرفته شده‌ترین منشا تولید این نوع گرانیتها، ذوب پلیتها و پسامیتها در پوسته میانی و بالایی می‌باشد. چنانچه در جایگاه‌های تکتونیکی دما برای تولید گرانیتهای سرد به اندازه کافی بالا نباشد، شارش سیال از طریق استراتیگرافی سنگی، ساختارهای تکتونیکی و لیتوسفر مهیا می‌شود. گرمای لازم می‌تواند از مagmaهای مافیک نیز تامین شود اما وجود آن الزامی نیست (میلر، ۲۰۰۳).

گرانیتهای به شدت پرآلومین مربوط به فازهای همزمان با برخورد و در طی کوتاه شدگی و انباست پوسته‌ای رخ می‌دهد که پیرس و همکاران (۱۹۸۴) و پیجر (۱۹۸۳) آنها را از فاز پس از برخوردی که گرانیتهای کالک‌آلکالن غنی از پتاسیم در طی بالا آمدگی و گسلهای امتداد لغز و کششی تشکیل می‌شوند متفاوت دانسته‌اند. گرانیتهای کالک‌آلکالن از نظر زمانی و مکانی با گرانیتهای پرآلومین همراه هستند (پامیس<sup>۱</sup> و همکاران، ۱۹۹۶؛ امرمن<sup>۲</sup>، ۱۹۷۷) و بر اساس رده‌بندی پیچر-پیرس گرانیتهای پرآلومین به عنوان پس از برخورد در نظر گرفته می‌شوند. به هر حال آناتکسی پوسته و تولید گرانیتهای نوع S مرتبط با آن و همزمان با همگرایی ورقه‌ای اقیانوسی-قاره‌ای و فرورانش در نواحی بسیاری تشخیص داده شده است.

## ۶-۵- الگوی تکتونوماگمایی جایگزینی

با توجه به سن، منشا، جایگاه زمین شناسی و تکتونیکی منطقه مورد مطالعه، تشکیل توده‌های گرانیتوئیدی الیگودرز (گل‌زرد و دره‌باغ) و ازنا را می‌توان به رویداد زمین‌ساختی سیمیرین میانی ناشی از فرورانش ورقه اقیانوسی نئوتیس به زیر خرده قاره ایران مرکزی نسبت داد. حادثه فرورانش که احتمالاً از تریاس شروع شده است، ضخیم شدگی ناشی از فشردگی، انباستگی ناشی از راندگی قطعات اقیانوسی و یا اضافه شدن مواد ماقمایی از زیر را موجب شده است. ضخیم شدگی ناشی از فشردگی در زاگرس توسط پال<sup>۳</sup> (۲۰۱۰) ثابت شده است. توده‌های نفوذی صعود کننده، افزایش تولید گرمای پرتوزاد در پوسته ضخیم غنی شده و ایجاد همرفت گوشه‌ای در گوه گوشه‌ای بالای ورقه فرورانده، همگی سبب افزایش گرما در نوار کوهزایی در حال رشد می‌شوند (قاسمی، ۱۳۹۴). بالا بودن غلظت عناصر رادیواکتیو (مانند توریم و اورانیوم) به ویژه در لوکوگرانیت ازنا نشانه‌ای از افزایش ضخامت پوسته و دایک‌های بازیک موجود در منطقه، استقرار ماقماهای بازالتی در قاعده پوسته بالایی را نشان

۱- Pamic

۲- Emmermann

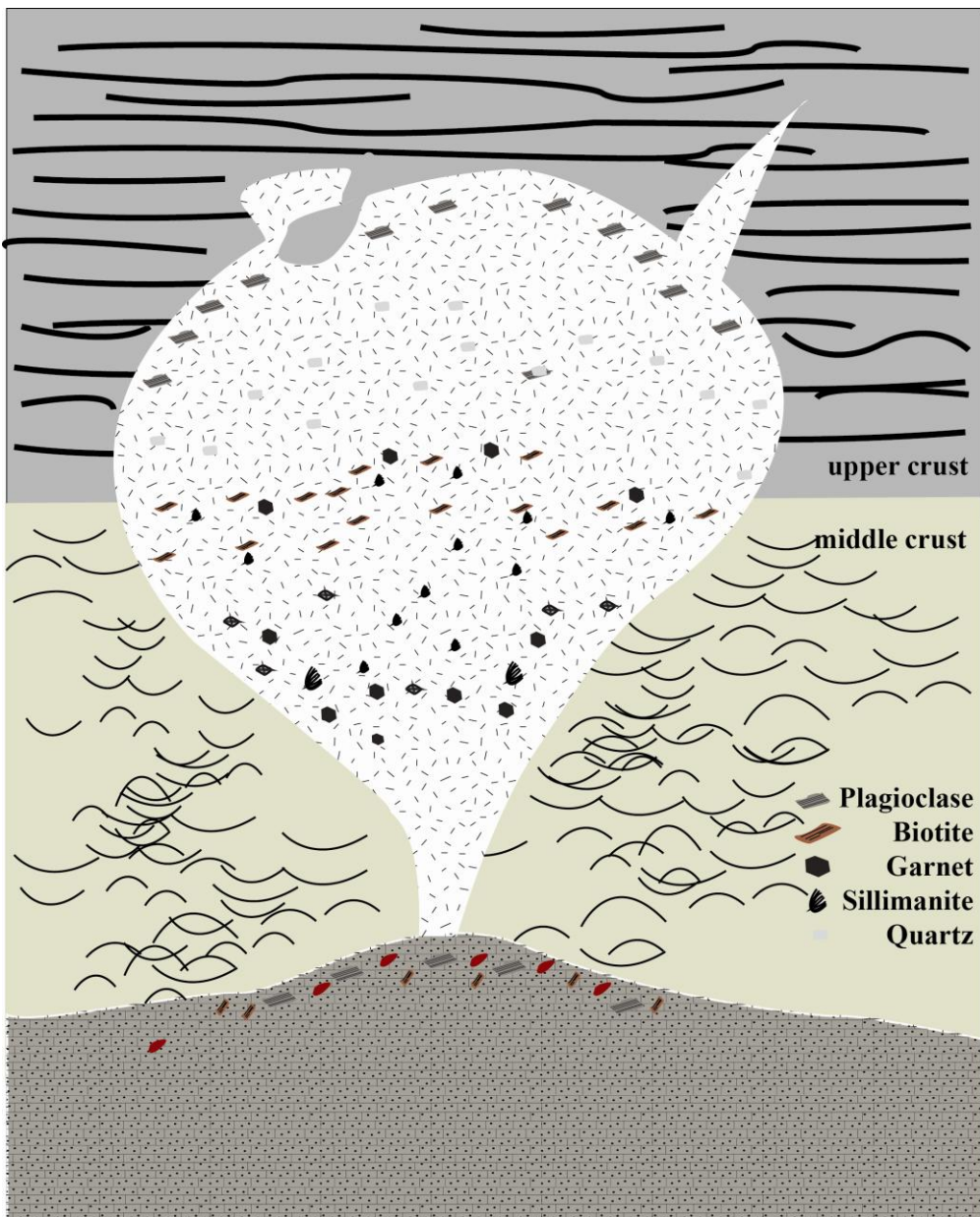
۳- Paul

می‌دهند که از مهمترین عوامل بالا رفتن گرادیانهای زمین گرمایی و گرم شدن پوسته قاره‌ای در آن زمان می‌باشد. در چنین شرایطی دما در قسمتهای عمیق پوسته و به ویژه در قسمتهای محوری نوار کوهزادی آنقدر بالا رفته که در آن سنگهای پلیتی و پسامیتی به نقطه ذوب خود رسیده‌اند. دما و فشار برآورد شده برای تشکیل این گرانیتها نشان می‌دهد که دما در اعماق پوسته بالا رفته و ذوب ناشی از آبزدایی بیوتیت در شرایط عدم حضور سیال اتفاق افتاده است (شکل ۶-۸). مجموعه کانیهای فلدسپار، گارنت، کردیریت و بیوتیت، زیرکن و مونازیت که به صورت رستیت در توده‌های نفوذی مذبور و بسیاری از متاپلیت‌های درجه دگرگونی بالا مشاهده شده، گذر از رخساره آمفیبولیت بالایی به رخساره گرانولیت را مشخص می‌نماید ( $T=700\pm50$  °C,  $P=2-5$  kbar). به علاوه وجود مقادیر هر چند اندک ارتوپپروکسن (هیپرستن) و سیلیمانیت رستیتی در این سنگها، نیز نشانده‌نده گذر از رخساره آمفیبولیت به گرانولیت است که مرتبط با فرایندهای ذوب‌بخشی بدون سیال می‌باشد. یافته‌های پتروگرافی، شیمی‌کانی و ژئوشیمی سنگ‌کل حاکی از طیف محدود ترکیبی این مجموعه گرانیت‌وئیدی است که از گرانودیوریت‌های نسبتاً مافیک تا گرانیت‌های فلزیک تغییر نموده و مرتبط با درجات متفاوت عدم اختلاط مذاب - رستیت در طی مهاجرت و جایگیری ماقما می‌باشد. از آنجا که گرانزوی مذاب گرانیتی بالاست فاز مذاب به آسانی قادر به جدایش و تولید یک ماقما کاملاً مذاب نخواهد بود. در عوض هنگامی که مقدار فاز مذاب به اندازه کافی و در حد «مذاب بحرانی رئولوژیکی» (ارضی، ۱۹۷۸) یا «کسر مذاب بحرانی» (وندرمولن و پترسون<sup>۱</sup>، ۱۹۷۹) بر سد شبکه رستیت سخت خواهد شکست و کل توده ماقما کی غنی از بلور یا ادخال خواهد شد و گرانزوی موثر کمتری خواهد داشت. در نتیجه ماقما در مقایسه با سنگهای جامد منشا با ترکیب مشابه دارای چگالی کمتری خواهد بود و شناوری ذاتی آن بدان معناست که کل توده به سمت بالا حرکت خواهد نمود و به صورت یک پلوتون تزریق خواهد شد. به دلیل گرانزوی بالا و مقاومت مذاب حاصل، رستیتها به طور کامل جدا نشده و انبوهی از کانیهای رستیت باقی‌مانده، بخشی از گرانیت جامد شده را تشکیل داده است (شکل ۶-۹). با توجه به

---

<sup>۱</sup> Vander Molen & Paterson

مطالعات فابریک مغناطیسی که بر روی توده گرانیتوبیدی دره باغ (شکاری، ۱۳۹۰) و گل زرد (بدلو، ۱۳۹۰) انجام شده و همچنین با توجه به منشا و نقش کانیهای رستیتی در پتروژئن توده های نفوذی



شکل ۹-۶) تصویر شماتیک از نحوه تشکیل توده های گرانیتوبیدی مورد مطالعه از طریق آناتکسی پوسته. در این تصویر به حضور و مشارکت کانیهای رستیتی در فرایند پتروژئن تاکید شده است. پراکندگی این کانیها براساس وزن مخصوص نسبی در مقایسه با مذاب در نظر گرفته شده است.

مزبور، پیشنهاد می‌گردد توده‌های گرانیتوئیدی مزبور همراه با بخشی از مواد رستیتی بر جای مانده از ذوب در راستای فضاهای کششی بزرگ مقیاس با راستای NW-SE به ترازهای بالاتر صعود کرده و در میان اسلیت و فیلیتهای همدان با سن تریاپس پسین-ژوراسیک در پهنه ساختاری سنندج-سیرجان جایگزین شده‌اند. ماجماهای تولید شده فرایнд تبلور تفریقی را پشت سر گذاشته و گرانیت و گرانیتهای تورمالین دار، پگماتیتها و آپلیت‌ها را بوجود آورده است. شواهد صحرایی نشان می‌دهد که گرانوپوریت‌ها توسط گرانیتها و لوکوگرانیتها قطع شده‌اند. در واقع فازهای تفریق یافته از سطوح ضعف قبلی استفاده کرده و خود را به ترازهای بالاتر رسانده و سپس متبلور گردیده‌اند. ماجماهای حدواسط تا بازیک در طی یک فاز کششی اندکی تأخیری‌تر، از طریق شکاف‌ها و شکستگی‌های ایجاد شده بالا آمده و دایک‌های گابروپوریتی را به وجود آورده‌اند. فرسایش و بالازدگی بعدی منجر به رخنمون این سنگها در سطح شده است. در واقع بسیاری از پدیده‌های دگرگونی و ماجمایی مشاهده شده در زون پهنه سنندج-سیرجان مرتبط با آشفتگی‌های زمین ساختی و گرمایی بزرگ مقیاس (فرورانش و کوهزایی) ایجاد شده‌اند.

## فصل ہفتم

نتیجہ کری و پیشہ دات

## نتیجه‌گیری و پیشنهادات

### سنگ‌شناسی

توده‌های نفوذی الیگودرز به نامهای گل‌زرد و دره‌باغ و لوکوگرانیت ازنا در حدفاصل شمال الیگودرز تا ازنا در بخش شرقی استان لرستان رخنمون دارند. توده‌های گرانیت‌وئیدی نامبرده در بین سنگهای دگرگونی ناحیه‌ای درجه پایین (اسلیت، فیلیت و میکاشیست) جای گرفته و هاله‌ای از سنگهای دگرگونی مجاورتی درجه پایین (آلبیت-اپیدوت هورنفلس) را در پیرامون خود ایجاد نموده‌اند. بر اساس شواهد صحرایی، پتروگرافی و ژئوشیمیایی سه واحد گرانودیوریتی، گرانیتی و لوکوگرانیتی در مجموعه گرانیتی تشخیص داده شده است.

گرانودیوریت‌ها به عنوان متشکله اصلی توده‌های نفوذی مورد مطالعه، در زیر میکروسکوپ دارای بافت‌های گرانولار متوسط تا درشت و گرافیکی بوده و از کانیهای اصلی پلازیوکلاز، کوارتز، فلدسپارپتاسیم (ارتوز و میکروکلین) و بیوتیت تشکیل شده‌اند. آندالوزیت، گارنت، کردیریت، اسفن، آپاتیت، زیرکن ( $\pm$  مونازیت)، کانیهای اپک و روتیل کانی فرعی این واحد هستند. کانیهای ثانویه سریسیت، کلریت، اپیدوت و مسکویت نیز در برخی از مقاطع مشاهده شده‌اند. پلازیوکلاز شاخص‌ترین و فراوانترین کانی گرانودیوریت‌ها است که به صورت شکل‌دار تا نیمه شکل‌دار و از اندازه درشت تا ریز متغیرند. اکثر پلازیوکلازهای موجود در گرانودیوریت‌ها دارای منطقه‌بندی پیچیده و حاشیه‌های خورده شده بوده و با غلافی سفید تا خاکستری روشن از پلازیوکلاز آلبیتی احاطه شده‌اند. این پلازیوکلازها از نظر ظاهری شباهت بسیاری به پلازیوکلازهای باقیمانده از ذوب‌بخشی دارند که با هسته دارای آنورتیت بالا، منطقه‌بندی پیچیده و حاشیه‌های گرد شده شناخته می‌شوند. بیوتیت مهمترین و فراوانترین کانی مافیک در گرانودیوریت‌ها است. بیوتیت‌های موجود در این توده‌ها به دو صورت مشاهده می‌شوند: ۱- بیوتیت‌های ورقه‌ای شکل‌دار تا نیمه‌شکل‌دار درشت‌دانه با چند رنگی قرمز-

قهوهای و ادخال فراوانی از زیرکن ( $\pm$  مونازیت)، آپاتیت، روتیل، اسفن و کانی اپک، ۲- بیوپیت‌های دانه‌ریز دارای سوزنهای سیلیمانیت. به نظر می‌رسد بیوپیت‌های اخیر قطعاتی از کانیهای رستیت باشند. زیرکن‌ها به صورت بلورهای منشوری کوتاه و کشیده، بی‌شکل تا شکل‌دار هستند که بیشتر به صورت ادخال در بیوپیت‌ها و به مقدار کمتر در فلدسپارها مشاهده می‌شوند. آندالوزیت دارای طیفی از اندازه بلوری (از چند میلیمتر تا چند سانتیمتر) به صورت پراکنده در درون سنگ‌های گرانودیوریتی قابل مشاهده هستند. این بلورها شکل‌دار تا نیمه‌شکل‌دار بوده و در اثر هجوم سیالات گرمابی به شدت سریسیتی شده‌اند.

گرانیتها در مقایسه با گرانودیوریت‌ها دانه‌ریزتر بوده و رنگ روشن‌تری دارند. کانیهای اصلی این واحد شامل کوارتز، پتاسیم فلدسپار (ارتوكلاز و میکروکلین) و پلاژیوکلاز می‌باشند. بیوپیت، کردیریت، تورمالین، گارنت و مسکوویت نیز کانیهای فرعی گرانیتها را تشکیل می‌دهند. کانیهای رستیت در این واحد به ندرت مشاهده می‌شود. یکی از مهمترین ویژگیهای گرانیتها حضور رگه‌های گریزنی شده و مسکوویت‌زایی فراوان می‌باشد که در نتیجه دگرسانی گرمابی سنگ گرانیتی دارای مخلوطی از کوارتز و میکا (لیتیم‌دار)، با توپاز، تورمالین، فلوئوریت یا سایر کانیهای غنی از فلوئور و بور ایجاد شده است.

لوكوگرانیتها با رنگ سفید تا خاکستری و نبود یا کمبود کانیهای تیره از سایر واحدها متمایز می‌شود که این واحد در توده‌های دره‌باغ و گل‌زرد بیشتر به صورت دایک، رگه و رگچه و در ناحیه ازنا به صورت یک استوک رخنمون دارد. بر اساس مطالعات پتروگرافی کوارتز، پلاژیوکلاز آلبیتی و الکالی فلدسپار (ارتوز و میکروکلین) کانیهای اصلی و مسکوویت و تورمالین از کانیها فرعی لوكوگرانیتها محسوب می‌شوند. کوارتز به صورت بلورهای درشت و گاهی دانه‌ریز فضای بین بلورهای پلاژیوکلاز و فلدسپار را پر کرده است. در مطالعات پتروگرافی این سنگها، هیچ شاهدی از حضور کانیهای رستیتی (پلاژیوکلازهای کلسیک، گارنت، آندالوزیت و ...) وجود ندارد.

- با توجه به شواهد موجود از جمله زینوکریستهای آندالوزیت، آنکلاوهای متابلیتی و متاپسamtی،  
حضور کانی گارنت، بیوتیت، تورمالین، مسکوویت زایی فراوان و همچنین آنکلاوهای سورومیکاسه  
می‌توان گفت که گرانیت‌وئیدهای الیگودرز و ازنا از نوع S و پرآلومین هستند.

- در گرانودیوریتهای منطقه الیگودرز انکلاو به فراوانی یافت شده و تنوع زیادی از لحاظ مورفولوژی،  
کانی‌شناسی و سنگ‌شناسی دارند. آنکلاوهای سورومیکاسه از بیوتیت، کوارتز، پلاژیوکلاز و به مقدار  
کمتر زیرکن، سیلیمانیت، گارنت، تورمالین تشکیل شده‌اند. آنکلاوهای سیلیسی از لحاظ پتروگرافی  
غالباً تک کانی هستند و فقط از کوارتز تشکیل شده‌اند. اندازه دانه‌های کوارتز در این آنکلاوها سیلیسی  
بسته به حجم توده نفوذی اولیه تا حدودی متغیر است. زینوکریستهای مشاهده شده در این منطقه  
شامل پورفیروبلاستهای آندالوزیت و گارنت است که آندالوزیت به وفور در نمونه دستی و صحرابی به  
خوبی قابل تشخیص است.

### شیمی کانی

- نتایج تجزیه نقطه‌ای نشان می‌دهد که محتوای  $\text{Al}^{\text{IV}}$  بیوتیتهای ورقه‌ای درشت خیلی بالا نبوده و  
ویژگی بارز گرانیتهای کالک‌آلکالن را نشان می‌دهند.

- محتوای آنورتیت پلاژیوکلازهای موجود در توده‌های نفوذی الیگودرز از گرانودیوریت به سمت  
گرانیت کاهش می‌یابد. گرانودیوریتها بیشترین مقدار پلاژیوکلاز با هسته‌های کلسیک نسبتاً یکنواخت  
دارند که به پلاژیوکلازهای باقیمانده از ذوب‌بخشی شباهت داشته و به دلیل ترکیب یکنواختشان  
فازهای رستیتی در نظر گرفته می‌شوند.

- گارنت یکی از مهمترین کانیهای فرعی در گرانیت نوع S الیگودرز می‌باشد. بر اساس خصوصیات  
بافتی و ترکیب شیمی گارنت می‌توان نتیجه گرفت که این گارنتهای دارای ترکیب نسبتاً یکنواختی بوده  
و سرشار از آلماندن می‌باشند اما تغییراتی در  $(\text{Mg}+\text{Fe})/\text{Mg}$  در نزدیکی حاشیه‌ها نشان می‌دهد.

کاهش  $Mg\#$  و افزایش Mn از هسته به سمت حاشیه نشان می‌دهد که گارنتهای مورد نظر منشا رستیتی داشته و تحت تاثیر فرایند انتشار قهقرایی قرار گرفته‌اند. گارنتهای موجود با ابعاد کوچک تا بزرگ (حدود ۱ سانتی‌متر) و با برجستگی بالا قابل روئیت هستند و در برخی موارد از حاشیه با بیوتیت و یا کردیریت پنیتی شده (ترکیبی از سرسیت و کلریت) جایگزین شده است. نتایج این تحقیق نشان می‌دهد که در پتروژنر گرانیتهای نوع S، متخلکه‌هایی که از منشا به ارث می‌رسند اما غیر قابل محلول در مذاب هستند با سیستم ماقمایی که در آن قرار می‌گیرند به تعادل می‌رسند.

- آندالوزیت یک کانی فرعی است که در طیفی از سنگهای آذرین فلیک به شدت پرآلومین منطقه الیگودرز مشاهده می‌شود. بلورهای آندالوزیت در طی واکنشهای دگرگونی، تبلور از ماقما و یا طی فرایندهای متاسوماتیسم تشکیل می‌شوند که هر کدام ویژگیهای بارز خود را دارند. اگرچه با توجه به شواهد کانی‌شناسی و نتایج تجزیه شیمی منشا دقیق این کانی مشخص نشده است اما همرشدی‌هایی از آلکالی فلدسپار و مسکوویت ( $\pm$  بیوتیت و کوارتز) در قالب بلورهای آندالوزیت نشان می‌دهد که سیالات گرمابی اطراف توده‌ها موجب تغییرات ترکیب کانی‌شناسی بلورها شده‌اند.

### ژئوشیمی

گرانیتوئیدهای الیگودرز با دارا بودن ماهیت کالک‌آلکالن و غنی از پتابسیم، پرآلومین بودن (درجه اشباع شدگی از آلومینیوم > ۱/۱)، محتوای بالای  $SiO_2$ ، محتوای پایین  $Na_2O$  متعلق به گرانیتهای نوع S بوده و طیف ترکیبی کاملی از گرانوڈیوریت تا لوکوگرانیت تفریق یافته را شامل می‌شود.

روندهای خطی مشاهده شده در نمودارهای تغییرات عناصر همراه با کاهش چشمگیر فراوانی عناصر کمیابی مانند Zr، P و LREE (Ce) از گرانوڈیوریتها به سمت گرانیتها با روند عادی فرایند تبلور به عنوان تنها عامل موثر در تحول ماقمایی مغایرت داشته و مدل جدایش کانیهای رستیتی را تایید می‌نماید. تنوع ترکیبی مشاهده شده در بخش‌های مافیکتر (گرانوڈیوریتها) را می‌توان به درجات

مختلف جدایش مذاب از رستیت در تعادل با ماگما و تغییرات موجود در بخش‌های فلزیکتر (گرانیتها) این جایگاه را به تبلور تفریقی نسبت داد. در واقع تفریق در این گرانیت‌وئیدها هر دو فرایند عدم اختلاط رستیتی و تبلور ماگمایی را شامل می‌شود.

کاهش محتوای Zr از گرانودیوریتها به سمت لوکوگرانیتها نشان می‌دهد بلورهای زیرکن در فاز مذابی که این گرانیتها بوجود آمده‌اند وجود داشته یا مذاب اشباع از زیرکن بوده است. از شواهد رستیتی بودن آپاتیت می‌توان به مقدار بسیار کم اکسید فسفر (کمتر از ۰/۵ درصد وزنی) اشاره نمود همچنین با افزایش سیلیس از گرانودیوریت به سمت لوکوگرانیتها کاهش می‌یابد و همچنین در برگرفته شدن آپاتیت در داخل بیوتیت اشاره کرد.

## منشا

- محتوای کرندوم نرماتیو (٪۴)، محتوای پایین  $\text{Na}_2\text{O}$  (٪۳) و مقادیر  $\text{Sr}$  و  $\text{Ba}$  بالا و  $\text{Rb}$  پایین و مشابهت ترکیبی مشاهده شده در میانگین فراوانی گرانیت الیگودرز با ترکیب پوسته قاره بالایی به وضوح یک منشاء پوسته قاره‌ای بالایی را برای گرانیت الیگودرز تداعی می‌نماید.

با توجه به شواهد ارائه شده از ترکیب کانیایی، حضور بیوتیت‌های رستیتی باقی مانده از ذوب بخشی و دماهای تشکیل گرانیت مزبور (میانگین ۷۹۰ درجه سانتی‌گراد) که به خوبی با دمای لازم برای واکنش‌های شکست بیوتیت (دمای بالاتر از ۸۳۰ تا ۸۵۰ درجه سانتی‌گراد و فشار بالاتر از ۷ کیلوبار) مطابقت می‌نماید، چنین برداشت می‌شود که ذوب بخشی اساساً به واسطه واکنش‌های شکست بیوتیت و در دمای حدود ۷۵۰ تا ۸۵۰ درجه سانتی‌گراد صورت گرفته است.

سنگهای گرانیتی الیگودرز در نمودار تغییرات عناصر کمیاب که نسبت به کندریت و گوشته اولیه عادی سازی شده‌اند غنی شدگی از عناصر LILE (شامل K, Rb, Th و U) و تهی شدگی از عناصر (Nb, Ti, HFSE) را نشان می‌دهند که با الگوی گرانیتها مرتبه با فروزانش همخوانی دارد. به علاوه در

نمودارهای تکتونیکی نیز ویژگی‌های گرانیت‌وئیدهای کالکوآلکالن کمان آتشفسانی را نشان می‌دهند. با توجه به جایگاه زمین‌شناسی و تکتونیکی منطقه مورد مطالعه، تشکیل گرانیت‌وئیدهای الیگودرز به فرورانش ورقه اقیانوسی نئوتیس به زیر خرده قاره ایران مرکزی نسبت داده می‌شود.

گرمای ناشی از واپاشی عناصر رادیواکتیو در طی ضخیم شدگی پوسته‌ای و وجود دایکهای مافیک در داخل واحد مونزوگرانیتی که از یک زون فرورانش مشتق شده‌اند مکانیزم اصلی برای فرایند آناتکسی در این محیط تکتونیکی بوده است.

با توجه به اینکه ترکیب میانگین گرانیت‌های الیگودرز و پوسته قاره بالایی مشابه‌هایی با هم دارند و کلیه نمونه‌ها از روند شیلهای بعد از آرکئن استرالیا (PAAS) متابعت می‌نمایند که نشان می‌دهد این گرانیتها از سنگهای با منشا پوسته‌ای بوجود آمده‌اند.

## پیشنهادات

- بررسی دقیق هاله‌های دگرگونی مجاورتی موجود در اطراف توده‌های گرانیتوئیدی مزبور.
- مطالعات دقیق پتروگرافی و ژئوشیمیایی و بخصوص شیمی کانی از واحد میگماتیتی موجود.
- شناسایی انواع کانیهای رستیتی در سایر توده‌های نفوذی موجود در داخل زون سنندج-سیرجان به منظور بازسازی فرایند صحیح پتروژنر و منشا آنها.

# پیوست

(جدول ۱) نتایج تجزیه نقطه‌ای (میکروپروب) گارنت توده‌های نفوذی الیگودرز

X	1	2	3	4	5	6	7	8	9	10	13	14	15	16	17	18	19	20	21	22	23	24	25
SiO <sub>2</sub>	11.14	11.57	36.53	36.71	36.80	37.25	36.54	36.77	37.56	36.91	36.71	36.80	36.44	36.85	36.50	36.17	36.17	36.58	36.25	36.55	36.04	36.41	37.05
TiO <sub>2</sub>	0.11	0.27	0.21	0.18	0.19	0.16	0.16	0.11	0.16	0.24	0.15	0.09	0.08	0.16	0.13	0.14	0.09	0.06	0.11	0.10	0.11	0.10	0.09
Al <sub>2</sub> O <sub>3</sub>	4.95	5.94	20.41	21.01	20.82	21.23	20.71	21.17	20.78	20.98	20.56	21.12	20.89	21.13	20.98	21.05	20.92	21.20	21.05	21.12	20.95	21.16	21.41
Fe <sub>2</sub> O <sub>3</sub>	0.00	0.00	1.14	0.72	0.81	0.66	0.89	0.48	0.86	0.52	1.30	0.99	0.91	0.88	0.94	0.64	0.79	0.74	0.85	0.81	1.01	0.86	0.73
MgO	1.88	2.59	4.92	5.27	5.40	5.57	5.52	5.55	5.44	5.35	5.58	5.63	5.57	5.67	5.77	5.71	5.83	5.88	5.81	5.78	5.84	5.91	6.00
MnO	0.00	0.00	1.53	1.48	1.43	1.35	1.48	1.50	1.60	1.42	1.59	1.58	1.72	1.33	1.63	1.53	1.60	1.57	1.66	1.52	1.48	1.62	1.62
FeO	4.29	5.94	32.23	32.30	31.92	32.35	31.45	31.88	31.71	31.87	31.62	32.32	31.68	32.32	31.61	31.48	31.20	31.71	31.57	31.90	31.62	31.70	31.82
CaO	1.06	0.34	1.67	1.71	1.64	1.65	1.71	1.65	1.61	1.72	1.58	1.60	1.59	1.62	1.62	1.69	1.62	1.57	1.59	1.56	1.65	1.57	1.62
Total	23.43	26.66	98.64	99.37	99.02	100.21	98.47	99.09	99.72	99.01	99.10	100.13	98.89	99.96	99.17	98.40	98.23	99.32	98.89	99.34	98.70	99.31	100.34
Si	8.33	7.14	5.87	5.80	5.85	5.84	5.83	5.81	5.98	5.88	5.83	5.74	5.76	5.77	5.74	5.72	5.73	5.73	5.70	5.73	5.66	5.69	5.75
Ti	0.06	0.13	0.03	0.02	0.02	0.02	0.02	0.01	0.02	0.03	0.02	0.01	0.01	0.02	0.02	0.02	0.01	0.01	0.01	0.01	0.01	0.01	0.01
sum4	8.39	7.27	5.89	5.83	5.88	5.86	5.85	5.82	6.00	5.91	5.84	5.75	5.77	5.78	5.76	5.74	5.74	5.73	5.71	5.74	5.68	5.70	5.76
Al	4.37	4.32	3.86	3.91	3.90	3.92	3.89	3.94	3.90	3.94	3.85	3.88	3.89	3.90	3.89	3.92	3.91	3.91	3.90	3.90	3.88	3.90	3.91
Fe <sub>3</sub>	0.00	0.00	0.14	0.09	0.10	0.08	0.11	0.06	0.10	0.06	0.15	0.12	0.11	0.10	0.11	0.08	0.09	0.09	0.10	0.10	0.12	0.10	0.09
sum6	4.37	4.32	4.00	4.00	4.00	4.00	4.00	4.00	4.00	4.00	4.00	4.00	4.00	4.00	4.00	4.00	4.00	4.00	4.00	4.00	4.00	4.00	4.00
Fe <sub>2</sub>	2.68	3.07	4.33	4.27	4.25	4.24	4.20	4.21	4.22	4.24	4.20	4.22	4.19	4.23	4.16	4.16	4.13	4.15	4.15	4.18	4.16	4.14	4.13
Mg	2.10	2.38	1.18	1.24	1.28	1.30	1.31	1.31	1.29	1.27	1.32	1.31	1.31	1.32	1.35	1.35	1.38	1.37	1.36	1.35	1.37	1.38	1.39
Ca	0.85	0.22	0.29	0.29	0.28	0.28	0.29	0.28	0.29	0.27	0.27	0.27	0.27	0.27	0.29	0.27	0.26	0.27	0.26	0.28	0.26	0.27	0.27
Mn	0.00	0.00	0.21	0.20	0.19	0.18	0.20	0.20	0.22	0.19	0.21	0.21	0.23	0.18	0.22	0.20	0.21	0.21	0.22	0.20	0.20	0.21	0.21
sum8	5.63	5.68	6.00	6.00	6.00	6.00	6.00	6.00	6.00	6.00	6.00	6.00	6.00	6.00	6.00	6.00	6.00	6.00	6.00	6.00	6.00	6.00	6.00
Ti_garnet	0.01	0.02	0.00	0.00	0.00	0.00	0.00	0.00	0.00	0.00	0.00	0.00	0.00	0.00	0.00	0.00	0.00	0.00	0.00	0.00	0.00	0.00	0.00
grossular	0.15	0.04	0.05	0.05	0.05	0.05	0.05	0.05	0.05	0.04	0.04	0.04	0.05	0.05	0.05	0.05	0.04	0.04	0.04	0.05	0.04	0.04	0.04
pyrope	0.37	0.40	0.19	0.20	0.21	0.21	0.22	0.22	0.21	0.21	0.22	0.22	0.22	0.22	0.22	0.23	0.23	0.22	0.22	0.23	0.23	0.23	0.23
almandine	0.48	0.54	0.72	0.71	0.71	0.71	0.70	0.70	0.70	0.71	0.70	0.70	0.70	0.70	0.69	0.69	0.69	0.69	0.70	0.69	0.69	0.69	0.69
spessartine	0.00	0.00	0.03	0.03	0.03	0.03	0.03	0.04	0.03	0.04	0.03	0.04	0.03	0.04	0.03	0.04	0.03	0.04	0.03	0.04	0.03	0.04	0.04
Ti_garnet	0.71	1.75	0.43	0.36	0.39	0.32	0.34	0.22	0.31	0.49	0.30	0.18	0.16	0.33	0.26	0.28	0.19	0.12	0.22	0.21	0.24	0.20	0.17
grossular	15.09	3.96	4.78	4.83	4.67	4.62	4.86	4.66	4.58	4.89	4.48	4.45	4.50	4.53	4.54	4.77	4.57	4.40	4.48	4.38	4.64	4.39	4.49
pyrope	36.55	40.26	19.21	20.32	20.97	21.37	21.56	21.56	21.19	20.69	21.71	21.63	21.72	21.72	22.28	22.15	22.77	22.78	22.45	22.30	22.57	22.77	22.96
almandine	47.65	54.03	72.12	71.18	70.76	70.70	69.92	70.23	70.32	70.74	69.94	70.26	69.78	70.48	69.31	69.39	68.90	69.22	69.17	69.74	69.26	69.08	68.81
spessartine	0.00	0.00	3.47	3.30	3.22	2.99	3.32	3.34	3.59	3.19	3.57	3.47	3.84	2.94	3.61	3.41	3.57	3.48	3.68	3.36	3.29	3.57	3.55

X	26	27	28	29	30	32	33	34	35	36	37	38	39	40	41	42	43	44	45	46	47	48	49	50	
SiO <sub>2</sub>	36.40	36.17	34.98	35.65	35.90	37.22	36.24	35.71	36.19	34.35	36.36	36.47	36.19	36.79	34.81	35.57	35.49	35.99	35.96	36.12	35.97	36.16	36.06	53.75	
TiO <sub>2</sub>	0.13	0.12	0.11	0.14	0.17	0.16	0.15	0.12	0.16	0.15	0.17	0.18	0.14	0.14	0.15	0.14	0.13	0.13	0.16	0.17	0.14	0.15	0.06	0.01	
Al <sub>2</sub> O <sub>3</sub>	21.16	20.92	20.29	20.74	20.55	21.58	20.94	20.72	20.83	19.74	20.88	21.09	20.83	21.19	19.59	20.47	20.33	20.70	20.57	20.85	20.64	20.92	20.00	27.79	
Fe <sub>2</sub> O <sub>3</sub>	0.61	0.69	0.00	1.00	0.96	0.00	0.98	1.06	1.49	1.60	0.76	0.54	0.87	0.57	1.64	1.16	1.23	0.78	0.84	0.29	0.84	0.63	0.00	0.00	
MgO	5.98	5.87	5.68	5.85	5.72	6.04	5.89	5.74	5.96	5.27	5.61	5.64	5.53	5.48	5.01	5.07	4.99	4.64	4.37	4.23	4.00	3.85	6.30	0.07	
MnO	1.66	1.68	1.49	1.62	1.60	1.61	1.58	1.65	1.59	1.55	1.65	1.65	1.65	1.68	1.56	1.50	1.78	2.05	2.37	2.64	3.38	3.71	0.57	0.02	
FeO	31.16	30.97	29.33	30.98	30.84	31.11	31.41	31.14	31.68	30.84	31.40	31.53	31.67	32.05	31.05	32.16	31.93	32.41	32.42	32.18	32.18	32.44	22.44	0.36	
CaO	1.61	1.57	1.50	1.67	1.62	1.62	1.69	1.65	1.62	1.63	1.60	1.56	1.60	1.62	1.64	1.57	1.61	1.58	1.61	1.60	1.58	0.70	8.49		
<b>Total</b>	<b>98.71</b>	<b>97.99</b>	<b>93.37</b>	<b>97.64</b>	<b>97.36</b>	<b>99.34</b>	<b>98.82</b>	<b>97.85</b>	<b>99.55</b>	<b>95.11</b>	<b>98.46</b>	<b>98.72</b>	<b>98.44</b>	<b>99.49</b>	<b>95.43</b>	<b>97.71</b>	<b>97.45</b>	<b>98.30</b>	<b>98.27</b>	<b>98.08</b>	<b>98.75</b>	<b>99.44</b>	<b>86.13</b>	<b>90.48</b>	
Si	5.73	5.75	5.85	5.66	5.76	5.86	5.70	5.67	5.64	5.62	5.77	5.77	5.75	5.79	5.72	5.69	5.70	5.76	5.78	5.83	5.76	5.76	6.81	12.72	
Ti	0.02	0.01	0.01	0.02	0.02	0.02	0.01	0.02	0.02	0.02	0.02	0.02	0.02	0.02	0.02	0.02	0.02	0.02	0.02	0.02	0.02	0.02	0.01	0.00	
sum4	5.75	5.76	5.87	5.68	5.78	5.88	5.72	5.68	5.66	5.63	5.80	5.80	5.76	5.81	5.74	5.71	5.72	5.78	5.80	5.85	5.78	5.77	6.82	12.72	
Al	3.93	3.92	4.00	3.88	3.88	4.00	3.88	3.87	3.83	3.80	3.91	3.94	3.90	3.93	3.80	3.86	3.85	3.91	3.90	3.96	3.90	3.92	4.45	7.75	
Fe <sub>3</sub>	0.07	0.08	0.00	0.12	0.12	0.00	0.12	0.13	0.17	0.20	0.09	0.06	0.10	0.07	0.20	0.14	0.15	0.09	0.10	0.04	0.10	0.08	0.00	0.00	
sum6	4.00	4.00	4.00	4.00	4.00	4.00	4.00	4.00	4.00	4.00	4.00	4.00	4.00	4.00	4.00	4.00	4.00	4.00	4.00	4.00	4.00	4.00	4.45	7.75	
Fe <sub>2</sub>	4.10	4.11	4.10	4.11	4.14	4.09	4.13	4.13	4.13	4.22	4.17	4.17	4.20	4.22	4.27	4.30	4.29	4.34	4.36	4.34	4.31	4.32	3.54	0.07	
Mg	1.40	1.39	1.42	1.38	1.37	1.42	1.38	1.36	1.39	1.28	1.33	1.33	1.31	1.29	1.23	1.21	1.20	1.11	1.05	1.02	0.96	0.91	1.77	0.02	
Ca	0.27	0.27	0.27	0.28	0.28	0.27	0.27	0.29	0.28	0.28	0.28	0.27	0.27	0.27	0.29	0.28	0.27	0.28	0.27	0.27	0.27	0.27	0.14	2.15	
Mn	0.22	0.23	0.21	0.22	0.22	0.21	0.21	0.22	0.21	0.22	0.22	0.22	0.22	0.22	0.22	0.20	0.24	0.28	0.32	0.36	0.46	0.50	0.09	0.00	
sum8	6.00	6.00	6.00	6.00	6.00	6.00	6.00	6.00	6.00	6.00	6.00	6.00	6.00	6.00	6.00	6.00	6.00	6.00	6.00	6.00	6.00	6.00	5.55	2.25	
Ti_garnet	0.00	0.00	0.00	0.00	0.00	0.00	0.00	0.00	0.00	0.00	0.00	0.00	0.00	0.00	0.00	0.00	0.00	0.00	0.00	0.00	0.00	0.00	0.00	0.00	
grossular	0.05	0.04	0.04	0.05	0.05	0.05	0.05	0.05	0.05	0.05	0.05	0.04	0.05	0.05	0.05	0.05	0.05	0.05	0.05	0.05	0.05	0.05	0.05	0.03	0.96
pyrope	0.23	0.23	0.23	0.23	0.22	0.23	0.23	0.22	0.23	0.21	0.22	0.22	0.22	0.21	0.20	0.20	0.20	0.18	0.17	0.17	0.16	0.15	0.32	0.01	
almandine	0.68	0.69	0.68	0.69	0.69	0.68	0.69	0.69	0.69	0.70	0.70	0.70	0.70	0.70	0.71	0.72	0.72	0.73	0.72	0.72	0.72	0.72	0.64	0.03	
spessartine	0.04	0.04	0.04	0.04	0.04	0.04	0.04	0.03	0.04	0.04	0.04	0.04	0.04	0.04	0.03	0.04	0.05	0.05	0.06	0.08	0.08	0.02	0.00		
Ti_garnet	0.27	0.24	0.24	0.29	0.36	0.33	0.32	0.26	0.34	0.33	0.36	0.37	0.30	0.28	0.33	0.29	0.28	0.28	0.33	0.35	0.29	0.31	0.13	0.02	
grossular	4.53	4.46	4.49	4.73	4.63	4.55	4.54	4.79	4.60	4.72	4.62	4.53	4.43	4.50	4.76	4.69	4.50	4.60	4.52	4.63	4.57	4.50	2.56	95.71	
pyrope	23.14	22.94	23.37	22.79	22.44	23.28	22.73	22.38	22.74	21.08	21.80	21.83	21.52	21.15	20.12	19.87	19.65	18.19	17.13	16.63	15.63	14.91	31.83	1.01	
almandine	68.39	68.58	68.40	68.55	68.94	68.26	68.91	68.87	68.82	70.29	69.52	69.58	70.06	70.33	71.17	71.75	71.53	72.31	72.65	72.38	71.86	71.95	63.84	3.12	
spessartine	3.68	3.77	3.51	3.64	3.62	3.58	3.50	3.70	3.50	3.59	3.71	3.69	3.69	3.73	3.62	3.40	4.04	4.62	5.37	6.01	7.65	8.33	1.64	0.14	

## ادامه جدول ١

X	51	52	53	54	55	56	57	58	59	61	62	63	64	65	66	67	68	69	70	73	74	75
SiO <sub>2</sub>	24.92	35.86	36.28	35.04	35.84	35.42	35.66	35.20	34.75	36.60	34.76	35.33	34.82	35.30	34.57	34.87	34.41	34.37	33.75	35.25	34.12	33.83
TiO <sub>2</sub>	0.03	0.15	0.11	0.14	0.11	0.10	0.15	0.05	0.12	0.17	0.10	0.15	0.15	0.11	0.12	0.12	0.16	0.13	0.10	0.14	0.13	0.11
Al <sub>2</sub> O <sub>3</sub>	20.63	21.10	20.92	20.58	20.94	20.81	20.70	20.71	20.46	21.43	20.79	20.61	20.63	20.29	20.41	20.27	20.40	20.21	19.88	20.80	20.46	19.72
Fe <sub>2</sub> O <sub>3</sub>	2.88	0.79	1.05	1.43	1.03	1.02	1.23	1.02	1.05	0.38	1.12	1.15	1.25	1.48	1.50	1.33	1.35	1.51	1.38	0.99	1.41	1.77
MgO	10.72	5.94	5.97	5.84	5.88	5.65	5.87	5.79	5.75	5.98	5.80	5.77	5.85	5.75	5.73	5.71	5.78	5.75	5.62	5.82	5.74	5.55
MnO	0.42	1.56	1.55	1.59	1.59	1.69	1.53	1.58	1.67	1.69	1.61	1.60	1.68	1.63	1.63	1.61	1.59	1.62	1.50	1.63	1.52	1.58
FeO	27.78	31.42	31.39	31.30	31.48	31.49	31.26	31.18	30.65	31.37	31.42	31.14	31.05	30.99	31.30	30.85	30.94	30.85	30.23	31.25	31.28	30.57
CaO	0.12	1.63	1.59	1.65	1.63	1.64	1.66	1.59	1.63	1.61	1.62	1.62	1.65	1.56	1.56	1.55	1.64	1.58	1.65	1.60	1.65	1.58
<b>Total</b>	<b>87.50</b>	<b>98.44</b>	<b>98.85</b>	<b>97.57</b>	<b>98.50</b>	<b>97.82</b>	<b>98.06</b>	<b>97.11</b>	<b>96.08</b>	<b>99.24</b>	<b>97.21</b>	<b>97.37</b>	<b>97.08</b>	<b>97.12</b>	<b>96.80</b>	<b>96.31</b>	<b>96.26</b>	<b>96.02</b>	<b>94.10</b>	<b>97.48</b>	<b>96.32</b>	<b>94.72</b>
Si	3.77	5.63	5.71	5.53	5.63	5.60	5.63	5.59	5.58	5.73	5.49	5.62	5.52	5.64	5.49	5.60	5.49	5.51	5.52	5.58	5.42	5.50
Ti	0.00	0.02	0.01	0.02	0.01	0.01	0.02	0.01	0.01	0.02	0.01	0.02	0.02	0.01	0.01	0.02	0.02	0.02	0.01	0.02	0.02	0.01
sum4	3.77	5.65	5.72	5.55	5.64	5.61	5.65	5.60	5.60	5.75	5.50	5.64	5.53	5.66	5.51	5.62	5.51	5.52	5.53	5.60	5.44	5.52
Al	3.67	3.91	3.88	3.83	3.88	3.88	3.85	3.88	3.87	3.96	3.87	3.86	3.85	3.82	3.82	3.84	3.84	3.82	3.83	3.88	3.83	3.78
Fe <sub>3</sub>	0.33	0.09	0.12	0.17	0.12	0.12	0.15	0.12	0.13	0.04	0.13	0.14	0.15	0.18	0.18	0.16	0.16	0.18	0.17	0.12	0.17	0.22
sum6	4.00	4.00	4.00	4.00	4.00	4.00	4.00	4.00	4.00	4.00	4.00	4.00	4.00	4.00	4.00	4.00	4.00	4.00	4.00	4.00	4.00	4.00
Fe <sub>2</sub>	3.51	4.13	4.13	4.13	4.14	4.16	4.13	4.14	4.12	4.11	4.15	4.14	4.11	4.14	4.16	4.15	4.13	4.13	4.13	4.14	4.16	4.16
Mg	2.42	1.39	1.40	1.38	1.38	1.33	1.38	1.37	1.38	1.40	1.36	1.37	1.38	1.37	1.36	1.37	1.37	1.37	1.37	1.37	1.36	1.35
Ca	0.02	0.27	0.27	0.28	0.27	0.28	0.28	0.27	0.28	0.27	0.27	0.28	0.28	0.27	0.27	0.27	0.28	0.27	0.29	0.27	0.28	0.28
Mn	0.05	0.21	0.21	0.21	0.21	0.23	0.21	0.21	0.23	0.22	0.22	0.21	0.23	0.22	0.22	0.22	0.21	0.22	0.21	0.22	0.20	0.22
sum8	6.00	6.00	6.00	6.00	6.00	6.00	6.00	6.00	6.00	6.00	6.00	6.00	6.00	6.00	6.00	6.00	6.00	6.00	6.00	6.00	6.00	6.00
Ti_garnet	0.00	0.00	0.00	0.00	0.00	0.00	0.00	0.00	0.00	0.00	0.00	0.00	0.00	0.00	0.00	0.00	0.00	0.00	0.00	0.00	0.00	0.00
grossular	0.00	0.05	0.04	0.05	0.05	0.05	0.05	0.05	0.05	0.05	0.05	0.05	0.05	0.04	0.04	0.04	0.05	0.05	0.05	0.05	0.05	0.05
pyrope	0.40	0.23	0.23	0.23	0.22	0.23	0.23	0.23	0.23	0.23	0.23	0.22	0.23	0.23	0.22	0.23	0.23	0.23	0.23	0.23	0.22	0.22
almandine	0.59	0.69	0.69	0.69	0.69	0.69	0.69	0.69	0.69	0.68	0.69	0.69	0.69	0.69	0.69	0.69	0.69	0.69	0.69	0.69	0.69	0.69
spessartine	0.01	0.03	0.03	0.04	0.04	0.04	0.03	0.04	0.04	0.04	0.04	0.04	0.04	0.04	0.04	0.04	0.04	0.04	0.03	0.04	0.03	0.04
Ti_garnet	0.09	0.31	0.23	0.31	0.23	0.20	0.31	0.10	0.27	0.34	0.22	0.31	0.33	0.24	0.26	0.27	0.34	0.27	0.22	0.30	0.30	0.25
grossular	0.33	4.56	4.47	4.65	4.58	4.63	4.68	4.52	4.66	4.51	4.56	4.61	4.65	4.46	4.42	4.45	4.67	4.52	4.83	4.51	4.69	4.59
pyrope	40.17	22.88	23.08	22.62	22.71	21.99	22.74	22.75	22.66	22.94	22.51	22.47	22.70	22.61	22.35	22.52	22.57	22.64	22.61	22.59	22.35	22.20
almandine	58.51	68.80	68.79	68.89	68.96	69.40	68.84	69.07	68.62	68.46	69.12	69.03	68.55	69.02	69.31	69.11	68.84	68.91	68.89	68.95	69.25	69.32

	76	77	78	79	80	81	82	83	84	85	86	87	88	89	90	91	92	94	95	96	97	99	100
SiO <sub>2</sub>	33.97	34.26	34.06	33.70	33.92	35.79	33.96	34.40	34.40	34.00	33.83	33.61	34.03	33.74	33.74	29.48	33.64	29.47	33.77	33.72	16.49	31.57	33.60
TiO <sub>2</sub>	0.15	0.12	0.12	0.13	0.12	0.11	0.11	0.12	0.10	0.14	0.13	0.14	0.18	0.20	0.13	0.15	0.12	0.19	0.12	0.11	0.07	0.40	0.19

Al2O3	20.30	20.16	20.37	20.14	20.23	21.28	20.17	20.09	20.20	20.12	20.27	20.05	20.53	19.96	20.35	17.38	19.88	18.48	20.15	20.33	11.41	16.61	19.55
Fe2O3	1.72	1.55	1.46	1.46	1.73	0.52	1.51	1.67	1.73	1.66	1.49	1.57	1.19	1.60	1.32	3.26	1.68	1.75	1.32	1.32	7.85	1.42	0.09
MgO	5.64	5.63	5.67	5.64	5.78	6.08	5.57	5.63	5.62	5.59	5.60	5.66	5.66	5.46	5.49	4.59	5.29	6.10	5.46	5.35	4.81	5.83	4.14
MnO	1.64	1.46	1.44	1.54	1.49	1.35	1.43	1.44	1.52	1.42	1.46	1.37	1.45	1.40	1.43	1.57	1.39	1.34	1.37	1.41	0.99	1.27	1.89
FeO	31.45	31.24	31.41	30.98	31.27	31.41	31.29	31.14	31.48	31.26	31.31	30.95	31.43	31.16	31.57	29.32	31.38	27.37	31.22	31.71	24.06	24.48	29.46
CaO	1.62	1.53	1.60	1.52	1.58	1.62	1.56	1.62	1.56	1.65	1.63	1.61	1.57	1.57	1.55	1.59	1.61	1.43	1.58	1.61	0.84	0.68	2.10
<b>Total</b>	<b>96.49</b>	<b>95.95</b>	<b>96.14</b>	<b>95.12</b>	<b>96.12</b>	<b>98.17</b>	<b>95.61</b>	<b>96.09</b>	<b>96.61</b>	<b>95.85</b>	<b>95.72</b>	<b>94.98</b>	<b>96.03</b>	<b>95.10</b>	<b>95.58</b>	<b>87.34</b>	<b>94.99</b>	<b>86.11</b>	<b>94.98</b>	<b>95.55</b>	<b>66.51</b>	<b>82.26</b>	<b>91.02</b>
Si	5.39	5.50	5.43	5.43	5.39	5.62	5.45	5.52	5.48	5.45	5.41	5.42	5.43	5.46	5.40	5.14	5.45	5.10	5.46	5.41	3.41	6.12	5.82
Ti	0.02	0.01	0.01	0.02	0.01	0.01	0.01	0.01	0.01	0.02	0.02	0.02	0.02	0.02	0.02	0.02	0.01	0.02	0.01	0.01	0.01	0.06	0.02
sum4	5.41	5.51	5.44	5.44	5.41	5.63	5.47	5.53	5.49	5.46	5.43	5.44	5.45	5.48	5.42	5.16	5.46	5.13	5.48	5.42	3.42	6.18	5.84
Al	3.80	3.81	3.82	3.82	3.79	3.94	3.82	3.80	3.79	3.80	3.82	3.81	3.86	3.81	3.84	3.57	3.80	3.77	3.84	3.84	2.78	3.79	3.99
Fe3	0.20	0.19	0.18	0.18	0.21	0.06	0.18	0.20	0.21	0.20	0.18	0.19	0.14	0.19	0.16	0.43	0.20	0.23	0.16	0.16	1.22	0.21	0.01
sum6	4.00	4.00	4.00	4.00	4.00	4.00	4.00	4.00	4.00	4.00	4.00	4.00	4.00	4.00	4.00	4.00	4.00	4.00	4.00	4.00	4.00	4.00	4.00
Fe2	4.17	4.19	4.19	4.17	4.16	4.12	4.20	4.18	4.19	4.19	4.19	4.17	4.19	4.22	4.23	4.28	4.25	3.96	4.22	4.25	4.16	3.97	4.27
Mg	1.33	1.35	1.35	1.35	1.37	1.42	1.33	1.35	1.33	1.34	1.33	1.36	1.35	1.32	1.31	1.19	1.28	1.57	1.32	1.28	1.48	1.68	1.07
Ca	0.28	0.26	0.27	0.26	0.27	0.27	0.27	0.28	0.27	0.28	0.28	0.28	0.27	0.27	0.27	0.30	0.28	0.27	0.27	0.28	0.19	0.14	0.39
Mn	0.22	0.20	0.19	0.21	0.20	0.18	0.19	0.20	0.21	0.19	0.20	0.19	0.20	0.19	0.19	0.23	0.19	0.20	0.19	0.19	0.17	0.21	0.28
sum8	6.00	6.00	6.00	6.00	6.00	6.00	6.00	6.00	6.00	6.00	6.00	6.00	6.00	6.00	6.00	6.00	6.00	6.00	6.00	6.00	6.00	6.00	6.00
Ti_garnet	0.00	0.00	0.00	0.00	0.00	0.00	0.00	0.00	0.00	0.00	0.00	0.00	0.00	0.00	0.00	0.00	0.00	0.00	0.00	0.00	0.01	0.00	0.00
grossular	0.05	0.04	0.05	0.04	0.04	0.05	0.04	0.05	0.04	0.05	0.05	0.05	0.04	0.05	0.04	0.05	0.05	0.04	0.05	0.05	0.03	0.02	0.06
pyrope	0.22	0.22	0.22	0.22	0.23	0.23	0.22	0.22	0.22	0.22	0.22	0.22	0.22	0.22	0.22	0.20	0.21	0.26	0.22	0.21	0.24	0.27	0.17
almandine	0.70	0.70	0.70	0.70	0.69	0.69	0.70	0.70	0.70	0.70	0.70	0.70	0.70	0.70	0.70	0.71	0.71	0.66	0.70	0.71	0.69	0.66	0.71
spessartine	0.04	0.03	0.03	0.04	0.03	0.03	0.03	0.03	0.03	0.03	0.03	0.03	0.03	0.03	0.03	0.04	0.03	0.03	0.03	0.03	0.03	0.03	0.05
Ti_garnet	0.34	0.27	0.26	0.29	0.26	0.24	0.25	0.26	0.21	0.30	0.28	0.32	0.39	0.44	0.30	0.38	0.27	0.47	0.26	0.24	0.30	0.95	0.42
grossular	4.60	4.38	4.56	4.37	4.49	4.53	4.48	4.64	4.44	4.72	4.66	4.65	4.46	4.55	4.43	4.95	4.66	4.42	4.56	4.61	3.10	2.36	6.48
pyrope	21.87	22.17	22.20	22.30	22.59	23.48	21.98	22.20	22.03	21.97	21.96	22.37	22.05	21.52	21.56	19.51	21.02	25.77	21.70	21.09	24.38	27.09	17.37
almandine	69.53	69.88	69.75	69.54	69.33	68.74	70.04	69.65	69.90	69.79	69.80	69.54	69.85	70.28	70.48	71.29	70.86	66.07	70.36	70.86	69.32	66.13	71.10
spessartine	3.66	3.30	3.23	3.50	3.35	3.00	3.24	3.25	3.43	3.22	3.29	3.13	3.25	3.21	3.23	3.87	3.19	3.27	3.12	3.20	2.90	3.47	4.62

X	101	102	103	104	105	106	107	108	109	110
SiO <sub>2</sub>	46.67	32.81	32.70	33.48	32.63	30.20	21.61	21.55	42.57	43.54
TiO <sub>2</sub>	0.04	0.25	0.07	0.17	0.11	0.43	0.13	0.04	0.17	0.12
Al <sub>2</sub> O <sub>3</sub>	17.09	20.36	19.49	20.11	19.46	17.58	16.76	18.11	27.45	29.98
Fe <sub>2</sub> O <sub>3</sub>	0.00	0.93	1.43	1.37	1.89	2.10	4.33	3.93	0.00	0.00
MgO	3.22	6.23	4.32	4.61	4.44	5.56	8.78	9.13	2.47	1.65
MnO	0.17	2.17	1.84	1.83	2.03	2.10	0.46	0.43	0.09	0.02
FeO	11.69	29.79	31.51	32.33	31.63	26.98	24.90	26.68	5.64	3.59
CaO	0.23	0.94	1.61	1.53	1.64	0.76	0.19	0.15	0.30	0.07
<b>Total</b>	<b>79.10</b>	<b>93.48</b>	<b>92.96</b>	<b>95.45</b>	<b>93.83</b>	<b>85.70</b>	<b>77.16</b>	<b>80.01</b>	<b>78.69</b>	<b>78.98</b>
Si	13.29	5.31	5.44	5.41	5.36	5.42	3.76	3.55	10.35	10.65
Ti	0.01	0.03	0.01	0.02	0.01	0.06	0.02	0.00	0.03	0.02
sum4	13.30	5.35	5.45	5.43	5.37	5.48	3.77	3.55	10.38	10.67
Al	5.74	3.89	3.82	3.83	3.77	3.72	3.43	3.51	7.86	8.64
Fe <sub>3</sub>	0.00	0.11	0.18	0.17	0.23	0.28	0.57	0.49	0.00	0.00
sum6	5.74	4.00	4.00	4.00	4.00	4.00	4.00	4.00	7.86	8.64
Fe <sub>2</sub>	2.78	4.04	4.38	4.37	4.34	4.05	3.62	3.67	1.15	0.73
Mg	1.37	1.50	1.07	1.11	1.09	1.49	2.28	2.24	0.89	0.60
Ca	0.07	0.16	0.29	0.27	0.29	0.15	0.04	0.03	0.08	0.02
Mn	0.04	0.30	0.26	0.25	0.28	0.32	0.07	0.06	0.02	0.00
sum8	4.26	6.00	6.00	6.00	6.00	6.00	6.00	6.00	2.14	1.36
Ti_garnet	0.00	0.01	0.00	0.00	0.00	0.01	0.00	0.00	0.00	0.00
grossular	0.02	0.03	0.05	0.04	0.05	0.02	0.01	0.00	0.04	0.01
pyrope	0.32	0.24	0.18	0.18	0.18	0.24	0.37	0.37	0.42	0.44
almandine	0.65	0.67	0.73	0.73	0.72	0.67	0.60	0.61	0.54	0.54
spessartine	0.01	0.05	0.04	0.04	0.05	0.05	0.01	0.01	0.01	0.00
Ti_garnet	0.06	0.57	0.16	0.38	0.26	1.05	0.46	0.13	0.30	0.21
grossular	1.66	2.72	4.77	4.43	4.80	2.44	0.60	0.45	3.66	1.39
pyrope	31.99	24.49	17.69	18.15	17.84	23.75	37.47	37.20	41.54	44.04
almandine	65.33	67.25	73.06	72.87	72.39	67.45	60.34	61.21	53.65	54.04
spessartine	-	4.97	4.31	4.18	4.71	5.31	1.14	1.01	0.85	0.33

## منابع فارسی

- آقاباتی ع، (۱۳۸۳)، "زمین‌شناسی ایران"، انتشارات سازمان زمین‌شناسی و اکتشافات معدنی کشور، تهران.
- ابراهیمی م، (۱۳۷۰)، پایان‌نامه ارشد: "زمین‌شناسی و پترولوزی سنگ‌های آذرین شمال گلپایگان (منطقه مرو چشم‌ه سفید)"، دانشکده علوم، دانشگاه تهران.
- اثنی عشری ا، (۱۳۹۰)، رساله دکتری: "پترولوزی و ژئوشیمی گرانیتوئیدهای شمال و شمال غرب الیگودرز"، دانشکده علوم، دانشگاه تهران.
- افتخارنژاد ج، (۱۳۵۹)، "تفکیک بخش‌های مختلف ایران از نظر وضع ساختمانی در ارتباط با حوضه‌های رسوی"، نشریه انجمن نفت، شماره ۸۲، ص ۲۸-۱۹.
- امینی ح، هاشمی فشارکی م، و دقاقزاده م، (۱۳۵۹)، "گزارش زمین‌شناسی نواحی الیگودرز، ازنا، درود و شرق بروجرد"، گزارش داخلی شرکت مواد معدنی غیر فلزی اصفهان، ص ۱۲.
- باقری ن، (۱۳۸۰)، پایان نامه ارشد: "مطالعه پترولوزی، ژئوشیمی و خاکهای کمیاب در توده‌های گرانیتوئیدی شمال، شمال شرق و شمال غرب الیگودرز با تأکید بر روی انکلاو توده‌ها"، دانشکده علوم، دانشگاه اصفهان.
- باقریان س، خاکزاد ا، (۱۳۸۰)، "خاستگاه سنگ شناختی توده گرانیتوئیدی منطقه ملاتالب (شمال الیگودرز)", فصلنامه علوم زمین، شماره ۴۱-۴۲.
- بدلو س، (۱۳۹۰)، پایان‌نامه ارشد "بررسی مکانیسم جایگیری توده گرانیتوئیدی گل‌زرد (شمال الیگودرز) به وسیله AMS"، دانشکده علوم، دانشگاه شاهروド.
- باغبانی، ش، (۱۳۹۰)، پایان‌نامه کارشناسی ارشد "بررسی تفصیلی پترولوزی و ژئوشیمی توده‌های گرانیتوئیدی ازنا - الیگودرز"، دانشکده علوم، دانشگاه شاهرود.
- درویشی ا، باقریان س، (۱۳۸۷)، "معرفی سنگ‌های تزئینی و نما در منطقه الیگودرز"، فصلنامه زمین‌شناسی کاربردی ۴، ص ۱۶۲-۱۷۰.
- رجاییه م، (۱۳۸۴)، پایان‌نامه کارشناسی ارشد: "پترولوزی و ژئوشیمی توده نفوذی دهنو(شمال شرق الیگودرز)"، دانشکده علوم، دانشگاه اصفهان.
- سهیلی م، جعفریان م، عبدالهی م (۱۳۷۱)، "نقشه زمین‌شناسی ورقه ۱:۱۰۰۰۰۰ الیگودرز"، سازمان زمین‌شناسی و اکتشافات معدنی ایران، تهران.
- شریفی م، (۱۳۷۶)، "زمین‌شناسی و پترولوزی سنگ‌های دگرگونی و آذرین منطقه شمال شرق گلپایگان"، دانشکده علوم، دانشگاه اصفهان.
- شکاری س، (۱۳۹۰)، پایان‌نامه کارشناسی ارشد: "بررسی مکانیسم جایگزینی توده گرانیتوئیدی دره‌باغ (شمال غرب الیگودرز) با استفاده از روش انیزوتروپی خودپذیری مغناطیسی (AMS)", دانشکده علوم، دانشگاه شاهرود.

- شیبی م، (۱۳۸۸)، رساله دکتری: "پترولوزی، ژئوشیمی و سازوکار جایگیری با تولیت گرانیتوئیدی شیرکوه (جنوب غرب یزد)"، دانشکده زمین شناسی، پردیس علوم، تهران.
- شیبی م، اسماعیلی د، (۱۳۹۱)، "شواهد پتروگرافی و ژئوشیمیایی رستیت در گرانیت آناتکسی شیرکوه"، مجله بلورشناسی و کانی شناسی ایران، شماره ۱۸ ص ۱۳۵-۱۴۶.
- صادقیان م، شکاری س، (۱۳۹۴): "پتروژنز و خاستگاه زمین ساختی توده گرانیتوئیدی دره باغ (شمال باختر الیگودرز)، فصلنامه علوم زمین، شماره ۹۷، صفحه ۴۰۷ تا ۴۲۰.
- صدیقی س، (۱۳۷۳)، پایان نامه ارشد: "مطالعه زمین شناسی و پترولوزی توده نفوذی شمال الیگودرز"، دانشکده علوم، دانشگاه اصفهان، ص ۱۵۲.
- قاسمی ح، (۱۳۷۱)، پایان نامه ارشد: "پترولوزی و زمین شناسی سنگ‌های دگرگونی و آذرین توده بوئین میاندشت (جنوب شرق الیگودرز)"، دانشکده علوم، دانشگاه تهران.
- قاسمی ح (۱۳۹۴)، "پتروگرافی و پتروژنز سنگ‌های دگرگونی"، جلد اول، چاپ اول، انتشارات دانشگاه شاهروود، ص ۲۱۰-۲۴۶.
- محجل م، (۱۳۷۷)، "مدل تکتونیکی برای جایگیری همزمان با کوهزایی گرانیت میلیونیتی ازنا"، دومین همایش انجمن زمین شناسی ایران، دانشگاه فردوسی مشهد.
- محجل م، سهندی م، (۱۳۷۷)، "چند دگرشکلی و توالی چینه‌های کمپلکس ژان، پهنه دورود - ازنا، زون سنندج- سیرجان"، مجموعه مقالات هفدهمین گردهمایی علوم زمین، سازمان زمین شناسی و اکتشافات معدنی کشور، تهران، ص ۱۵۲-۱۴۷.
- نبوی م، (۱۳۵۵)، "دبیاچه‌ای بر زمین شناسی ایران"، انتشارات سازمان زمین شناسی و اکتشافات معدنی کشور، تهران
- ولی‌زاده م، صادقیان م، اکرمی م، (۱۳۸۰)، "آنکلاوها و پترولوزی گرانیتها"، انتشارات دانشگاه تهران، ص ۵۷-۲۷۹.

## Reference

- Abdelrahman A. M. (1994) "Nature of biotites from Alkaline, Calc-alkaline and Peraluminous magmas", **Journal of Petrology** **35**, 525-541.
- Allegre C. J. Treuil M. Minster J-E Minster B. and Albarede R. (1977) "Systematic use of trace elements in igneous processes", **J. of Mineralogy and Petrology** **60**, 57-75.
- Allen P.L. Barr S.M. (1983) "The Ellison Lake pluton: Acordierite-bearing monzogranitic intrusive body in southwestern Nova Scotia", **J. of. Can. Mineral.** **21**, 583-590.
- Arzi A. A. (1978) "Critical phenomena in the rheology of partially melted rocks", **Tectonophysics** **44**, 173- 178.
- Alavi M. (1994) "Tectonics of Zagros Orogenic belt of Iran, new data and interpretation", **Tectonophysics** **229**, 211-238.
- Bailey E. H. and ragnasdottir K. V. (1994) "Uranium and thorium solubilities in subduction zone fluids", **Earth Planet. Sci. Lett.** **124**, 119-129.
- BarBaren B. (1996) "Genesis of the two main types of peraluminous granitoids", **J. of. Geology.** **24**, 295-298.
- Barbero L. and Villaseca C. (1992) "The Layos Granite, Hercynian Complex of Toledo (Spain): an example of paraautochthonous restite-rich granite in a granulitic area", **J. of Earth Sciences.** **83**, 127-138.
- Barbey P. Bertrand J. M. Angoua S. and Dautei D. (1989) "Petrology and U /Pb chronology of the Telohat migmatites (Aleksod, Central Hoggar)", **J. of Mineral Petrol** **101**, 19-207.
- Barth M. G. Mc Donough W. F. and Rudnick R. L. (2000) "Tracking the budget of Nb and Ta in the continental crust", **Chemical Geology** **165**, pp 197–213
- Bateman R. (1988) "The Center Pond pluton: The restite of the story (phase separation and melt evolution in granitoid genesis)", **Comment. Am. J. Sci.** **288**, 282-287.
- Bea F. (1996) "Residence of REE, Y, Th and U in granite and crustal protoliths; implications for the chemistry of crustal melts", **J. of Petrol** **37**, 521–552.
- Benard F. Moutou P. and Pichavant M. (1985) "Phase relations of tourmaline leucogranites and the significance of tourmaline in silicic magma", **J. of Geology** **93**, 271-291.
- Benito R. Lopez J. (1992) "Mineralogical changes of the residual solid and trace-element fractionation during partial incongruent melting", **Geochimica et Cosmochimica Acta** **56**, 3705-3710.
- Boynton W. V. (1984) "Geochemistry of the rare earth elements: Meteorite studies. In: Rare Earth element geochemistry (Ed. Henderson, P.)", **Elsevier, Amsterdam**, 63-114.
- Brouand M. (1989) "Petrogenese des migmatites de la Dalle du Tibet (Himalaya du Nepal)" **These de Doctorat, Nancy**, pp 224.
- Burt D.M. (1981) "Acidity-salinity diagrams- Application to greisen and porphyry deposits", **Econ Geol** **76**, 832-843.
- Carlson W. D. (2006) "Rates of Fe,Mg,Mn, and Ca diffusion in garnet", **J. of American Mineralogist** **91**, 1–11.
- Cesare B. Savioli Mariani E. Venturelli G. (1997) "Crustal anatexis and melt extraction during deformation in the restitic xenoliths at El Joyazo (SE Spain)", **Mineralogical Magazine** **61**, 15–27.
- Chappell B. W. (1996) "Magma mixing and the production of compositional variation within granite suites: evidence from the granites of southeastern Australia", **J. of Petrology** **37**, 449–470.
- Chappell B. W. and Hine R. (2006) "The Cornubian Batholith: an Examp of Magmatic Fractionation on a Crustal Scale", **Resource Geology** **56**, No. 30, pp 203-244.

- Chappell B. W. and White A. J. R. (2001) "Two contrasting granite types, 25 years later". **Australian Journal of Earth Sciences** **48**, 489-499.
- Chappell B.W. and White A. J. R. (1991) "Restite enclaves and the restite model. In Didier, J. & Barbarin, B. (eds), Enclaves and Granite Petrology", Elsevier, Amsterdam, 375-381.
- Chappell B. W. White A. J. R. and Wyborn D. (1987) "The importance of residual source material (restite) in granite petrogenesis", **J. of Petrology** **28**, 1111–1138.
- Chappell B.W. (1999) "Aluminium saturation in I- and S-type granites and the characterization of fractionated haplogranites", **J of Lithos** **46**, 535–551.
- Chappell B.W. White A. J. R. (1974) "Two contrasting granite types", **Pacific Geology**. **8**, 173–174.
- Chappell B. W (2010) "Causes Of Variation in Granite suites", Gemoc, Macquarie University, NSW, Geoscience Australia, p 27-34.
- Chen F. R. Wang D. Z. and Liu C. S. (1995) "Comparative anatomy of two contrasting mesozoic volcanic-intrusive complexes in NE Jiangxi and its vicinities, China", **J. of Geochimical (in Chinese with English abstract)** **24**, 169-179.
- Clarke D. B. (1981) "Peraluminous granites", **J. of. Can Mineral**, **19**, 1-2.
- Clarke D. B. and Dorais M. and Barbarin B. et al. (2005) "Occurrence and origin of andalusite in peraluminous felsic igneous rocks", **J. of. Petrology** **46** , 441–472
- Clarke D.B. (1995) "Cordierite in felsic igneous rocks: A synthesis", **J. of. Mineral. Mag.** **59**, 311-325.
- Clarke D.B. McKenzie C.B. and Muecke G.K. (1976) "Magmatic Andalusite from the South Mountain Batholith, Nova Scotia", **J. of. Contributions to Mineralogy and Petrology** **9** by Springer-Verlag.
- Clarke D. B. (2007) "Assimilation of xenocrysts in granitic magmas: principles, processes, proxies and problems", **J. of Canadian Mineralogist** **45**, 5–30.
- Clemens J. D. (1989) "The importance of residual source material (restite) in granite petrogenesis: A comment", **J. Petrol.** **30**, 1313-1316.
- Clemens J. D. (1992) "Partial melting and granulite genesis a partisan overview", **J. of Precambrian Research** **55**, 297–301.
- Clemens J. D. and Vielzeuf D. (1987) "Constrations on melting and magma production in the crust. Earth Planet", **J of Sci. Lett.** **86**, 287-306.
- Clemens J. D. Wall V. J. (1984) "Origin andevolution of a peraluminous silicic ignimbrite suite: the Violet Town volcanics", **J. of Contributions to Mineralogy and Petrology** **88**, 354–371.
- Collins L. G. (1988) "Hydrothermal differentatian, Theopharastus publicatiois", **J. of. S.A. Athens**, pp 382.
- Cox K.G. Bell J.D. Pankhurst R.J. (1979) "The interpretation of igneous rocks". **J of George Allen and Unwin**, pp 450.
- Dahlquist J. A. Galindo C. Pankhurst R. J. Rapela C. W. Alasino P. H. Saavedra J. Fanning C. M. (2007) "Magmatic evolution of the Peñ Rosado granite: Petrogenesis of garnet-bearing granitoids", **J. of Lithos**, **95**, 177–207.
- Darvishi E. Khalili M. Toksoy-Köksal F. Köksal S. and Beavers R. (2015) "Geochemistry, Sr-Nd isotope data and petrogenesis of the Marziyan granitoid, Sanandaj-Sirjan Zone, western Iran", **N. Jb. Miner. Abh. (J. Min. Geochem.)** **192/2**, 195–210.
- Da Silva M. C. A. (2014) "Petrogenesis of a variscan migmatite complex (NW Portugal): Petrography, geochemistry and fluids", PhD thesis, Especializacao em Petrology e Geoquimica.

- De La Roche H. Leterrier J. Grandclaude P. and Marchal M. (1990) "A classification of volcanic and plutonic rocks using R1-R2 diagrams and major elements analysis – its relationships with current nomenclature", **Chemical geology** **29**, 183-210.
- Deer W. A. Howie R. A. and Zussman J. (1962) "Sheet silicates", In Rock forming minerals 3., Longmans, Green and Co, London, p 270
- Deer, W. A. Howie R. A. Zussman J. (1992) "Minerais Constituintes das Rochas", Uma Introdução. Fundação Calouste Gulbenkian, 734
- Didier J. and Dupraz J. (1985) "Magmatic and metasomatic of Granite-Gneisses in the Lithosphere", **J. of. Theophrastus Pupl.**, Athens, 35-77.
- Didier J. and Roques M. (1959) "Sur les enclaves des granite du massif Centrale francais", **J. of C. R. Acad. Sci. Paris**, **228**, 1839-1841.
- Didier J.(1973) "The enclaves of the autochthonous granodiorites and quartz monzonites of the Velay massif in the French Massif Central. In: Granites and their enclaves. The bearing of enclaves on the origin of granites", **Developments in Petrology Series No. 3. 2. Elsevier, Amsterdam**, 27-56
- Edwards R. L. and Essene E. J. (1988) "Pressure, temperature and C-O-H fluid fugacities across the amphibolite transition, northwest Adirondack Mountains, New York", **J of Petrology** **29**, 3972.
- Erdmann S. London D. Morgan Vi G. B. Clarke D. B. (2007) "The contamination of granitic magma by metasedimentary country-rock material: an experimental study", **Canadian Mineralogist** **45**, 43–61.
- Emmermann R. (1977) "A petrogenetic model for the origin and evolution of the Hercynian granite series of the Schwarzwald. N. Jb", **Miner. Abh.** **128**, pp 219–253.
- Evans, B. W. (1965) "Pyrope garnet-Piezometer or thermometr?", **Geological Society of America Bulletin**, **76**, 1295-1299.
- Ghasemi A. Talbot C. J. (2006) "A new tectonic scenario for the Sanandaj–Sirjan Zone (Iran)", **Journal of Asian Earth Sciences** **26**, 683-693.
- Gorton M. P. Schandl E. S. (2000) "From continental to island arc: A geochemical index of tectonic setting for arc-related and within plate felsic to intermediate volcanic rocks", **Canadian Mineralogist** **38**, 1065-1073.
- Grant J. A. and Weiblen P. W. (1971) "Retrograde zoning in garnet near the second sillimanite isograd", **American Journal of Science** **270**, 281-296.
- Green, T. H. (1976) "Experimental generation of cordierite- or garnet bearing granitic liquids from a pelitic composition", **J. of. Geology**, **4**, 85–88.
- Guillot S. and Le Fort P. (1995) "Geochemical constraints on the bimodal origin of High Himalayan leucogranites", **J. of Lithos** **95**, pp 221– 234.
- Harangi S. Z. Downes H. Kosa L. Szabo C. S. Thirlwall M. F. Mason P. R. D. and Matthey D. (2001) "Almandine Garnet in Calc-alkalin Volcanic Rocks of the Northern Pannonian Basin (Eastern-Central Europe) Geochemistry, Petrogenesis and Geodynamic Implications", **J. of petrology** **42**, 1813-1843
- Harris N. B. W. Pearce J. A. and Tindle A. G. (1986) "Geochemical characteristics of collision-zone magmatism. In: Coward, M.P., Ries, A.C. (Eds.), Collision Tectonics", **Geological Society London, Special Publication** **19**, 67–81
- Harris N.B.W. and Inger S. (1992) "Trace element modelling of pelite-derived granites", **J. of Mineral. Petrol.** **110**, 46-56.
- Harrker A. (1909). "The natural history of igneous rocks", Methuen and co. London.
- Harlov D. E. Austrheim H. K (2013) "Metasomatism and the Chemical Transformation of Rock", **Springer-Verlag Berlin Heidelberg**, p 203-245.

- Haslam H. W. (1971) "Andalusite in the Mullach and Coirean granite, Inverness-shire", **J. of Geol Mag.** **108**, 97-101.
- Hawkesworth C. J. Gallagher K. Hergt J. M. and McDermot F. (1993) "Mantle slab contribution in arc magmas", **Annu. Rev. Earth Plant. Sci.** **21**, 175-204.
- Henderson P. (1984) "Rare earth element geochemistry", **J. of Elsevier Science Publishers**, pp 510.
- Hensen B. J. and Green D. H. (1973) "Experimental study of the stability of cordierite and garnet in pelitic compositions at high pressures and temperatures: III, synthesis of experimental data and geological applications", **J. of Contrib. Minerl. Petrol.** **38**, 55-151.
- Hine R. Williams I. S. Chappell B. W. & White A. J. R. (1978) "Contrasts between I- and S-type granitoids of the Kosciusko Batholith", **J. of geol. Soc. Aust** **25**, 219-34.
- Holdaway M. J. (1971) "Stability of andalusite and the aluminum silicate phase diagram", **J. of Science American** **271**, 97-131.
- Holm J. L. Kleppa O J. (1966) "The thermodynamic properties of the aluminium silicates", **J. of Am Mineral**, **51**, 1608-1622.
- Holtz F. and Barbey P. (1991) "Genesis of peraluminous granites. II. Mineralogy and chemistry of the Tourem complex (North Portugal). Sequential melting vs. restite unmixing", **J. of Petrol.** **32**, 959-978.
- Hwang, S. L. Shen P. Yui T. F. Chu H. T. (2003) "On the mechanism of resorption zoning in metamorphic garnet", **J. of Metamorphic Geology** **21**, 761-769.
- Hyndman D. W. (1985) "Petrology of igneous and metamorphic rocks", MacGraw-Hill. New York. p 786.
- Irvine T. N. and Baragar W. R. A. (1971) "A guide to the chemical classification of the common volcanic rocks", **J. Earth Sci.** **8**, 523-484.
- Johannes W. (1984) "Beginning of melting in the granitic system Qz-Or-Ab-An-H<sub>2</sub>O", **Contrib Mineral Petrol.** **86**, 264-273.
- Kalsbeek F. Jepsen H. F. and Jones K. A. (2001) "Geochemistry and petrogenesis of S-type granites in the East Greenland Caledonides", **J. of Lithos** **57**, 91-109.
- Kuno H. (1968) "Differentiation of basalt magmas", **Basalts** **2**, 623-688.
- Lacroix A. (1983) "Les enclaves des roches volcaniques", **Protat, Macon**, pp 770.
- Lee S. Barnes G. Snook W. Howard A. Frost D. (2003) "Petrogenesis of Mesozoic, Peraluminous Granites in the Lamoille Canyon Area, Ruby Mountains, Nevada, USA", **J. of Petrology** **44**, 713-732.
- Le Breton N. and Thompson A. B. (1988) "Fluid-absent (dehydration) melting of biotite in metapelites in the early stages of crustal anatexis", **J. of Mineralogy and Petrology** **99**, 226-237.
- Le fort E. Deniel C. Vidal E. Fernandes A. and Peucat J. J. (1987) "Isotopic study of the Manaslu granite (Himalaya, Nepal); inferences on the age and source of Himalayan leucogranites", **Contributions to Mineralogy and Petrology** **96**, 78-92.
- Maniar P.D. and Piccoli P.M. (1989) "Tectonic discrimination of granitoids", **Geological Society of America Bulletin** **101**, 635-643.
- Mehnert K. R. (1968) "Migmatites and the Origin of Granitic Rocks. Developments in Petrology", **J. of Elsevier, Amsterdam**, 393.
- Middlemost E. A. K. (1994) "Naming materials in the magma/ igneous rock system", **Longman Group U.K.**, 73-86.
- Miller C. F. (1985) "Are Strongly Peraluminous Magmas derived from pelitic sedimentary sources?", **J. of geology vol.** **93**, 673-689.

- Miller C. F. McDowell S. M. Maps R. W. (2003) "Hot and cold granite? Implications of zircon saturation temperatures and preservation of inheritance", **J. of Geology** **31**, **529-532**.
- Miller C. F. Stoddard E. F. Bradfish L. T. et al. (1981) "Composition of plutonic muscovite: genetic implications", **J. of. Can Mineral** **19**, **25 – 34**.
- Miyashiro A. (1974) "Volcanic rock series in island arcs and active continental margin", **Am. J. Sci** **274**, **321-355**.
- Mohajjal M. and Fergusson C. L. (2000) "Dextral transpression in Late Cretaceous continental collision, Sanandaj-Sirjan Zone western Iran", **J. of structural geology** **22**, **1125-1139**.
- Montel J. M. (1986) "Experimental determination of the solubility of Ce monazite in  $\text{SiO}_2$ - $\text{Al}_2\text{O}_3$ - $\text{K}_2\text{O}$ - $\text{Na}_2\text{O}$  melts at 800°C, 2 kbar, under  $\text{H}_2\text{O}$ - saturated conditions", **J. of Geology** **14**, **659-662**.
- Montel J. M. (1993) "A model for monazite/melt equilibrium and application to the generation of granitic magmas", **Chem. Geol** **110**, **127-146**.
- Nachit H. Ibhi A. Abia E. L. H. and Ohoud M. B. (2005) "Discrimination between primary magmatic biotites, re-equilibrated biotites and neoformed biotites, C. R. Acad", **Science Paris Geoscience** **337**, **1415-1420**.
- Nachit H. Razafimahefa N. Stussi J. M. and Carron J. P. (1985) "Composition chimique des biotites et typologie magmatique des granitoides", **Comptes Rendus Hebdomadaires de l'Academie des Sciences** **301**, **813-818**.
- OConnor J. T. (1965) "A classification for quartz – rich igneous rocks based on feldspar ratios, U. S. Geol. Surv", **Prof paper 525-B**, **79-84**.
- Osanai Y Komatsu. Owada M. (1991) "Metamorphism and granitic genesis in the Hidaka metamorphic belt, Hokkaido, Japan", **J. of Metamorphic Geology** **9**, **111-121**.
- Pamic J. Lanphere M. and Belak M. (1996) Hercynian I-type and S-type granitoids from the Slavonian mountains southern . Pannonian Basin, northern Croatia . N. Jb", **Mineral. Abh.** **171**, **155–186**.
- Passarelli C. R. Basei M. A. S. Wemmer K. Siga Jr O. Oyhantcabal P. (2010) "Major shear zones of southern Brazil and Uruguay: escape tectonics in the eastern border of Rio de La plata and Paranapanema cratons during the Western Gondwana amalgamation", **J. of Earth Sci (Geol Rundsch)**, **391-414**.
- Patino Douce A. E. and Harris N. (1998) "Experimental constraints on Himalayan anatexis", **J. of Petrology** **39**, **689-710**.
- Patino-Douce A. E. and Beard J. S. (1995) "Dehydration-melting of biotite gneiss and quartz amphibolite from 3 to 15 kbar", **J. of Petrology** **36**, **707–738**.
- Patiño Deuce A. E. and Johnston A.D. (1991) "Phase equilibria and melt productivity in the pelitic system: implications for the origin of peraluminous granitoids and aluminous granulites. Cont. Mineral", **Petrol.** **107**, **202-218**.
- Paul A. Hatzfeld D. Kaviani A. Tatar M. & Pequegnat C. (2010) "Seismic imaging of the lithospheric structure of the Zagros mountain belt (Iran)", **Geol. Soc. Lon.** **330**, **5 –18**.
- Pearce, J. A. Harris N. W. and Tindle A. G. (1984) "Trace element discrimination diagrams for the tectonic interpretation of granitic rocks", **J. of Petrology** **25**, **956-983**.
- Pearce, J. A. (1983) "Role of the sub-continental lithosphere in magma genesis at active continental margins. In: Hawkesworth, C.J., Norry, M.J. (Eds.), Continental Basalts and Mantle Xenoliths, Shiva", **Cheshire, UK**, pp. **230-249**.
- Phillips G. N. Wall V. J. and Clemens J.D. (1981) "Petrology of the Strathbogie Batholith: a cordierite-bearing granite", **J. of Can. Mineral** **19**, **47-63**
- Pichavant M. Montel J. M. Richard L. R. (1992) "Apatite solubility in peraluminous liquids: Experimental data and an extension of the Harrison-Watson model", **Geochim. Cosmochim. Acta** **56**, **3855-3861**.

- Pitcher W. S. (1983) "Granite type and tectonic environment", **Mountain building processes** **19**, p 40.
- Pitra P. and Guiraud M. (1996) "Probable anticlockwise  $P-T$  evolution in extending crust: Hlinsko region, Bohemian Massif", **J. of Metamorphic Geology** **14**, 49–60.
- Presnall D. C. and Bateman P. C. (1973) "Fusion relations in the system NaAlSi<sub>3</sub>O<sub>8</sub>-CaAl<sub>2</sub>Si<sub>2</sub>O<sub>8</sub>-KAlSi<sub>3</sub>O<sub>8</sub>-SiO<sub>2</sub>-H<sub>2</sub>O and generation of granitic magmas in the Sierra Nevada batholith", **Geol. Soc. Am** **84**, 3181-202.
- Richardson S. W. and Gilbert M. C. Bell P. M. (1969) "Experimental determination of kyanite-andalusite and andalusite-sillimanite equilibria: the aluminum silicate triple point", **J. of Sci** **267**, 259-272.
- Rickwood P. C. (1989) "Boundary lines within petrologic diagrams which use oxides of major and minor elements", **J. of Lithos** **22**, 247-363.
- Rieden M. Povondra P. and Fryda J. (1995) "Coexisting biotite and muscovite: An example from a Moinian mica schist at Glenfinnan, Scottish Highlands", **Mineralogy and Petrology** **53**, 63-74
- Roedder E. (1979) "Origin and significance of magmatic inclusions", **J. of Bulletin DeMineralogie** **109**, 487–510.
- Rollinson H. (1993) "Using geochemical data: evolution, presentation, interpretation", **Longman Scientific and Technical, London**.
- Roosi J. N. Toselli A. J. Saavedra J. Sial A. N. Pellitero E. and Ferreira V. P. (2002) "Common crustal source for constraining peraluminous facies in the early Paleozoic Capillitas Batholith, NW Argentina", **Gondwana Research** **5**, 325-337.
- Rossi E. L. (1957) "Andalusite and corundum-bearing pegmatites in Yo-semite National Park, California", **J. of American Mineralogist** **42**, 637-647.
- Rottura A. Caggianelli A. Camp R. and Del moro A. (1993) "Petrogenesis of Hercynian peraluminous granites from the Calabrian Arc, Italy", **European Journal of Mineralogy**, **737-754**.
- Roycroft P. D. (1991) "Magmatically zoned muscovite from the peraluminous two-mica granites of the Leinster batholith, southeast Ireland", **J of Geology** **19**, 437–440.
- Sant’Ovaia H. Olivier B. P. Ferreirac N. Noronha a. F. and Leblanc D. (2010) "Magmatic structures and kinematics emplacement of the Variscan granites from central Portugal (Serra da Estrela and Castro Daire areas)", **J. of Structural Geology** **32**, 1450-1465.
- Sawka W N. Chappell B. W. (1988) "Fractionation of uranium, thorium and rare earth elements in a vertically zoned granodiorite: implications for heat production distributions in the Sierra Nevada batholith, California, U.S.A", **Geochim Cosmochim Acta** **52**, 1131–1143.
- Sawyer E. W. (1987) "The role of partial melting and fractional crystallisation in determining discordant migmatite leucosome compositions", **J. of PETROL** **28**, 45-73.
- Scaillet B. France-Landon C. and Le fort P. (1990) "Badrinath-Gangotri pluton (Garhwal, India): petrological and geochemical evidence for fractionation processes in a high Himalayan leucogranite", **J. of Volcanology and Geothermal research** **44**, 88-163.
- Scaillet B. Pichavant M. and Roux J. (1995) "Experimental crystallization of leucogranite magmas", **J. of petrology** **36**, 663-705.
- Shearer C. K. Paprke J. J. (1987) "Mineralogy and chemical evolution of a rare-element granite-pegmatite system: Harny Peak Granite, Black Hills, South Dakota", **Geochimica et Cosmochimica Acta** **51**, 473-486.
- Shelly D. (1993) "Igneous and metamorphic rocks under the microscope", **J. of Chapman and Hall. Landon**, 445.
- Siivola J. and Schmid R. (2007) Recommendations by the IUGS Subcommission on the Systematics of Metamorphic Rocks: List of mineral abbreviations. Web version 01.02.07.

- ([http://www.bgs.ac.uk/scmr/docs/papers/paper\\_12.pdf](http://www.bgs.ac.uk/scmr/docs/papers/paper_12.pdf)) IUGS Commission on the Systematics in Petrology.
- Smith J. V. and Brown W. L. (1988) "Crystal structures, physical, chemical and microstructural properties", **J. of Springer Verlag, Berlin**, pp 828.
- Speer J. A. (1984) "Mica in igneous rocks. In: Micas, Baily, S. W. Mineralogy Society of American", **Review in Mineralogy** **13**, 299-356.
- Stevens G. Villaros A. Moyen J. F. (2007) "Selective peritectic garnet entrainment as the origin of geochemical diversity in S-type granites", **J. of Geology** **35**, 9-12.
- Stocklin J. (1968) "Structural history and tectonics of Iran; a review", **J. of American Association of Petroleum Geologists Bulletin**, 1229-1258.
- Storre B. (1972) "Dry melting of muscovite and quartz in the range Ps = 7 kbar to Ps=20 kbar. Contrib. Mineral", **J. of Petrol.** **37**, 87-89.
- Sun S. S. and McDonough W. F. (1989) "Chemical and isotopic systematics of oceanic basalts: implications for mantle composition and processes. In: Saunders, A. D. and Norry, M. J. (Eds.) Magmatism in the Ocean Basins, Geological Society, London", **Special Publications** **42**, 313-345.
- Sun T. Chen P. R. Zhou X. M. et al. (2002) "Strongly peraluminous granites in eastern Nanling mountains, China: study on musco-vites", **J. of Geol. Rev (in Chinese with English abstract)**, **48**, 518 – 525
- Sylvester P. J. (1998) "Post-collisional strongly peraluminous granite", **J. of Lithos** **45**, 29-44.
- Thompson R. N. Morrison M. A. Hendry G. L. and Parry S. J. (1984) "An assessment of the relative roles of crust and mantle in magma genesis: An elemental approach", Philosophical Transactions of the Royal Society of London, v. A310, p. 549-590.
- Taylor S. R. and McLennan S. M. (1985) "The continental crust: its composition and evolution", **Blackwell Scientific Publ**, pp 312.
- Thiele O. and Seyed-Emami K. (1968) "Geological observation in the Borujerd-Shahzand Area. Tehran, Geological survey of Iran", **Mimeo, 4 Copies**, 1map (Incopy 1anly).
- Thompson A. B. Algor J. R. (1977) "Model systems for anatexis in pelitic rocks: I. Theory of melting reactions in the systems  $KAlO_2-NaAlO_2-Al_2O_3-SiO_2-H_2O$ ", **Contrib. Mineral. Pet** **63**, 247–269
- Tompson, R. N. (1982) "British Tertiary volcanic province", **J. of Geology** **18**, 49-107.
- Troger W. E. (1982) "Optische Bestimmung der gesteinsbildenden Minerale-Teil I: Bestimmungstabellen".
- Van der Molen I. Paterson M. S. (1979) "Experimental deformation of partially melted granite. Contrib", **Mineral. Petrol** **70**, 299–318.
- Vernon R. H (2014) "Microstructures of microgranitoid enclaves and the origin of S-type granitoids", **Australian Journal of Earth Sciences** **61**, 227–239.
- Vernon R. H. (2004) "A practical guid to rock microstructure", **J. of Cambridge university press**, pp 594
- Vernon R. H. and Pateson S. R. (2008) "How late are K-feldspar megacrysts in granites?", **J. of. Lithos** **104**, 327-336.
- Vielzeuf D. Holloway J. R, (1988) "Experimental determination of the fluid-absent melting relations in the pelitic system", **J. of. Contributions to Mineralogy and Petrology** **98**, 257–276.
- Vielzeuf D. Montel J. M. (1994) "Partial melting of metagreywackes. Part 1. Fluid-absent experiments and phase relationships", **Contrib. Mineral. Pet** **117**, 375–393.
- Villaros A. Stevens G. and Buick I. S. (2009) "Tracking S-type granite from source to emplacement: clues from garnet in the Cape Granite Suite", **J. of Lithos** **112**, 217–235.

- Villaseca C. Barbero L. and Herreros V. (1998) "A re-examination of the typology of peraluminous granite types in intra continental orogenic belts", **J. of Earth Sciences** **89**, **113-119**.
- Villaseca C. Errandonea J. Orejana D. (2014) "Petrology and geochemistry of tonalites from Villarejo de Montalbán (Toledo)", **Geogaceta**, **56**, **71-74**.
- Wall V. J. Clemens J. D. and Clarke D. B. (1987) "Models for granitoid evolution and source compositions", **J. of Geol.** **95**, **731-749**.
- Wang X. Yao X. J. and Wang C. S. (2006) "Characteristic mineralogy of the Zhutishi granite: Implication for petrogenesis of the late intrusive granite", **J. of Science in China Series D**, v **49**, **573-583**.
- Watson E. B. (1987) "The role of accessory minerals in granitoid geochemistry", **1 St Hution Symp Abstr**, **19-21**.
- Watson E. B. and Harrison T. M. (1983) "Zircon Saturation revisited: Temperature and composition effects in a variety of crustal magma types", **J. of Earth and Planetary Science Letters** **64**, **295-304**.
- Wedepohl K. H. (1991) "Chemical composition and fractionation of the continental crust", **J. of Geologische Rundschau**. **80**, **207-223**.
- Whalen J. B. Currie K. L. and Chappell B. W. (1987) "A type granites: Geochemical characteristic discrimination and petrogenesis", **J. of Mineralogy and Petrology** **95**, **407-419**.
- White A. and Chappell B. W. (1977) "Granitoid types and their distribution in the Lachlan Fold Belt, southeastern Australia. In: Roddick, J. A. (ed.) Circum-Pacific Plutonic Terranes, Geol", **J. of Soc Am Mem** **159**, **21-34**.
- White A. and Chappell B. W. (1977) "Ultrametamorphism and granitoid genesis", **Tectonophysics** **43**, **7-22**.
- White A. J. R. and Chappell B. W. (1988) "Some supracrustal (S-type) granites of the Lachlan Fold Belt", **J. of Earth Sci** **79**, **169-181**.
- White A. Chappell B. and Wyborn D. (1999) "Application of the Restite Model to the Deddick Granodiorite and its Enclaves a Reinterpretation of the Observations and Data of Maas et al. (1997)", **J. of petrology** **40**, **413-421**.
- Williamson B. J. Downes H. Thirlwall M. F. and Beard A. (1997) "Geochemical constraints on restite composition and unmixing in the Velay anatetic granite, French Massif Central", **J. of Lithos** **40**, **295-319**.
- Wilson M (1989) "Igneous petrogenesis a global tectonic approach. Springer Science & Business Media", Chapman and Hall, London
- Winter J. D. (2001) "An Introduction to Igneous and Metamorphic Petrology", Prentice Hall, pp 697.
- Wybom D. and Chappell B.W. (1986) "The petrogenetic significance of chemically related plutonic and volcanic rock units", **Geological Magazine** **123**, **619-628**.
- Yardley B. (1989) "An introduction to metamorphic petrology. Longman" **Harlow, England**.
- Zinder A. and Hart S. R. (1986) "Chemical Geodynamics", **Annu Rev Earth Planet Sci.** **14**, **493 – 571**.
- Zhao I. H. Zhou M. F. (2007) "Geochemistry of Neoproterozoic mafic intrusions in the Panzhihua district (Sichuan Province, SW): Implications for subduction-related metasomatism in the upper mantle", **Precambrian Research** **152**, **27-47**.
- Zen E-An. (1986) "Aluminum enrichment in silicate melts by fractional crystallization: some mineralogic and petrographic constraints", **J. of Petrology** **21**, **1095-117**.

## Abstract

The granitoidic plutons of Aligoodarz (Darreh- Bagh and Gole-Zard) and Azna leucogranite outcropped in the western part of Lorestan Province and structural zone of Sanandag-Sirjan. The mentioned plutons with Middle Jurassic age are intruded into slate and phyllite of Hamedan. Based on exact field, petrographic and geochemistry investigations, the plutons belong to the S type granites and their compositions range from granodiorite to granite and leucogranite. The granodiorites constitute the main parts of Aligoodarz granitoides and include of plagioclase, quartz, alkali feldspar, (orthoclase and microcline) and biotite. Calcic cores of plagioclase ( $An_{91-84}$ ) with complicated zonation, small grained of biotite  $\pm$  sillimanite assemblages, andalusite xenocrysts, crushed garnet with uniform composition ( $Alm_{70}Py_{22}Gro_{4}Sps_{4}$ ) in core, cordierite, and inherited minerals of zircon, monazite and apatite as inclusions in biotite are the main residual minerals from partial melting of the source rocks and considered as restitic minerals. Granites are fine- grained and lighter in color compared with granodiorites. The leucogranitic rocks that characterized by white color and absent of opaque minerals occur as apophysis, dyke, vein and veinlet in Gole-zard and Darreh -Bagh plutons and cut granodiorite and granites. In Azna, leucogranites intruded as stock into regional metamorphic rocks. Geochemical criteria also emphasize the petrographic evidences for presence of restites. Different degrees of separation of restites from initial melt composition appears to have been an effective differentiation process in the formation of more mafic rocks of the plutons but the relatively felsic was formed due to fractional crystallization. Considering the mineral assemblages in the Aligoodarz granitoides, occurrence of different restitic minerals and the average temperature of  $780^{\circ}\text{C}$  in agreement with the zircon saturation thermometry, it can be concluded that the studied plutons are formed by dehydration melting of biotite. Andalusite with medium to high birefringence and the BSE images in which potassic feldspar and muscovite exist as pseudomorph of andalusite imply hydrothermal fluids during final stages of magma crystallization. Garnet in the Aligoodarz intrusive bodies is relatively euhedral but crushed and replaced by pennitized cordierite and biotite along fractures. The garnet contains constant composition and rich in almandine. The mineral zoning patterns of this mineral (decreasing #Mg and increase of Mn from the core to the periphery) show its restitic origin and has been subject to a process of regression. Enrichment of LILE (i. e., Rb, Th, K and U) and observed negative anomalies of Ba, Nb, Sr and Ti in the variation diagrams are similar to other S-type granites and pelitic sediments. Depletion of Ti and Nb are characteristics of magmas that formed in an environment of active continental margin. The studied granitoides are calc-alkaline, peraluminous and are S-type granites that are generated due to subduction of Neo-Tethys oceanic slab beneath Central Iran. Mafic dykes within the plutons are provided the required heat for melting of crustal rocks. The higher concentration of radioactive elements in mentioned granites, especially in Azna leucogranite suggest that crustal thickening and heat from the decay of radioactive elements could be another mechanism for increasing of geothermal gradient and melting process in Sanandaj-Sirjan metamorphic belt. Existence of orthopyroxene (hypersthene) and sillimanite restites in the granodiorite indicates that these rocks are production of anatexis of psammite and pelites in temperature and pressure conditions of granulite facies.

**Keywords:** Aligoodarz, Restite, S type granites, almandine, hypersthene



Shahrood University of Technology

Faculty of Earth Science  
Petrology and Economic Geology Group

Identification and importance of residual source material  
(restite) in the petrogenesis of Azna-Aligoodarz granitoidic  
plutons

By  
**Ali Pashapoor**

Supervisor  
**Dr. Maryam Sheibi**

Feb 2016